



ELISABETH LORANS

**LA CHRISTIANISATION DE
L'ESPACE URBAIN EN ANGLETERRE
DU 4^e AU 11^e SIECLE**

VOLUME 2 : FIGURES

**MEMOIRE DE RECHERCHE INEDIT PRESENTE POUR
L'HABILITATION A DIRIGER DES RECHERCHES
(21^e SECTION DU CNU)**

Membres du Jury

John Blair – Queen's College – Oxford
Gisella Cantino Wataghin – Université de Verceil
Henri Galinié – CNRS – Université de Tours
Bruno Judic – Université de Tours
Michel Lauwers – Université de Nice
Annie Renoux – Université du Mans

SEPTEMBRE 2005

UNIVERSITE FRANÇOIS RABELAIS - TOURS

ELISABETH LORANS

**LA CHRISTIANISATION DE L'ESPACE URBAIN EN
ANGLETERRE DU 4^E AU 11^E SIECLE**

VOLUME 2 : FIGURES

**MEMOIRE DE RECHERCHE INEDIT PRESENTE POUR
L'HABILITATION A DIRIGER DES RECHERCHES
(21^e SECTION DU CNU)**

Membres du Jury

John Blair – Queen's College – Oxford
Gisella Cantino Wataghin – Université de Vercell
Henri Galinié – CNRS – Université de Tours
Bruno Judic – Université de Tours
Michel Lauwers – Université de Nice
Annie Renoux – Université du Mans

SEPTEMBRE 2005

LISTE DES FIGURES

LES VILLES DU SUD ET DE L'EST

1. Cantorbéry.....6

Fig. 1.1 : Cantorbéry à l'époque romaine.

Fig. 1.2 : Cantorbéry au haut Moyen Âge.

Fig. 1.3 : plan d'une tombe familiale implantée vers 400 dans l'enceinte du temple.

Fig. 1.4 : cathédrale Saint-Sauveur : restitution des trois états anglo-saxons.

Fig. 1.5 : cathédrale Saint-Sauveur : plan de la cathédrale primitive comparée à d'autres églises du Kent du 7^e s.

Fig. 1.6 : cathédrale Saint-Sauveur : plan et coupe restitués du deuxième état anglo-saxon.

Fig. 1.7 : cathédrale Saint-Sauveur : plan et coupe restitués du troisième état anglo-saxon.

Fig. 1.8 : cathédrale Saint-Sauveur : restitution des dispositifs liturgiques.

Fig. 1.9 : implantation restituée de la cathédrale et de Saint-Jean-Baptiste.

Fig. 1.10 : église Saint-Martin : plan et élévation.

Fig. 1.11 : Saint-Augustin : plan et restitution de l'église Saint-Pierre-et-Saint-Paul.

Fig. 1.12 : Saint-Augustin : restitution axonométrique de Saint-Pierre-et-Saint-Paul au 7^e s.

Fig. 1.13 : Saint-Augustin : plan des vestiges fouillés antérieurs au milieu du 11^e s.

Fig. 1.14 : Saint-Augustin : restitution des bâtiments au milieu du 11^e s.

Fig. 1.15 : la topographie religieuse vers 1500.

Fig. 1.16 : plans des églises paroissiales Sainte-Margaret et Saint-Dunstan.

2. Rochester.....14

Fig. 2.1 : topographie médiévale.

Fig. 2.2 : Rochester et son environnement au haut Moyen Âge.

Fig. 2.3 : site de la cathédrale : vestiges des deux églises du haut Moyen Âge.

3. Winchester.....16

Fig. 3.1 : localisation des fouilles conduites de 1961 à 1983.

Fig. 3.2 : carte de localisation et environnement de la ville du 7^e au 9^e s.

Fig. 3.3 : plan de l'habitat à la fin de l'Âge du Fer.

Fig. 3.4 : plan de la ville antique.

Fig. 3.5 : Winchester à la fin de l'époque anglo-saxonne (vers 993 – vers 1066).

Fig. 3.6 : topographie funéraire antique.

Fig. 3.7 : les sites funéraires antérieurs au milieu du 9^e s.

Fig. 3.8 : Cathedral Green : plan des trois *minsters* du haut Moyen Âge et de leur environnement.

Fig. 3.9 : *Old Minster* : évolution de l'église du milieu du 7^e s. au début du 10^e s.

Fig. 3.10 : *Old Minster* : reconstitutions axonométriques de l'église du milieu du 7^e s. au début du 10^e s.

- Fig. 3.11 : *New Minster* et *Old Minster*: reconstitution des façades occidentales (fin 10^e – fin 11^e s.).
- Fig. 3.12 : Winchester vers 1148.
- Fig. 3.13 : le quartier ecclésiastique : évolution topographique de c. 963 à c. 1148.
- Fig. 3.14 : topographie religieuse et funéraire de la fin du 9^e s. à la fin du 11^e s.
- Fig. 3.15 : topographie paroissiale au Moyen Âge.
- Fig. 3.16 : Lower Brook Street : plan des édifices civils et religieux du Moyen Âge mis au jour entre 1962 et 1971.

4. Londres25

- Fig. 4.1 : géologie et réseau routier antique.
- Fig. 4.2 : Londres et Southwark entre 50 et 180 ap. J.-C.
- Fig. 4.3 : Londres et Southwark entre 180 et 400.
- Fig. 4.4 : Colchester House : restitution d'un édifice basilical, comparé à Sainte-Tecla de Milan.
- Fig. 4.5 : la cité et *Lundenwic*.
- Fig. 4.6 : la cité : restitution de l'évolution de la voirie.
- Fig. 4.7 : la cité : la cathédrale Saint-Paul et son environnement à l'époque anglo-saxonne.
- Fig. 4.8 : la cité : implantation des églises paroissiales.

5. St Albans29

- Fig. 5.1 : localisation des fouilles dans la ville romaine et à ses abords.
- Fig. 5.2 : carte de localisation, indiquant le tracé des principales voies antiques.
- Fig. 5.3 : topographie générale et voirie actuelle.
- Fig. 5.4 : occupation à la fin de l'Âge du Fer.
- Fig. 5.5 : occupation au milieu du 1^{er} s. ap. J.-C.
- Fig. 5.6 : *Verulamium* à la fin du 1^{er} s.
- Fig. 5.7 : *Verulamium* au milieu du 2^e s.
- Fig. 5.8 : *Verulamium* au 4^e s.
- Fig. 5.9 : *Verulamium* aux 5^e et 6^e s.
- Fig. 5.10 : St Albans entre la fin du 7^e s. et le 9^e s.
- Fig. 5.11 : St Albans à la fin du 10^e s.
- Fig. 5.12 : topographie funéraire de l'époque romaine et du début du haut Moyen Âge.
- Fig. 5.13 : site de l'abbaye : sépultures et fosses romano-britanniques.
- Fig. 5.14 : site de l'abbaye : bâtiments et sépultures de l'époque anglo-saxonne.
- Fig. 5.15 : plans des églises paroissiales.

6. Colchester38

- Fig. 6.1 : plan des rues (1971).
- Fig. 6.2 : localisation de Colchester et extension du site de l'Âge du Fer.
- Fig. 6.3 : plans du camp de légionnaires et de la colonie au début du 1^{er} s.
- Fig. 6.4 : plan vers 300.
- Fig. 6.5 : Colchester à la fin de l'époque anglo-saxonne : voirie et topographie religieuse.
- Fig. 6.6 : les découvertes funéraires antiques *extra muros*.

- Fig. 6.7 : Butt Road : plan de la nécropole et de l'église du 4^e s.
 Fig. 6.8 : nécropole de Butt Road : évolution de l'église.
 Fig. 6.9 : Middleborough : occupation du haut Moyen Âge et inhumations des 10^e-11^e s.
 Fig. 6.10 : localisation des découvertes archéologiques des 5^e-9^e s.
 Fig. 6.11 : topographie paroissiale au Moyen Âge.
 Fig. 6.12 : abbaye Saint-Jean : églises Saint-Jean et Saint-Gilles.

LES VILLES DE L'OUEST

7. Exeter.....45

- Fig. 7.1 : emprise du fort et de la ville enclose.
 Fig. 7.2 : topographie religieuse au Moyen Âge.
 Fig. 7.3 : site de l'enclos épiscopal : implantation des zones de fouille.
 Fig. 7.4 : site de l'enclos épiscopal : chronologie des inhumations et des églises.
 Fig. 7.5 : évolution de la voirie et formation de l'enclos épiscopal.

8. Bath.....48

- Fig. 8.1 : la ville antique et les sites funéraires environnants.
 Fig. 8.2 : la ville enclose et ses faubourgs pendant l'Antiquité.
 Fig. 8.3 : le centre monumental.
 Fig. 8.4 : le temple de *Sulis Minerva* et les thermes au 1^{er} s. et au début du 2^e s.
 Fig. 8.5 : édifices romains et sépultures le long de Walcot Street.
 Fig. 8.6 : la ville enclose vers 400.
 Fig. 8.7 : la ville enclose vers 550.
 Fig. 8.8 : la ville enclose vers 700.
 Fig. 8.9 : restitution du *burh* du 9^e s.
 Fig. 8.10 : la ville enclose au 12^e s.

9. Cirencester.....54

- Fig. 9.1 : implantation des forts romains et du premier habitat civil.
 Fig. 9.2 : la ville antique.
 Fig. 9.3 : Cirencester au haut Moyen Âge.
 Fig. 9.4 : topographie médiévale.
 Fig. 9.5 : les sites funéraires de l'époque romaine.
 Fig. 9.6 : site de l'abbaye : évolution topographique.
 Fig. 9.7 : site de l'abbaye : plan, élévation et coupe restitués de l'église du haut Moyen Âge.
 Fig. 9.8 : site de l'abbaye : reconstitution axonométrique de l'église du haut Moyen Âge.

10. Gloucester.....59

- Fig. 10.1 : Carte de localisation de Gloucester, Hereford et Worcester.
Fig. 10.2 : l'environnement de la colonie romaine.
Fig. 10.3 : extension de l'occupation antique.
Fig. 10.4 : extension de l'habitat et localisation des sites funéraires à la fin du 4^e s. et au début du 5^e s.
Fig. 10.5 : succession du trait de rive pendant l'Antiquité et le Moyen Âge.
Fig. 10.6 : le centre monumental de la colonie.
Fig. 10.7 : Gloucester à la fin de l'époque anglo-saxonne et au Moyen Âge.
Fig. 10.8 : le *burh* : restitution schématique.
Fig. 10.9 : topographie funéraire antique aux abords de la ville enclose.
Fig. 10.10 : enclos monastiques de Saint-Oswald et de Saint-Pierre.
Fig. 10.11 : Saint-Oswald : évolution de l'église à l'époque anglo-saxonne.
Fig. 10.12 : Saint-Oswald : reconstitutions axonométriques de l'église à l'époque anglo-saxonne.
Fig. 10.13 : extension *extra muros* des paroisses de Saint-Oswald et de St Mary-de-Lode.
Fig. 10.14 : Saint-Oswald : évolution des zones funéraires.
Fig. 10.15 : Saint-Oswald : localisation des sépultures à charbon de bois.
Fig. 10.16 : St Mary-de-Lode : emprise des zones fouillées.
Fig. 10.17 : St Mary-de-Lode : plan du mausolée de la période 3.
Fig. 10.18 : St Mary-de-Lode : plan du site de la période 2 (2^e s. ap. J.-C.) à la période 9 (fin 12^e-13^e s.).
Fig. 10.19 : topographie religieuse au Moyen Âge central.
Fig. 10.20 : chronologie des fondations des églises paroissiales.
Fig. 10.21 : les églises et les cimetières paroissiaux.

11. Worcester.....69

- Fig. 11.1 : topographie et géologie du site.
Fig. 11.2 : topographie générale indiquant les noms de rues médiévaux et modernes.
Fig. 11.3 : Worcester à l'époque romaine.
Fig. 11.4 : plan des principaux sites fouillés avant 1990.
Fig. 11.5 : évolution des défenses.
Fig. 11.6 : évolution du terrain qualifié de *haga* en 904.
Fig. 11.7 : évolution du *burh* de la fin du 9^e s. au milieu du 11^e s.
Fig. 11.8 : topographie religieuse et funéraire au Moyen Âge.
Fig. 11.9 : enclos épiscopal : localisation des zones fouillées
Fig. 11.10 : enclos épiscopal.
Fig. 11.11 : chronologie des fondations des églises paroissiales.

12. Hereford.....75

- Fig. 12.1 : plan indiquant les noms de rues anciens.
Fig. 12.2 : localisation des sites fouillés au centre de la ville.
Fig. 12.3 : restitution du développement urbain du haut Moyen Âge jusqu'à la fin du 12^e s.
Fig. 12.4 : Hereford au Moyen Âge central : topographie religieuse et parcellaire.
Fig. 12.5 : hypothèse de développement urbain.

- Fig. 12.6 : Castel Green : emprise des zones fouillées en 1960 et en 1973.
 Fig. 12.7 : Castel Green : plan des bâtiments révélés par les micro-reliefs.
 Fig. 12.8 : les églises et les cimetières paroissiaux.

LES VILLES DU NORD

13. Lincoln.....80

- Fig. 13.1 : localisation des principales opérations archéologiques conduites depuis 1945.
 Fig. 13.2 : carte de localisation.
 Fig. 13.3 : environnement du camp de légionnaires du 1^{er} s.
 Fig. 13.4 : plan de la ville haute.
 Fig. 13.5 : plan de la ville basse.
 Fig. 13.6 : Lincoln aux 4^e-5^e s.
 Fig. 13.7 : ville basse : restitution du réseau viaire du haut Moyen Âge en relation avec la trame antique.
 Fig. 13.8 : ville haute : restitution de la topographie à la fin du haut Moyen Âge.
 Fig. 13.9 : ville haute : restitution de la topographie vers 1090.
 Fig. 13.10 : ville basse : restitution de la topographie de la première moitié du 11^e s.
 Fig. 13.11 : topographie funéraire antique.
 Fig. 13.12 : ville basse, Flaxengate : plan des vestiges antiques et restitution d'un grand édifice basilical (église ?).
 Fig. 13.13 : ville haute, St Paul-in-the-Bail : plan du *forum* et des églises implantées au centre.
 Fig. 13.14 : ville haute, St Paul-in-the-Bail : plan des églises 2 et 3 et localisation des sépultures soumises à une datation par radiocarbone.
 Fig. 13.15 : ville basse : restitution d'un groupe d'églises du haut Moyen Âge.
 Fig. 13.16 : topographie religieuse au Moyen Âge central.
 Fig. 13.17 : ville basse : topographie religieuse et funéraire au 10^e s.
 Fig. 13.18 : Saint-Marc : plan de l'église et du cimetière de la période VIII.

14. York.....90

- Fig. 14.1 : York et ses environs à l'époque romaine.
 Fig. 14.2 : camp de légionnaires : restitution topographique et localisation des sites fouillés (à l'exception des tronçons de l'enceinte).
 Fig. 14.3 : camp de légionnaires : évolution topographique à la période angle.
 Fig. 14.4 : localisation des découvertes archéologiques de nature domestique d'époque angle.
 Fig. 14.5 : topographie funéraire à l'époque angle.
 Fig. 14.6 : site de la cathédrale : structures de la fin du 4^e s.
 Fig. 14.7 : site de la cathédrale : structures et sépultures des 9^e-11^e s.
 Fig. 14.8 : site de la cathédrale : plan du cimetière des 9^e-11^e s.
 Fig. 14.9 : le quartier épiscopal et ses abords : restitution topographique.
 Fig. 14.10 : topographie religieuse antérieure à la fin du 11^e s.

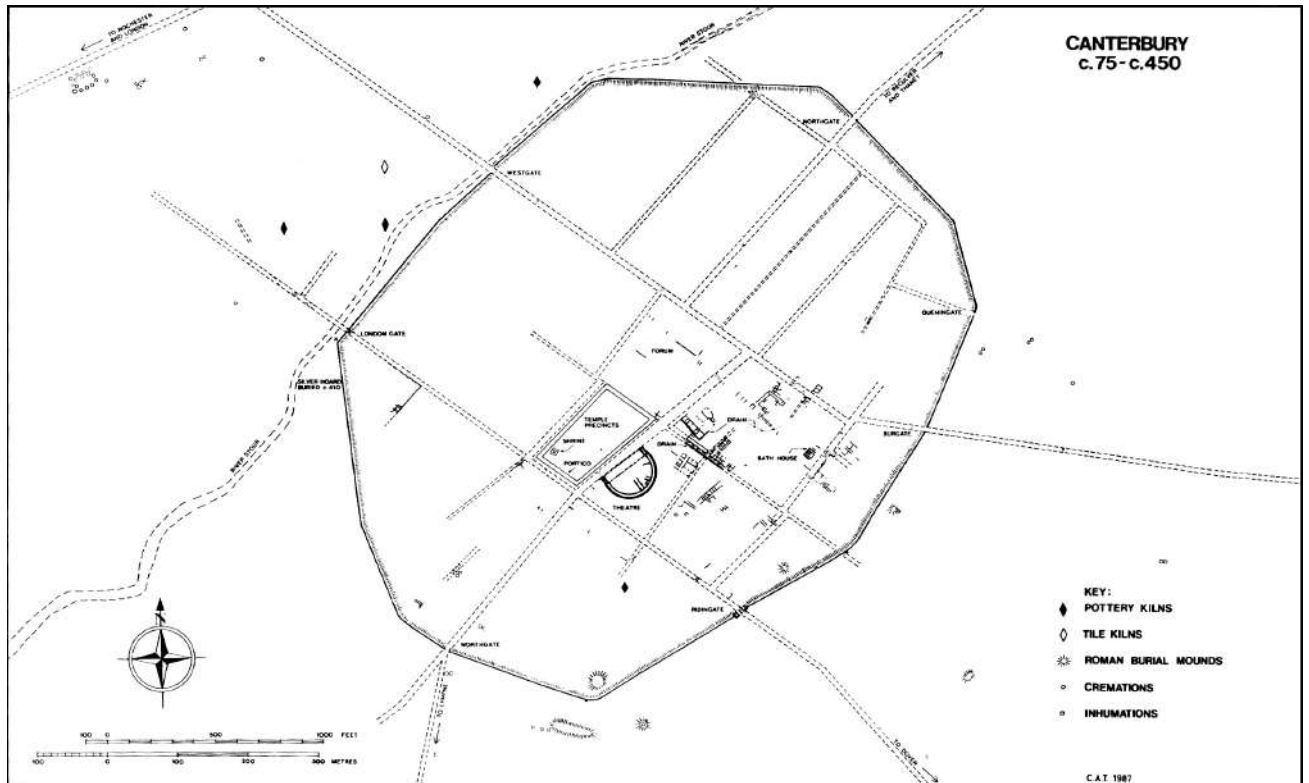


Fig. 1.1 : Cantorbéry à l'époque romaine (Ottaway 1992 : fig. 3.7).

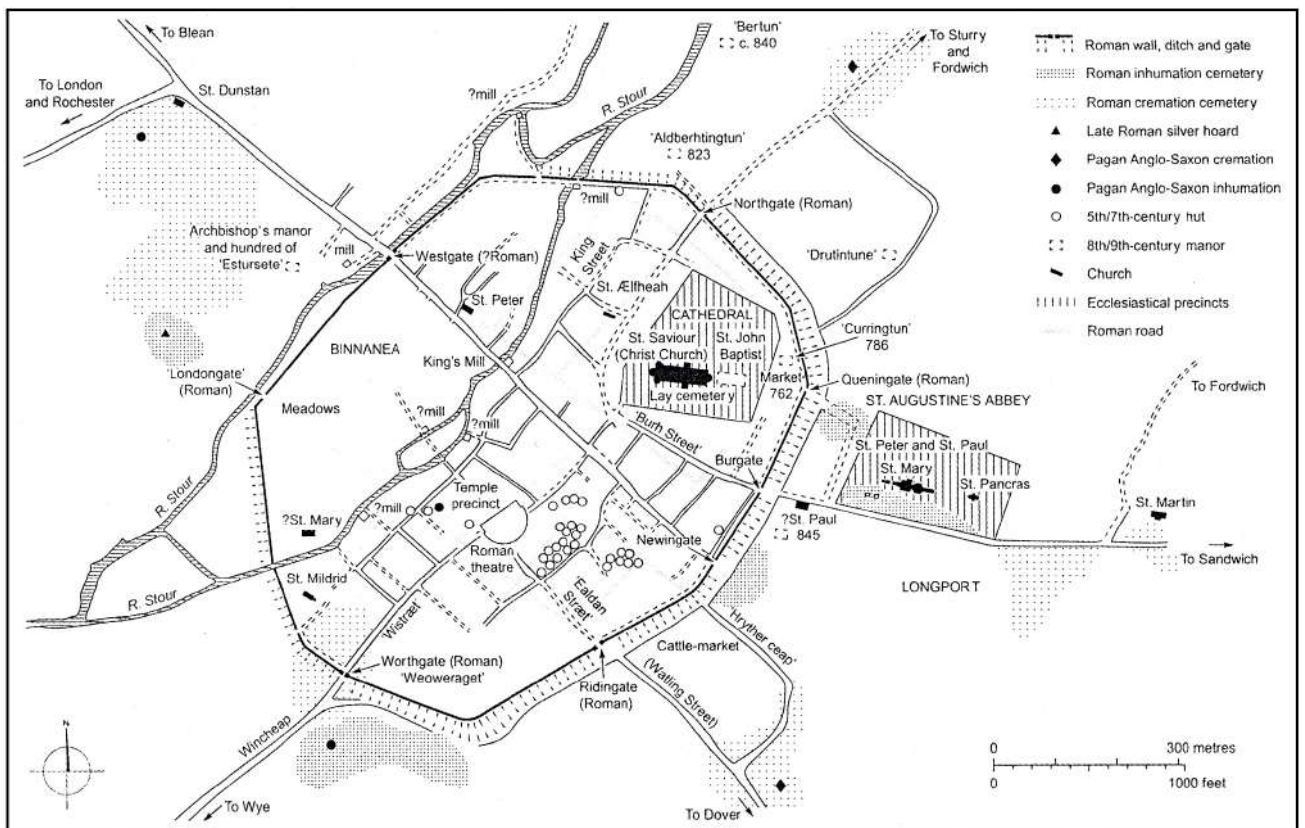


Fig. 1.2 : Cantorbéry au haut Moyen Âge (Brooks 2000 : fig. 28).

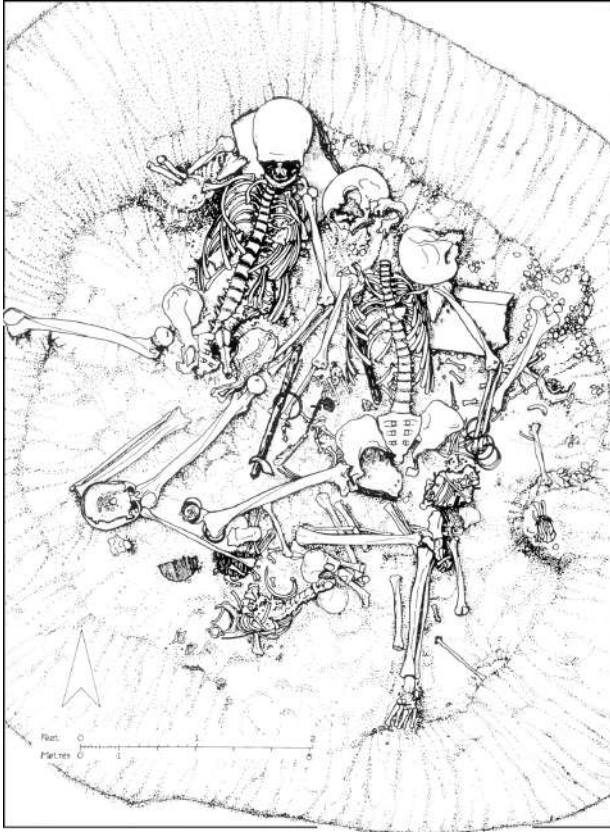


Fig. 1.3 : Cantorbéry : plan d'une tombe familiale implantée vers 400 dans l'enceinte du temple (Ottaway 1992 : fig. 4.5).

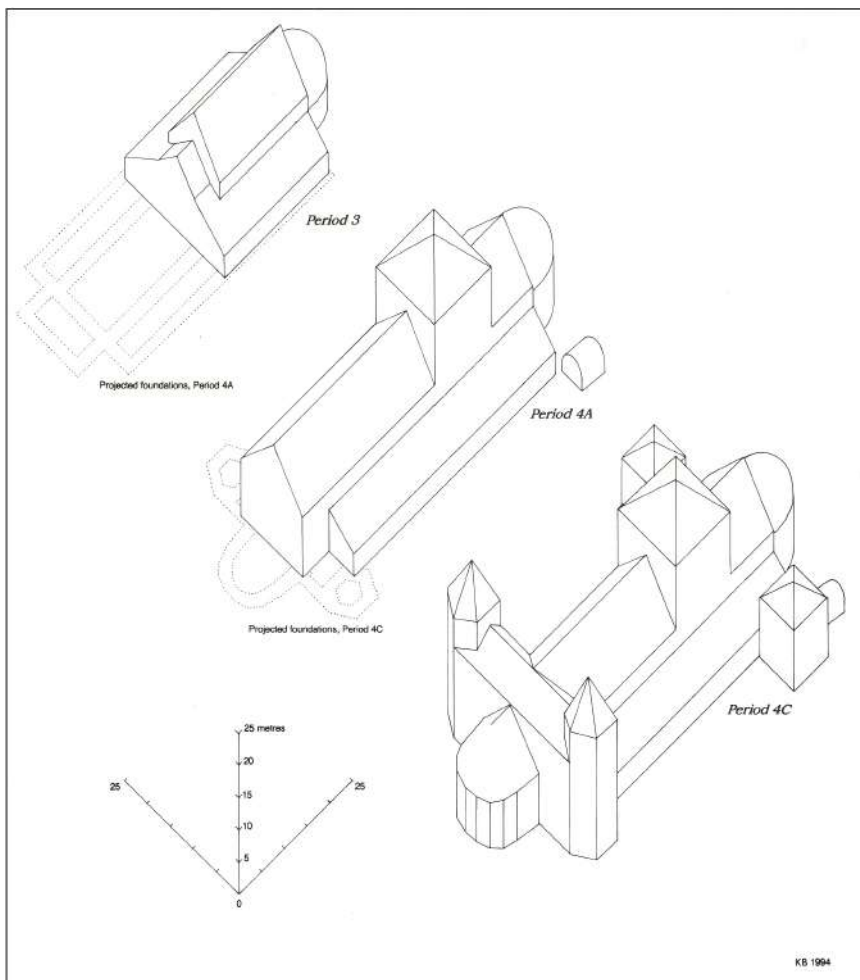


Fig. 1.4 : Cantorbéry, cathédrale Saint-Sauveur : restitution des trois états anglo-saxons (Blockley *et al.* 1997 : fig. 35).

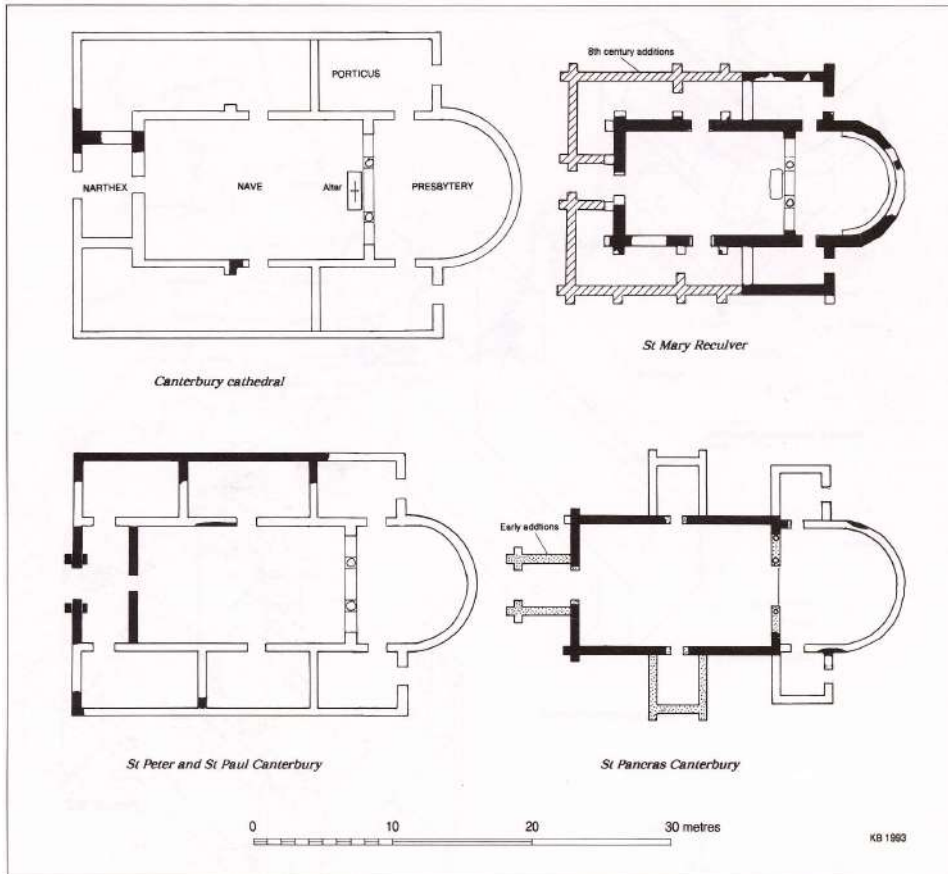


Fig. 1.5 : Cantorbéry, cathédrale Saint-Sauveur : plan de la cathédrale primitive comparée à d'autres églises du Kent du 7^e s. (Blockley et al. 1997 : fig. 36).

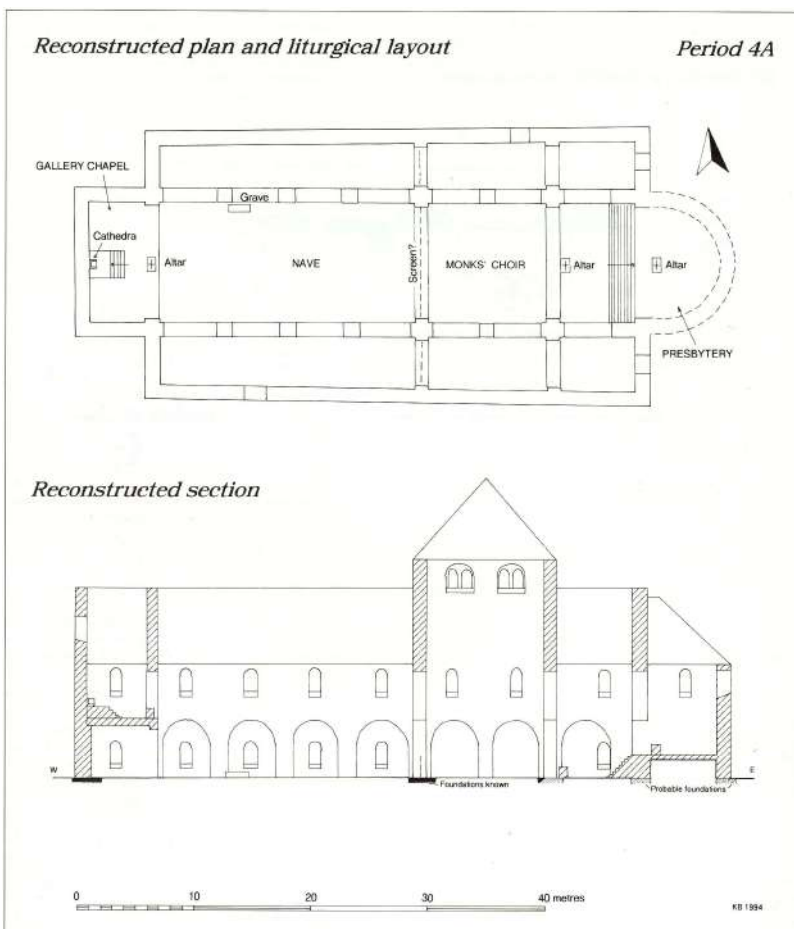


Fig. 1.6 : Cantorbéry, cathédrale Saint-Sauveur : plan et coupe restitués du deuxième état anglo-saxon (Blockley et al. 1997 : fig. 38).

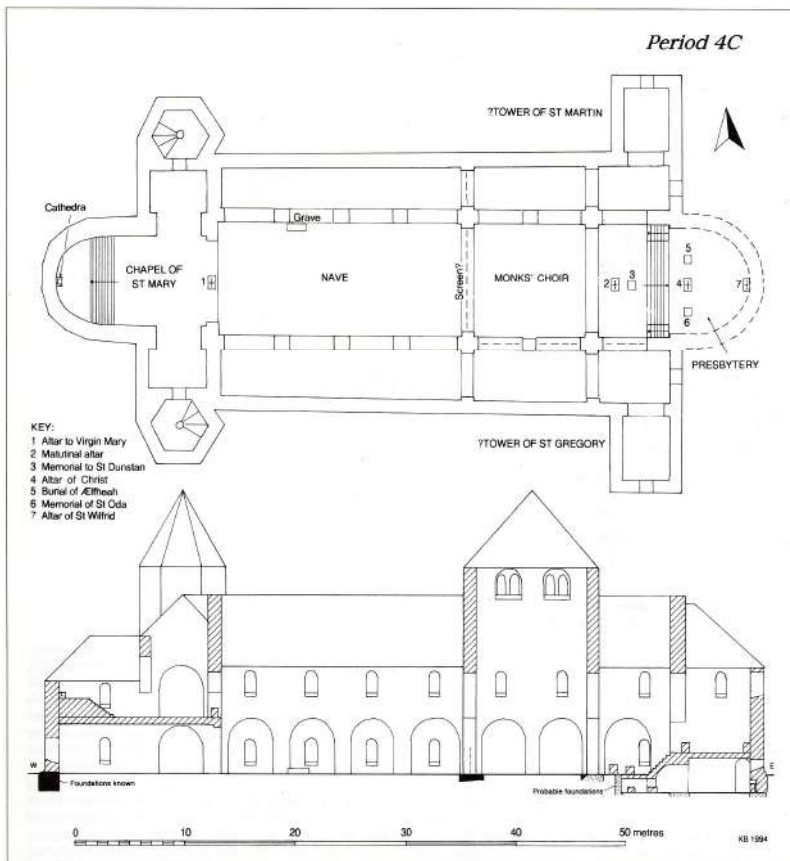


Fig. 1.7 : Cantorbéry , cathédrale Saint-Sauveur : plan et coupe restitués du troisième état anglo-saxon (Blockley et al. 1997 : fig. 40).

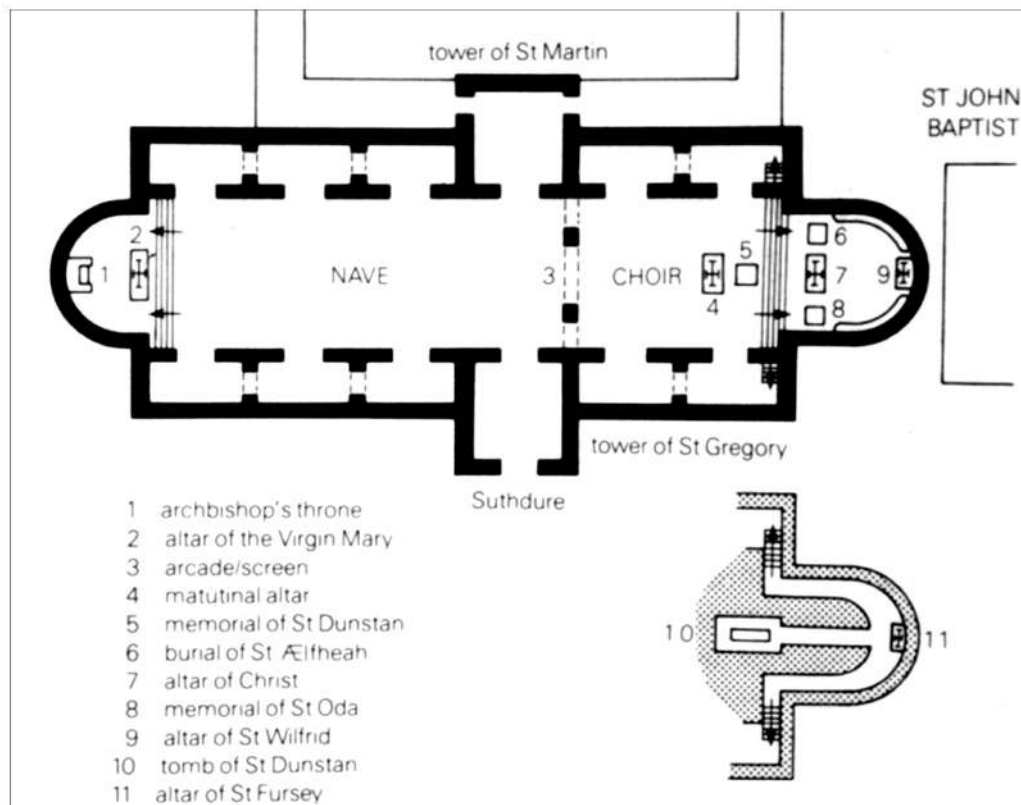


Fig. 1.8 : Cantorbéry , cathédrale Saint-Sauveur : restitution des dispositifs liturgiques (Brooks 1984 : fig. 2).

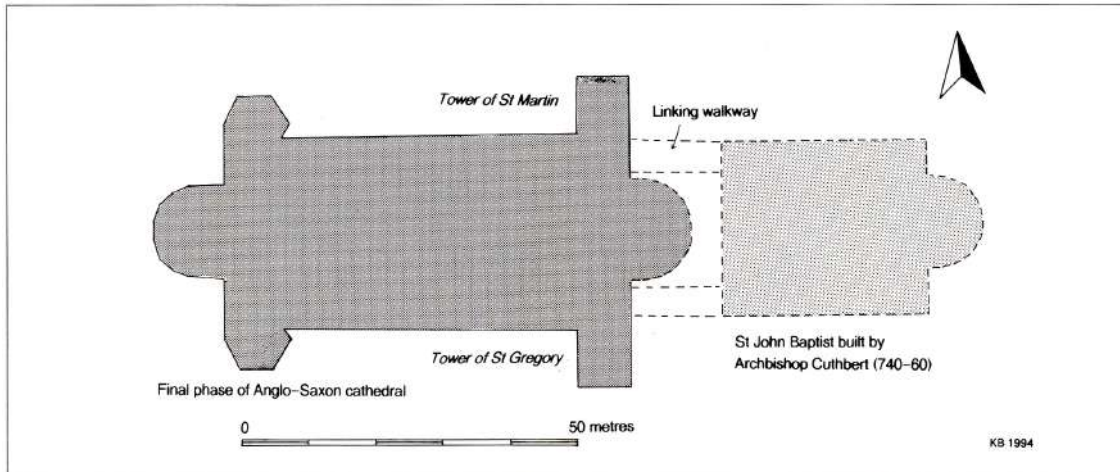


Fig. 1.9 : Cantorbéry : implantation restituée de la cathédrale et de Saint-Jean-Baptiste (Blockley *et al.* 1997 : fig. 3).

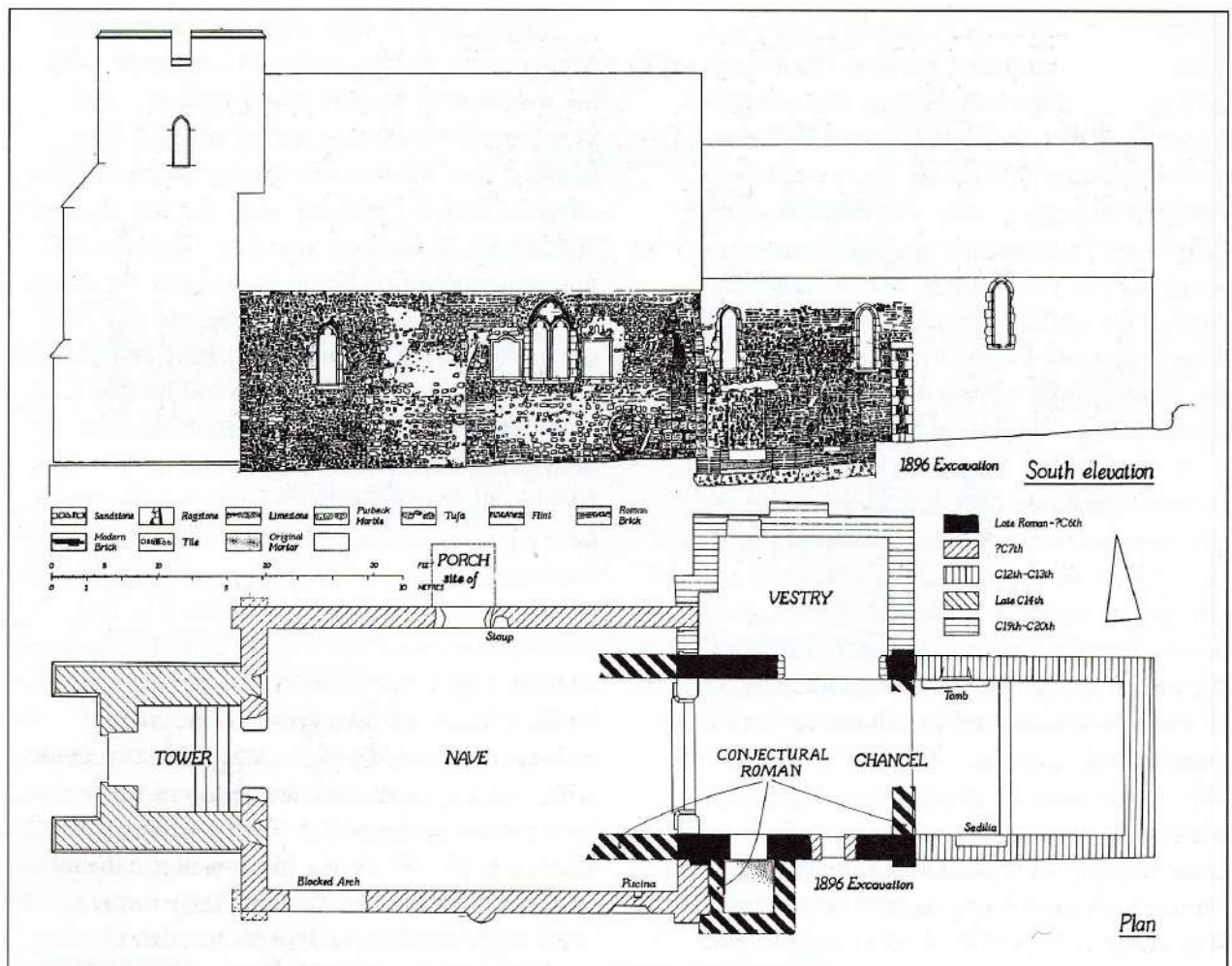


Fig. 1.10 : Cantorbéry, église Saint-Martin : plan et élévation (Gem 1997 : fig. 30).

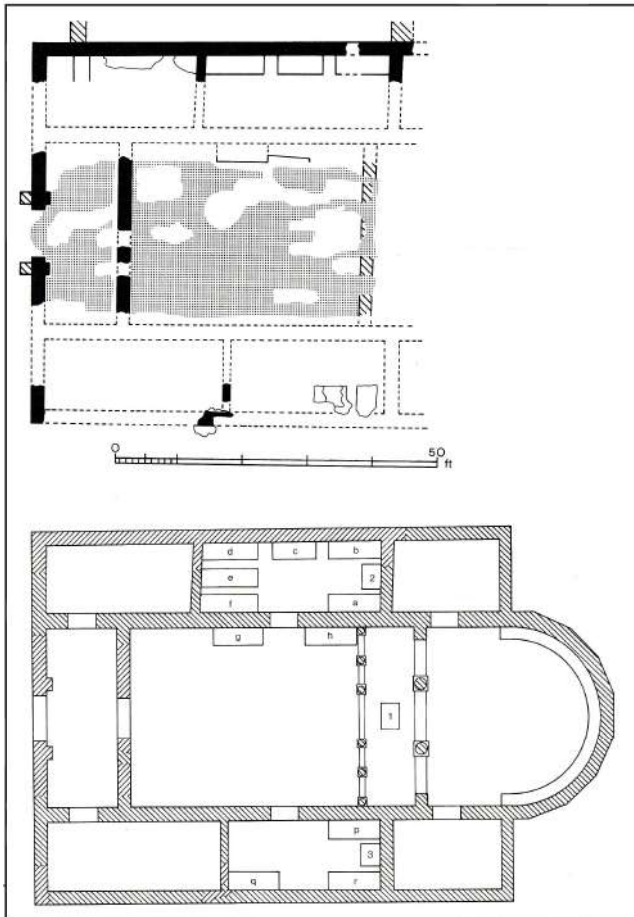


Fig. 1.11 : Cantorbéry, Saint-Augustin : plan et restitution de l'église Saint-Pierre-et-Saint-Paul (Gem 1997 : fig. 35 et 36). Autels : 1. Saint-Pierre-et-Paul ; 2. Saint-Grégoire ; 3. Saint-Martin. Tombes des archevêques : a. Augustin ; b. Laurence ; c. Mellite ; d. Juste ; e. Honorius ; f. Deusdedit ; g. incertain ; h. Théodore. Autres tombes : p. évêque Liudhard ; q. reine Bertha ; r. roi Æthelberth.

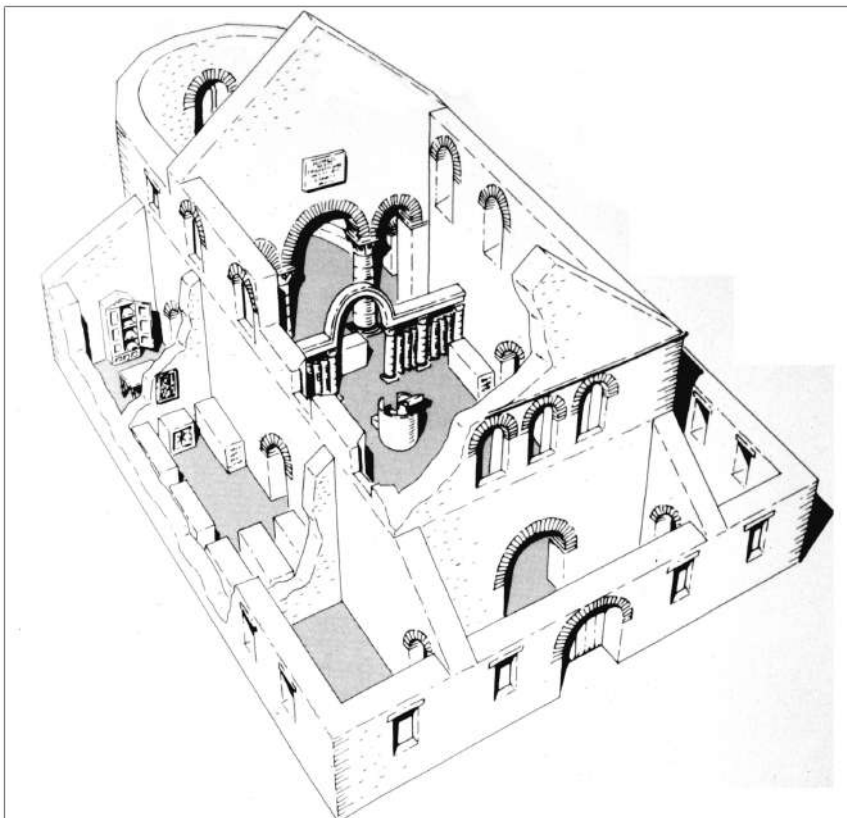


Fig. 1.12 : Cantorbéry, Saint-Augustin : restitution axonométrique de Saint-Pierre-et-Saint-Paul au 7^e s. (Gem 1999 : fig. : 37).

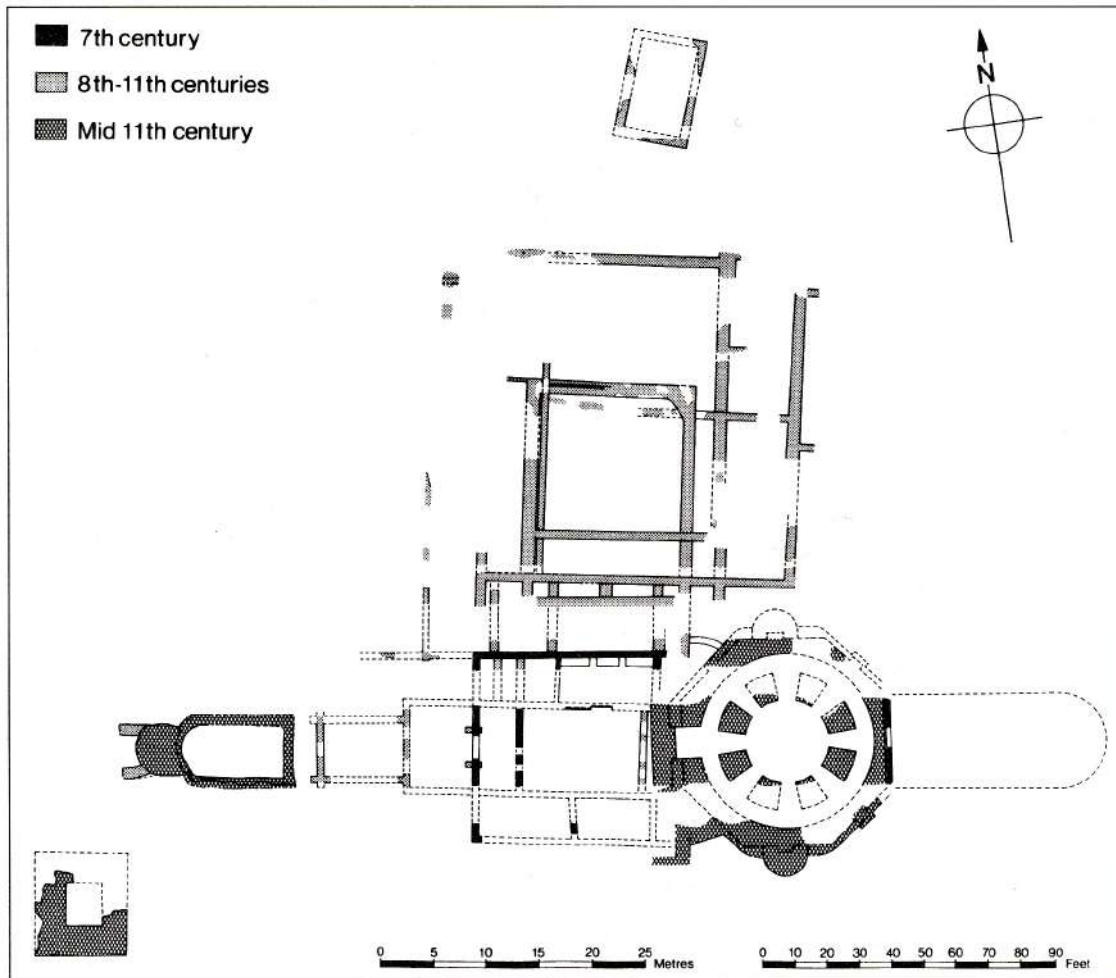


Fig. 1.13 : Cantorbéry, Saint-Augustin : plan des vestiges fouillés antérieurs au milieu du 11^e s. (Gem 1997 : fig. 4).

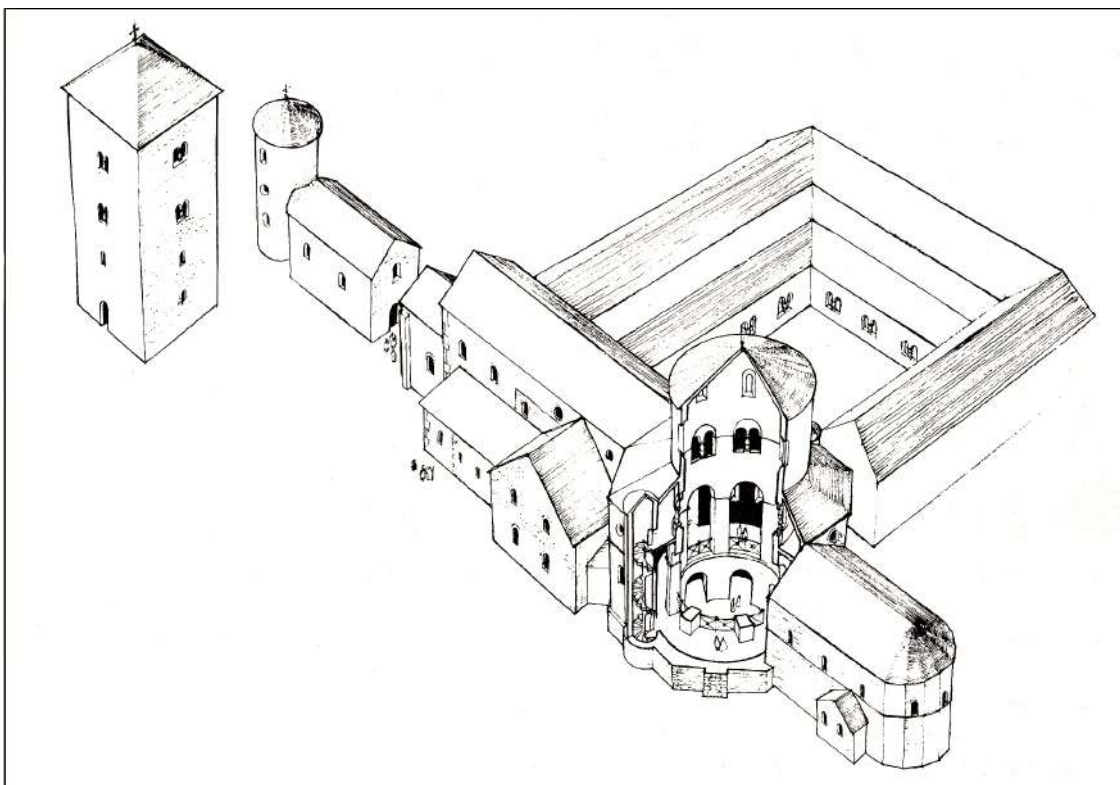


Fig. 1.14 : Cantorbéry, Saint-Augustin : restitution des bâtiments au milieu du 11^e s. (Gem 1997 : fig. 49).

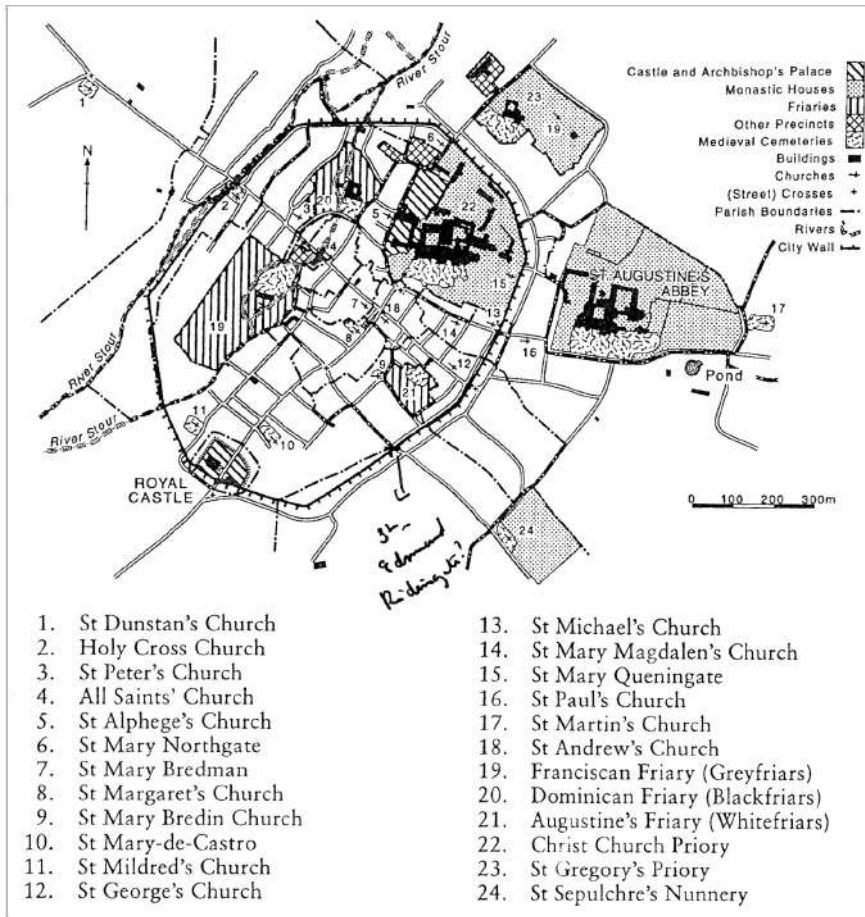


Fig. 1.15 : Cantorbéry : la topographie religieuse vers 1500 (Tatton-Brown 1998 : fig. 11.1).

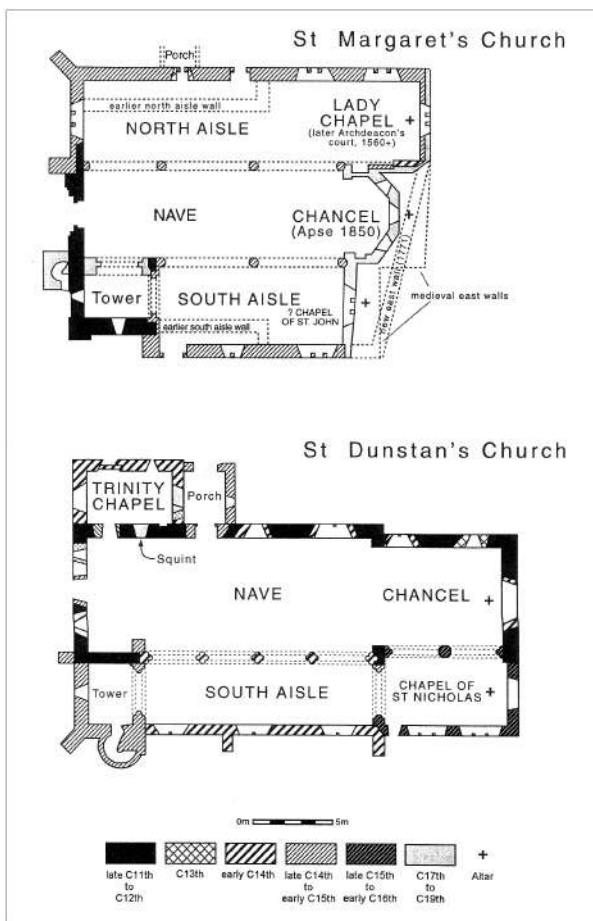


Fig. 1.16 : Cantorbéry : plan des églises paroissiales Sainte-Margaret et Saint-Dunstan (Tatton-Brown 1998 : fig. 11.13).

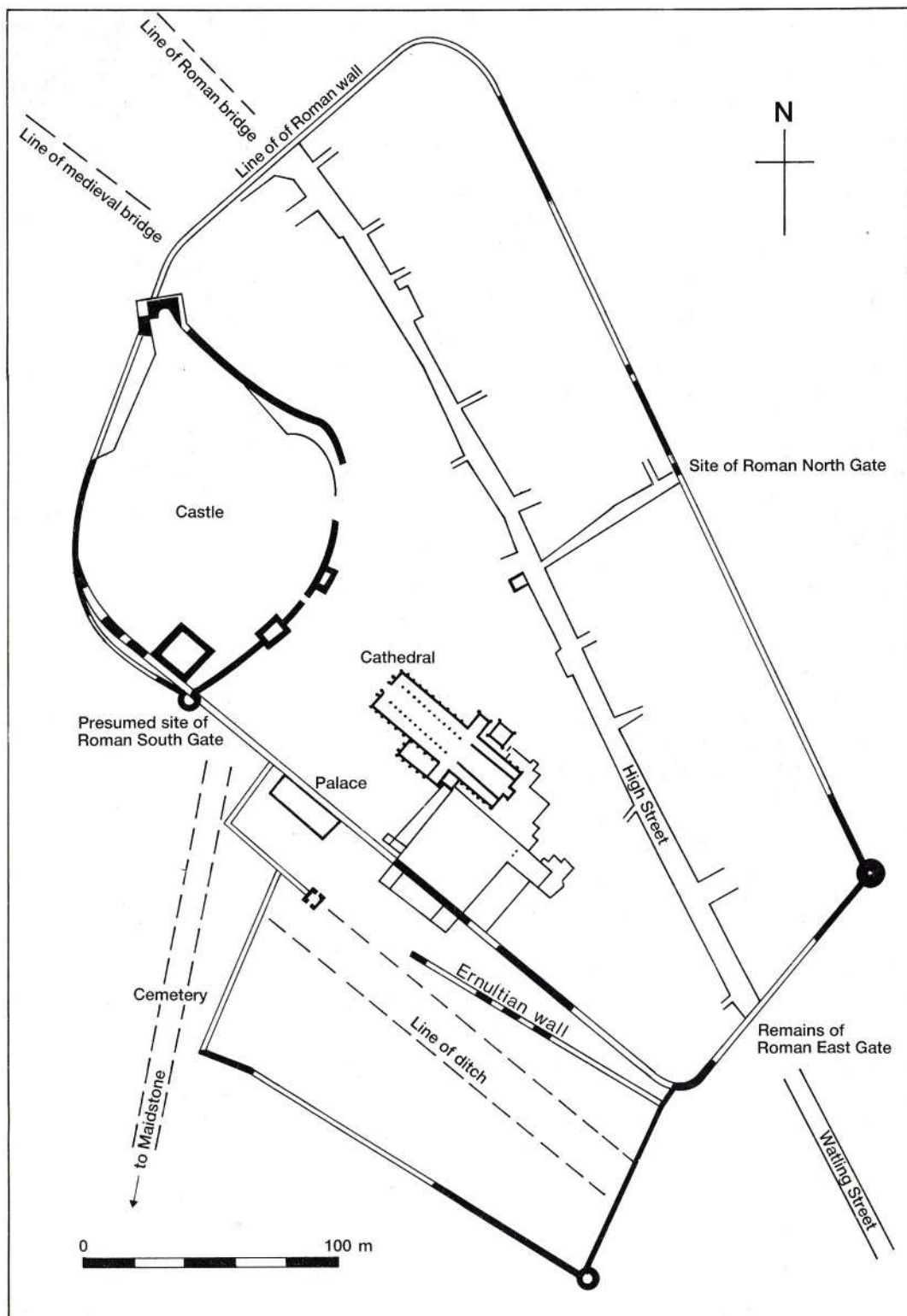


Fig. 2.1 : Rochester : topographie médiévale (Burnham et Wachter 1990 : fig. 16).

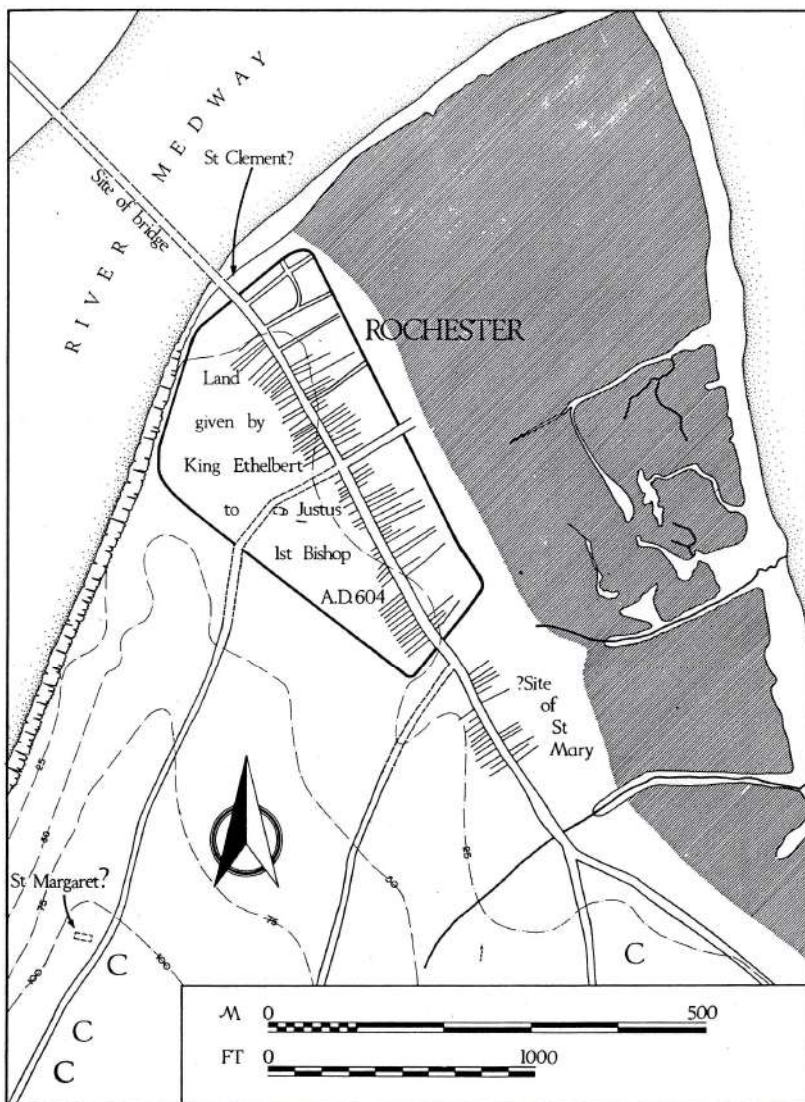


Fig. 2.2 : Rochester et son environnement au haut Moyen Âge (C : nécropoles anglo-saxonnes) (Tatton-Brown 1984 : fig. 4).

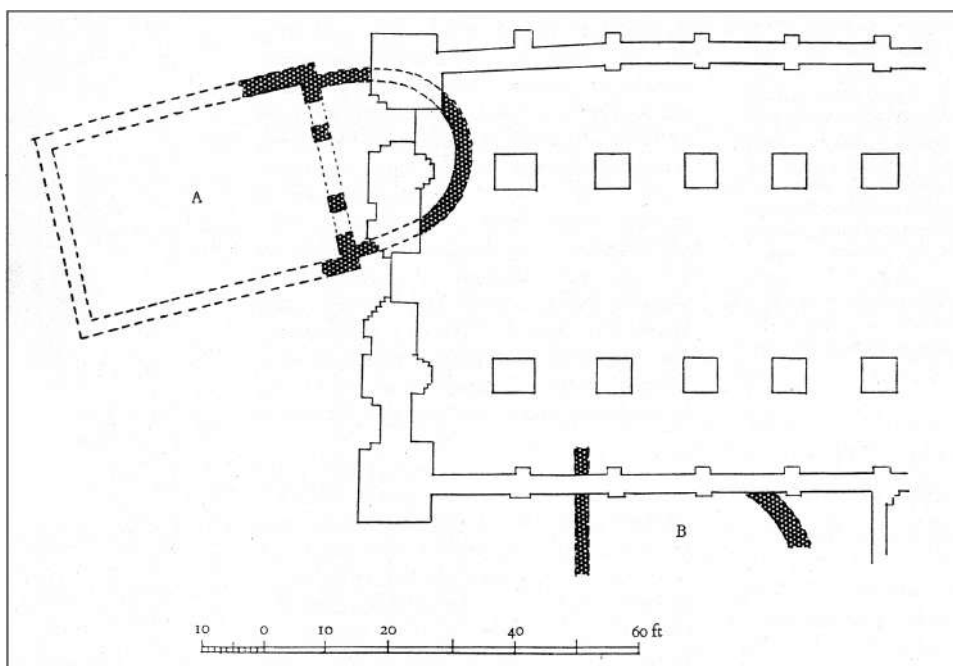


Fig. 2.3 : Rochester, site de la cathédrale : vestiges des deux églises du haut Moyen Âge. A : église attribuée à la période d'Æthelberht ; B : vestiges, d'une autre église primitive ? (Taylor et Taylor 1965 : fig. 252).

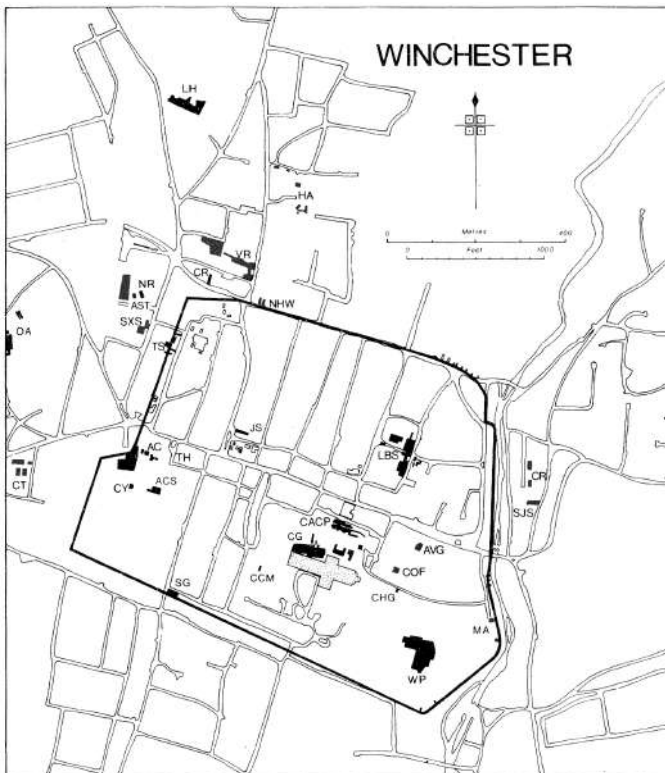


Fig. 3.1 : Winchester : localisation des fouilles conduites de 1961 à 1983 (Biddle 1990 : fig. 1).

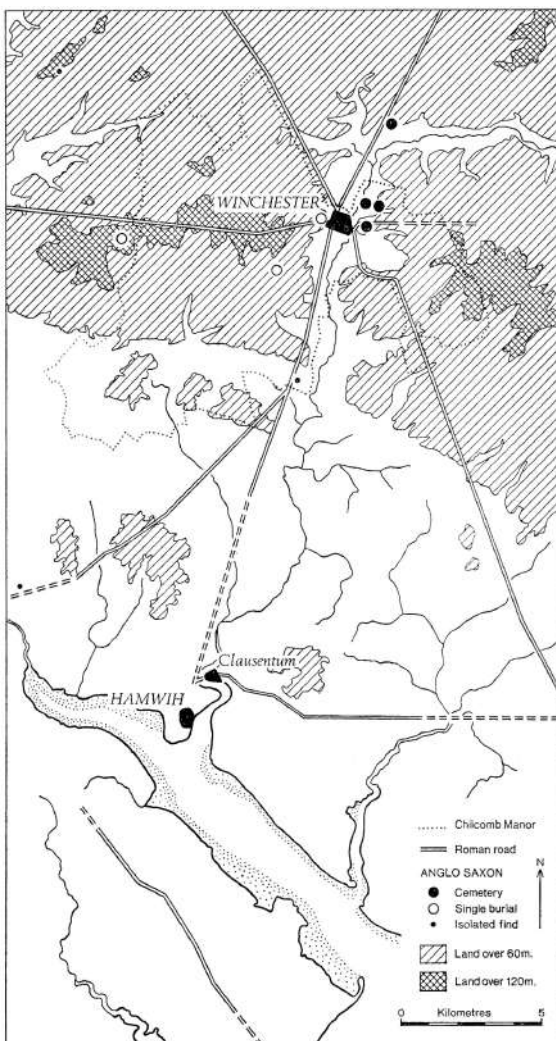


Fig. 3.2 : Winchester : carte de localisation et environnement de la ville du 7^e au 9^e s. (Biddle 1973 : fig. 1, p. 230).

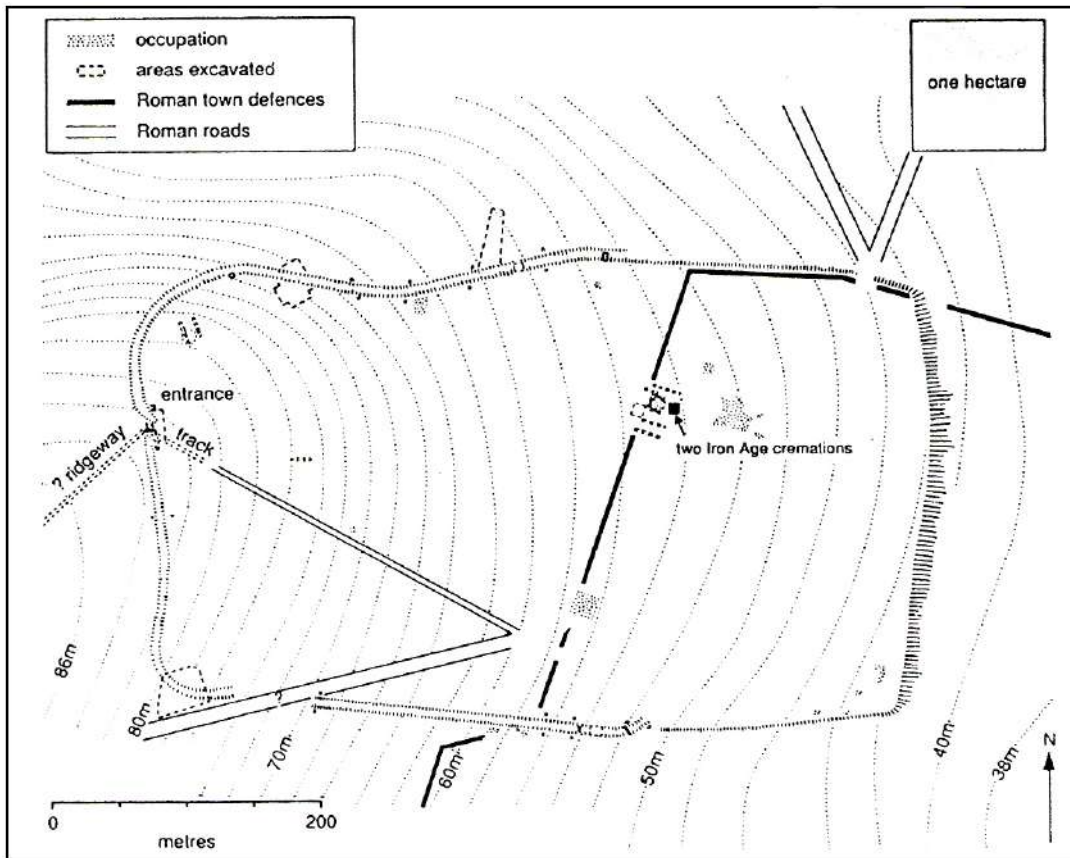


Fig. 3.3 : Winchester : plan de l'habitat à la fin de l'Âge du Fer (Kjølbye-Biddle 1992 : fig. 14.1).

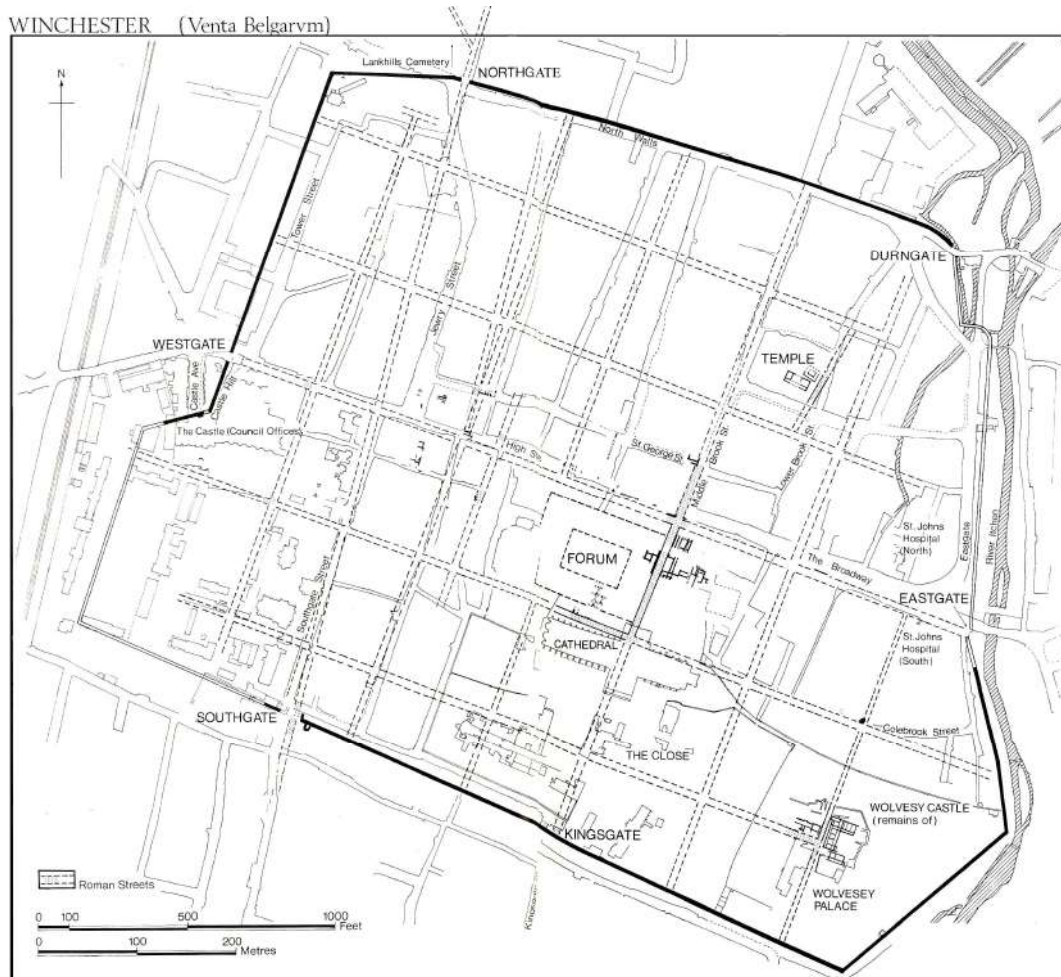


Fig. 3.4 : Winchester : plan de la ville antique (Wacher 1974 : fig. 65).

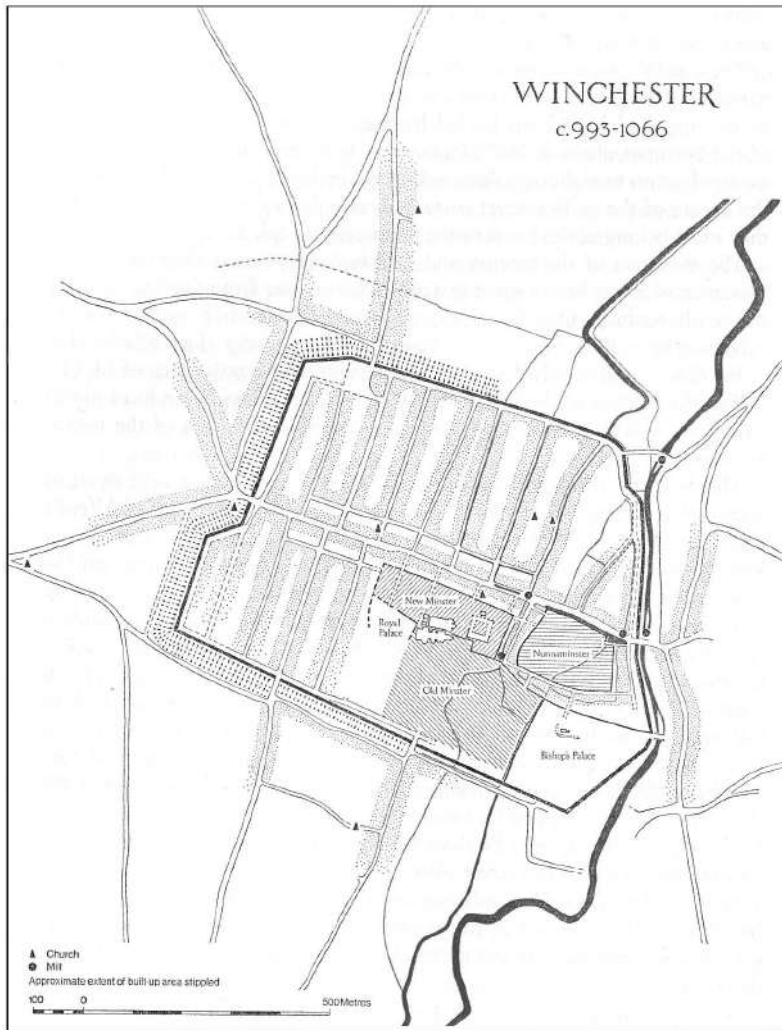


Fig. 3.5 : Winchester à la fin de l'époque anglo-saxonne (vers 993 – vers 1066) (Barlow *et al.* 1976 : fig. 25).

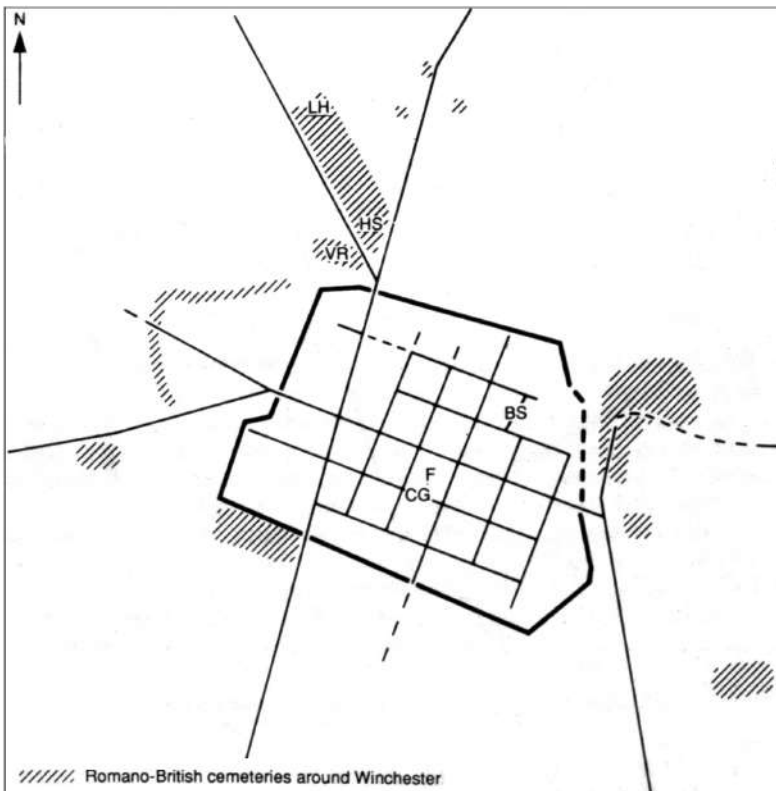


Fig. 3.6 : Winchester : topographie funéraire antique (Kjolbye-biddle 1992 : fig. 14.2).

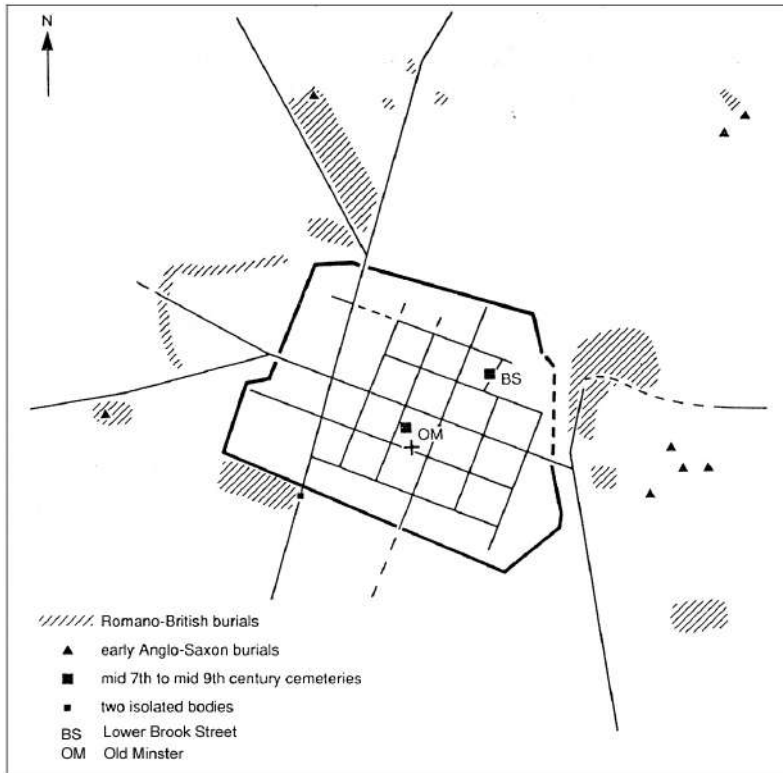


Fig. 3.7 : Winchester : les sites funéraires antérieurs au milieu du 9^e s. (Kjolbye-Biddle 1992 : fig. 14.5).

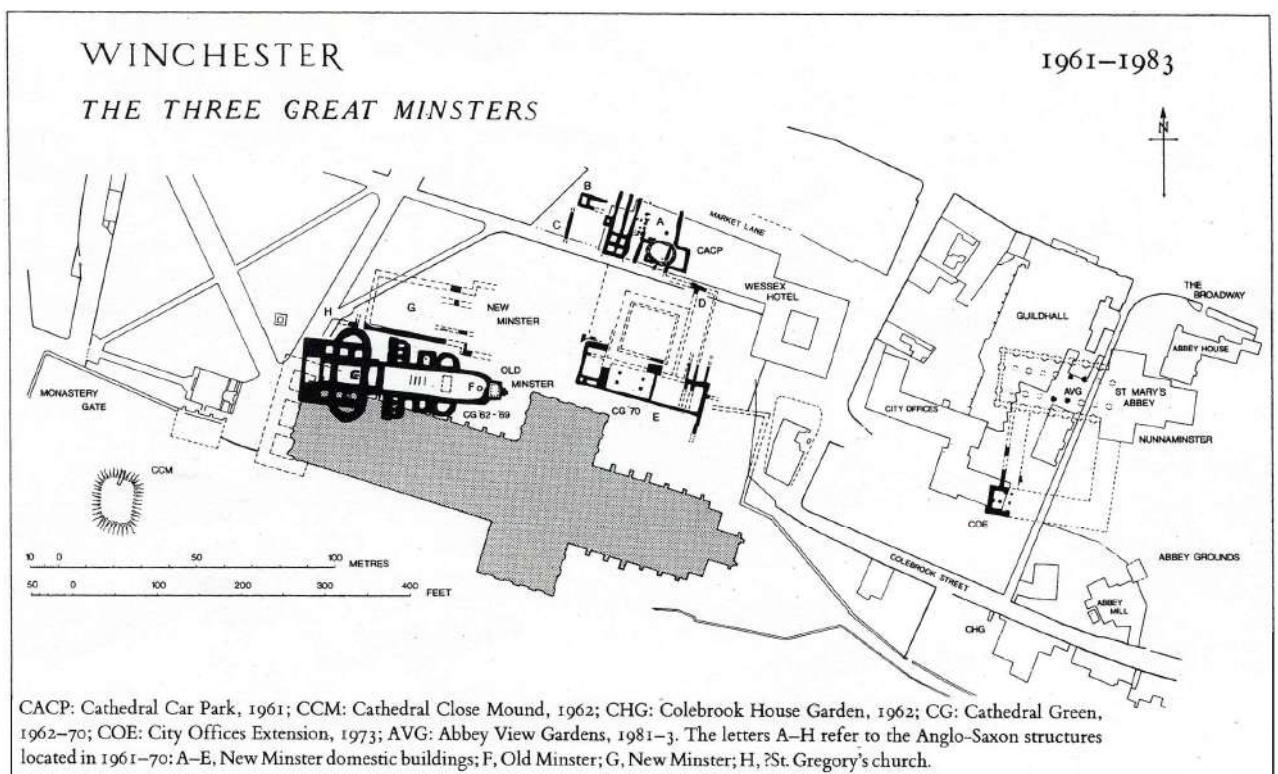


Fig. 3.8 : Winchester, Cathedral Green : plan des trois *minsters* du haut Moyen Âge et de leur environnement (Biddle 1990b : fig. 383).

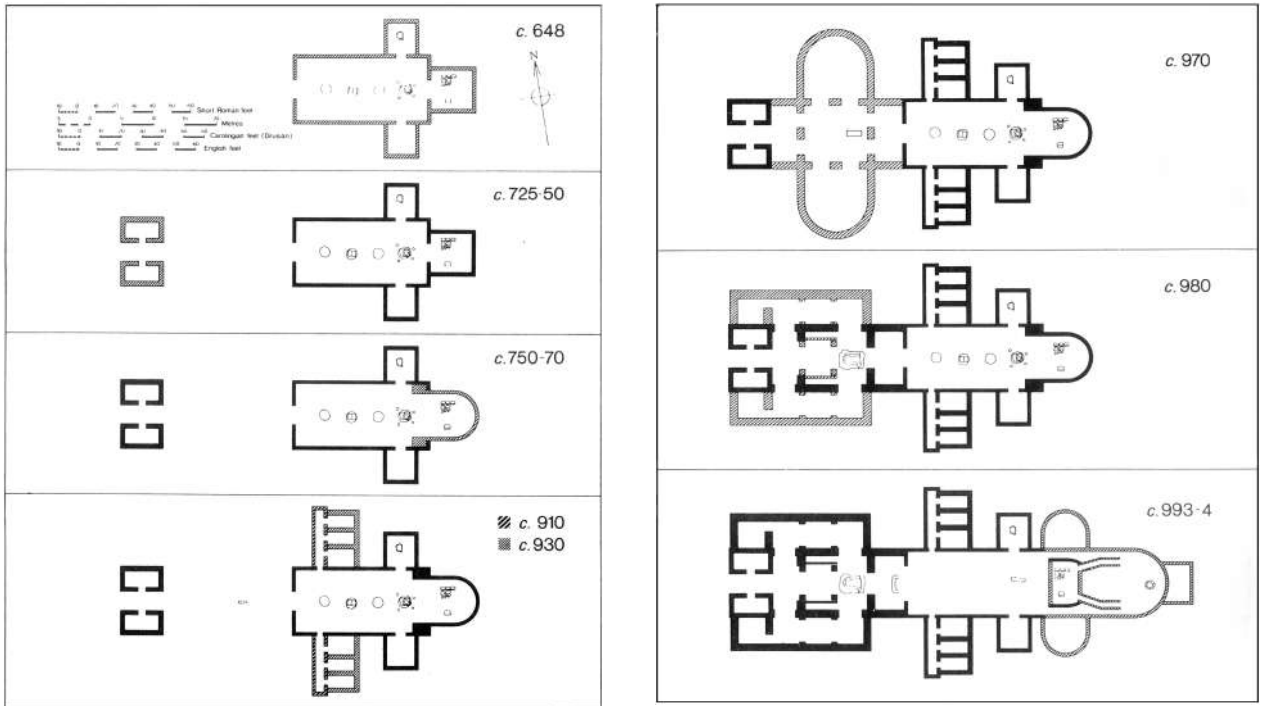


Fig. 3.9 : Winchester, *Old Minster* : évolution de l'église du milieu du 7^e s. au début du 10^e s. (Biddle 1986 : fig. 12).

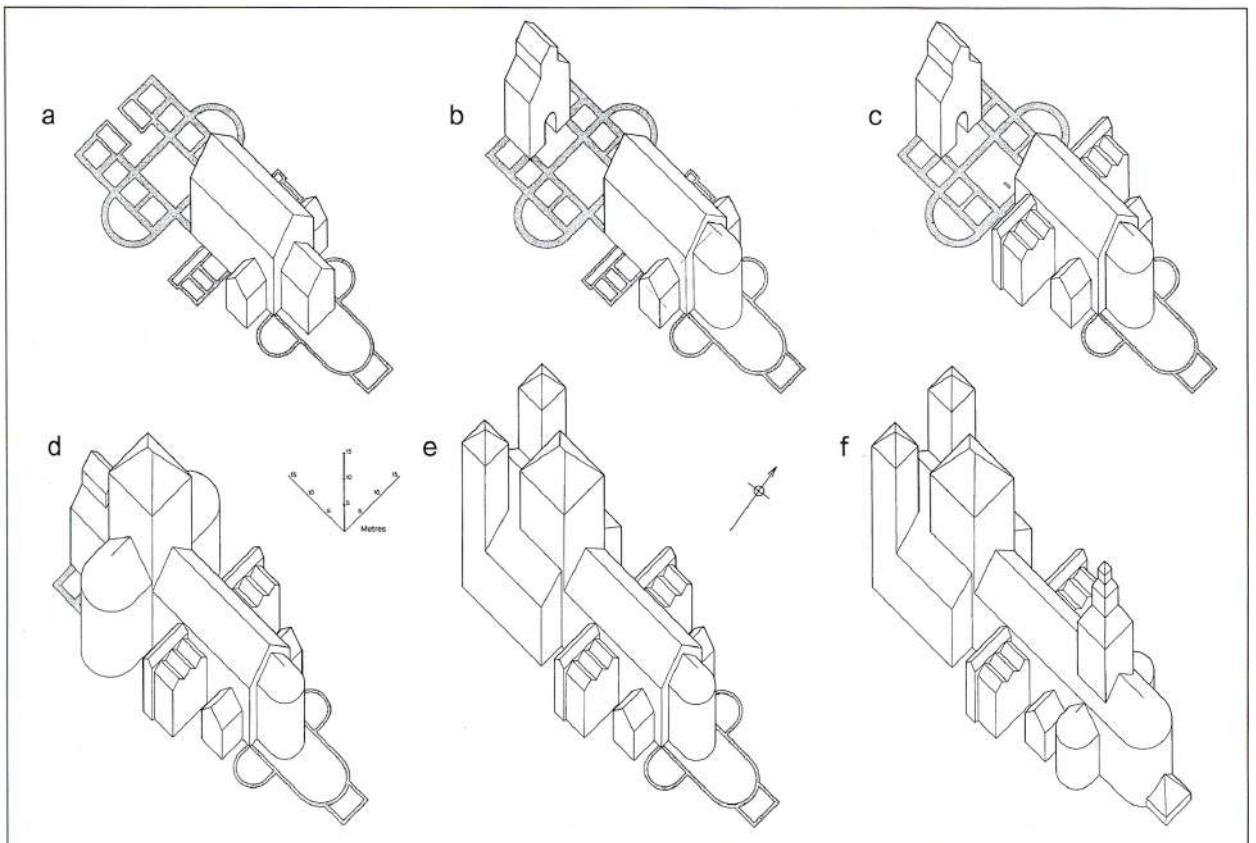


Fig. 3.10 : Winchester, *Old Minster* : reconstitutions axonométriques de l'église du milieu du 7^e s. au début du 10^e s. (Beaumont James 1997 : fig. 23).

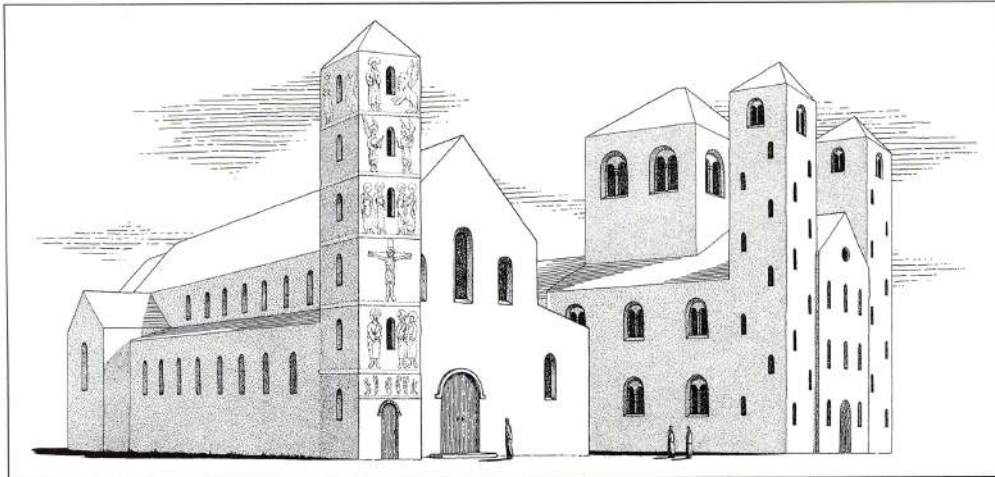


Fig. 3.11 : Winchester, *New Minster* (à gauche) et *Old Minster* (à droite) : reconstitution des façades occidentales (fin 10^e – fin 11^e s.) (Beaumont James : fig. 25).

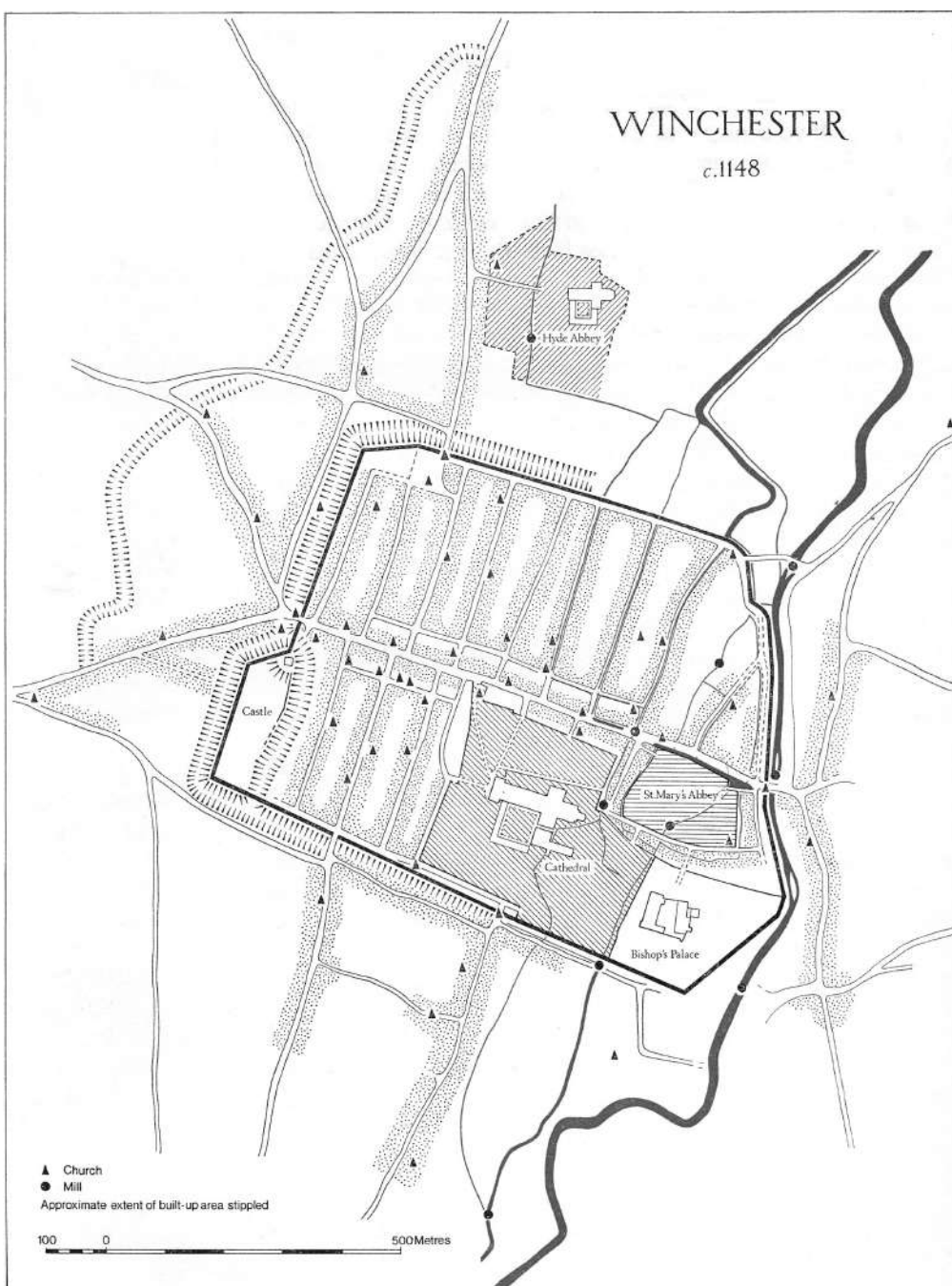


Fig. 3.12 : Winchester vers 1148 (Barlow *et al.* 1976 : fig. 27).

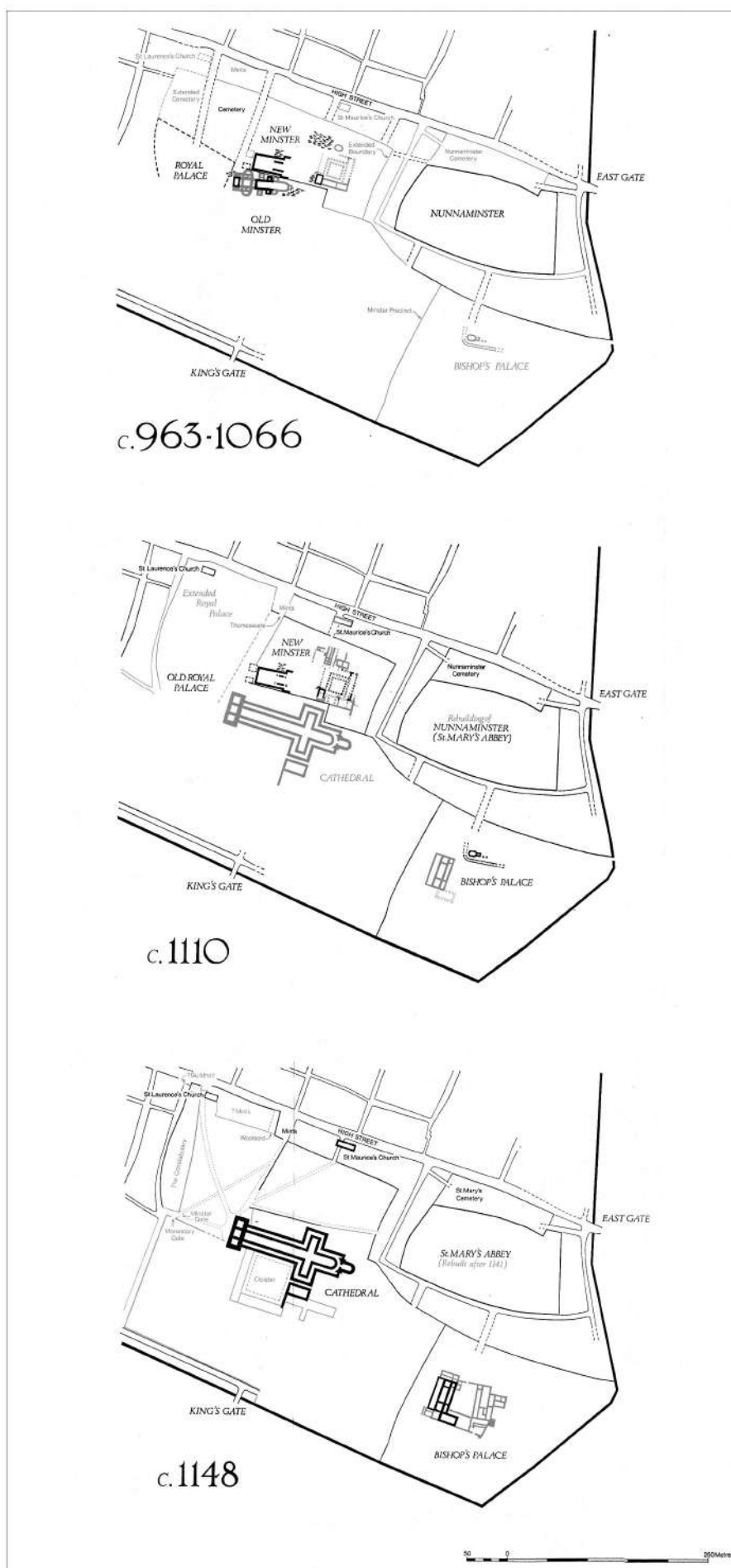


Fig. 3.13 : Winchester, le quartier ecclésiastique : évolution topographique de c. 963 à c. 1148 (Barlow *et al.* 1976 : fig. 9).

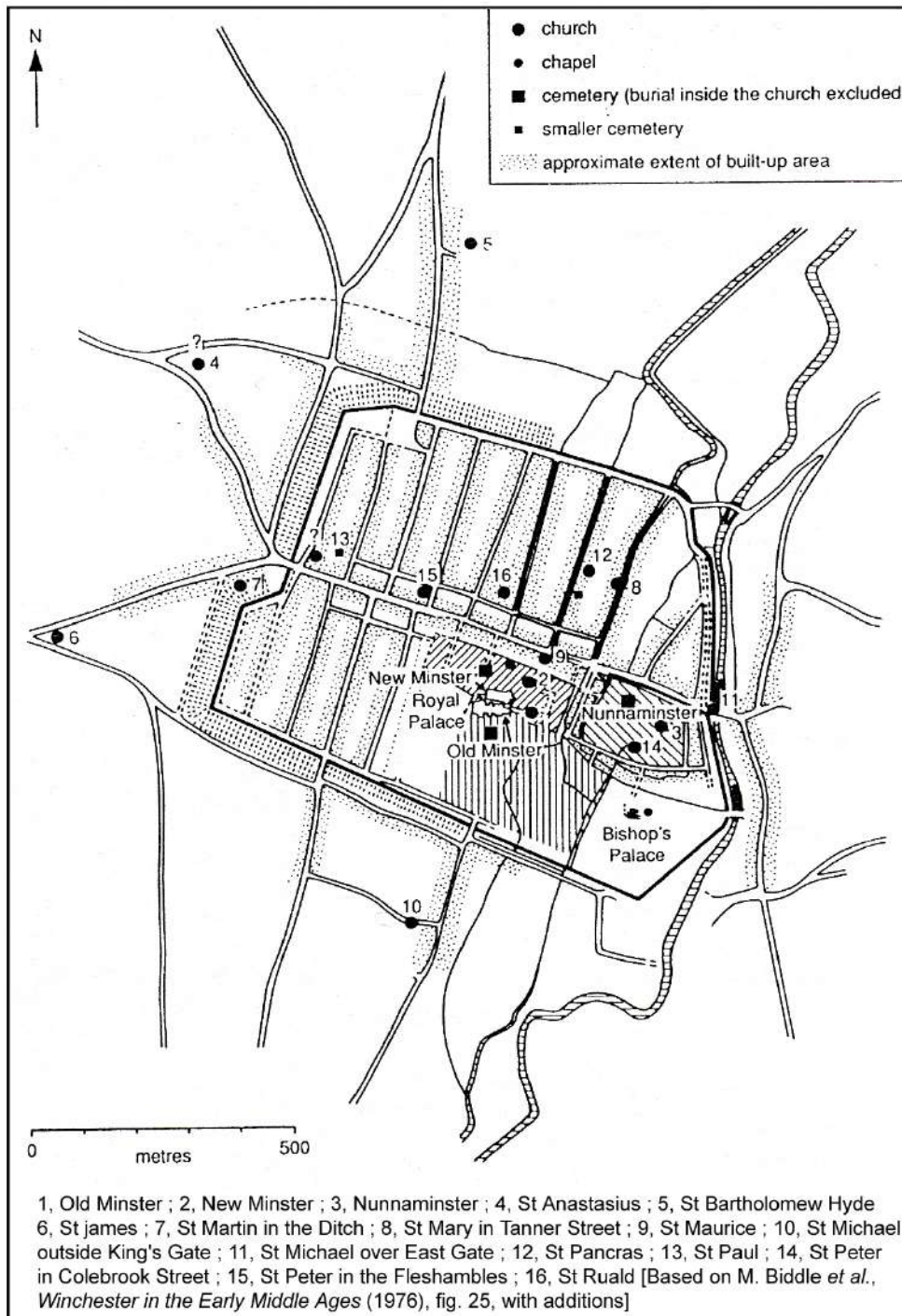


Fig. 3.14 : Winchester : topographie religieuse et funéraire de la fin du 9^e s. à la fin du 11^e s. (Kjolbye-Biddle 1992 : fig. 14.6)

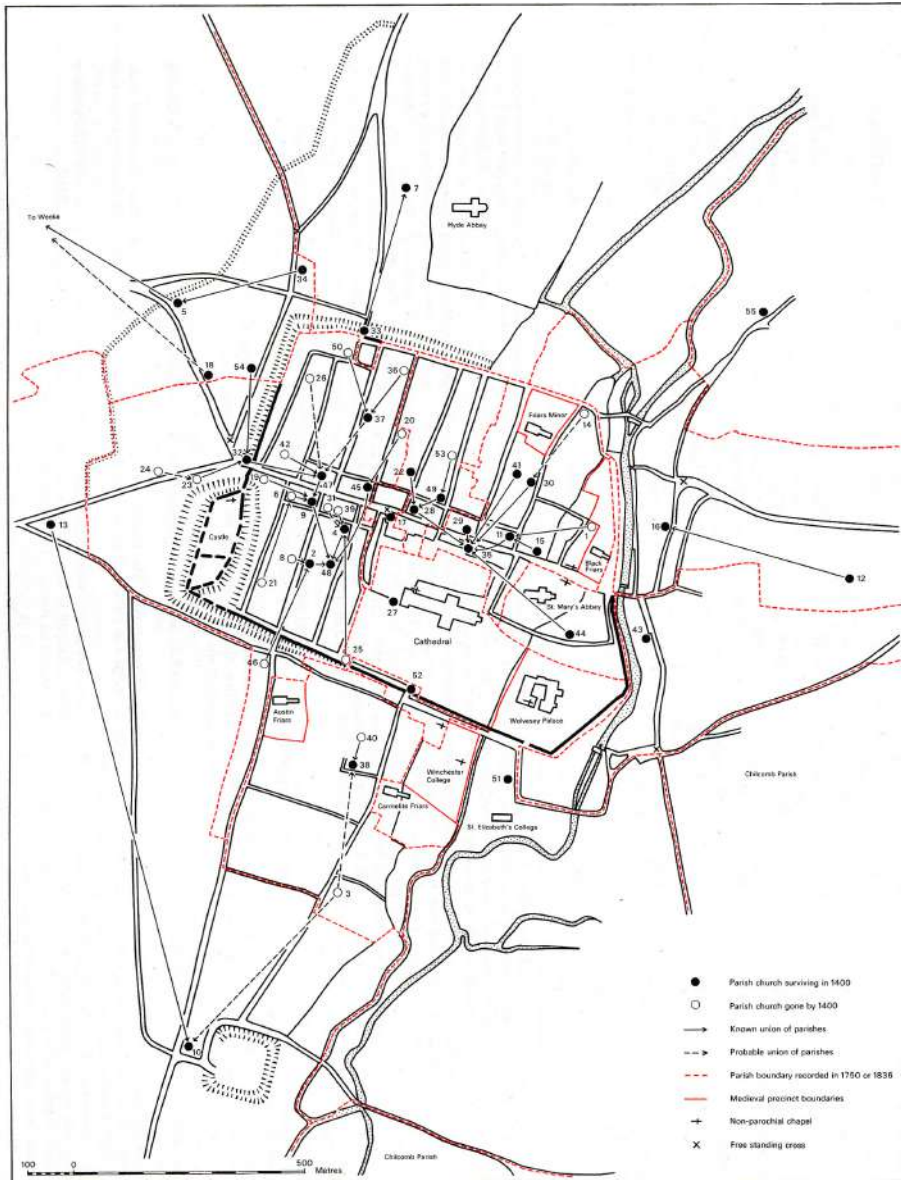


Fig. 3.15 : Winchester : topographie paroissiale au Moyen Âge (Keene 1985 : fig. 8).

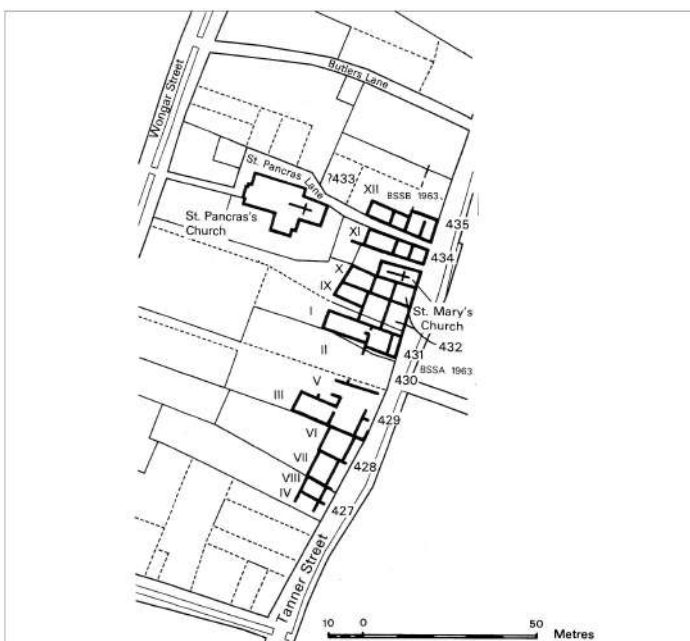


Fig. 3.16 : Winchester, Lower Brook Street : plan des édifices civils et religieux du Moyen Âge mis au jour entre 1962 et 1971 (Biddle 1990 : fig. 379).

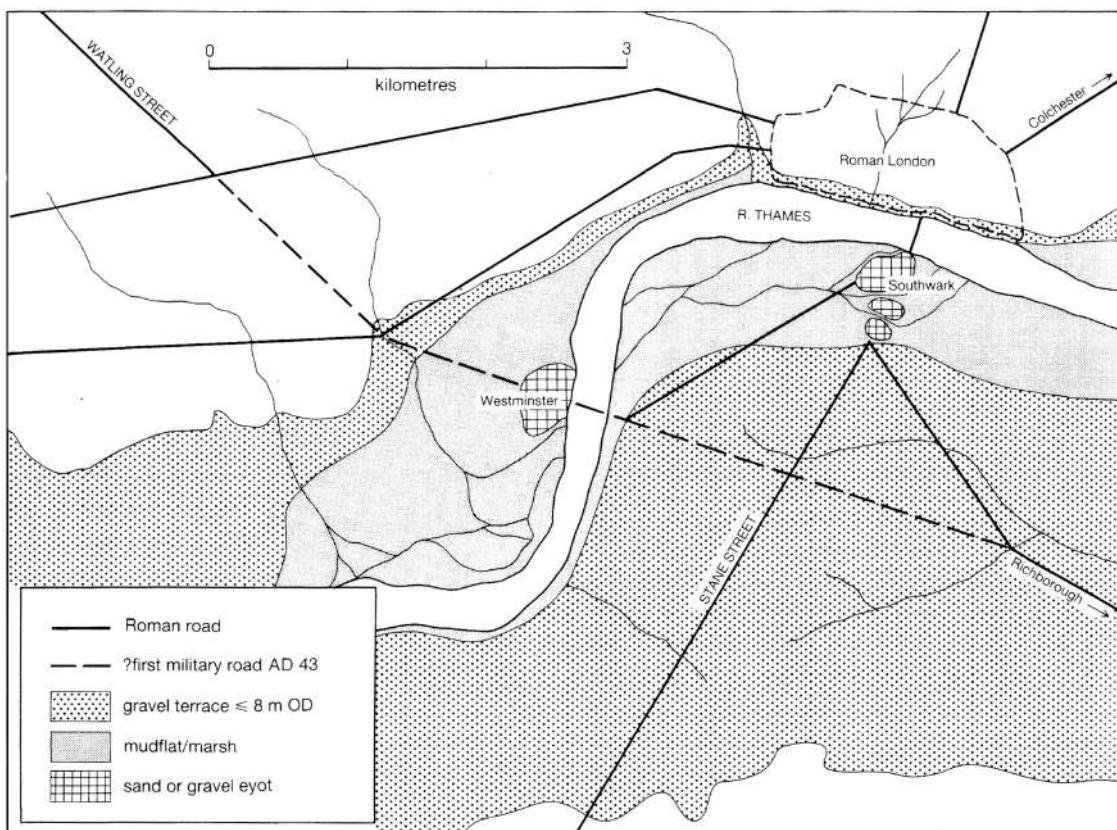


Fig. 4.1 : Londres : géologie et réseau routier antique (Jones et Mattingly 1990 : fig. 5.19).

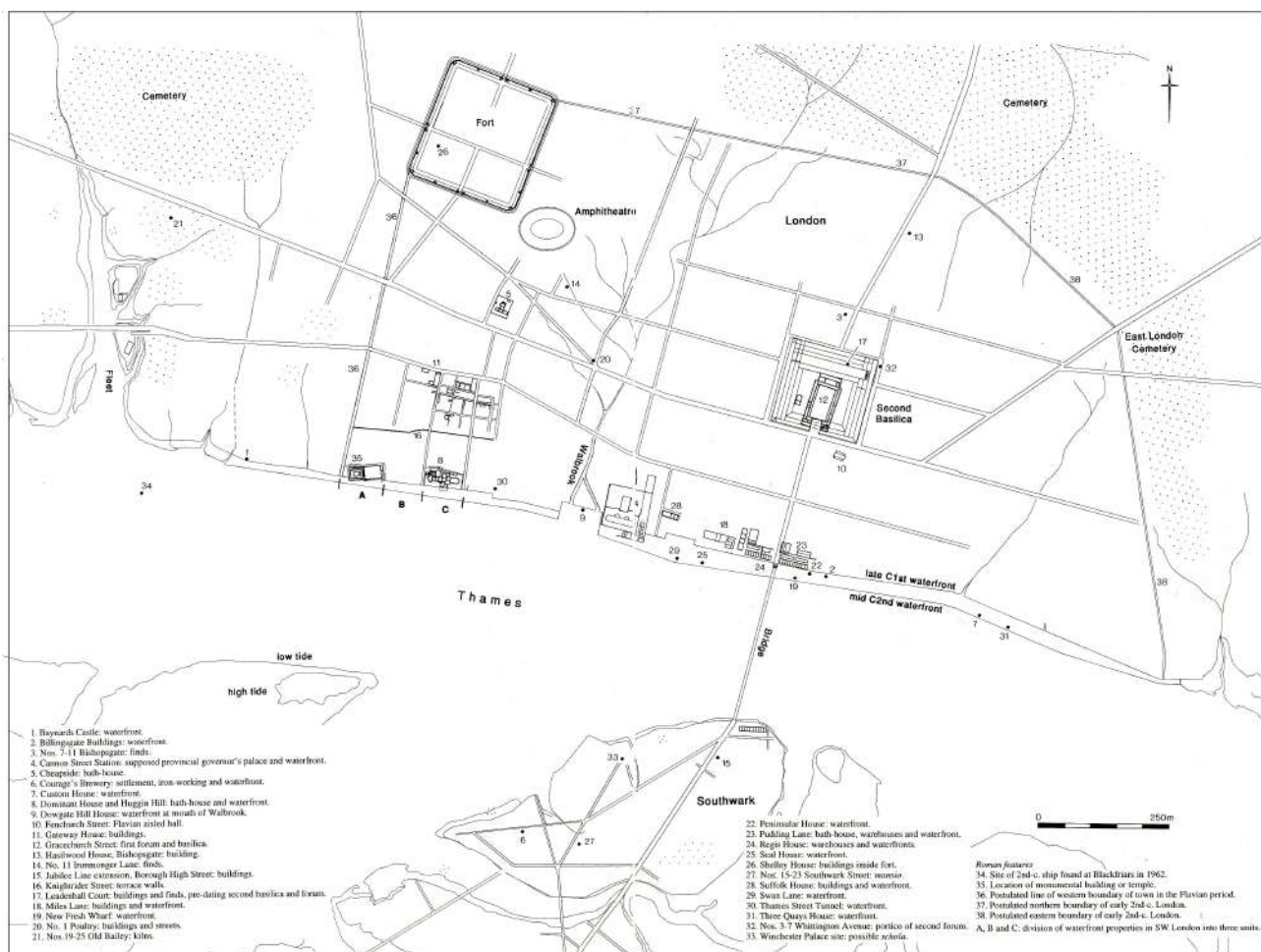


Fig. 4.2 : Londres et Southwark entre 50 et 180 ap. J.-C. (Watson 1998 : fig. 2).



Fig. 4.3 : Londres et Southwark entre 180 et 400 (Watson 1998 : fig. 3).

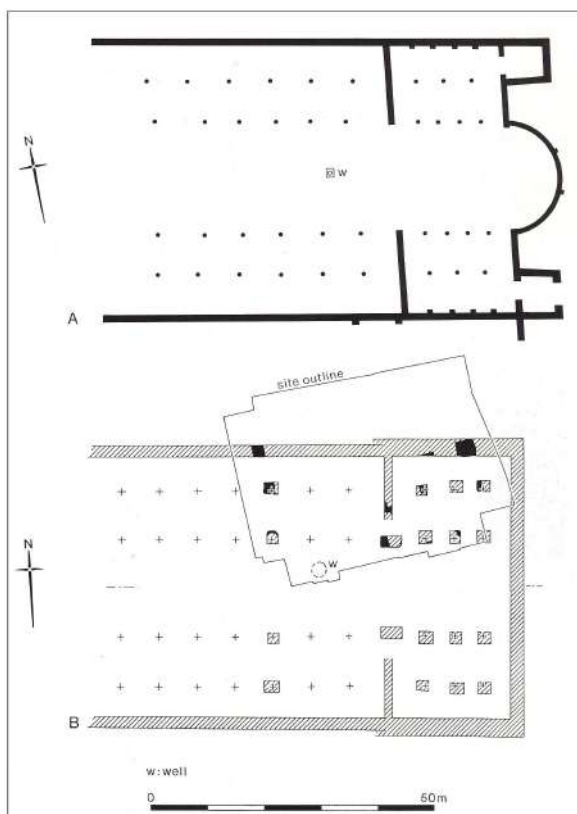


Fig. 4.4 : Londres, Colchester House : restitution d'un édifice basilical, comparé à Sainte-Tecla de Milan (Sankey 1998 : fig. 17).

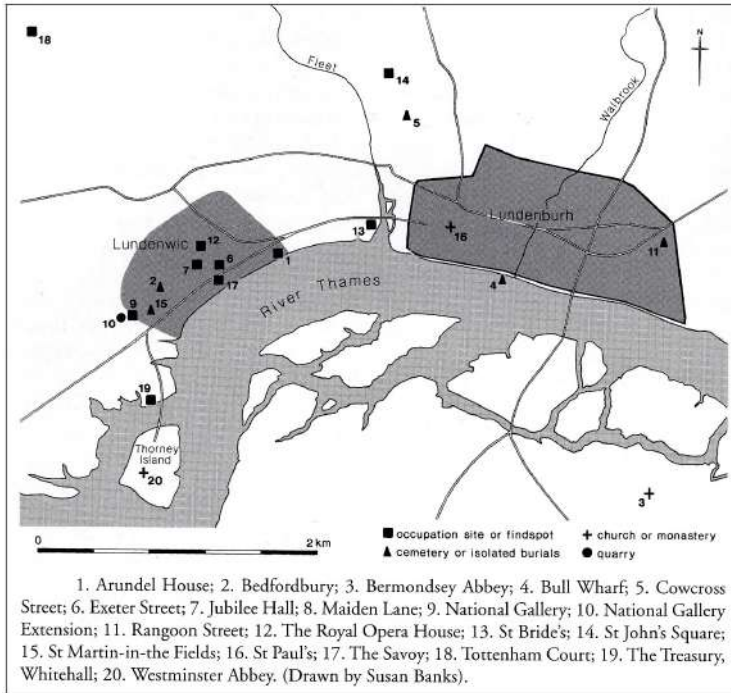


Fig. 4.5 : Londres : la cité et *Lundenwic* (Blackmore 2002 : fig. 2).

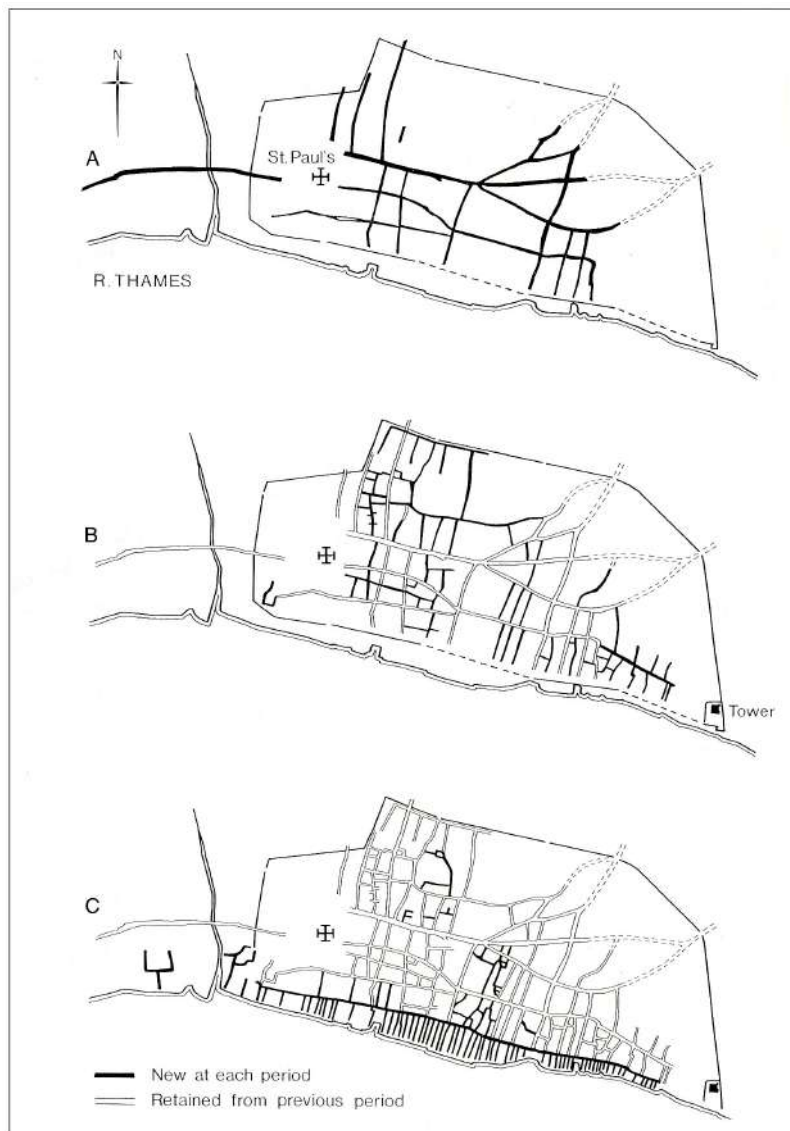


Fig. 4.6 : Londres, la cité : restitution de l'évolution de la voirie. A : au temps d'Alfred ? ; B : fin 10^e – fin 11^e s. ; C : 12^e s. (Vince 1990 : fig. 65).

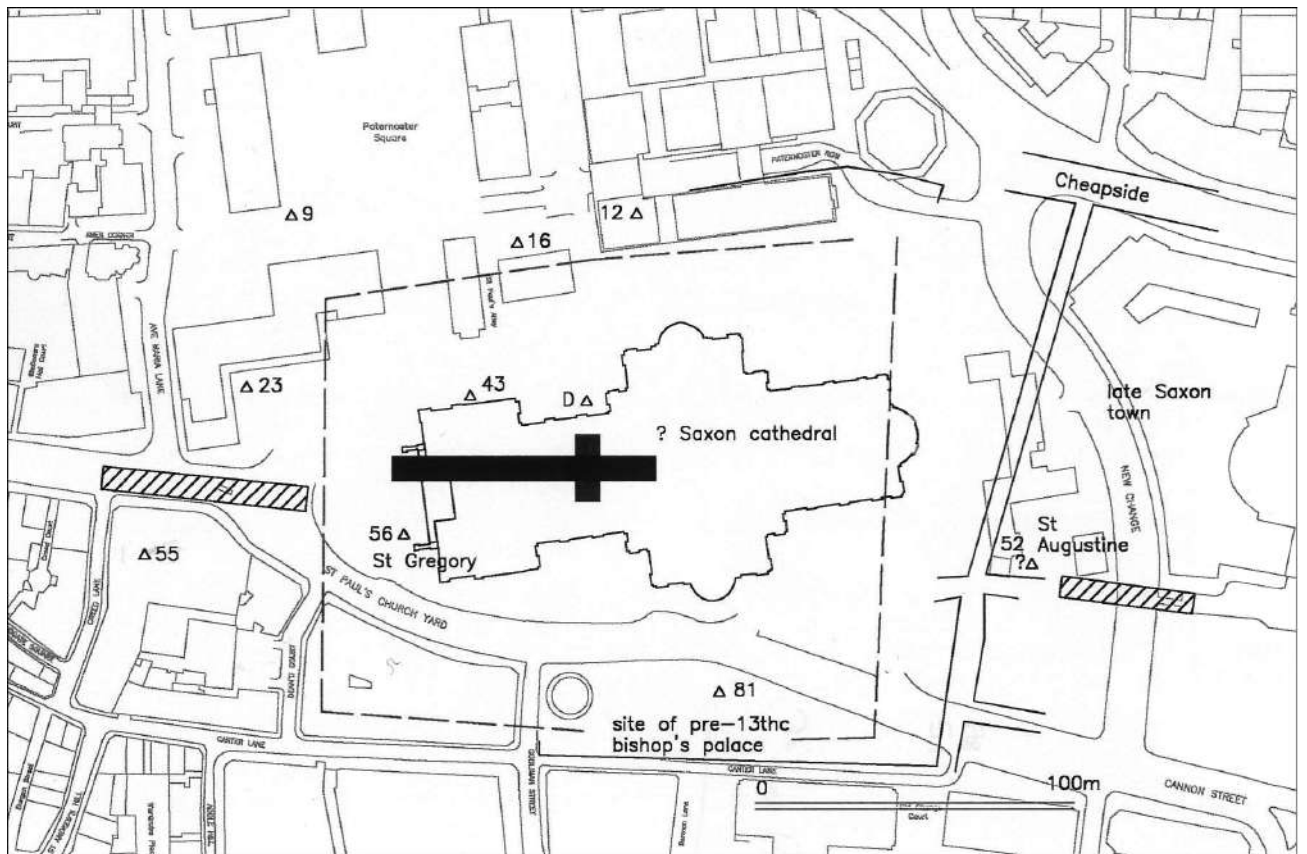


Fig. 4.7 : Londres, la cité : la cathédrale Saint-Paul et son environnement à l'époque anglo-saxonne (Schofield en préparation : fig. 43).

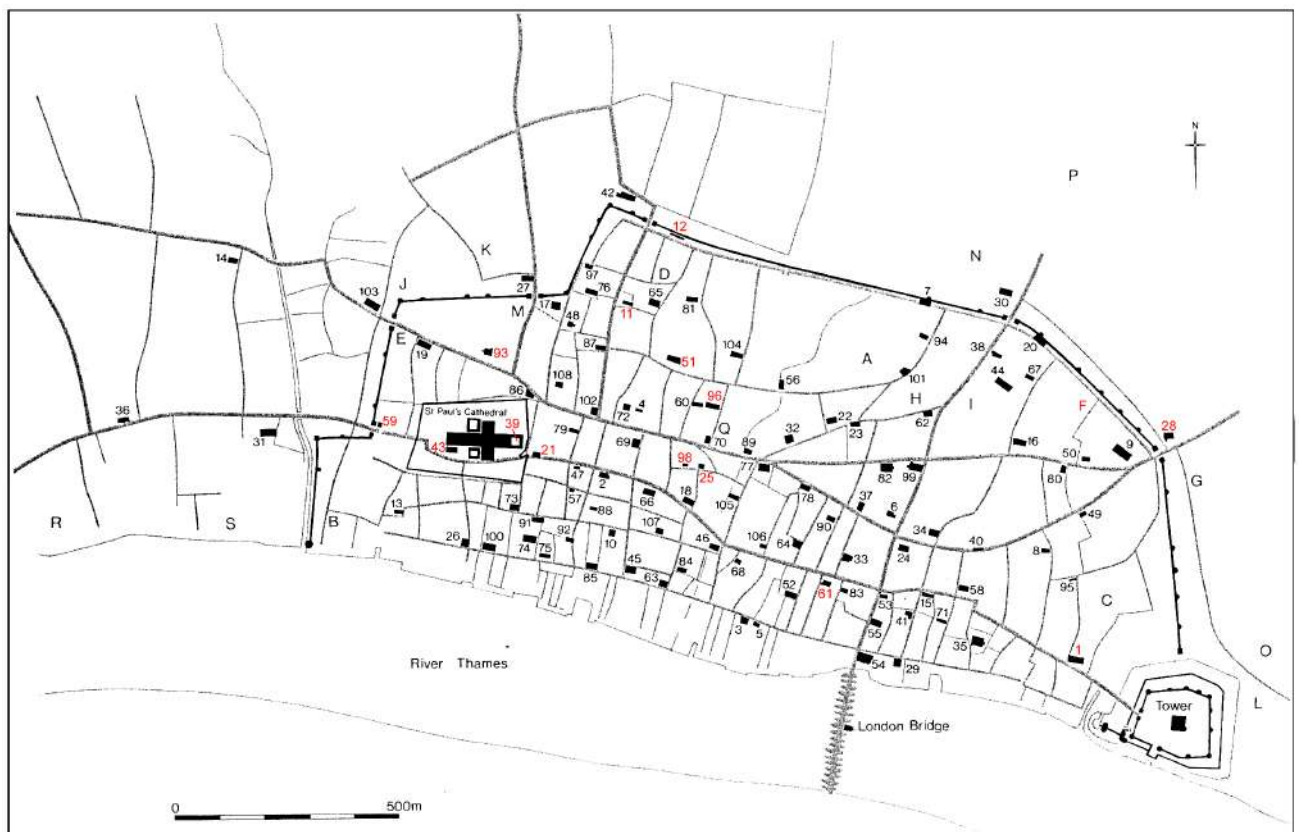


Fig. 4.8 : Londres, la cité : implantation des églises paroissiales. En rouges les édifices cités dans le texte (Schofield 1994 : fig. 1).

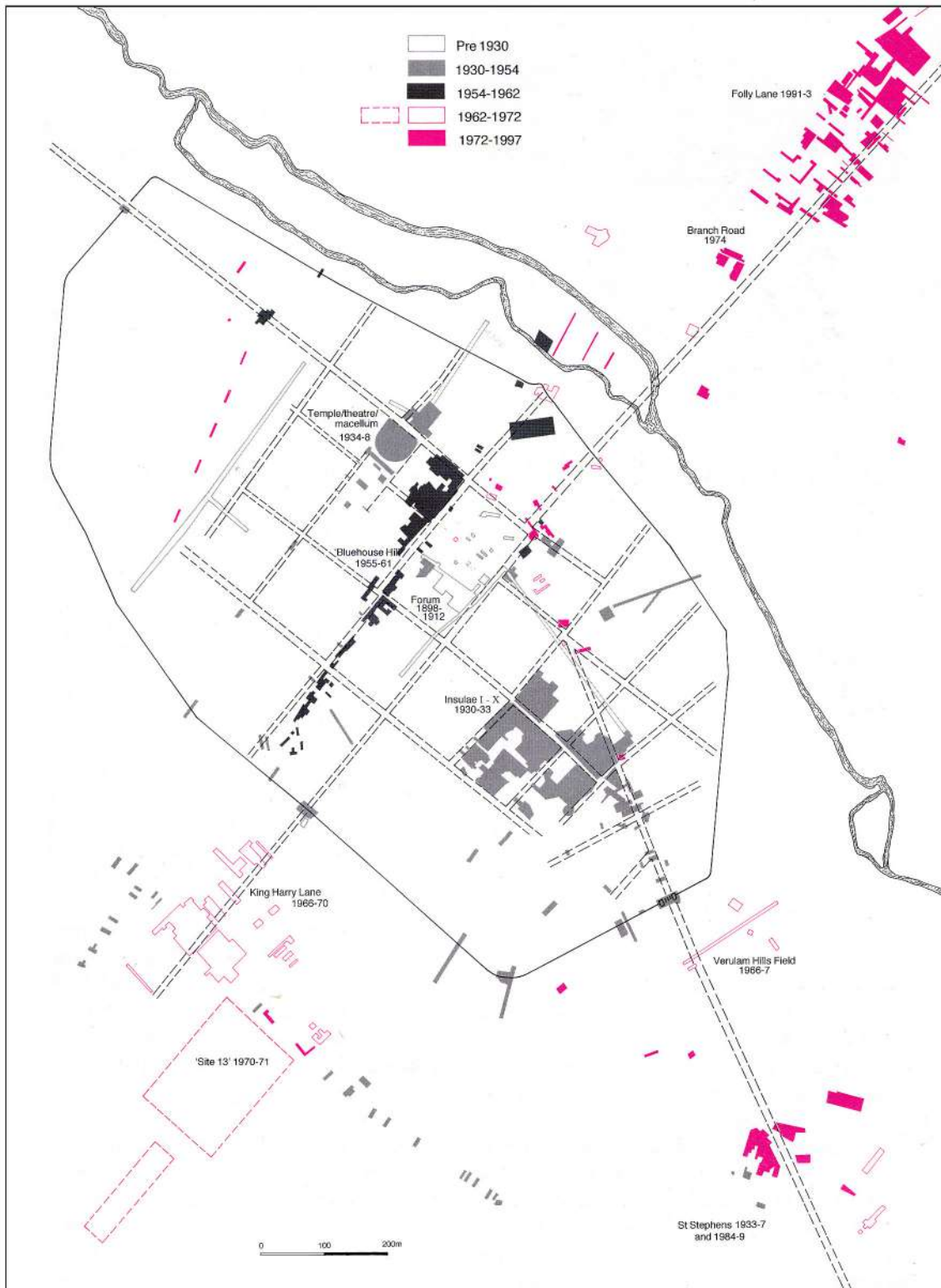


Fig. 5.1 : St Albans : localisation des fouilles dans la ville romaine et à ses abords (Niblett et Thompson 2005 : fig. 4.6).

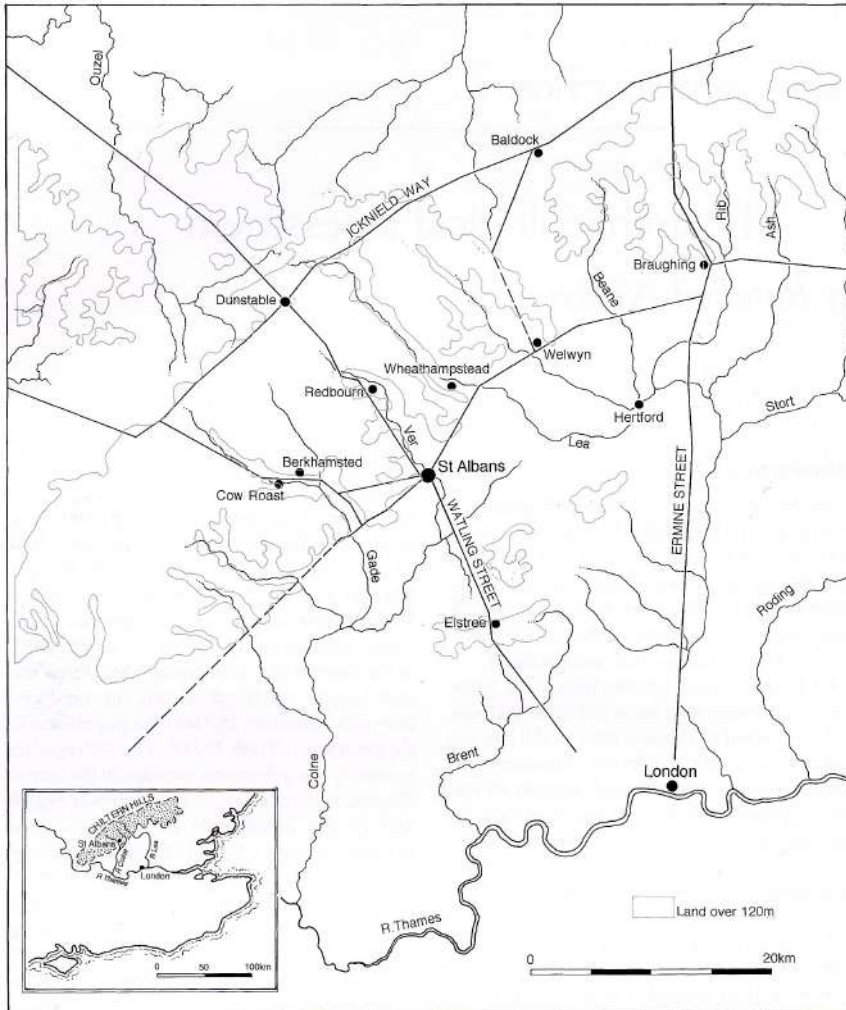


Fig. 5.2 : St Albans : carte de localisation, indiquant le tracé des principales voies antiques (Niblett et Thompson 2005 : fig. 1.1).

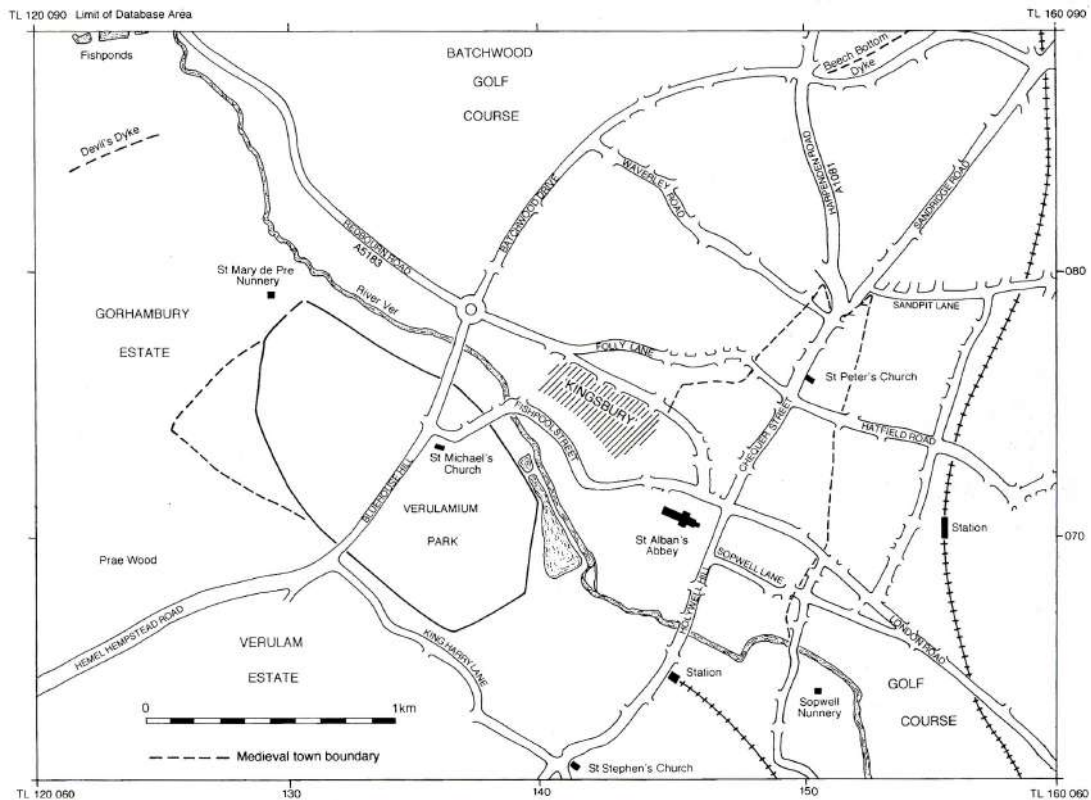


Fig. 5.3 : St Albans : topographie générale et voirie actuelle (Niblett et Thompson 2005 : fig. 1.2).

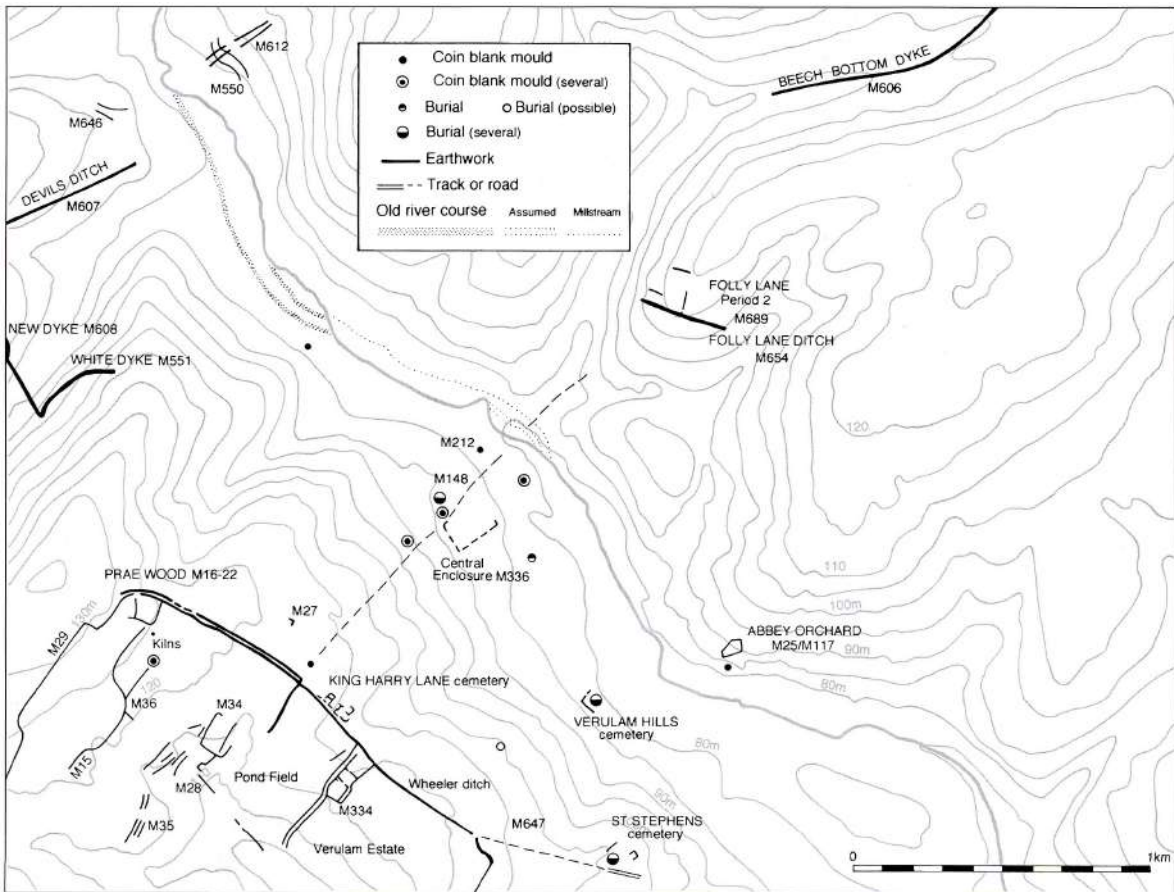


Fig. 5.4 : St Albans : occupation à la fin de l'Âge du Fer (Niblett et Thompson 2005 : fig. 3.1).

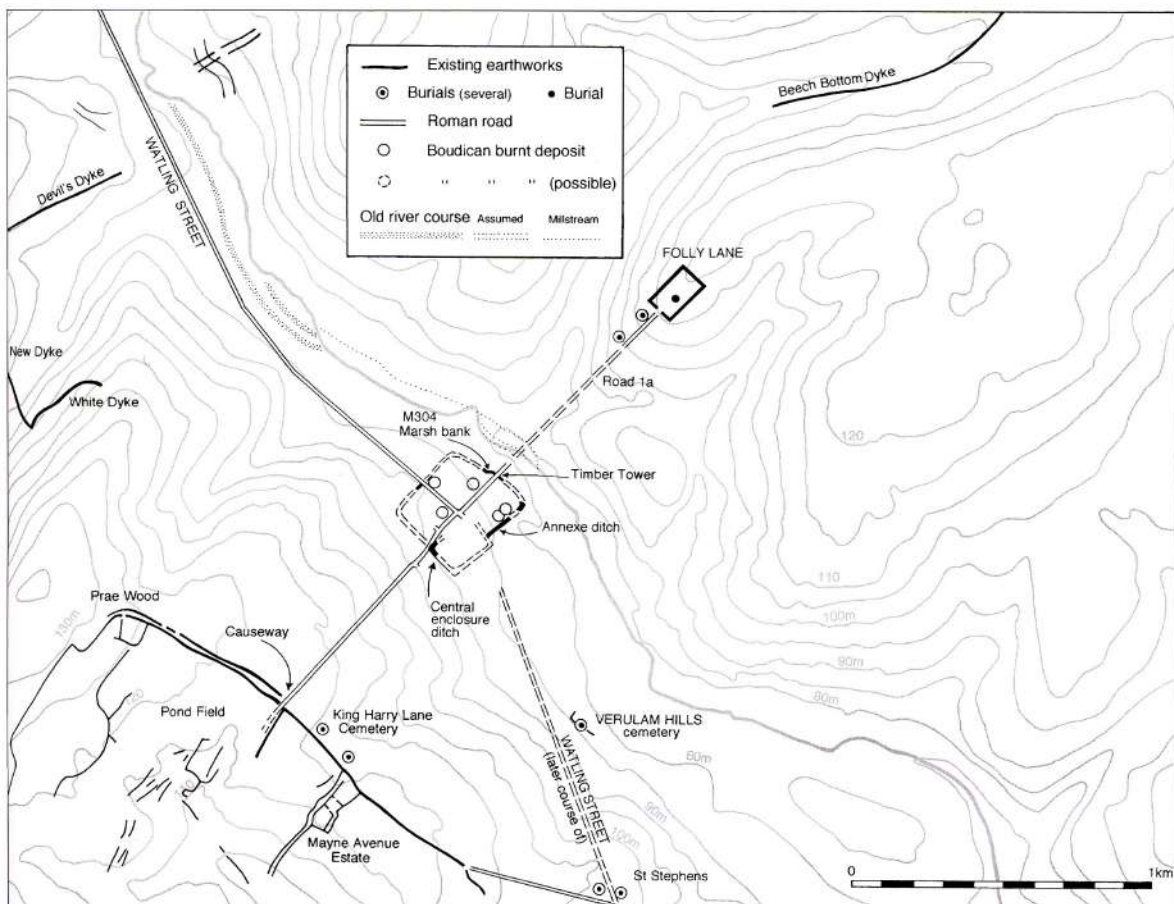


Fig. 5.5 : Verulamium : occupation au milieu du 1^{er} s. ap. J.-C. (Niblett et Thompson 2005 : fig. 4.69).

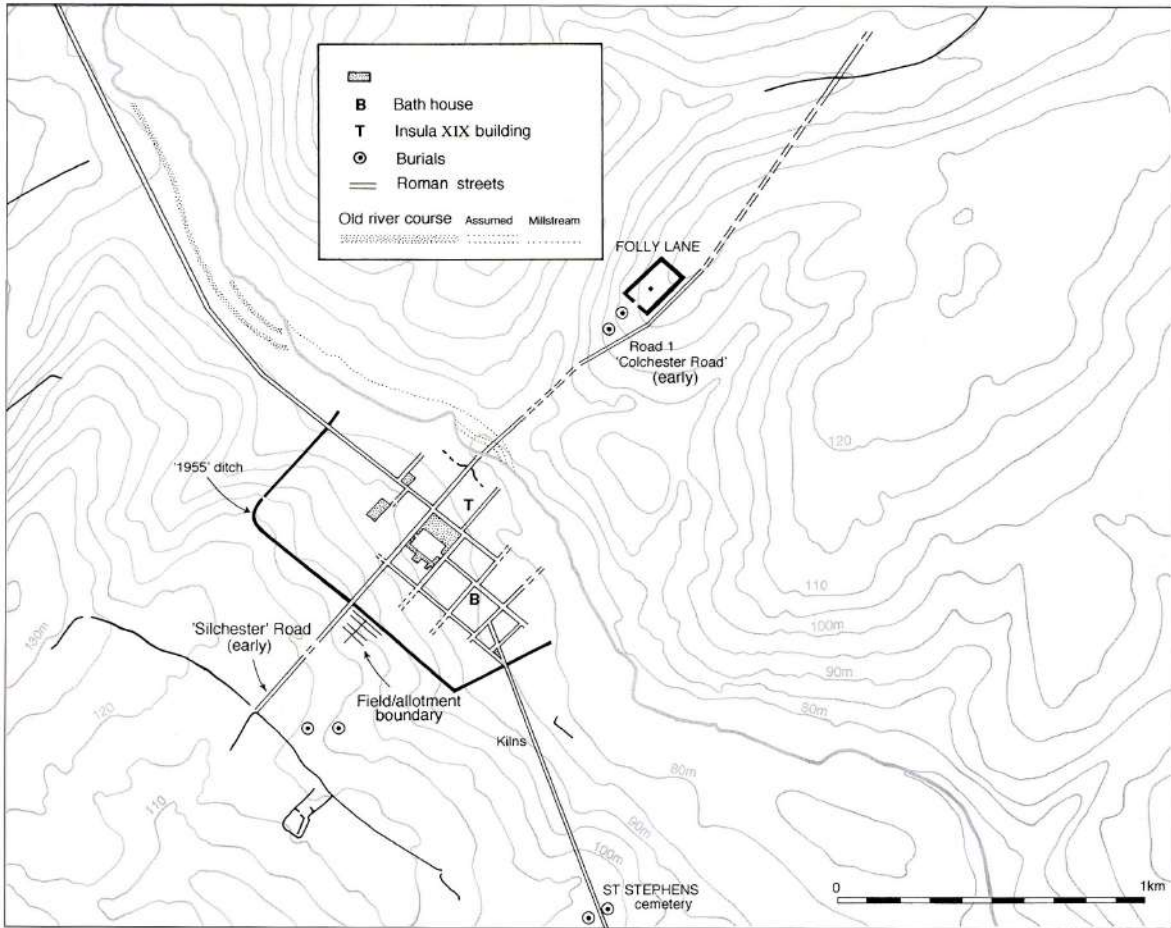


Fig. 5.6 : Verulamium à la fin du 1^{er} s. (Niblett et Thompson 2005 : fig. 4.70).

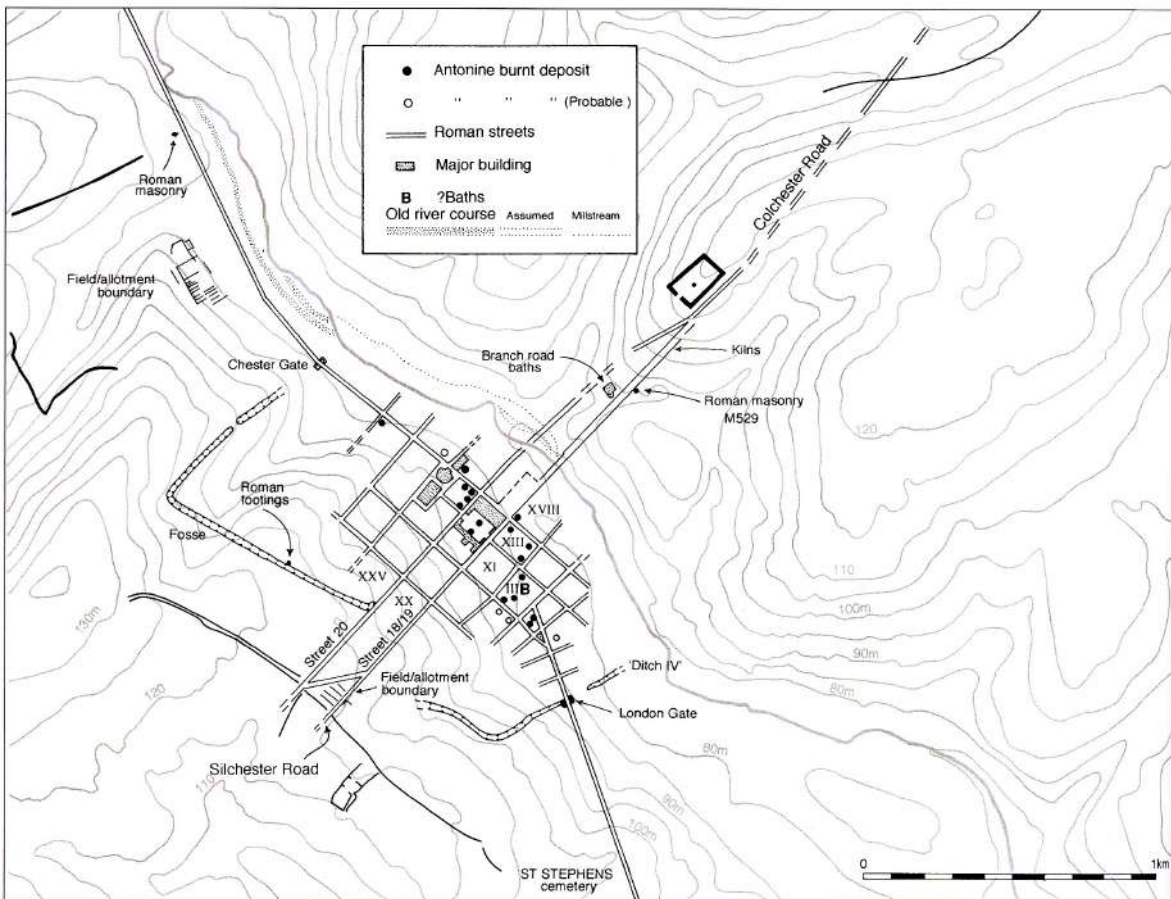


Fig. 5.7 : Verulamium au milieu du 2^e s. (Niblett et Thompson 2005 : fig. 4.72).

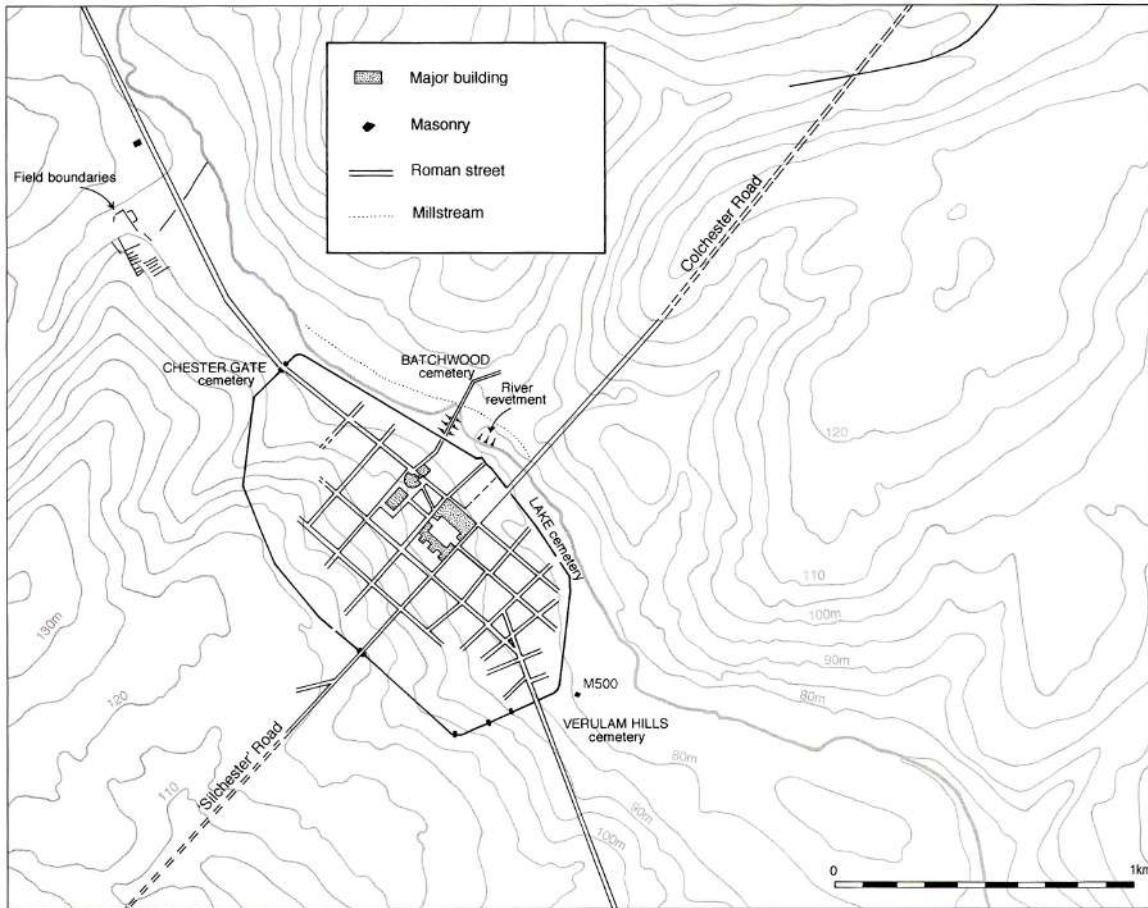


Fig. 5.8 : Verulamium au 4^e s. (Niblett et Thompson 2005 : fig. 4.73).

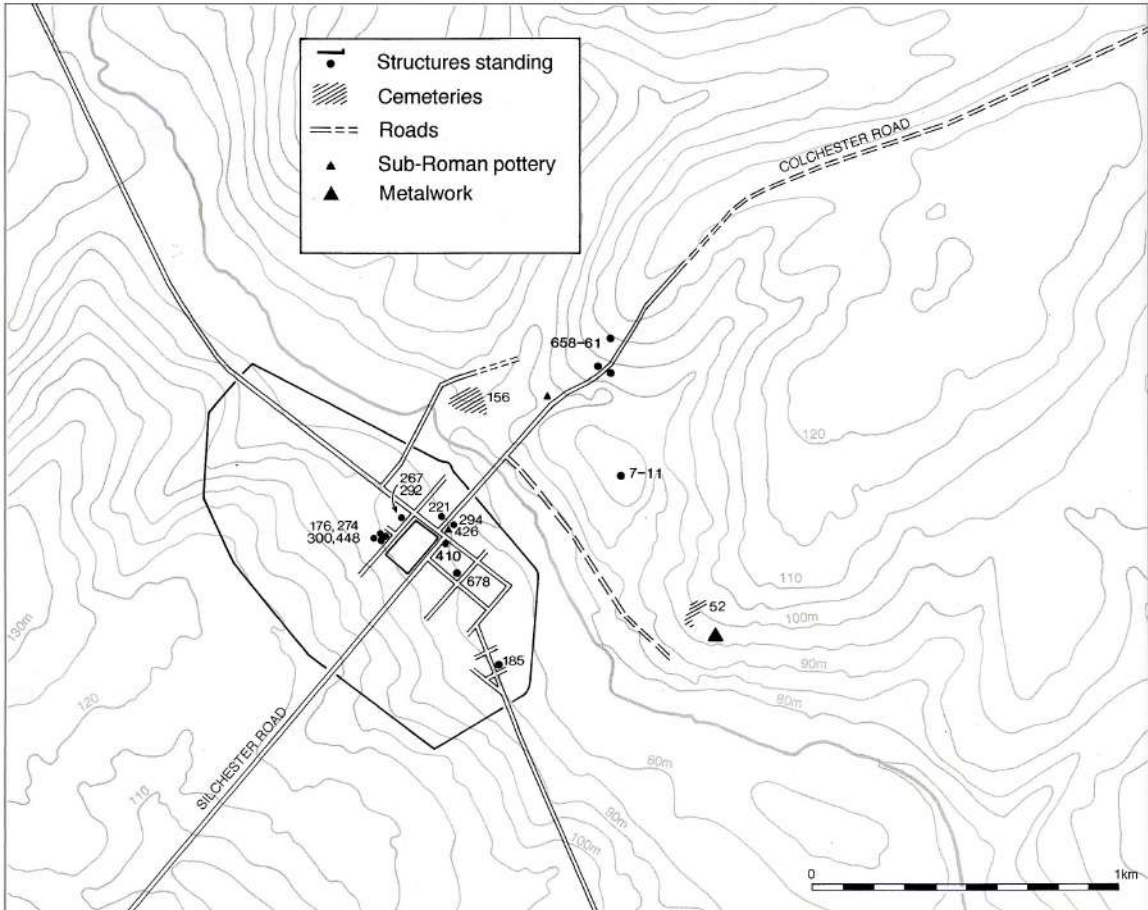


Fig. 5.9 : Verulamium aux 5^e et 6^e s. (Niblett et Thompson 2005 : fig. 5.6).

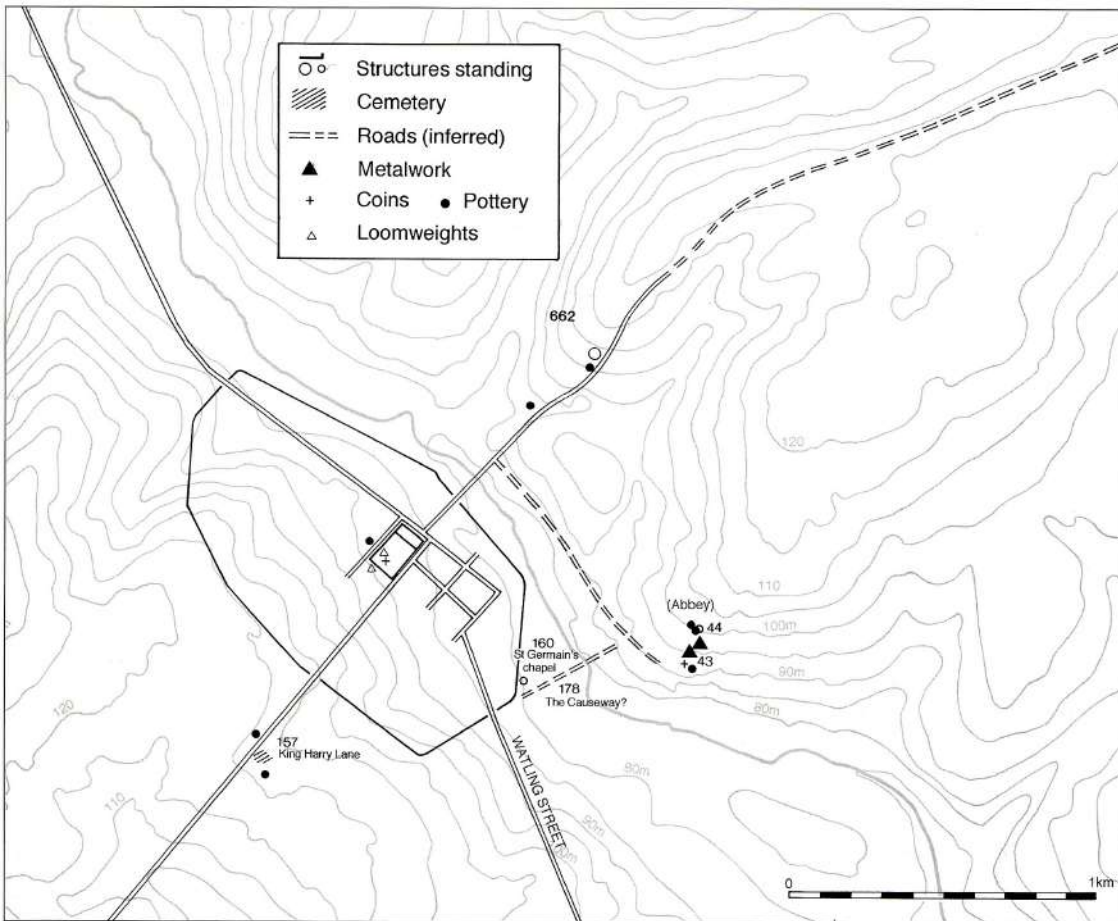


Fig. 5.10 : St Albans entre la fin du 7^e s. et le 9^e s. (Niblett et Thompson 2005 : fig. 6.3).

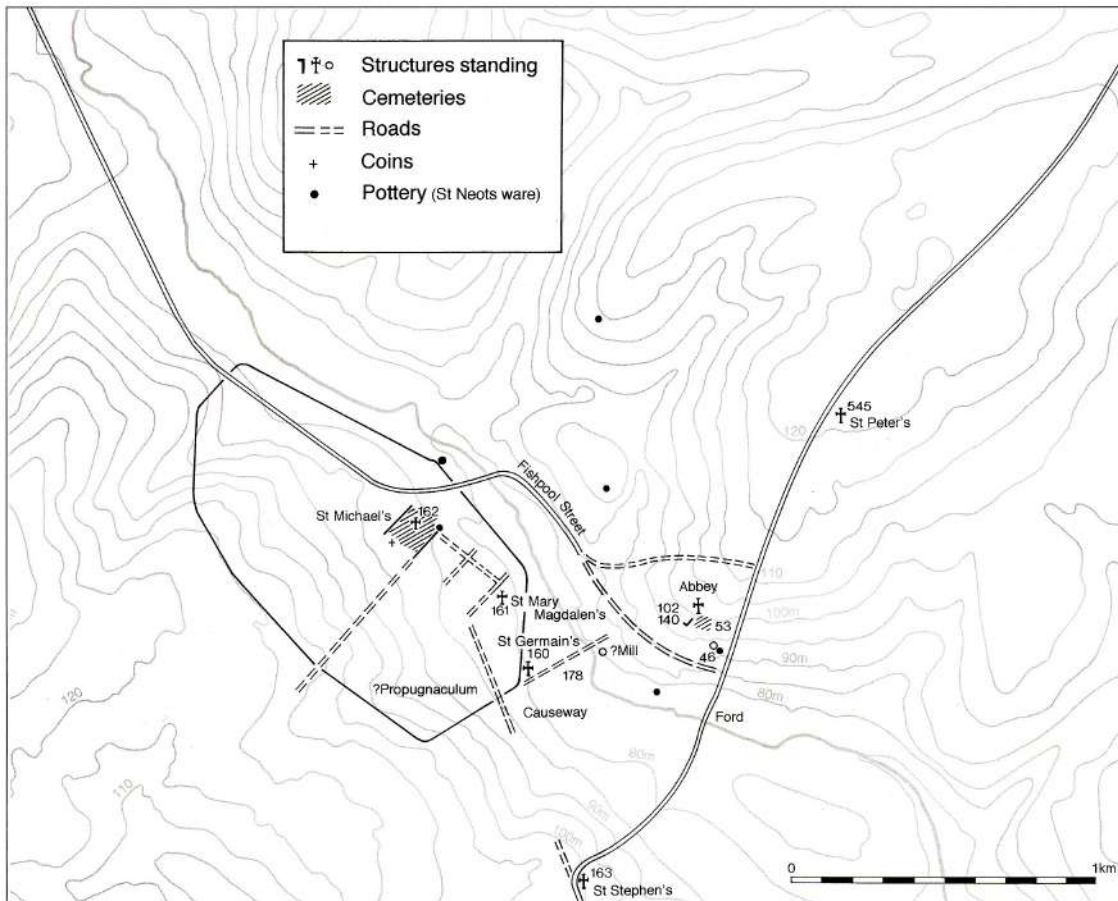


Fig. 5.11 : St Albans à la fin du 10^e s. (Niblett et Thompson 2005 : fig. 6.4).

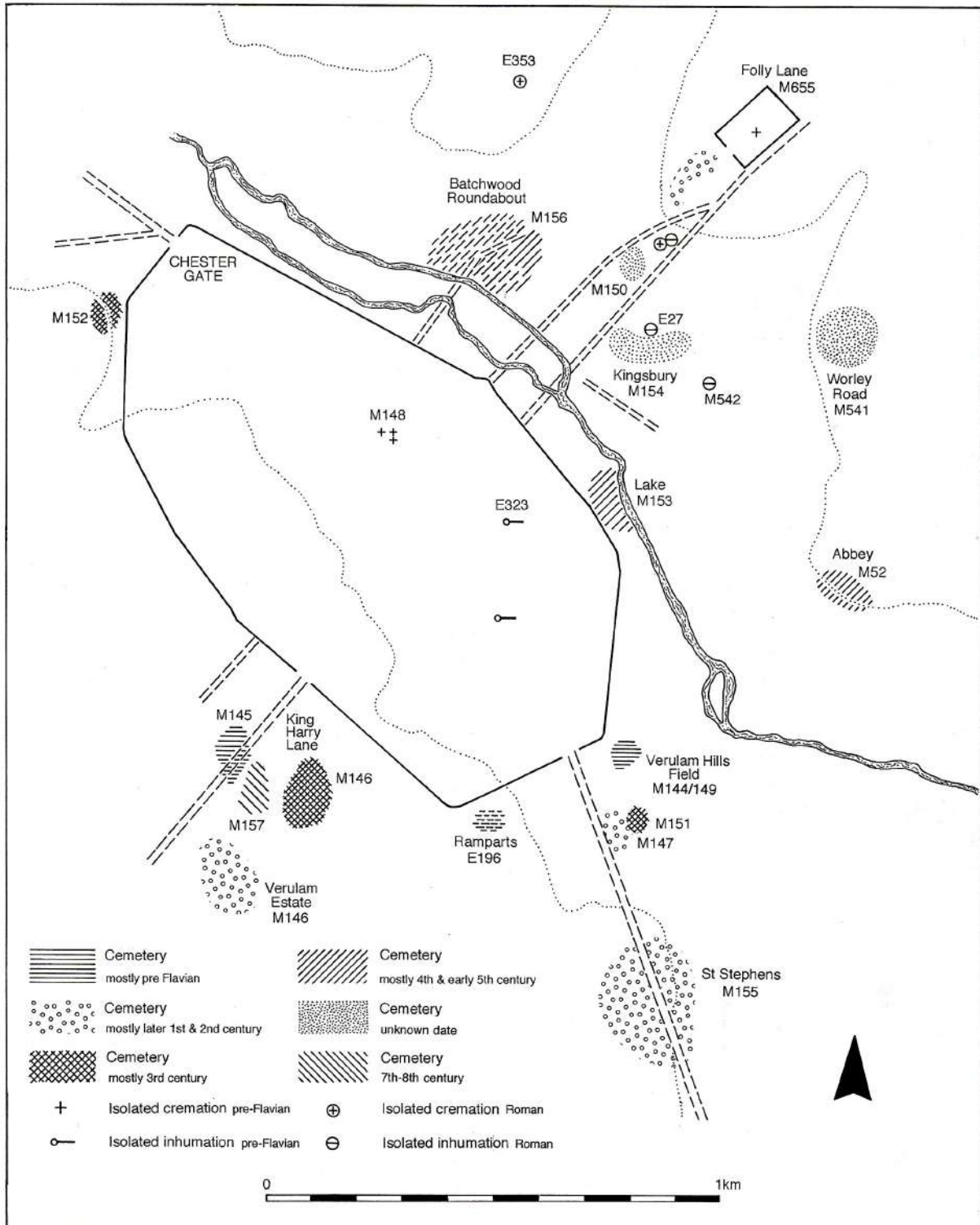


Fig. 5.12 : Verulamium : topographie funéraire de l'époque romaine et du début du haut Moyen Âge (Niblett et Thompson 2005 : fig. 4.63).

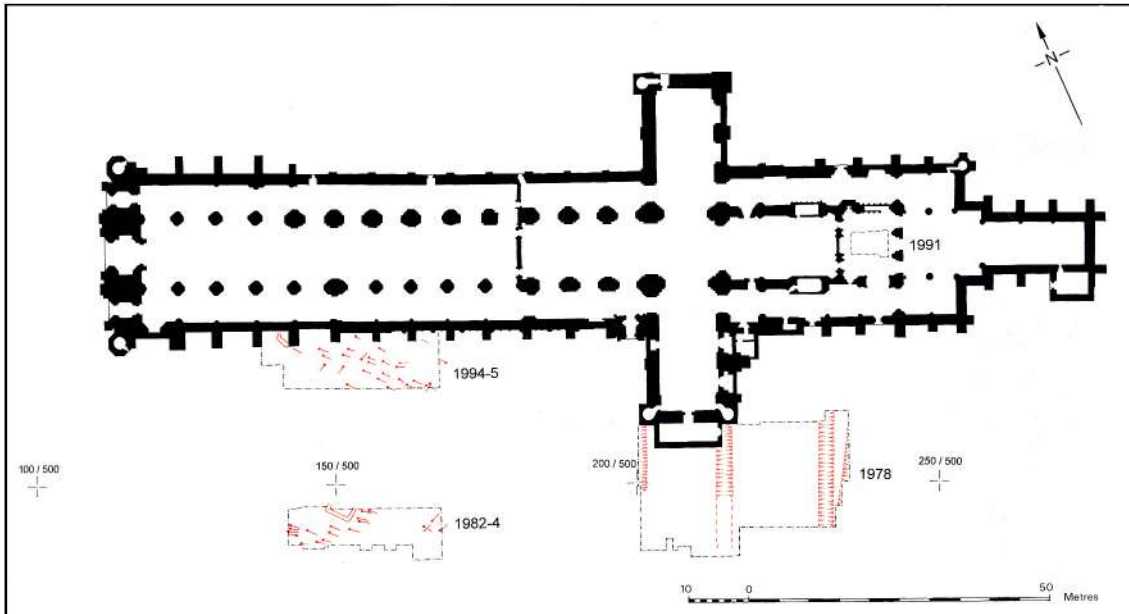


Fig. 5.13 : St Albans, site de l'abbaye : sépultures et fosses romano-britanniques (Biddle et Kjølbye-Biddle 2001 : fig. 6).

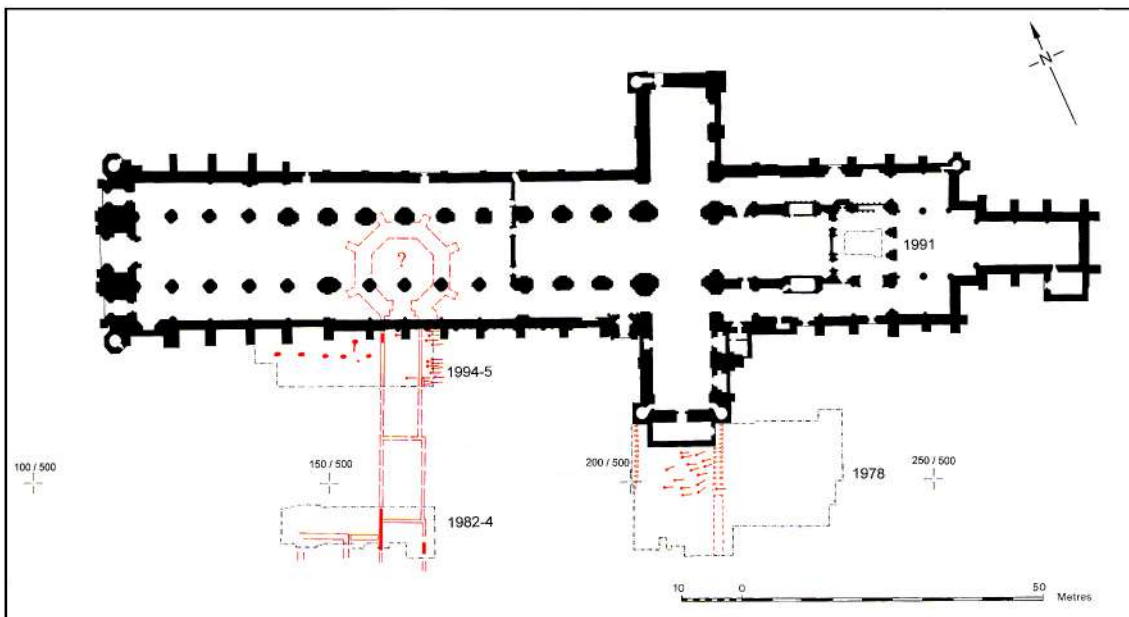


Fig. 5.14 : St Albans, site de l'abbaye : bâtiments et sépultures de l'époque anglo-saxonne (Biddle et Kjølbye-Biddle 2001 : fig. 15).

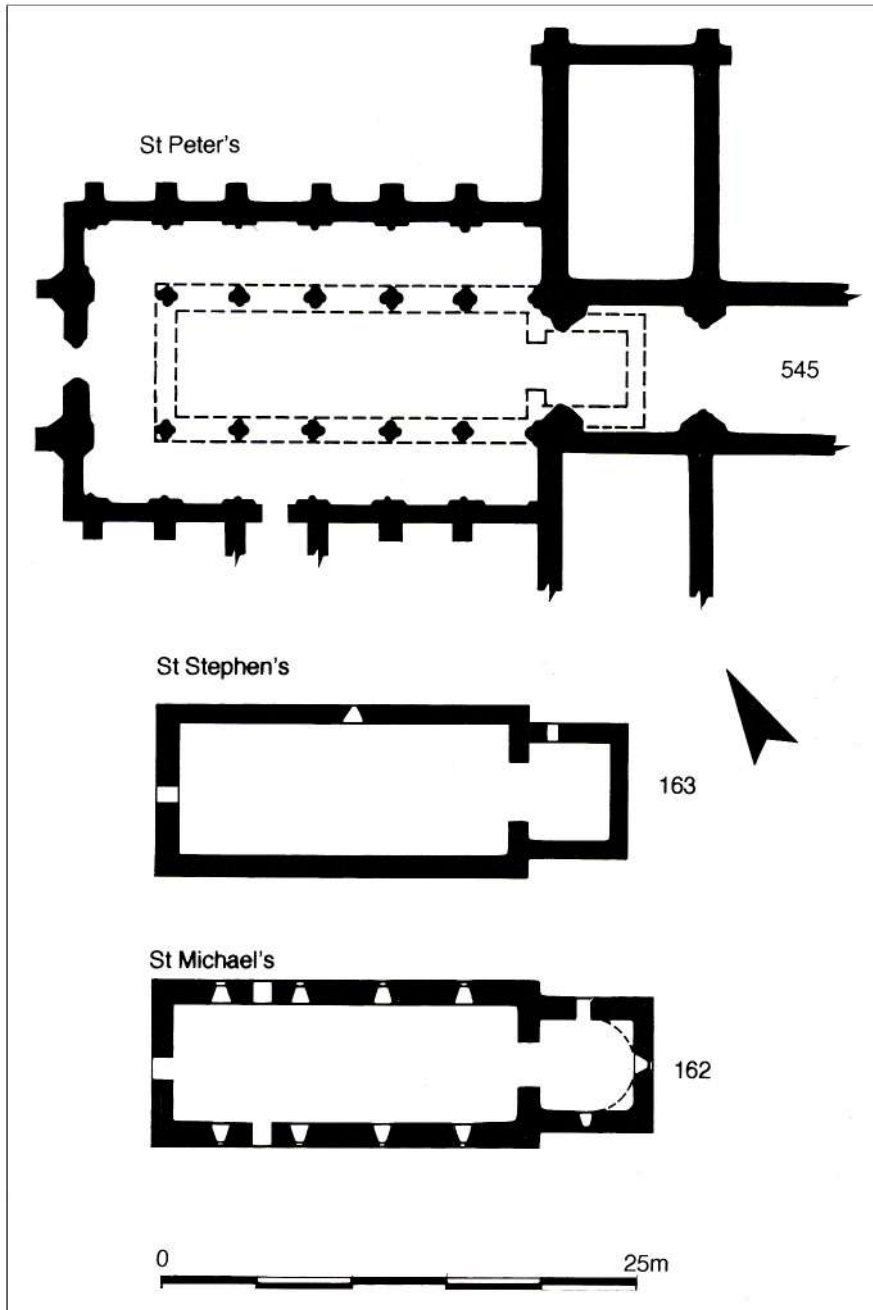


Fig. 5.15 : St Albans : plans des églises paroissiales (Niblett et Thompson 2005 : fig. 6.6).

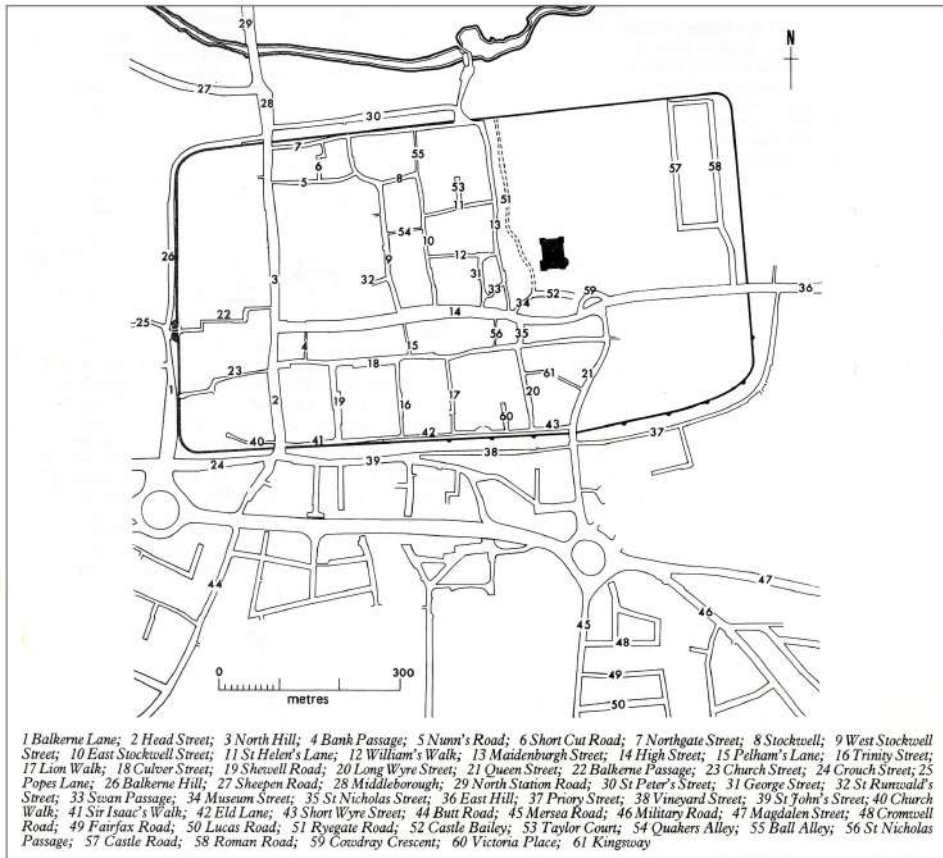


Fig. 6.1 : Colchester : plan des rues (1971) (Crummy 1981 : fig. 1).

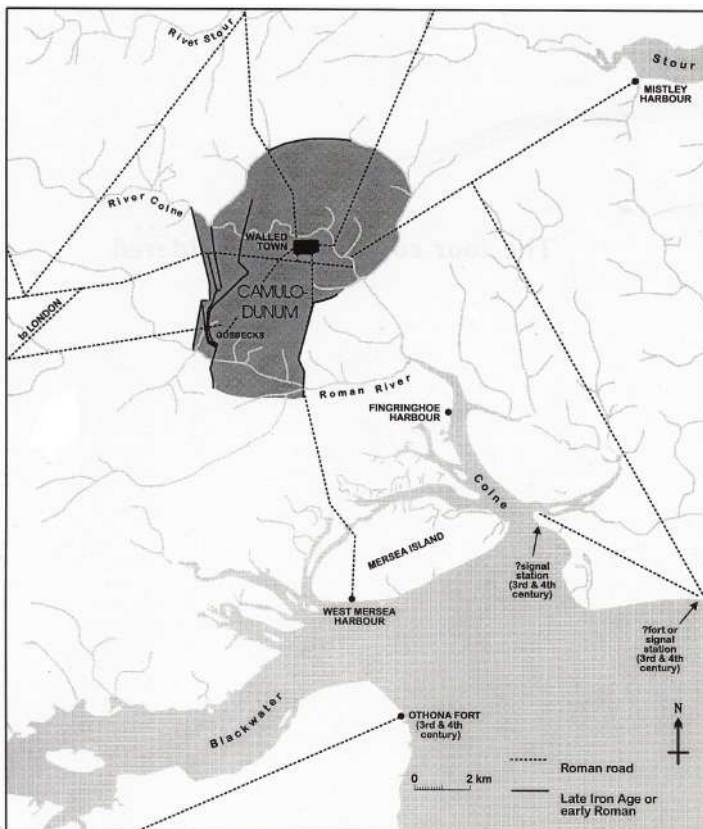


Fig. 6.2 : Colchester : localisation de Colchester et extension du site de l'Âge du Fer (Crummy 1999 : fig. 1).

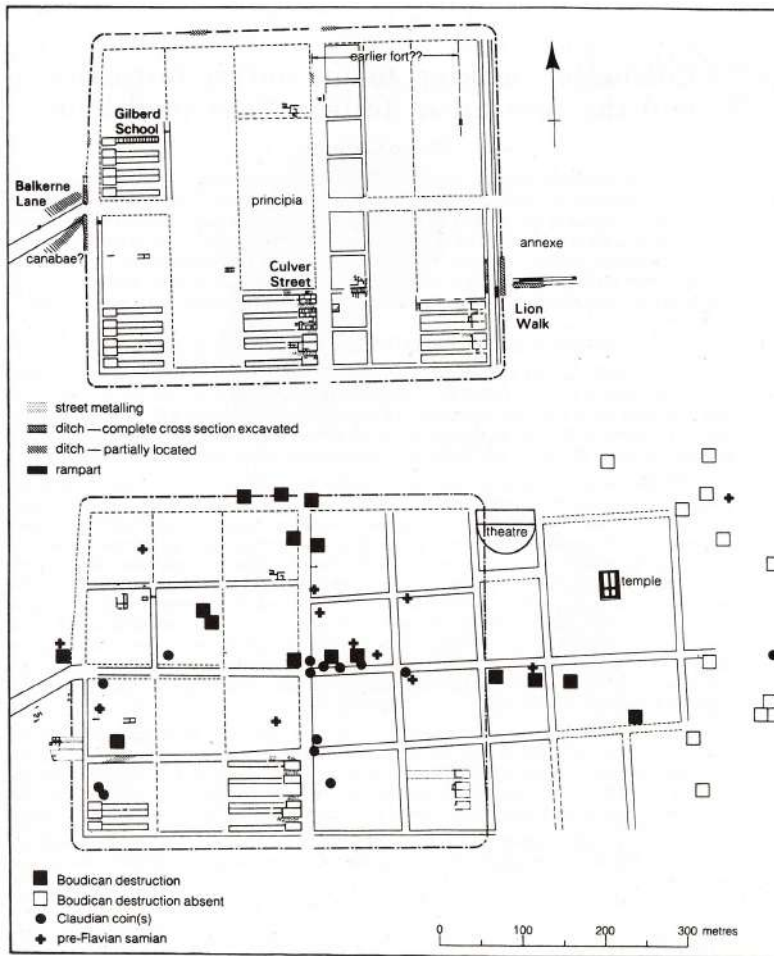


Fig. 6.3 : Colchester : plans du camp de légionnaires et de la colonie au début du 1^{er} s. (Crummy 1999 : fig. 2).

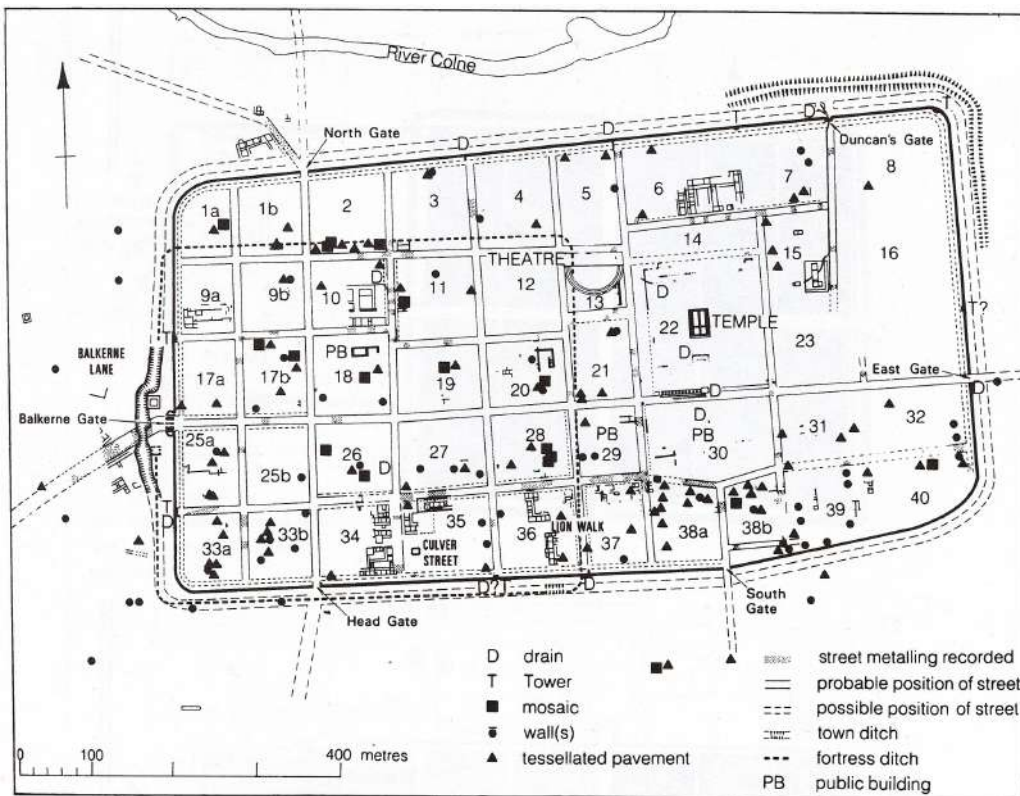


Fig. 6.4 : Colchester : plan vers 300 (Crummy 1999 : fig. 4).

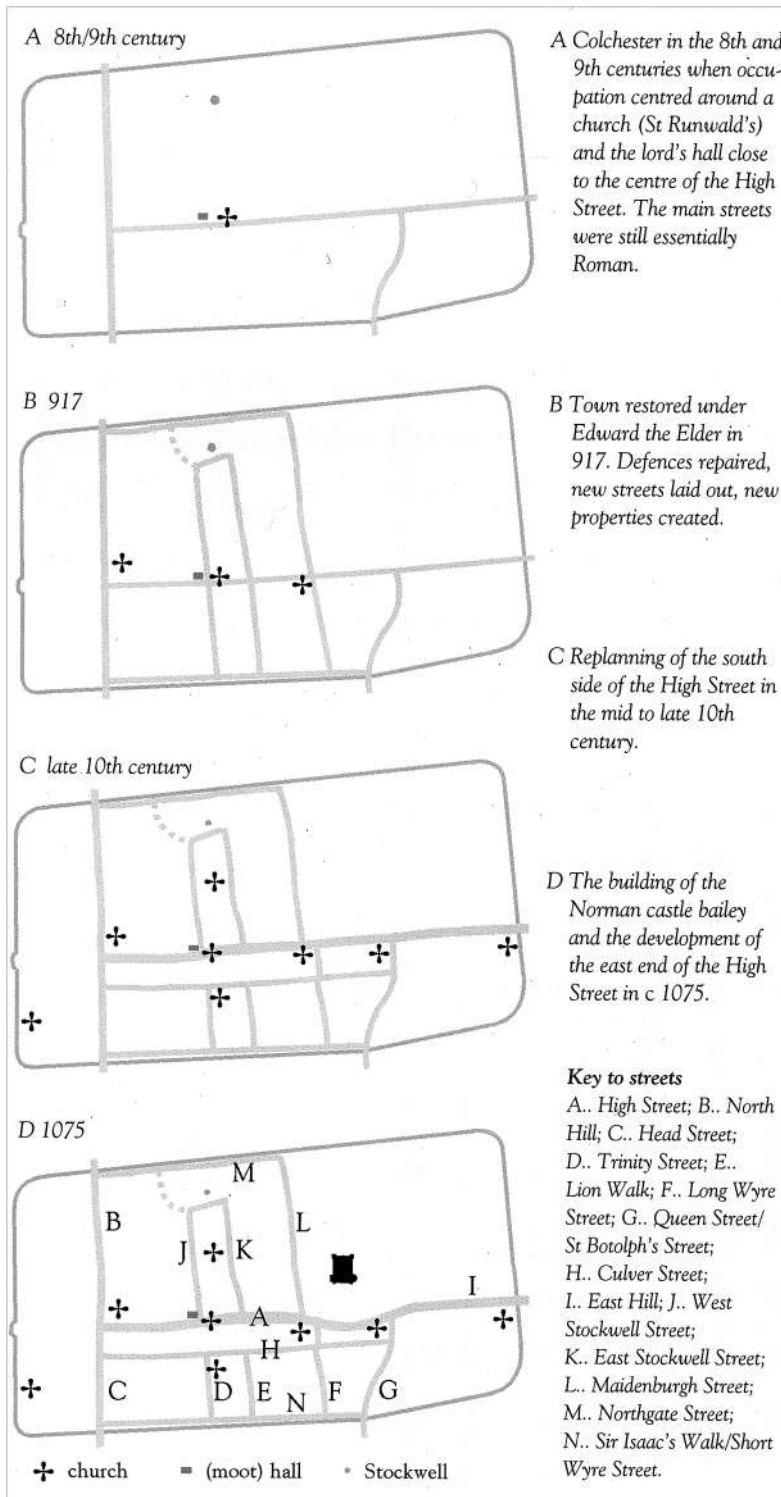


Fig. 6.5 : Colchester à la fin de l'époque anglo-saxonne : voirie et topographie religieuse (Crummy 1997 : p. 141).

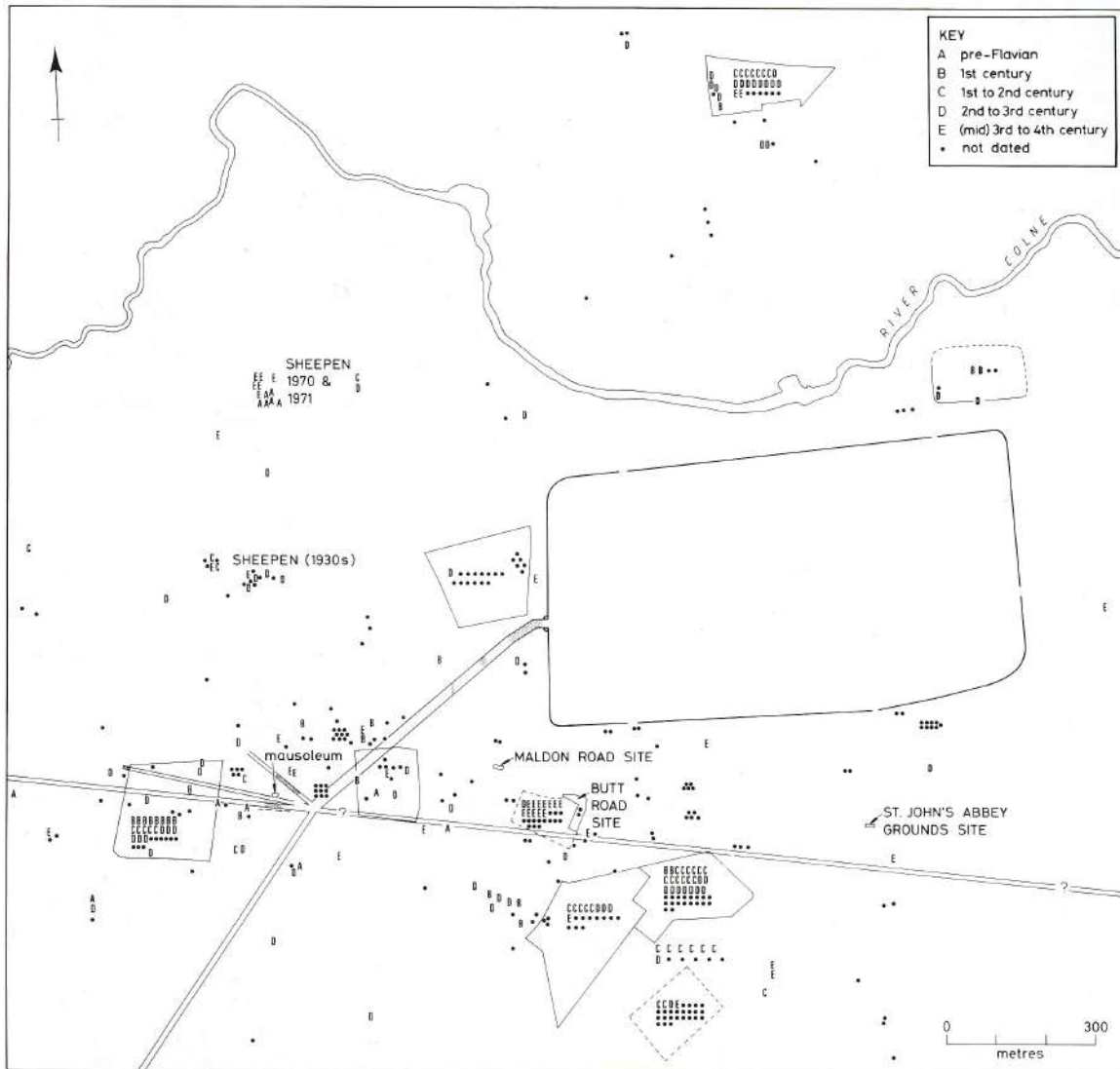


Fig. 6.6 : Colchester : les découvertes funéraires antiques *extra muros* (Crummy, Crummy, Crossan 1993 : fig. 8.4).

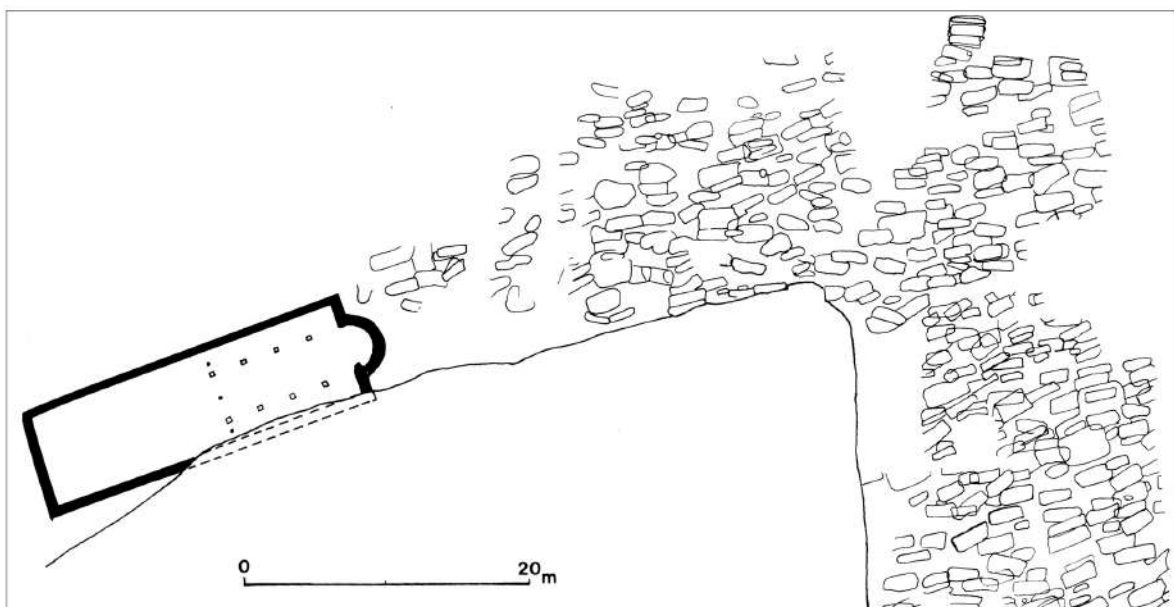


Fig. 6.7 : Colchester, Butt Road : plan de la nécropole et de l'église du 4^e s. (Bedoyère 1992 : fig. 88).

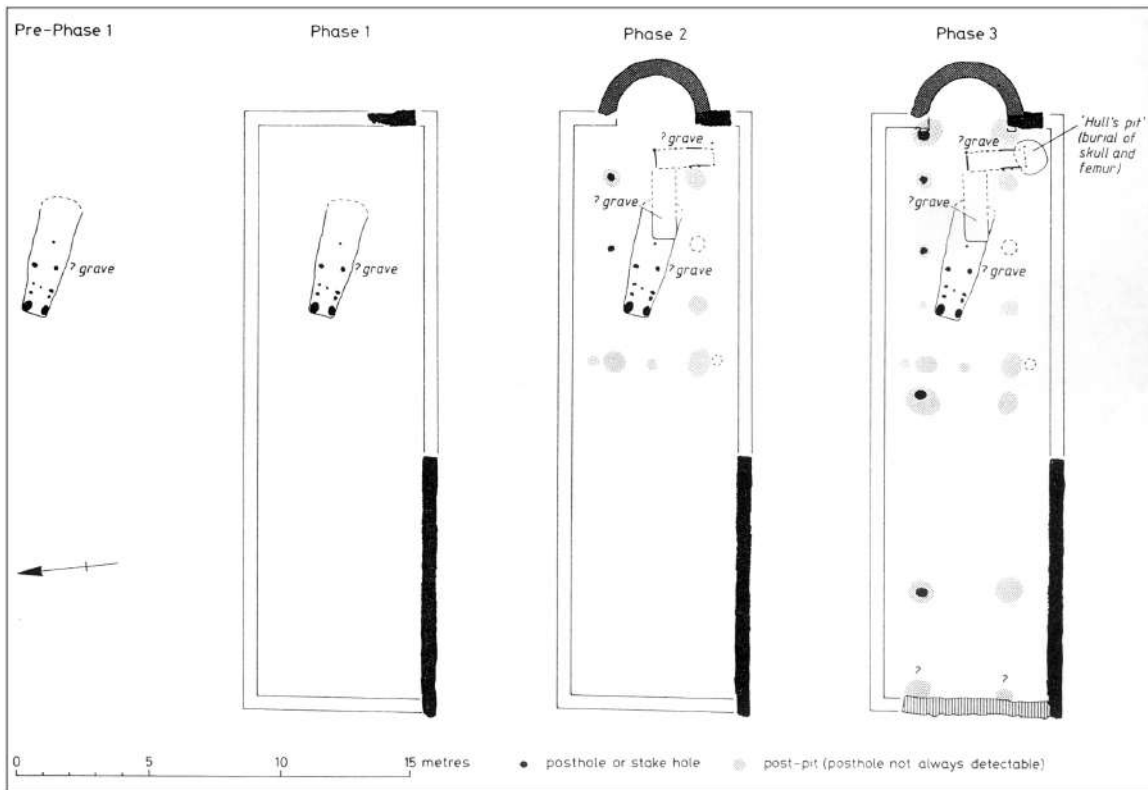


Fig. 6.8 : Colchester, nécropole de Butt Road : évolution de l'église (Crummy 1993 : fig. 3.24).



Fig. 6.9 : Colchester, Middleborough : occupation du haut Moyen Âge et inhumations des 10^e-11^e s. (Crummy 1984 : fig. 172).

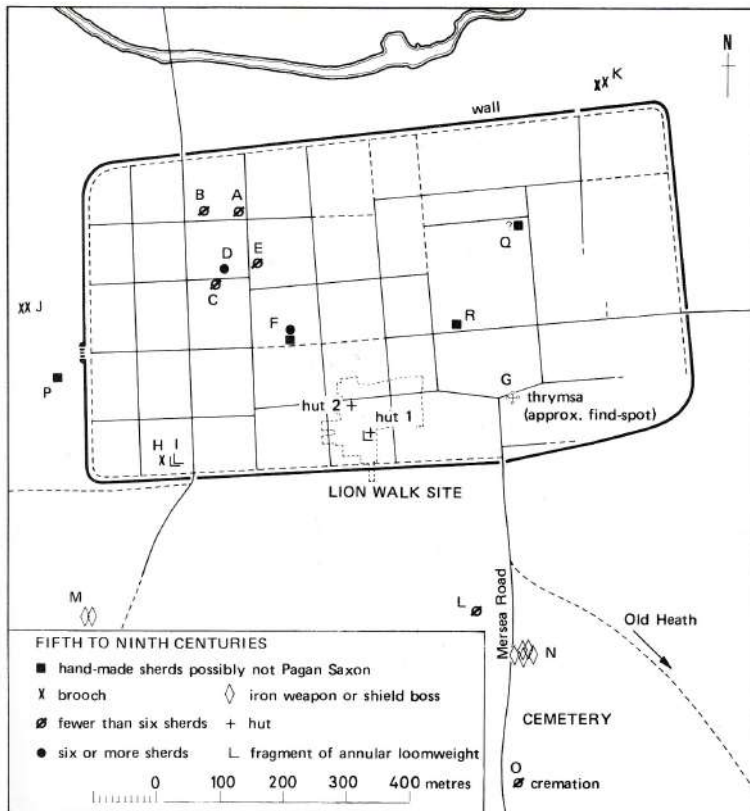


Fig. 6.10 : Colchester : localisation des découvertes archéologiques des 5^e-9^e s. (Crummy 1981 : fig. 2).

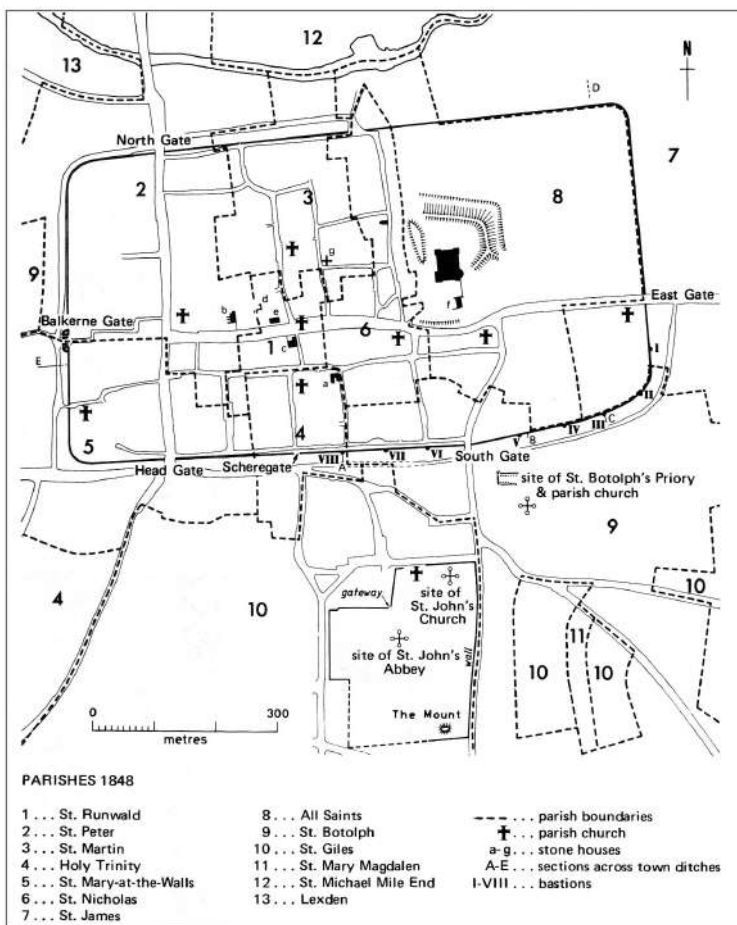


Fig. 6.11 : Colchester : topographie paroissiale au Moyen Âge (Crummy 1981 : fig. 44).

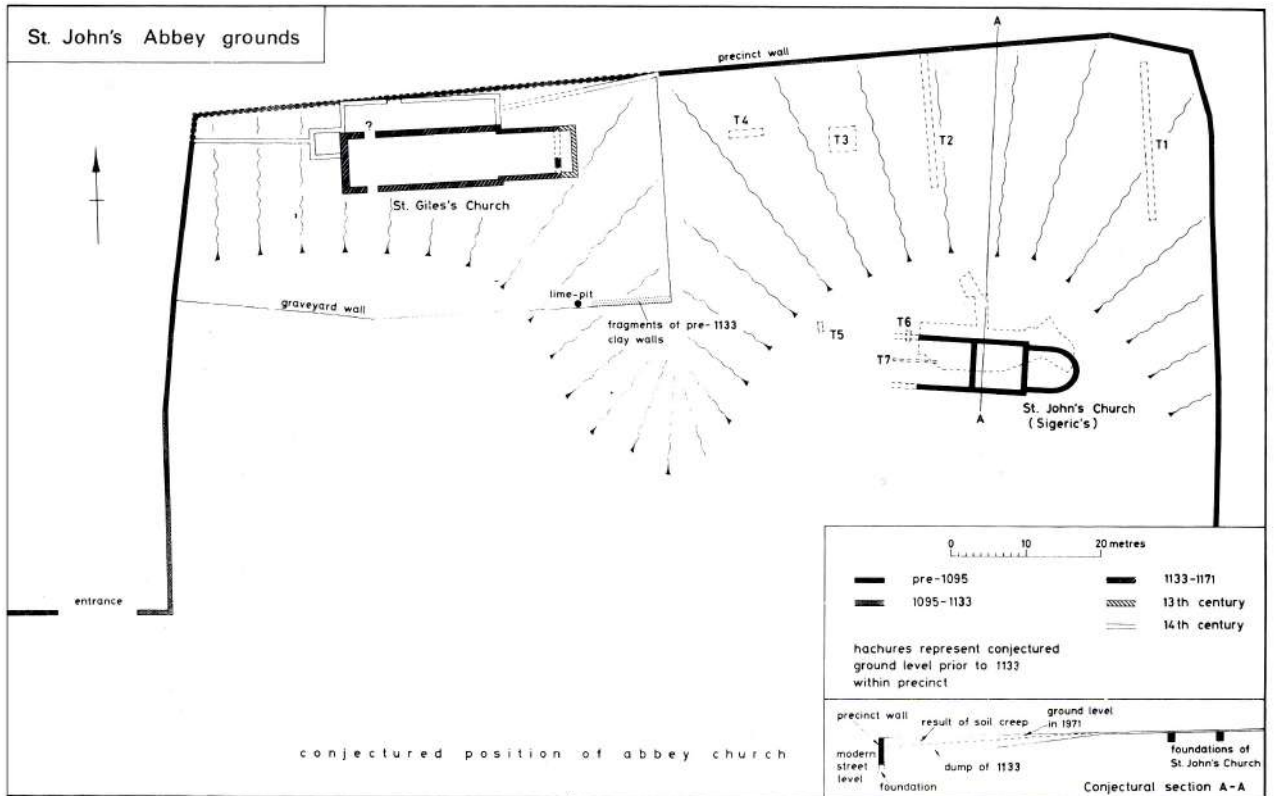


Fig. 6.12 : Colchester, abbaye Saint-Jean : églises Saint-Jean et Saint-Gilles (Crummy 1981 : fig. 36).

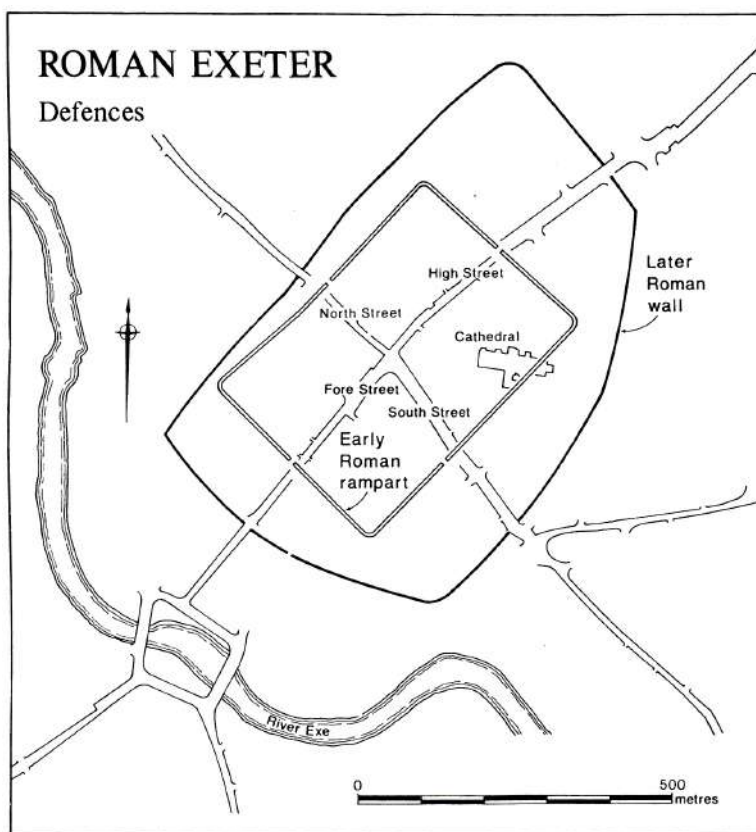


Fig. 7.1 : Exeter : emprise du fort et de la ville enclose (Ottaway 1992 : fig. 4.2).

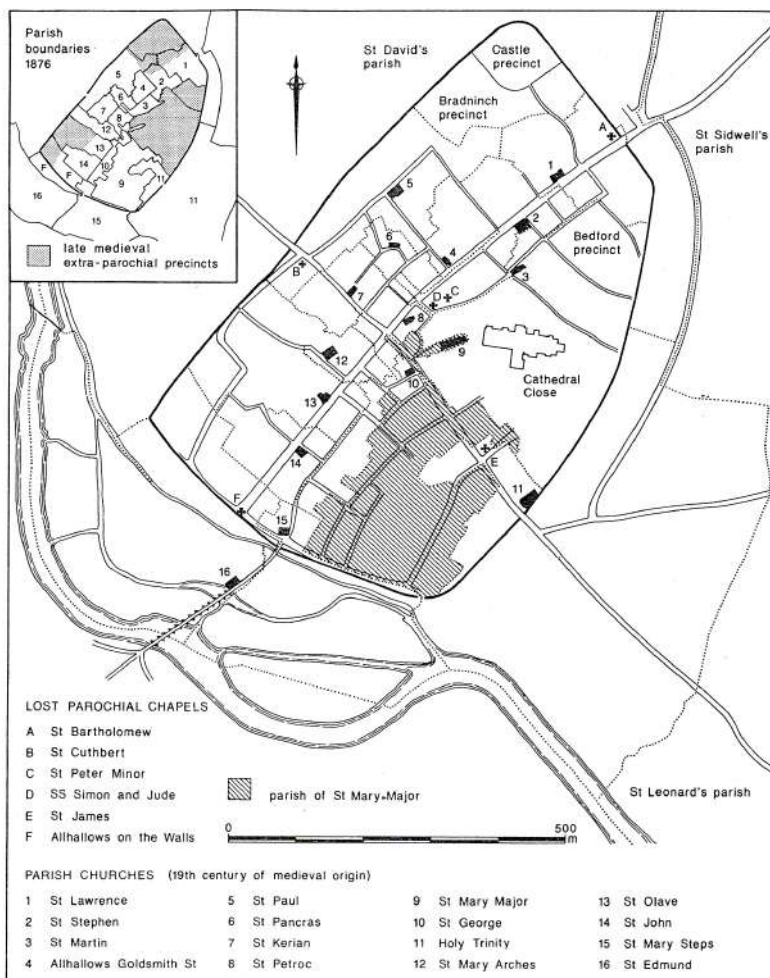


Fig. 7.2 : Exeter : topographie religieuse au Moyen Âge (Allan et al. 1984 : fig. 126).

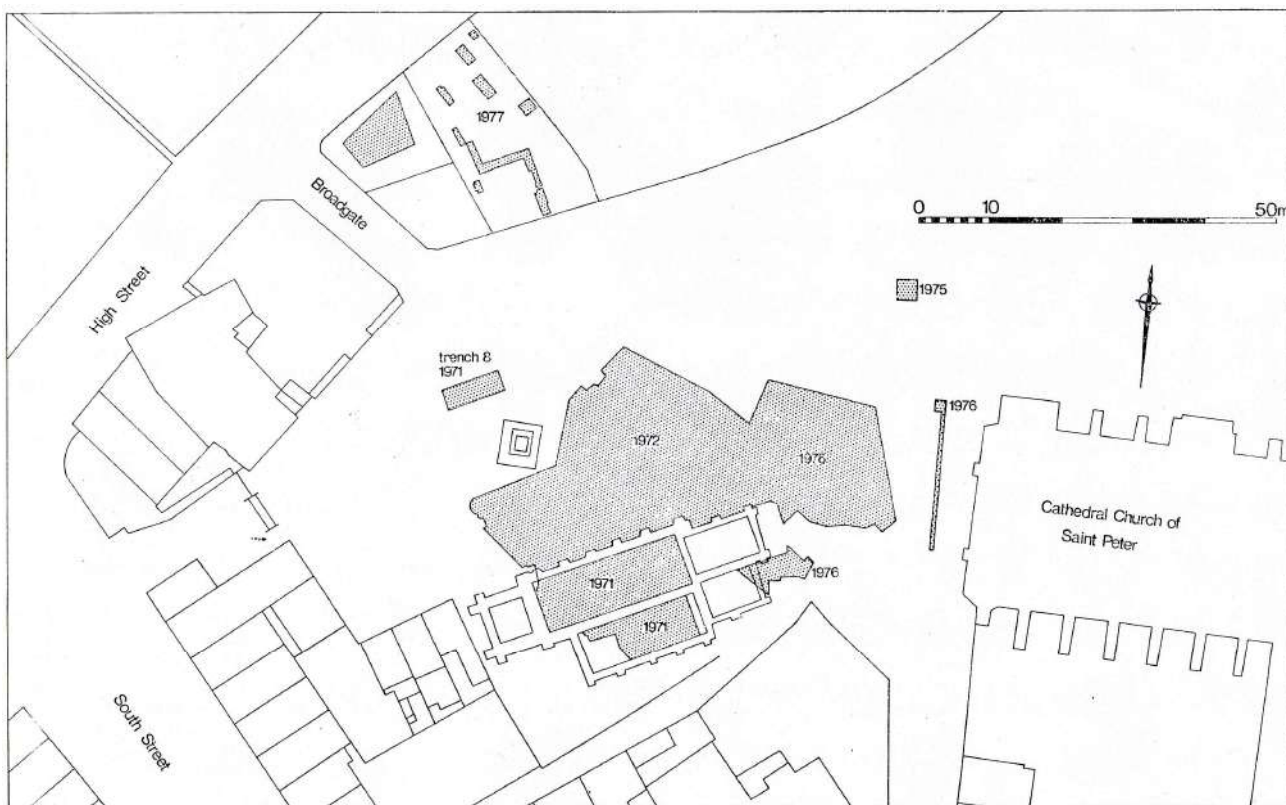


Fig. 7.3 : Exeter, site de l'enclos épiscopal : implantation des zones de fouille (Bidwell 1979 : fig. 4).

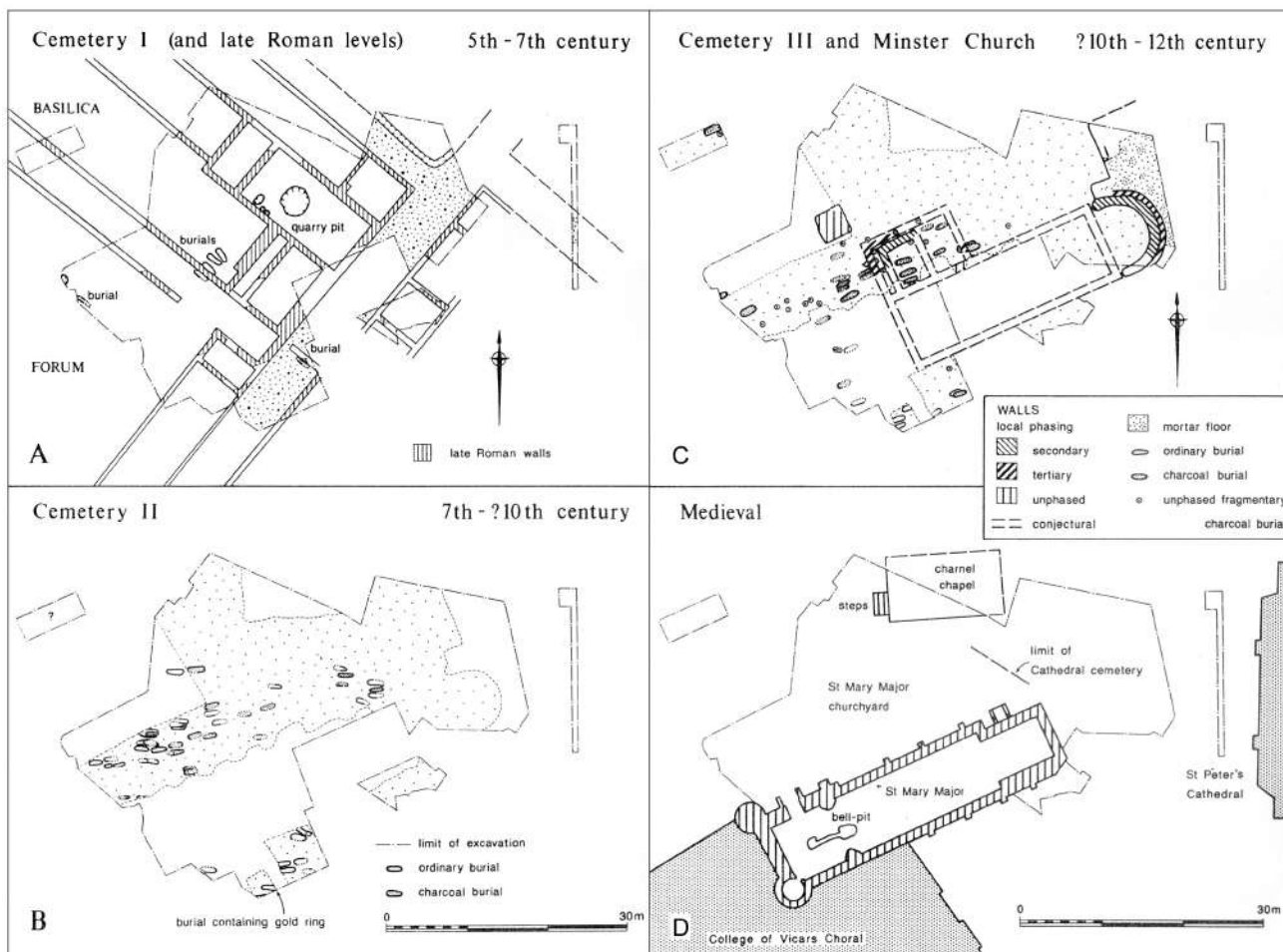


Fig. 7.4 : Exeter, site de l'enclos épiscopal : chronologie des inhumations et des églises (Allan *et al.* 1984 : fig. 124et 125).

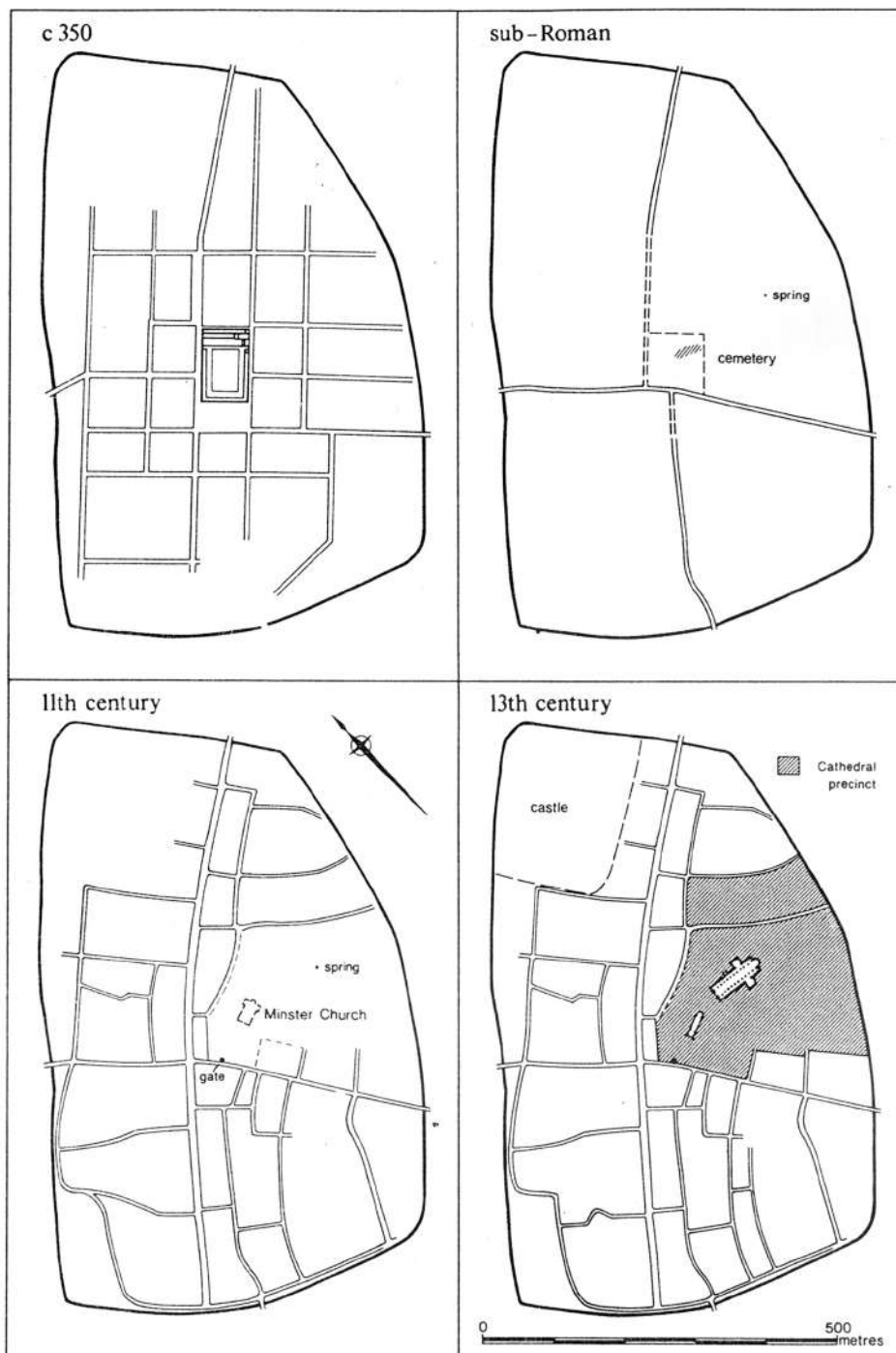


Fig. 7.5 : Exeter : évolution de la voirie et formation de l'enclos épiscopal (Allan *et al.* 1984 : fig. 123).

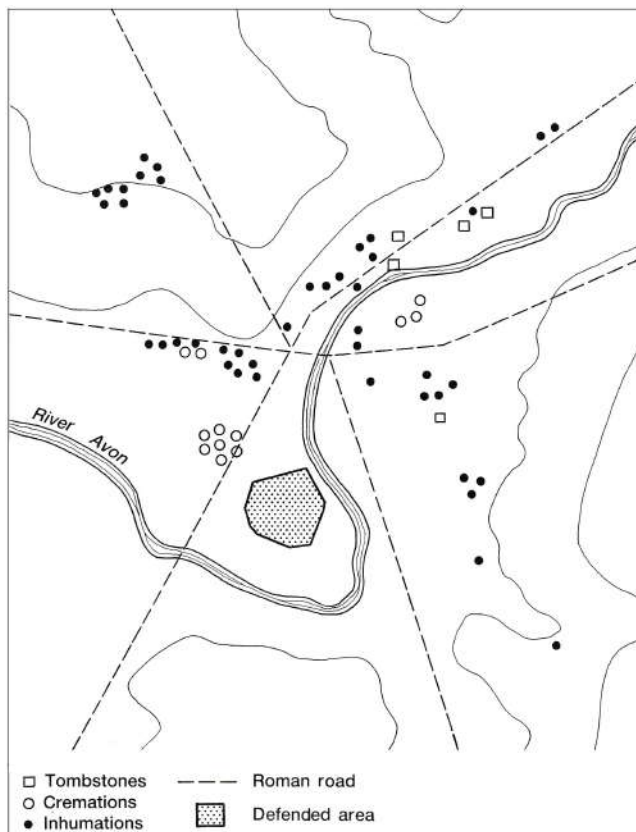


Fig. 8.1 : Bath : la ville antique et les sites funéraires environnants (Burnham, Wachter 1990 : fig. 48).

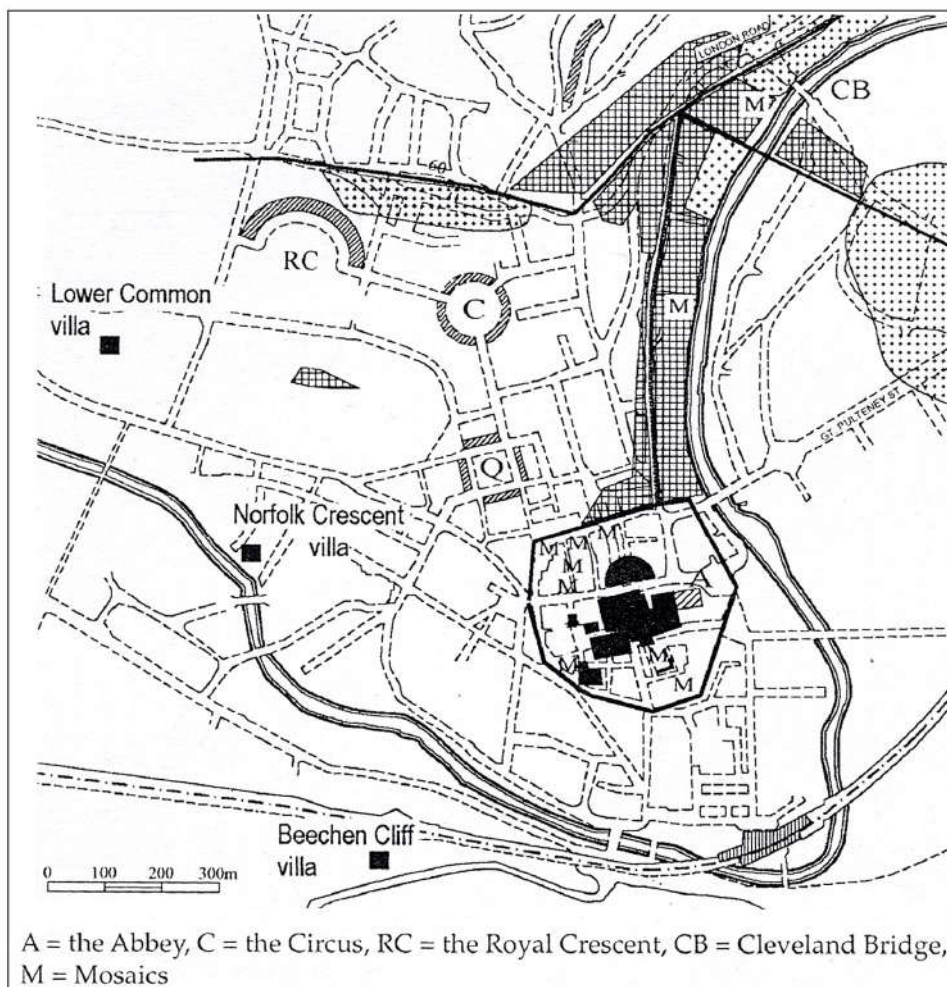


Fig. 8.2 : Bath : la ville enclose et ses faubourgs pendant l'Antiquité (Davenport 2002 : fig. 1).

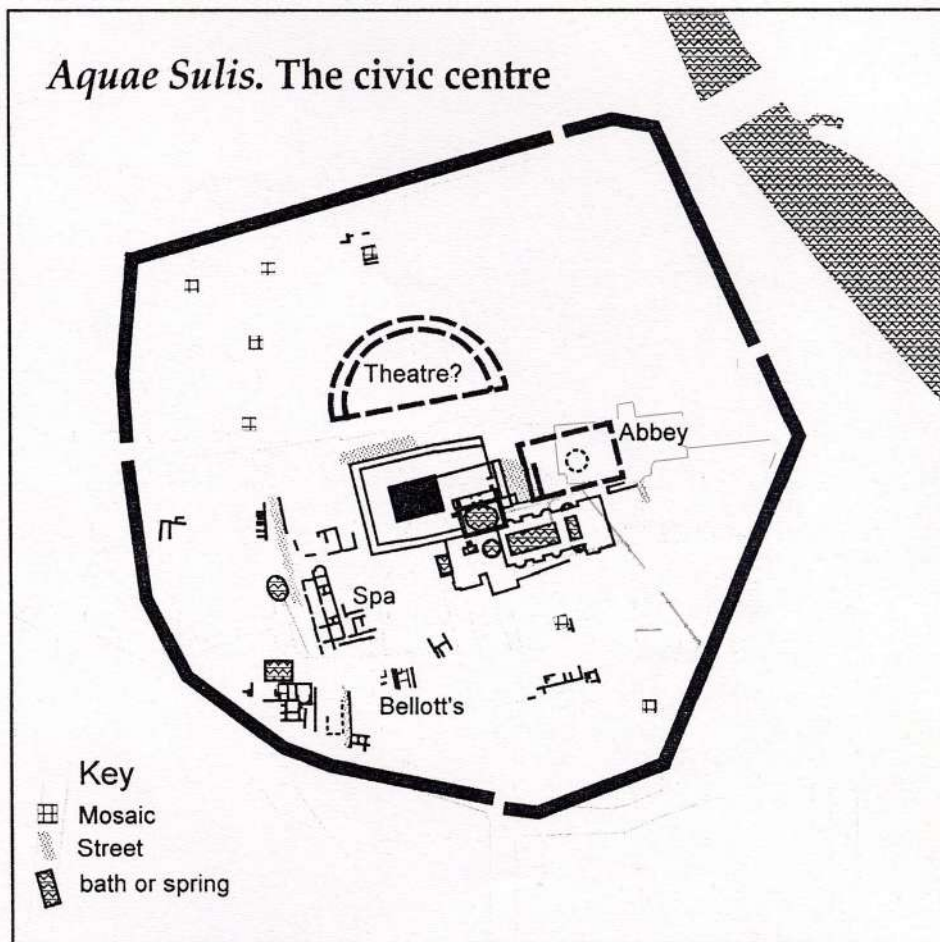


Fig. 8.3 : Bath antique : le centre monumental (Davenport 2002 : fig. 2).

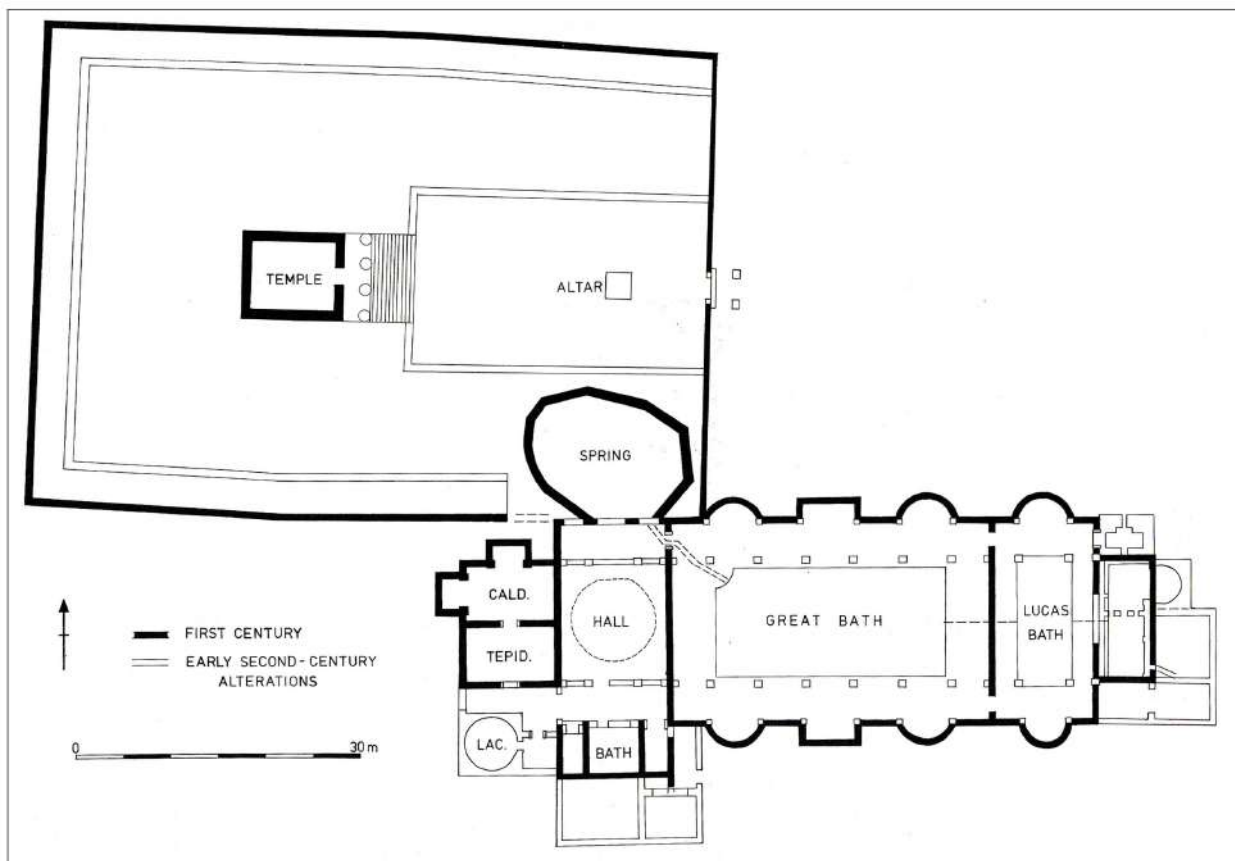


Fig. 8.4 : Bath : le temple de *Sulis Minerva* et les thermes au 1^{er} s. et au début du 2^e s. (Burham, Wachter 1990 : fig. 50).

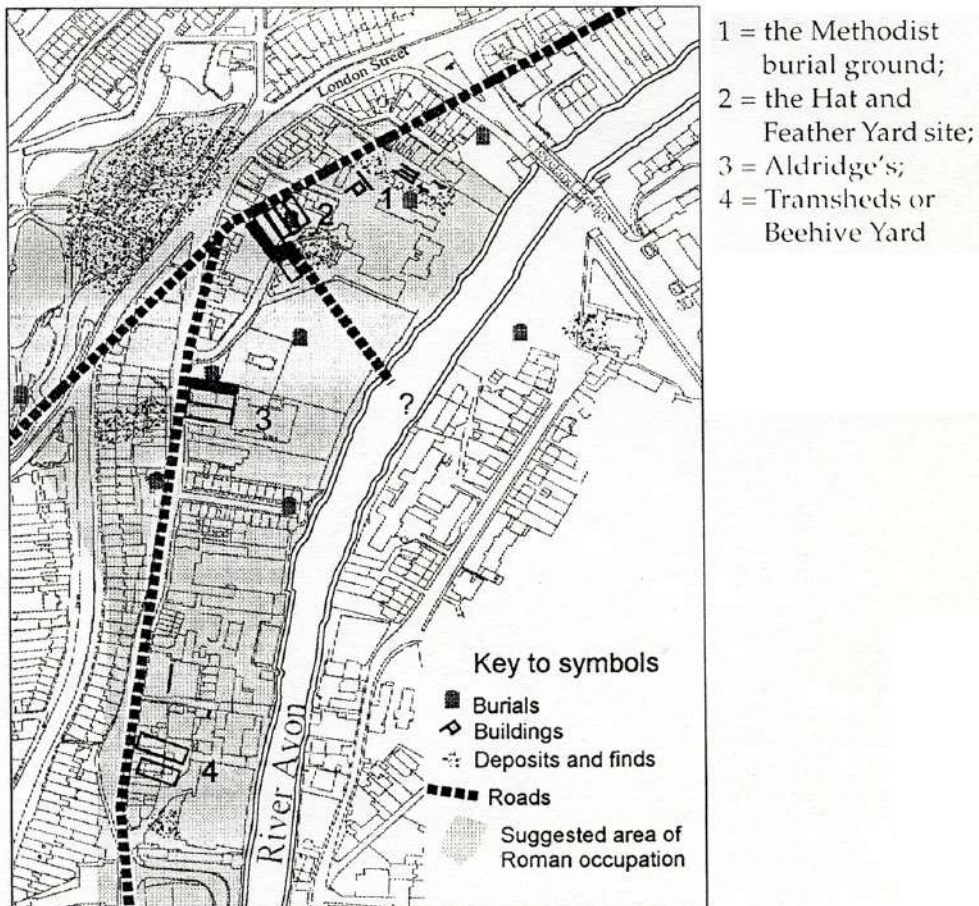


Fig. 8.5 : Bath : édifices romains et sépultures le long de Walcot Street (Davenport 2002 : fig. 3).

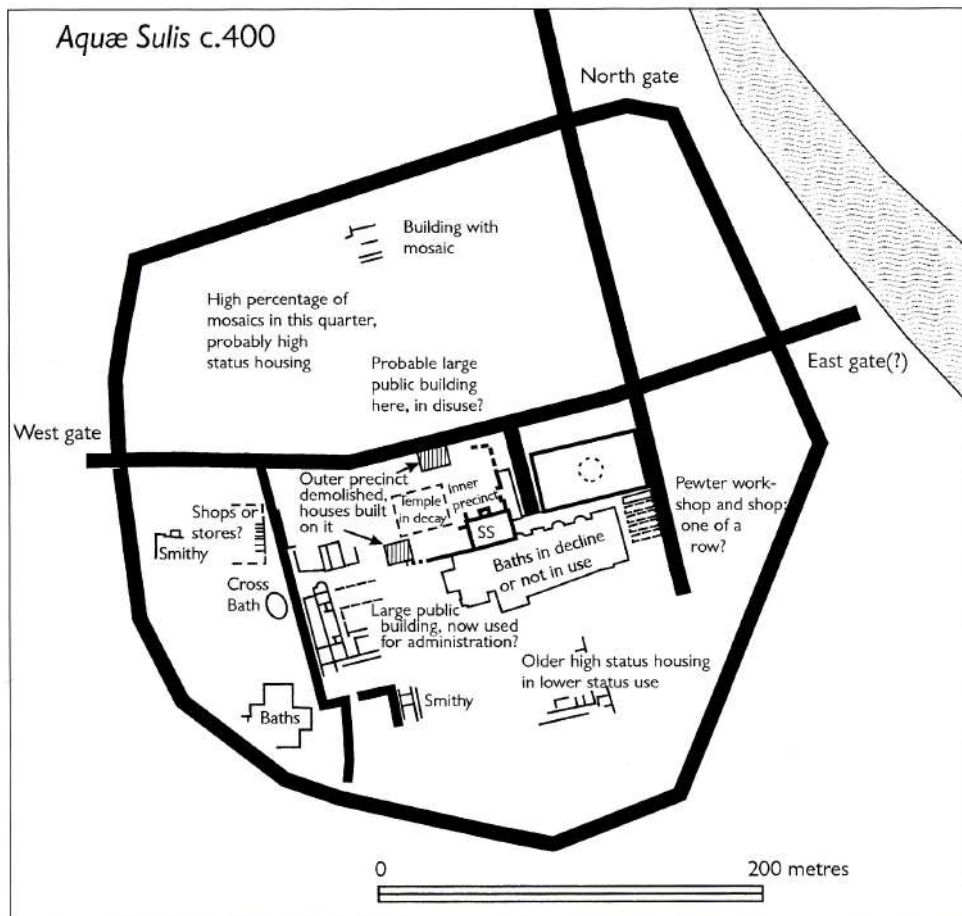


Fig. 8.6 : Bath : la ville enclose vers 400 (Davenport 2002 : fig. 5).

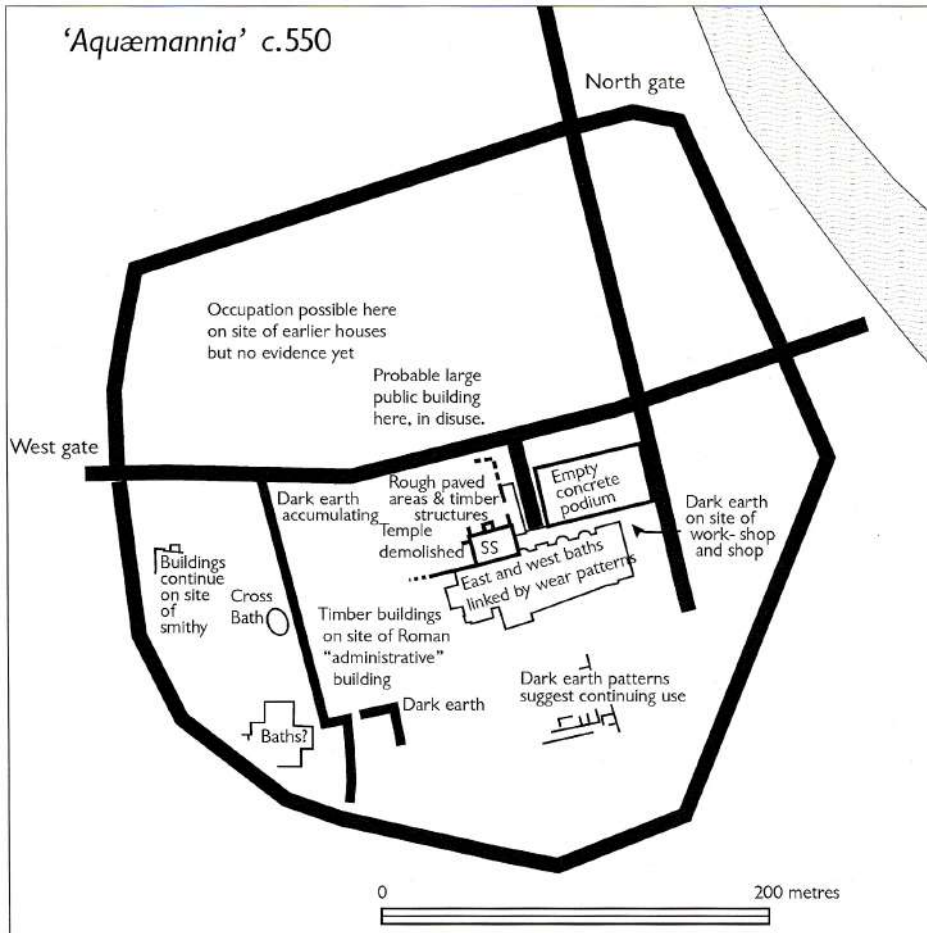


Fig. 8.7 : Bath : la ville enclose vers 550 (Davenport 2002 : fig. 8).

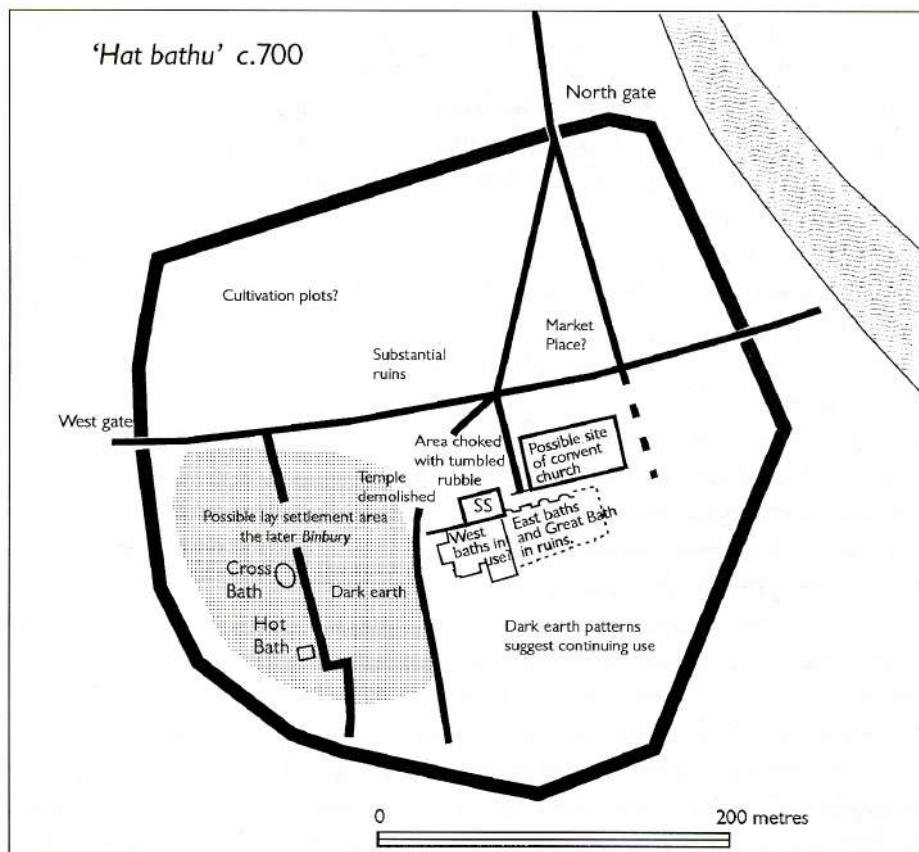


Fig. 8.8 : Bath : la ville enclose vers 700 (Davenport 2002 : fig. 10).

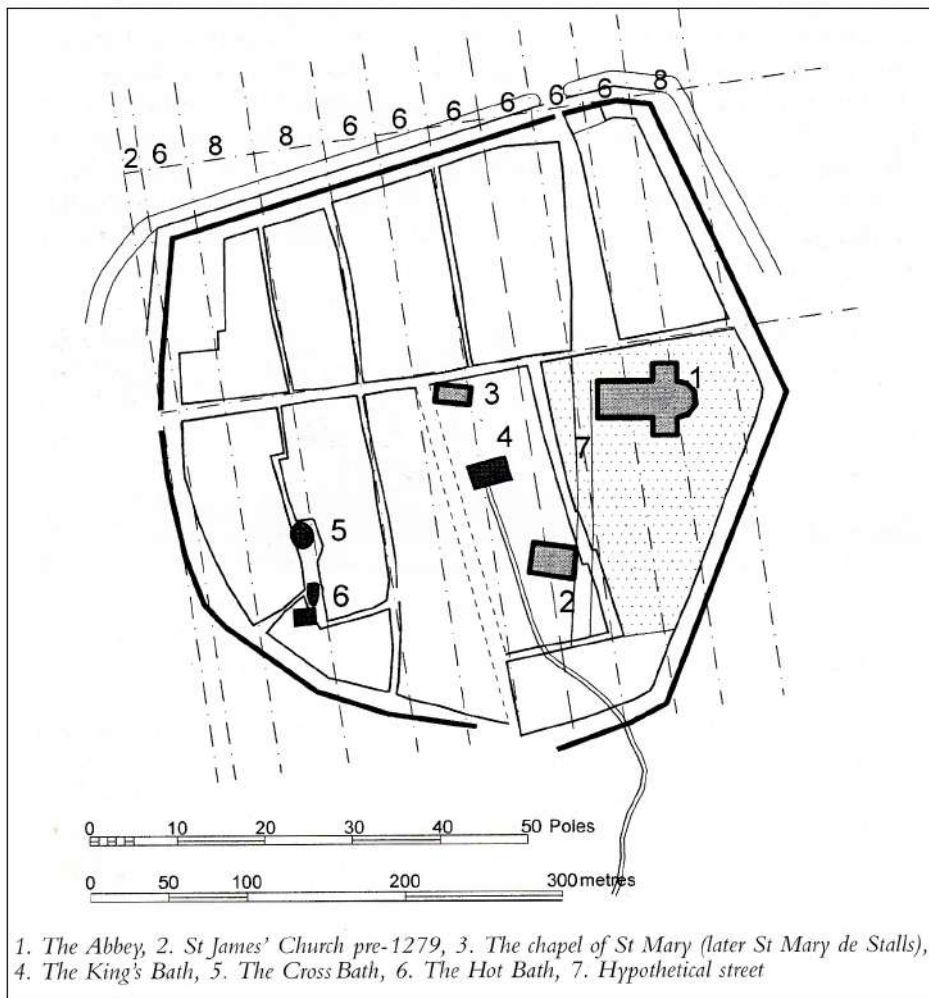


Fig. 8.9 : Bath : restitution du *burh* du 9^e s. (Davenport 2002 : fig. 14).

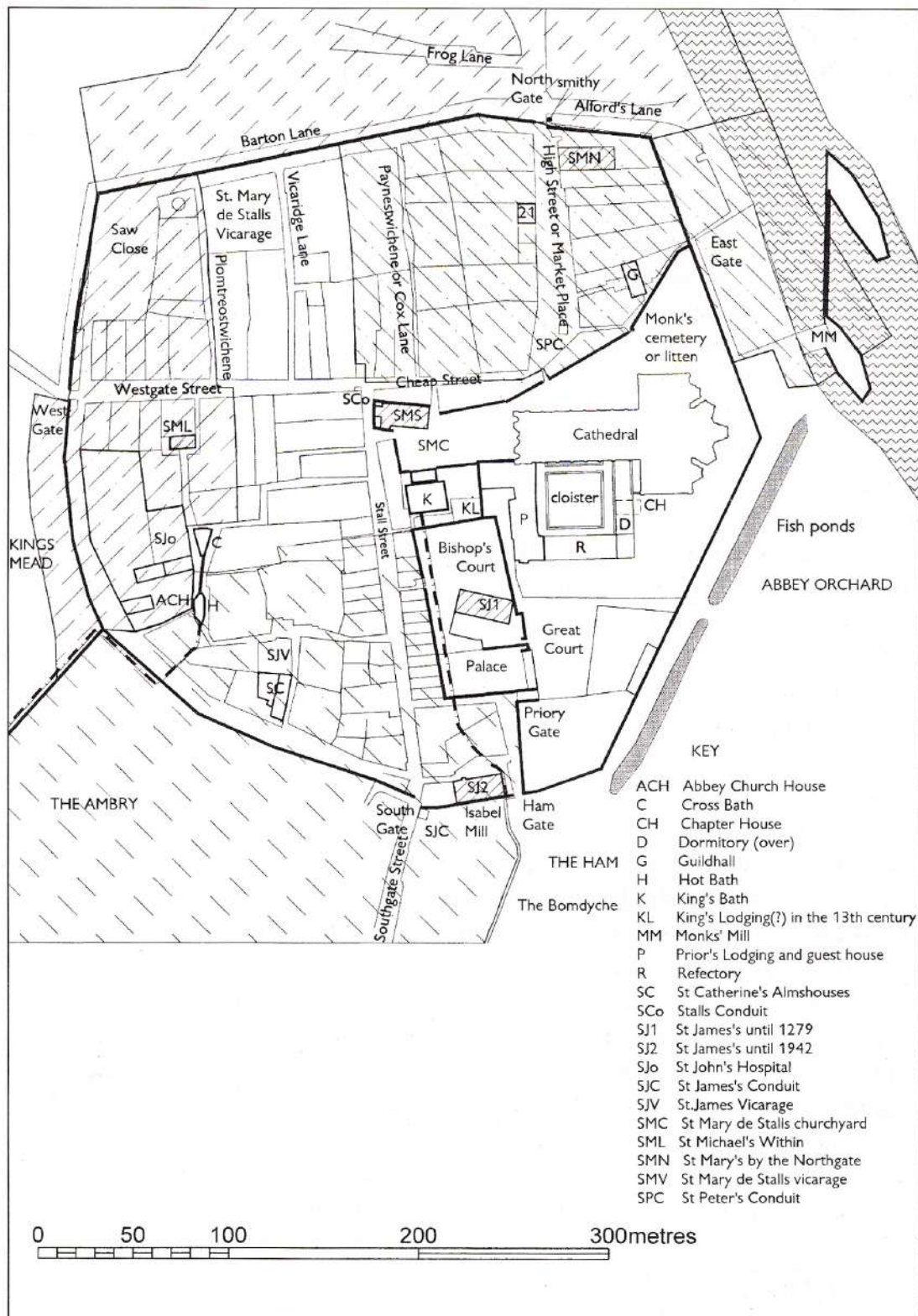


Fig. 8.10 : Bath : la ville enclose au 12^e s. Les hachures correspondent aux différentes paroisses (Davenport 2002 : fig. 26).

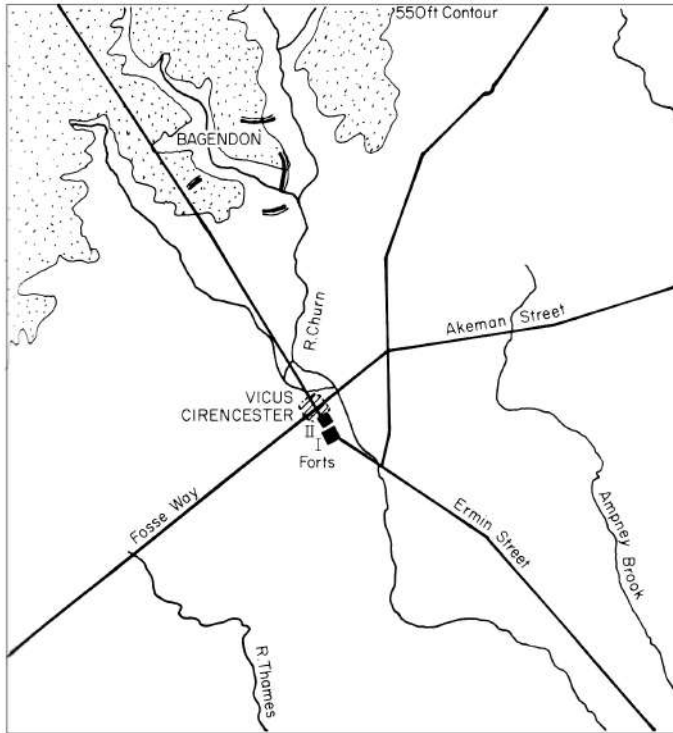


Fig. 9.1 : Cirencester : implantation des forts romains et du premier habitat civil (Wacher 1975 : fig. 4).

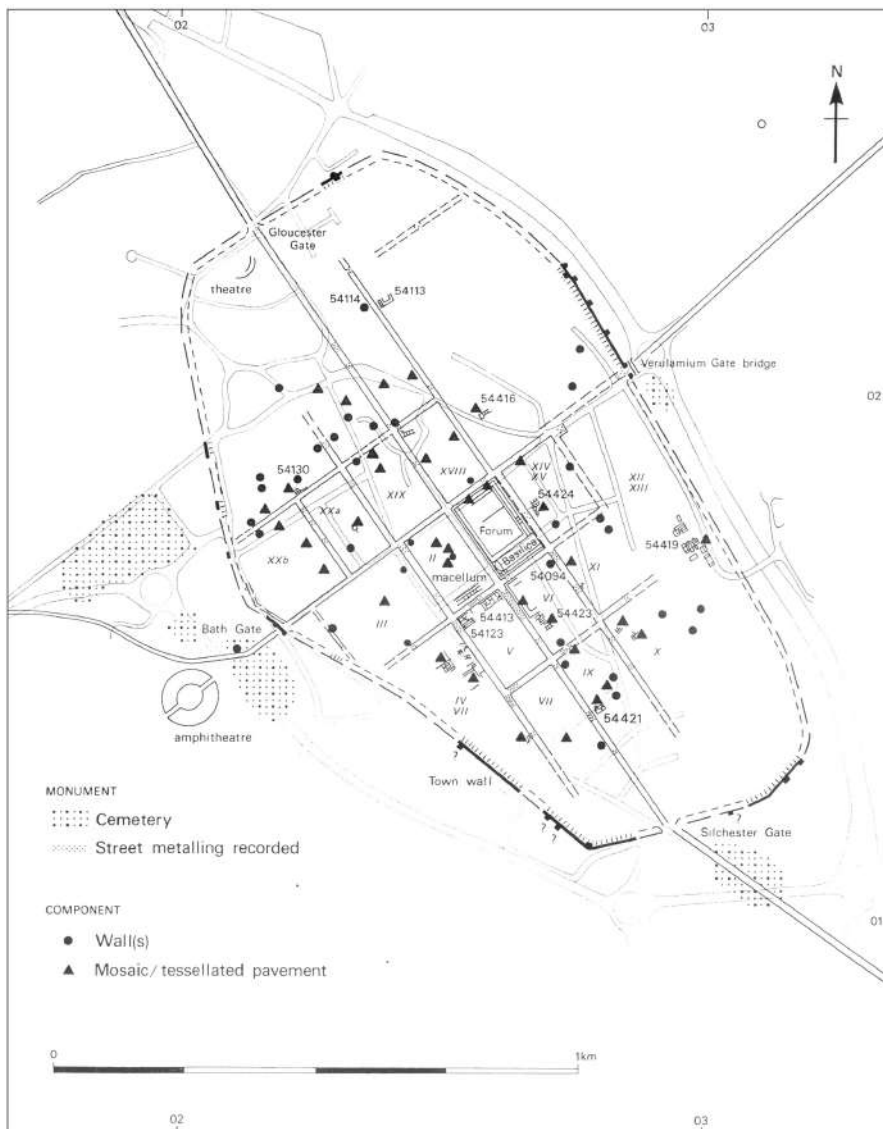


Fig. 9.2 : Cirencester : la ville antique (Darvill et Gerrard 1994 : fig. 18).

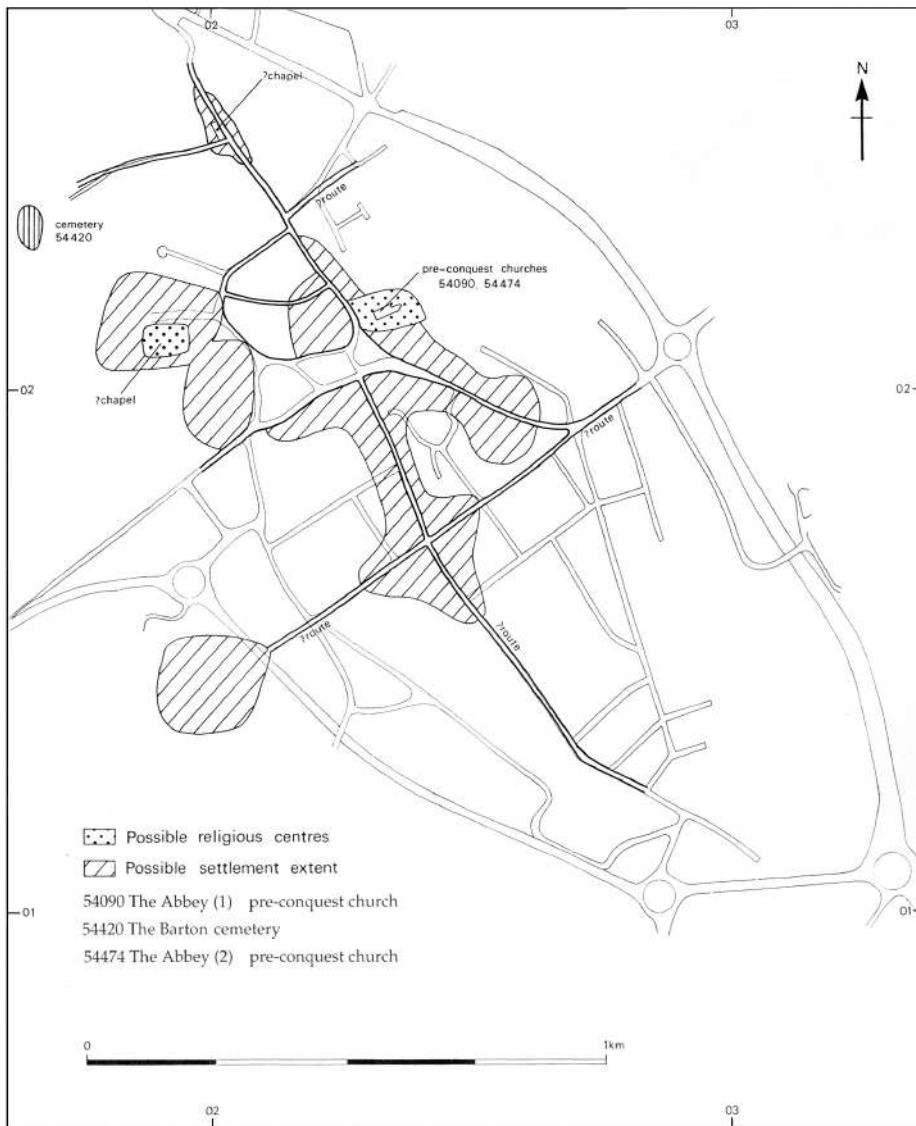


Fig. 9.3 : Cirencester au haut Moyen Âge (Darvill et Gerrard 1994 : fig. 31).

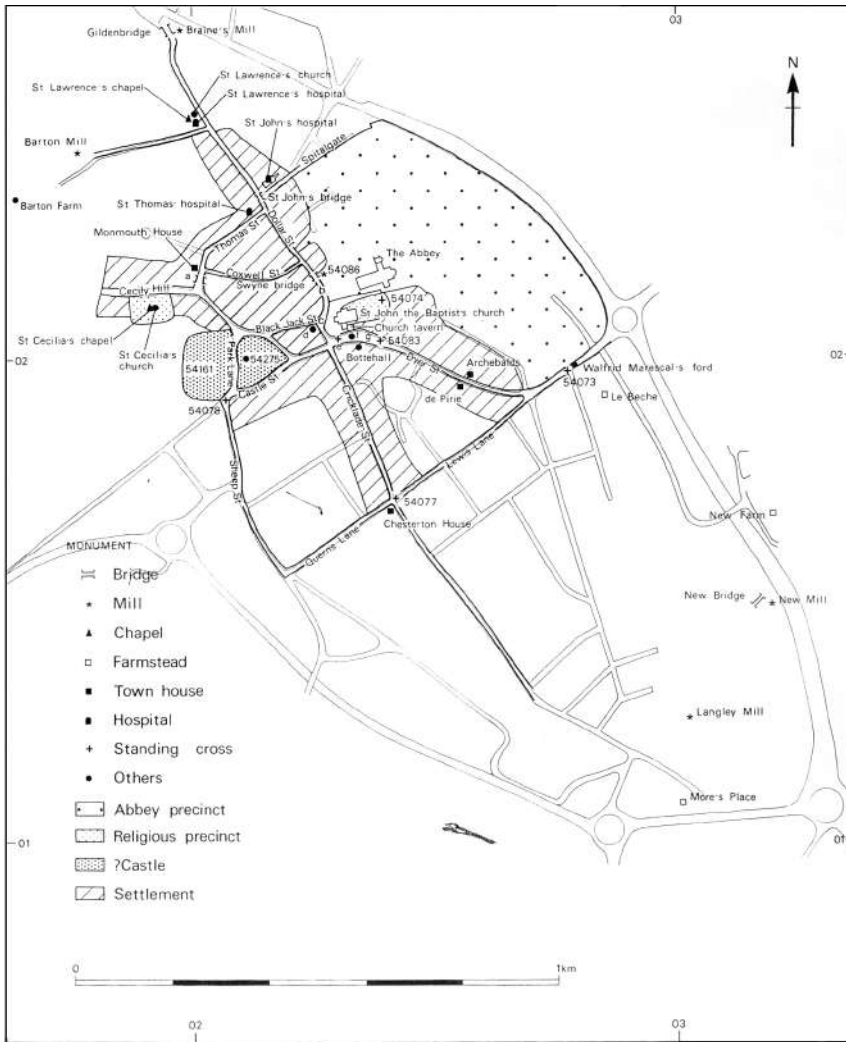


Fig. 9.4 : Cirencester : topographie médiévale (Darvill et Gerrard 1994 : fig. 34).

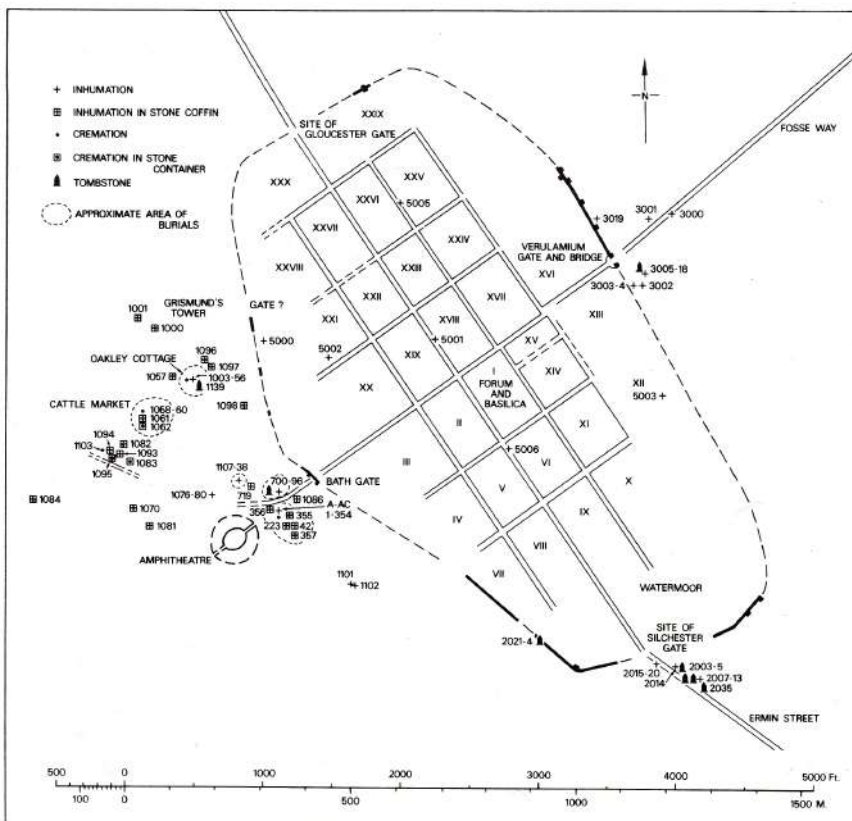


Fig. 9.5 : Cirencester : les sites funéraires de l'époque romaine (McWhirr et al. 1982 : fig. 87).

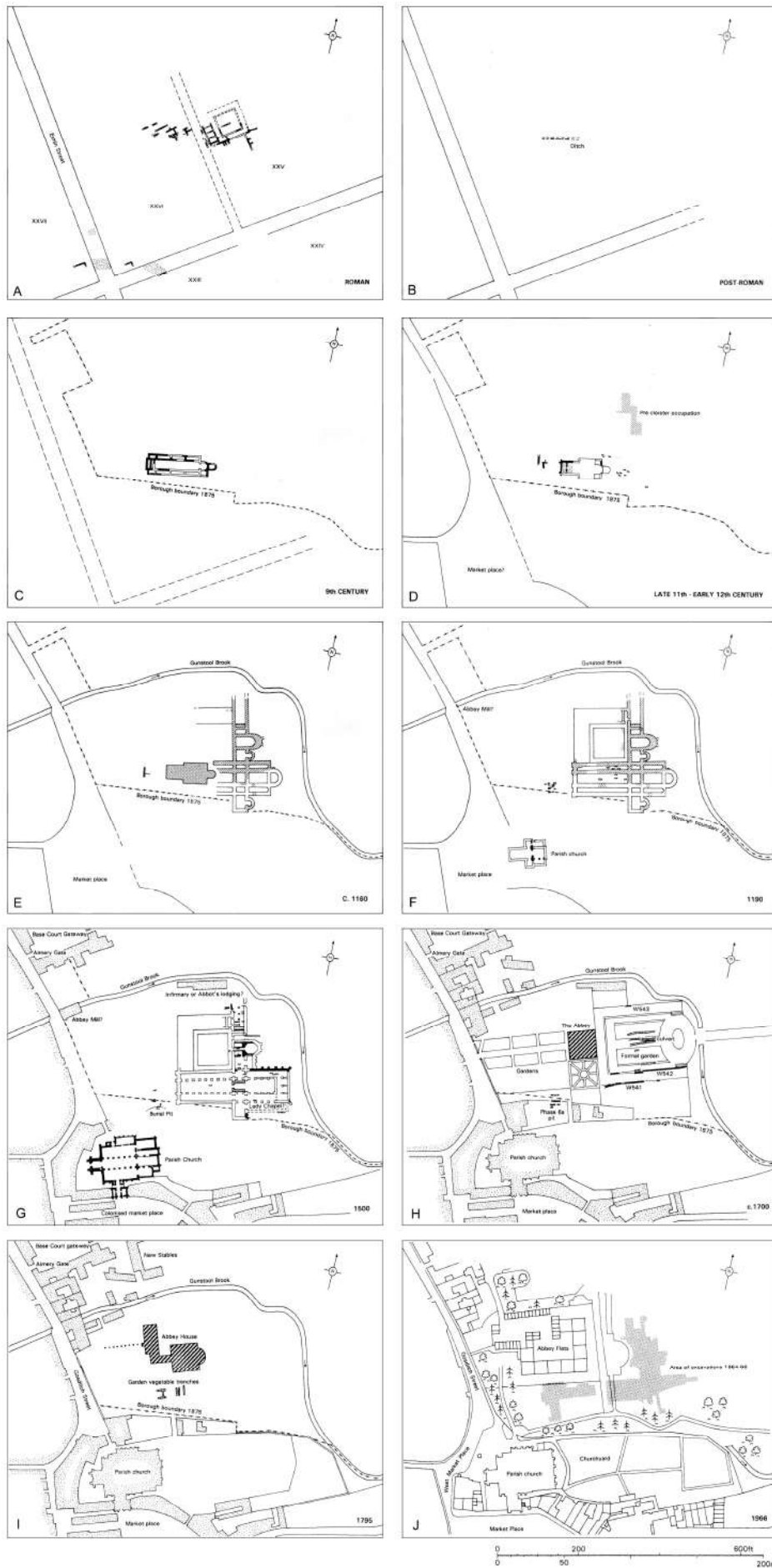


Fig. 9.6 : Cirencester, site de l'abbaye : évolution topographique. A : époque romaine ; B : début du haut Moyen Âge ; C : 9^e s. ; D : fin 11^e-début 12^e s. ; E : vers 1160 ; F : 1190 ; G : 1500 ; H : vers 1700 ; I : 1795 ; J : 1966. (Wilkinson et MacWhirr 1998 : fig. 5, 6, 7, 8 et 9).

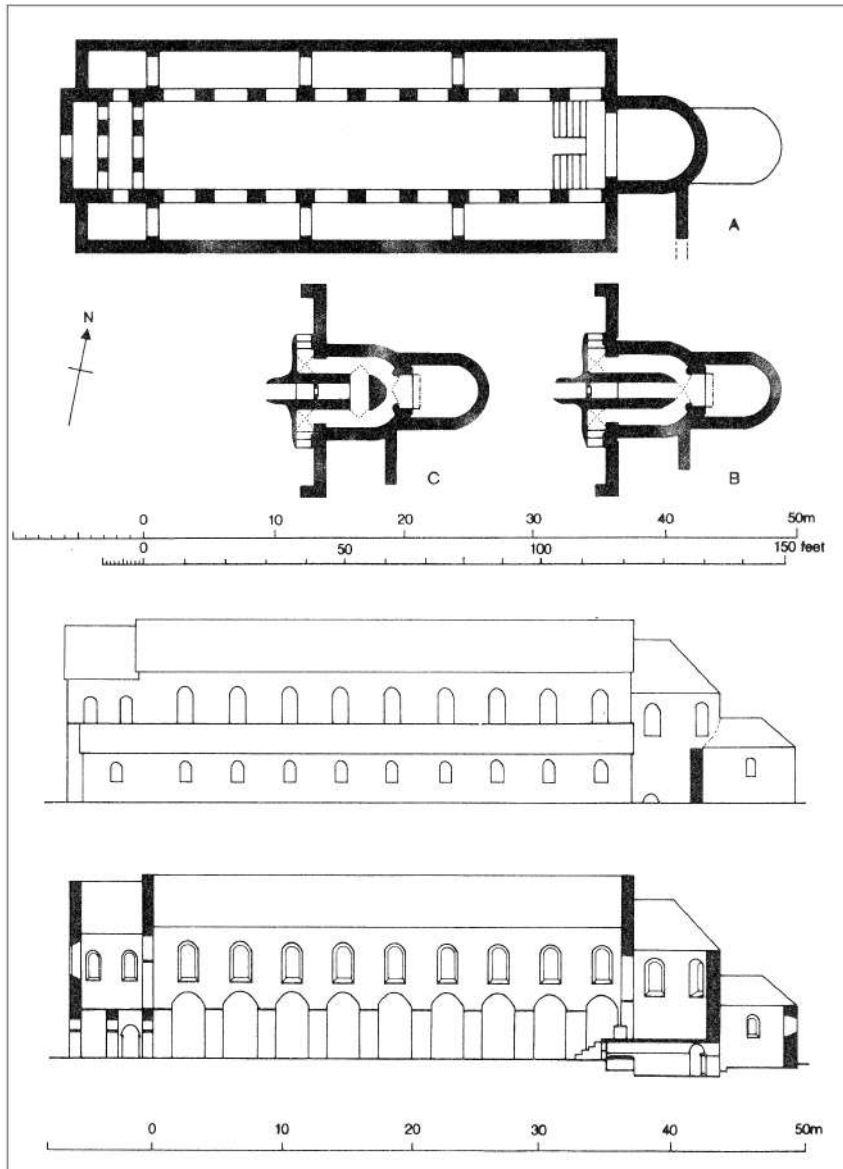


Fig. 9.7 : Cirencester, site de l'abbaye : plan, élévation et coupe restitués de l'église du haut Moyen Âge (Wilkinson et MacWhirr 1998, fig. 26).

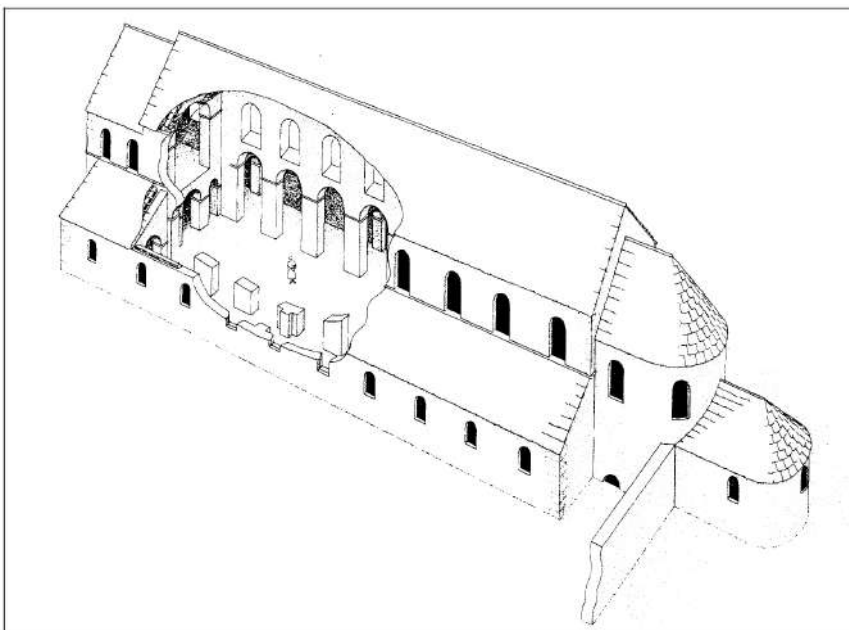


Fig. 9.8 : Cirencester, site de l'abbaye : reconstitution axonométrique de l'église du haut Moyen Âge (Wilkinson et MacWhirr 1998, fig. 27).

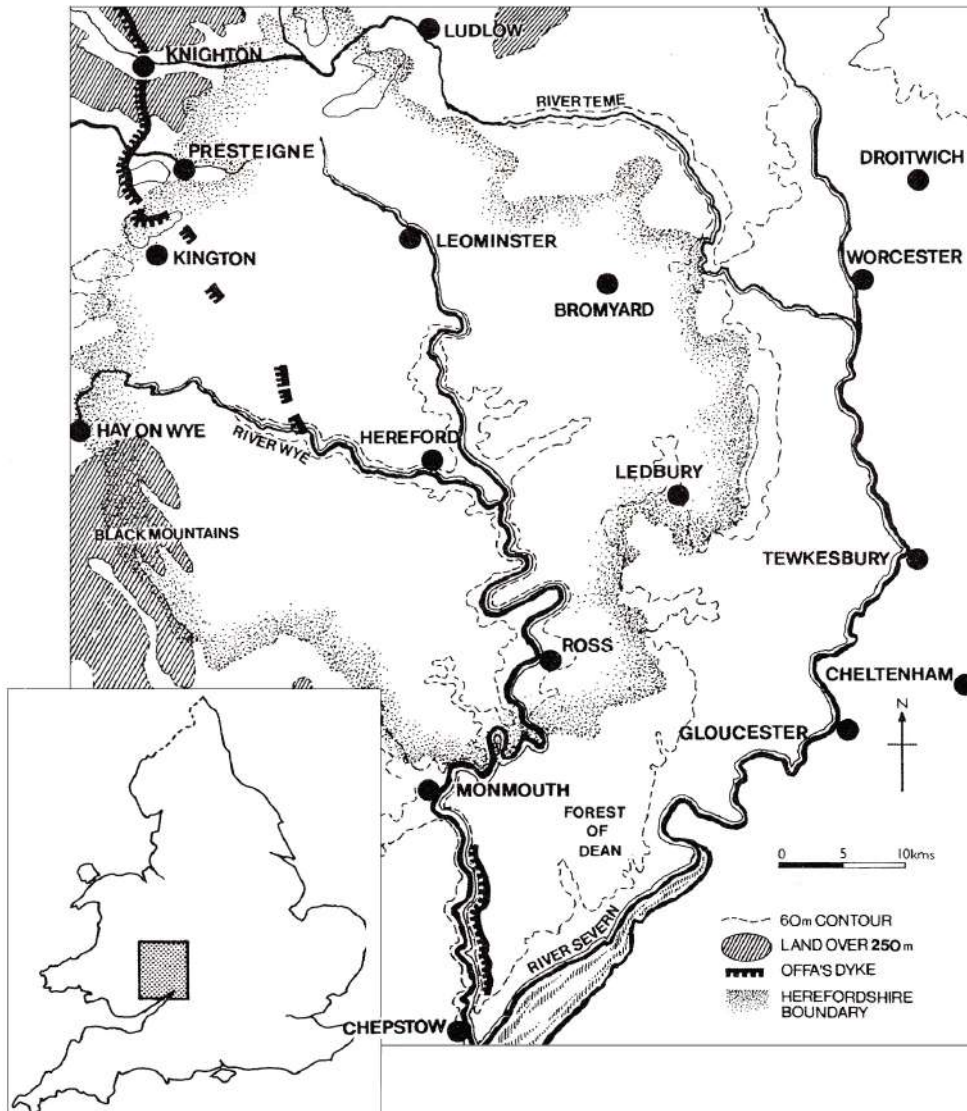


Fig. 10.1 : Carte de localisation de Gloucester, Hereford et Worcester (Thomas et Boucher 2002 : fig. 1.1).

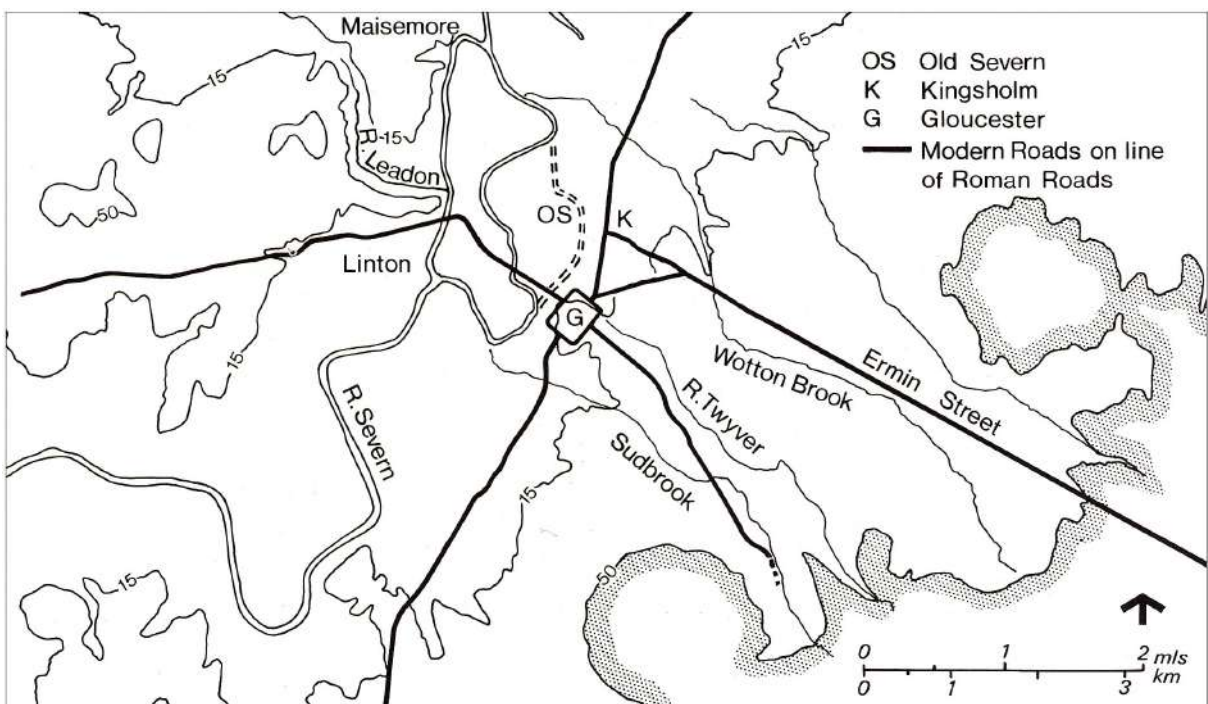


Fig. 10.2 : Gloucester : l'environnement de la colonie romaine (Hurst 1999b : fig. 1).

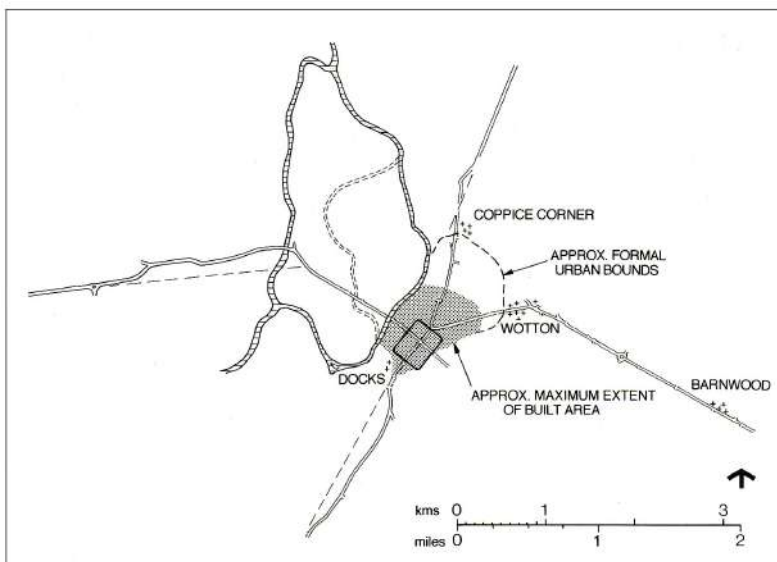


Fig. 10.3 : Gloucester : extension de l'occupation antique (Hurst 1999b : fig. 5).

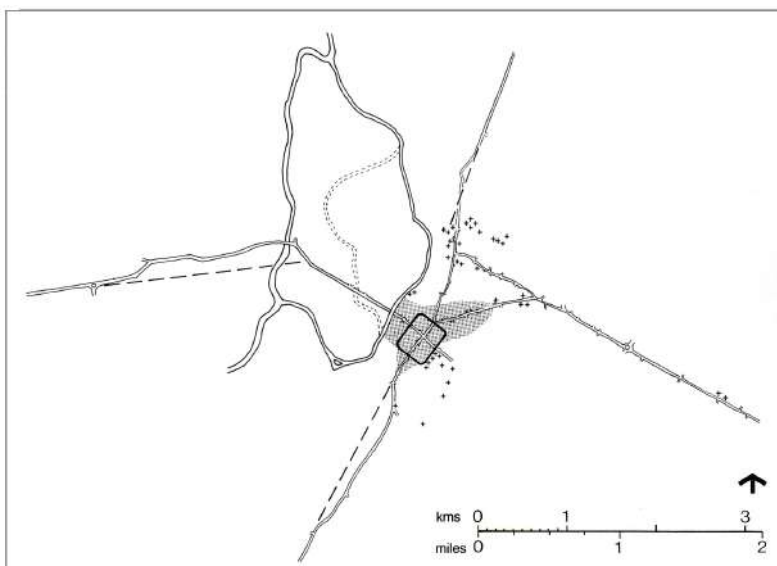


Fig. 10.4 : Gloucester : extension de l'habitat et localisation des sites funéraires à la fin du 4^e s. et au début du 5^e s. (Hurst 1985 : fig. 41b).

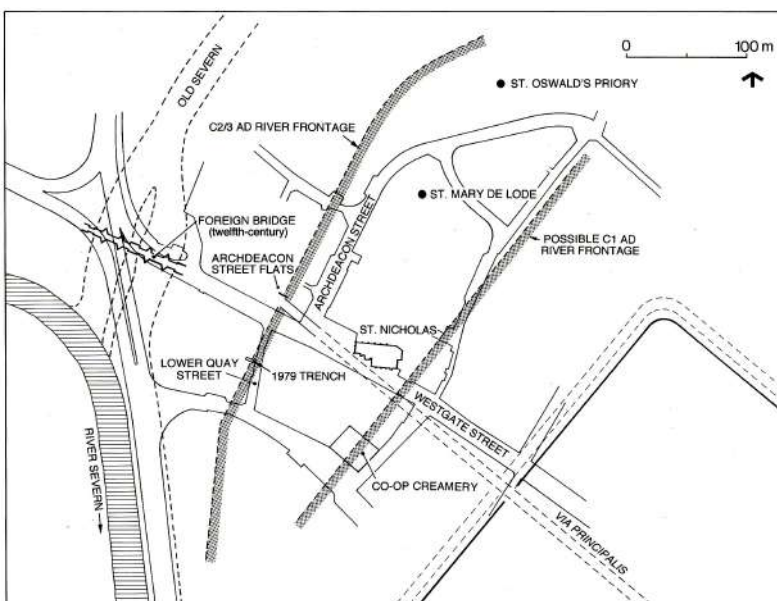


Fig. 10.5 : Gloucester : succession du trait de rive pendant l'Antiquité et le Moyen Âge (Hurst 1999b : fig. 7).

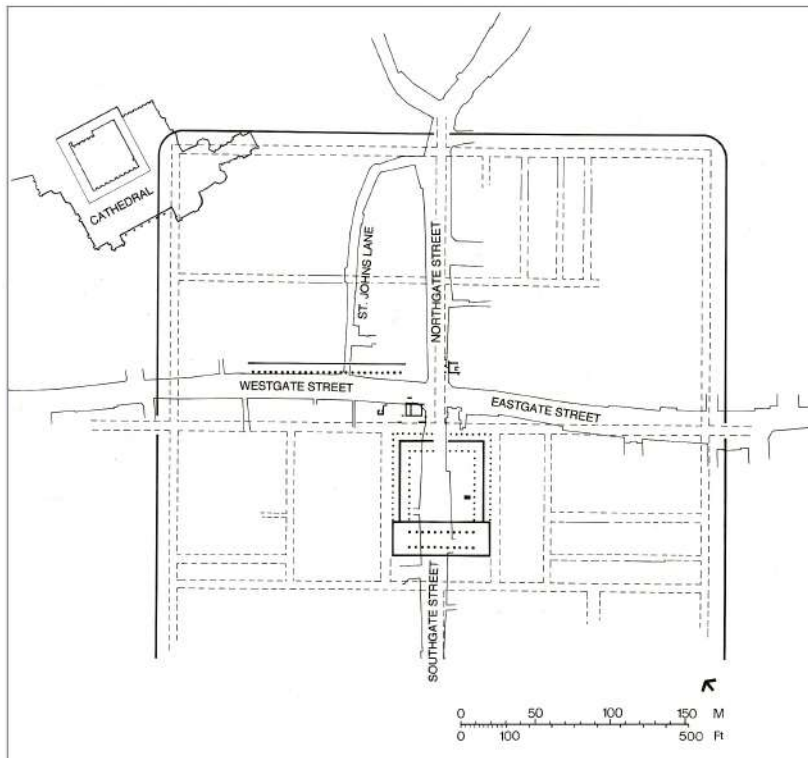


Fig. 10.6 : Gloucester : le centre monumental de la colonie (Hurst 1999a : fig. 3).

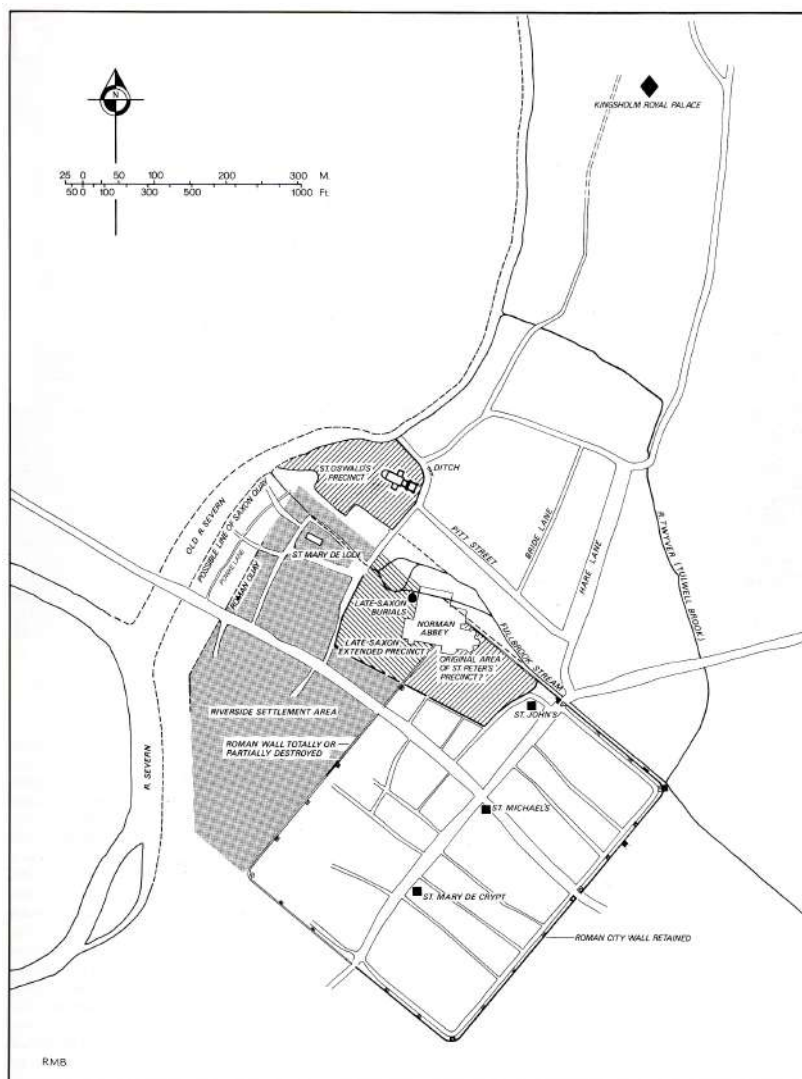


Fig. 10.7 : Gloucester à la fin de l'époque anglo-saxonne et au Moyen Âge (Heighway et Bryant 1999 : fig. 1.3).

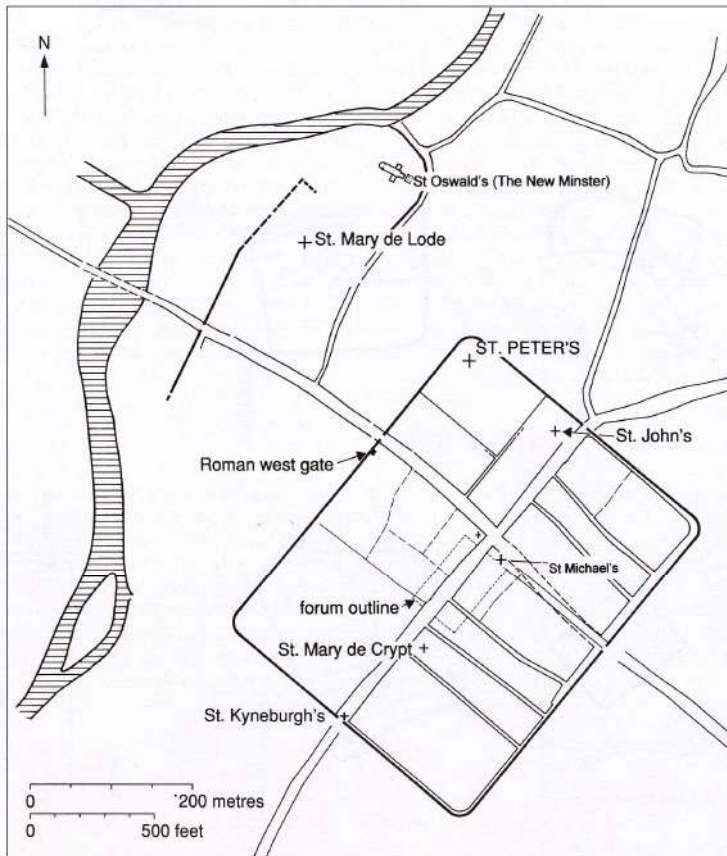


Fig. 10.8 : Gloucester, le burh : restitution schématique (Baker et Holt 2004 : fig. 14.2).

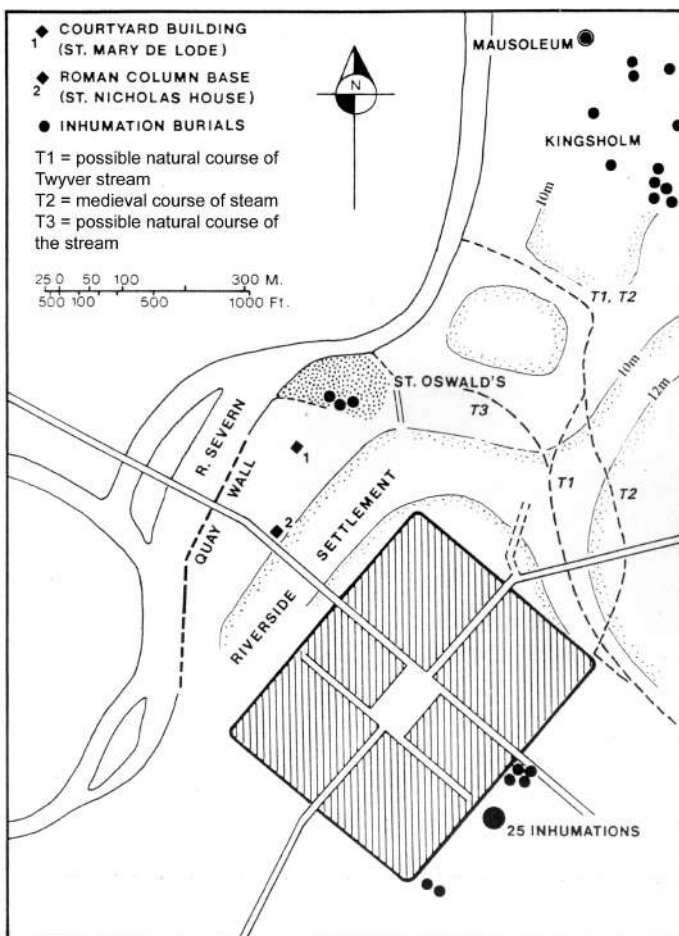


Fig. 10.9 : Gloucester : topographie funéraire antique aux abords de la ville enclose (Heighway et Bryant 1999 : fig. 1.2).

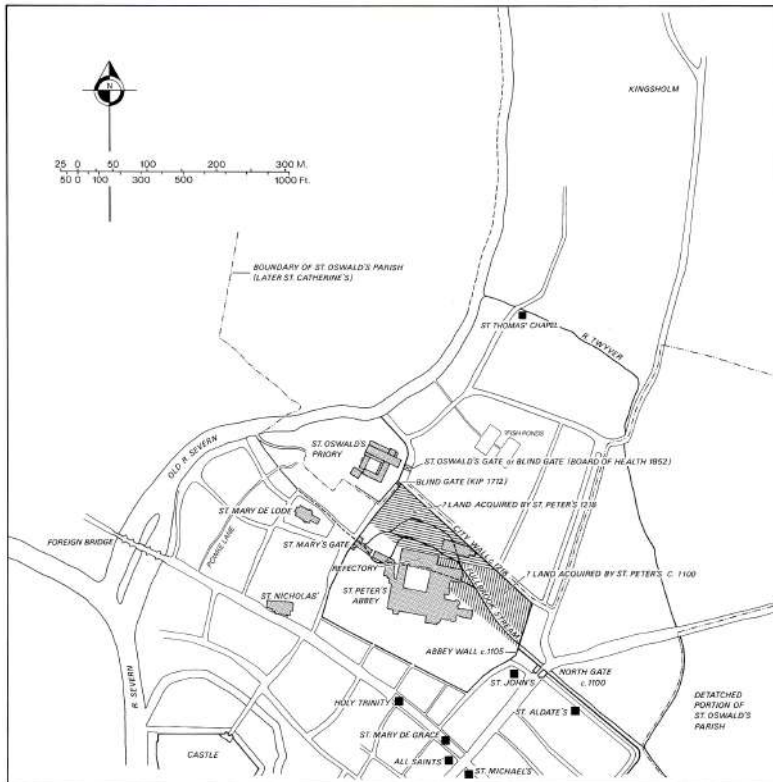


Fig. 10.10 : Gloucester : enclos monastiques de Saint-Oswald et de Saint-Pierre (Heighway et Bryant 1999 : fig. 1.7).

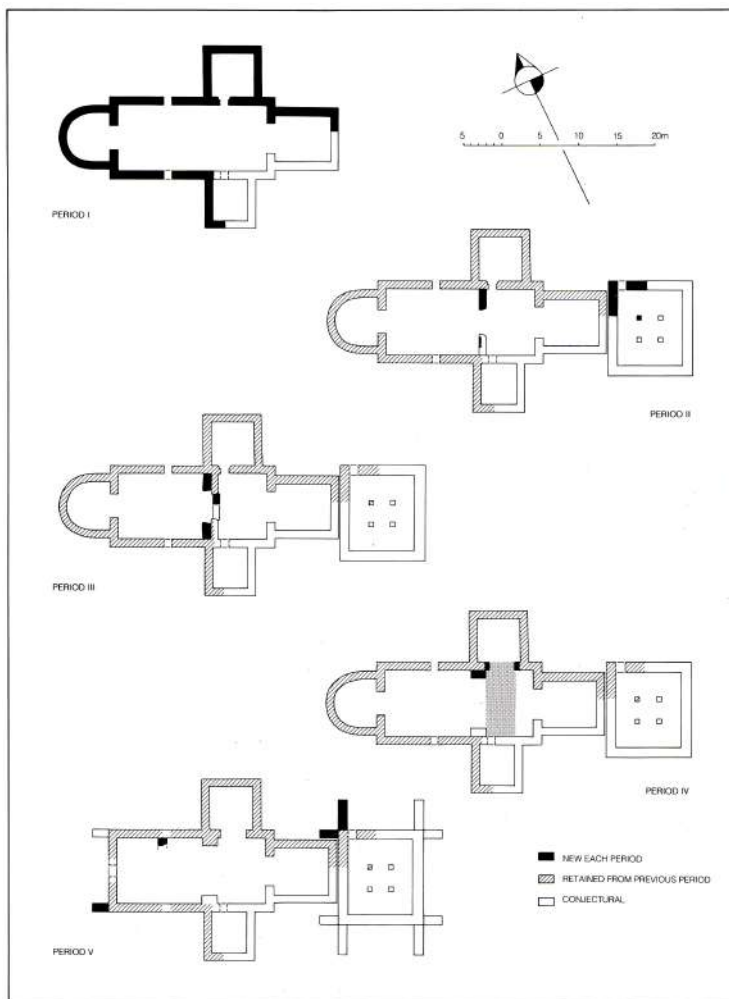


Fig. 10.11 : Gloucester, Saint-Oswald : évolution de l'église à l'époque anglo-saxonne (Heighway et Bryant 1999 : fig. 2.8).

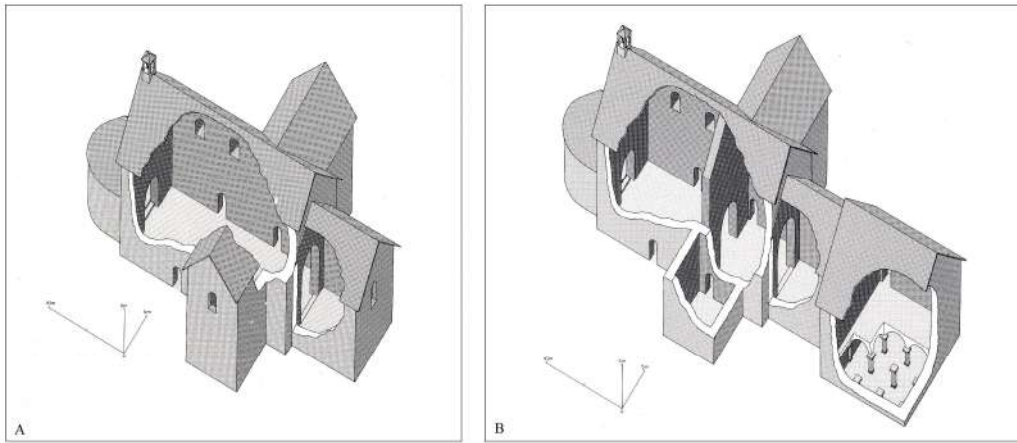


Fig. 10.12 : Gloucester, Saint-Oswald : reconstitutions axonométriques de l'église à l'époque anglo-saxonne (Heighway et Bryant 1999 : fig. 1.5 et 1.9).

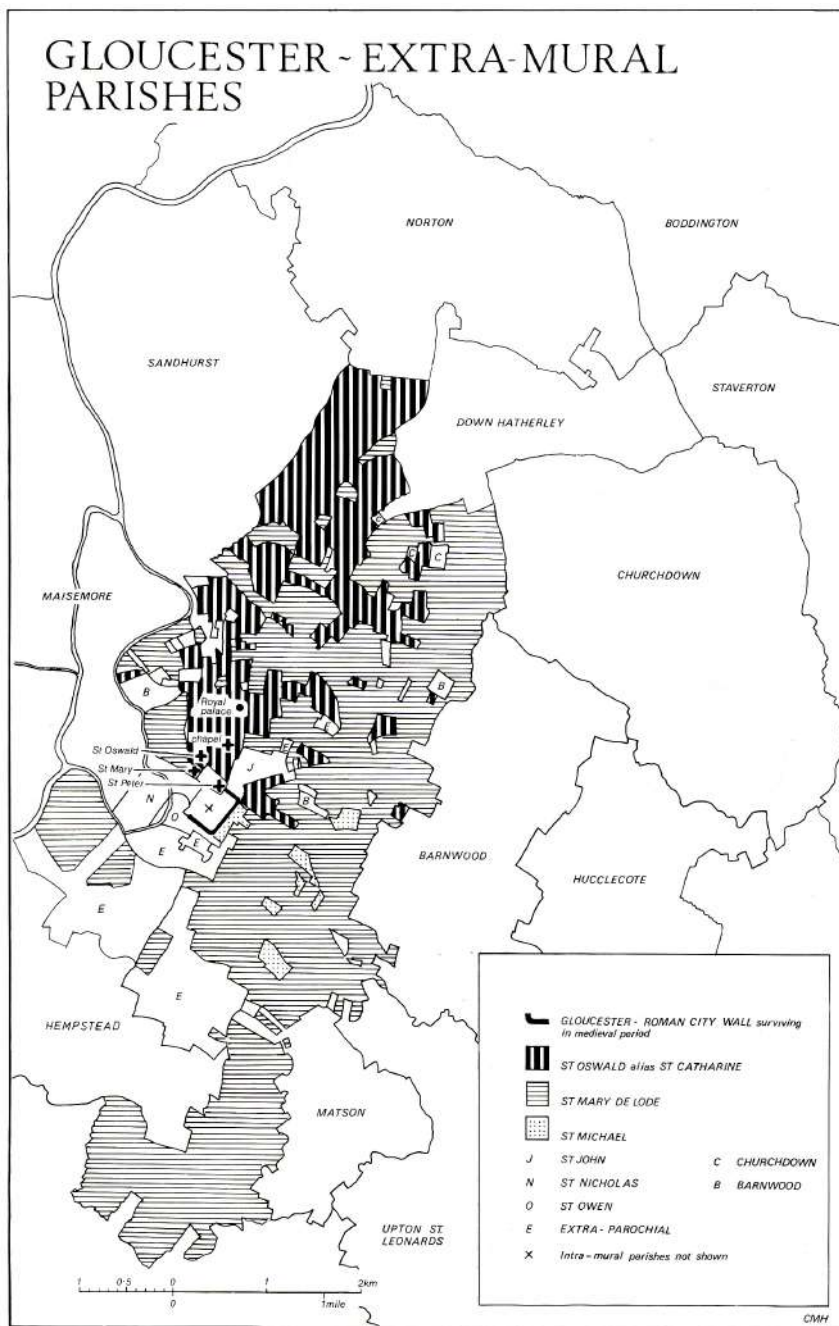


Fig. 10.13 : Gloucester : extension *extra muros* des paroisses de Saint-Oswald et de St Mary-de-Lode (Heighway et Bryant 1999 : fig. 1.12).

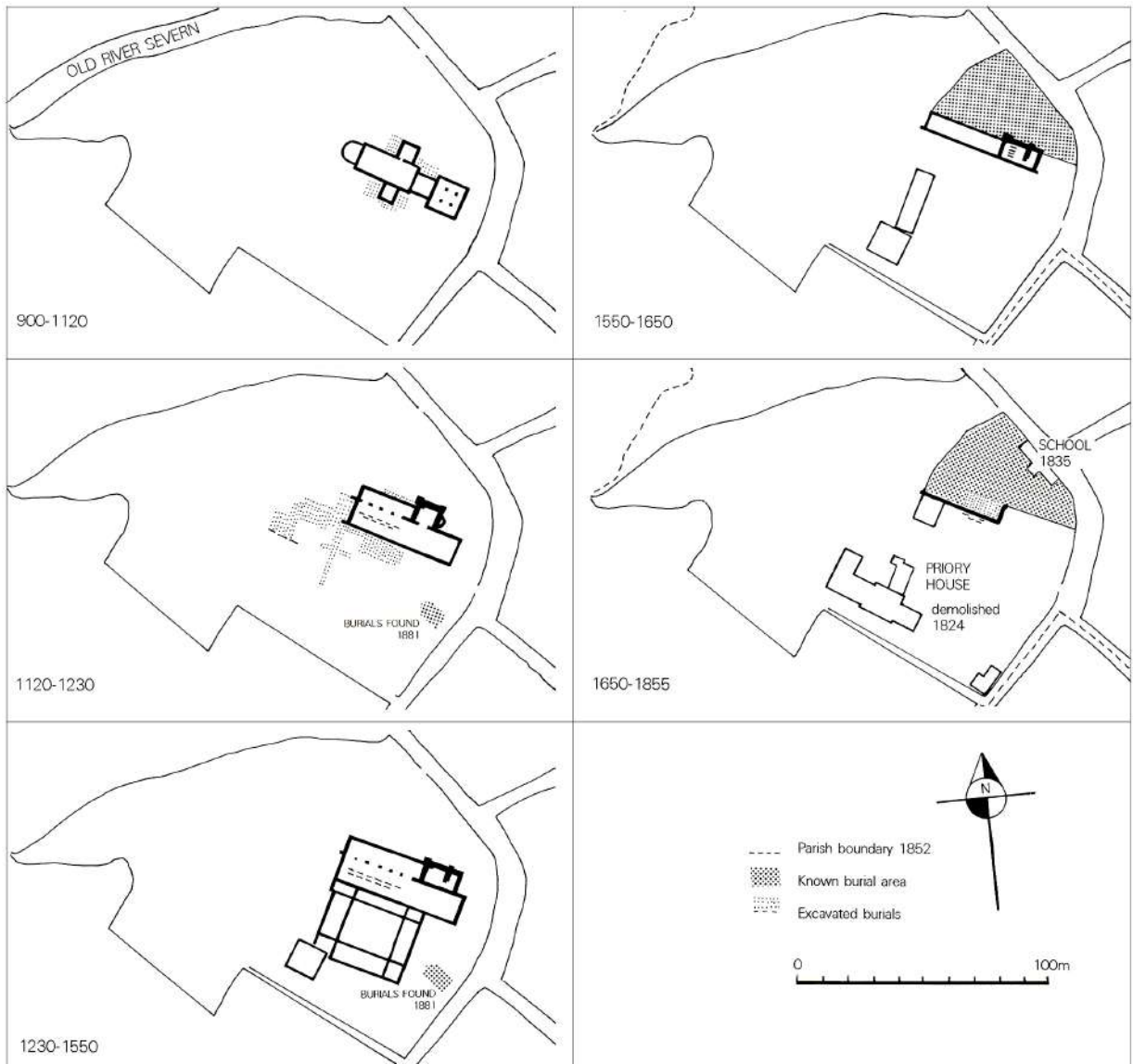


Fig. 10.14 : Gloucester, Saint-Oswald : évolution des zones funéraires (Heighway et Bryant 1999 : fig. 5.1).

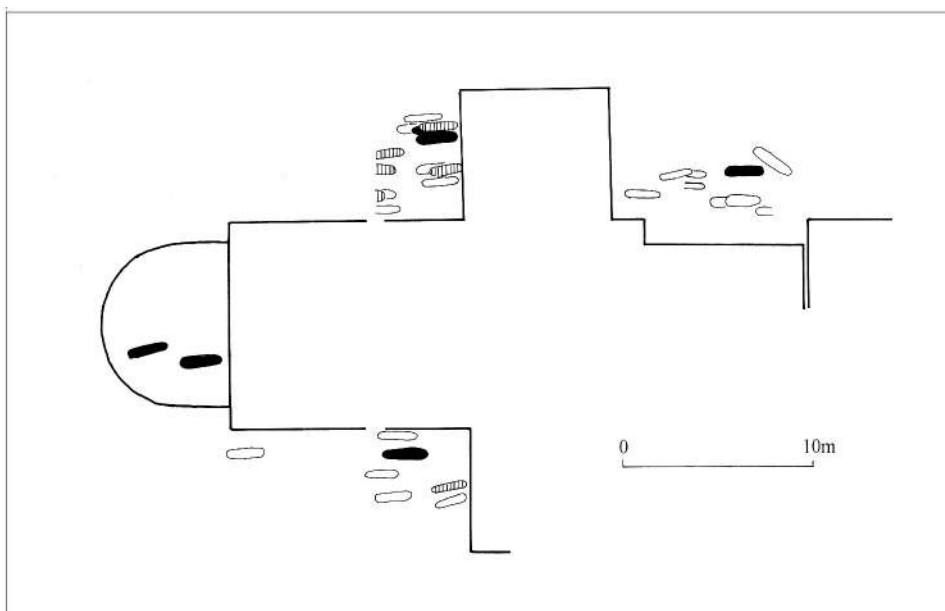


Fig. 10.15 : Gloucester, Saint-Oswald : localisation des sépultures à charbon de bois (Heighway et Bryant 1999 : fig. 5.14).

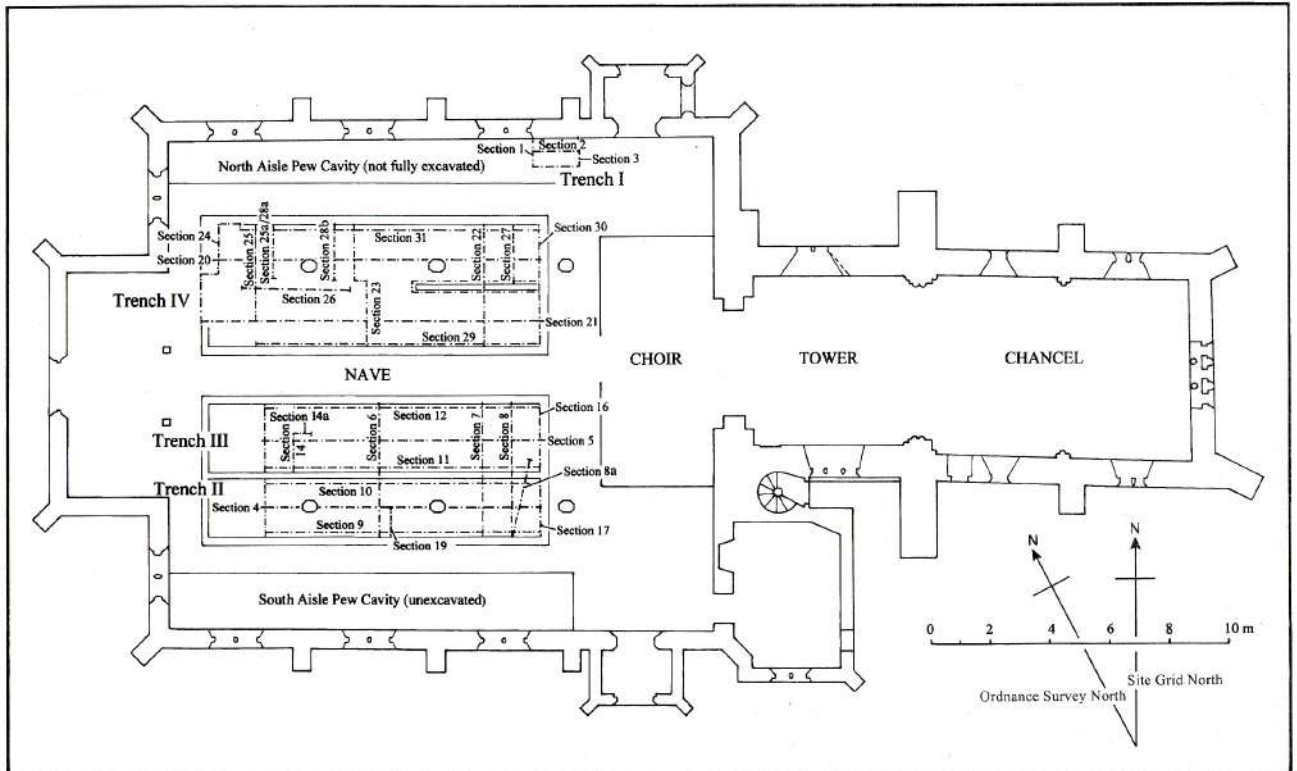


Fig. 10.16 : Gloucester, St Mary-de-Lode : emprise des zones fouillées (Bryant et Heighway 2003 : fig. 7).

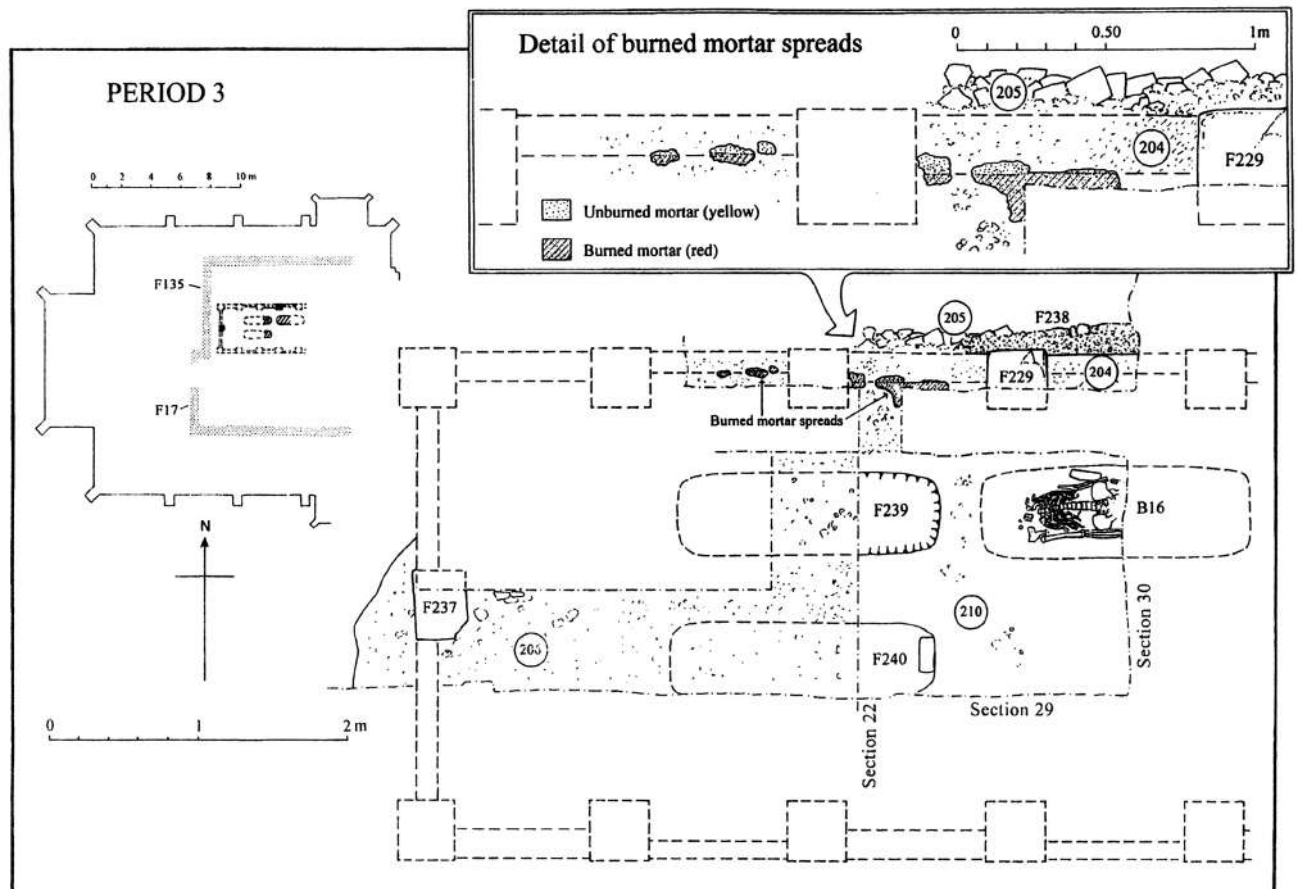


Fig. 10.17 : Gloucester, St Mary-de-Lode : plan du mausolée de la période 3 (Bryant et Heighway 2003 : fig. 10).

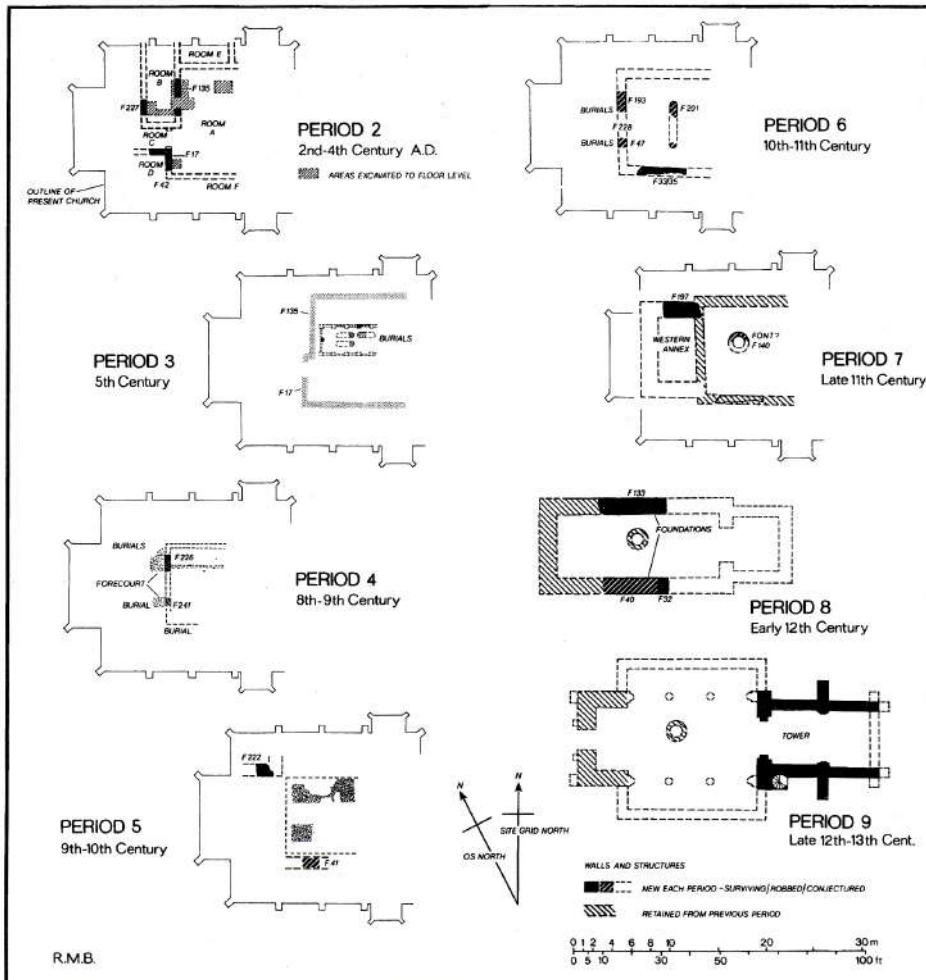


Fig. 10.18 : Gloucester, St Mary-de-Lode : plan du site de la période 2 (2^e s. ap. J.-C.) à la période 9 (fin 12^e-13^e s.) (Bryant et Heighway 2003 : fig. 47).

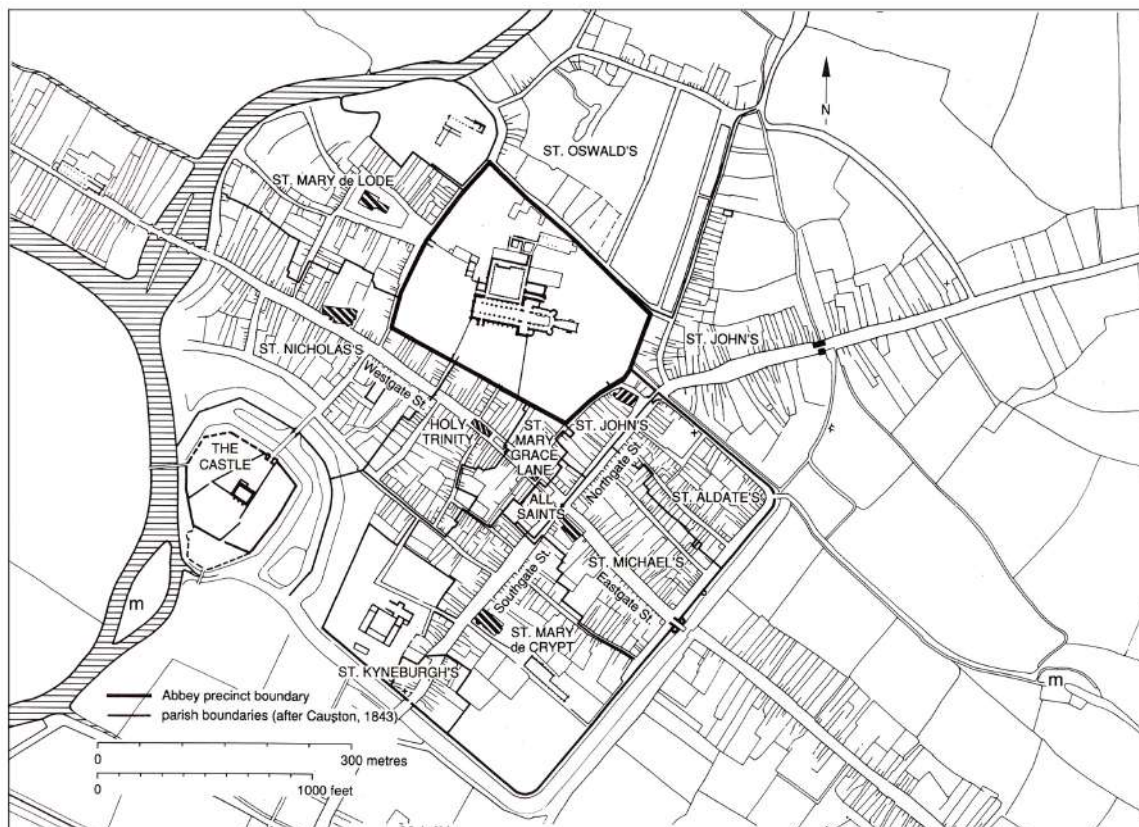


Fig. 10.19 : Gloucester : topographie religieuse au Moyen Âge central (Baket et Holt 2004 : fig. 4.1).

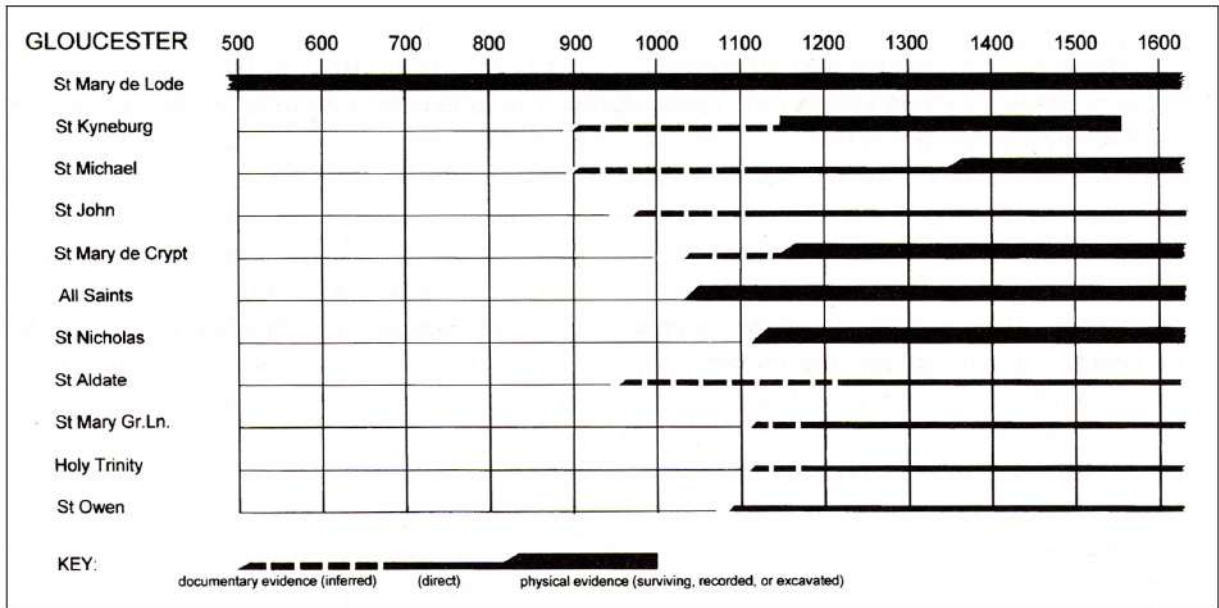


Fig. 10.20 : Gloucester : chronologie des fondations des églises paroissiales (Baket et Holt 2004 : fig. 8.1).

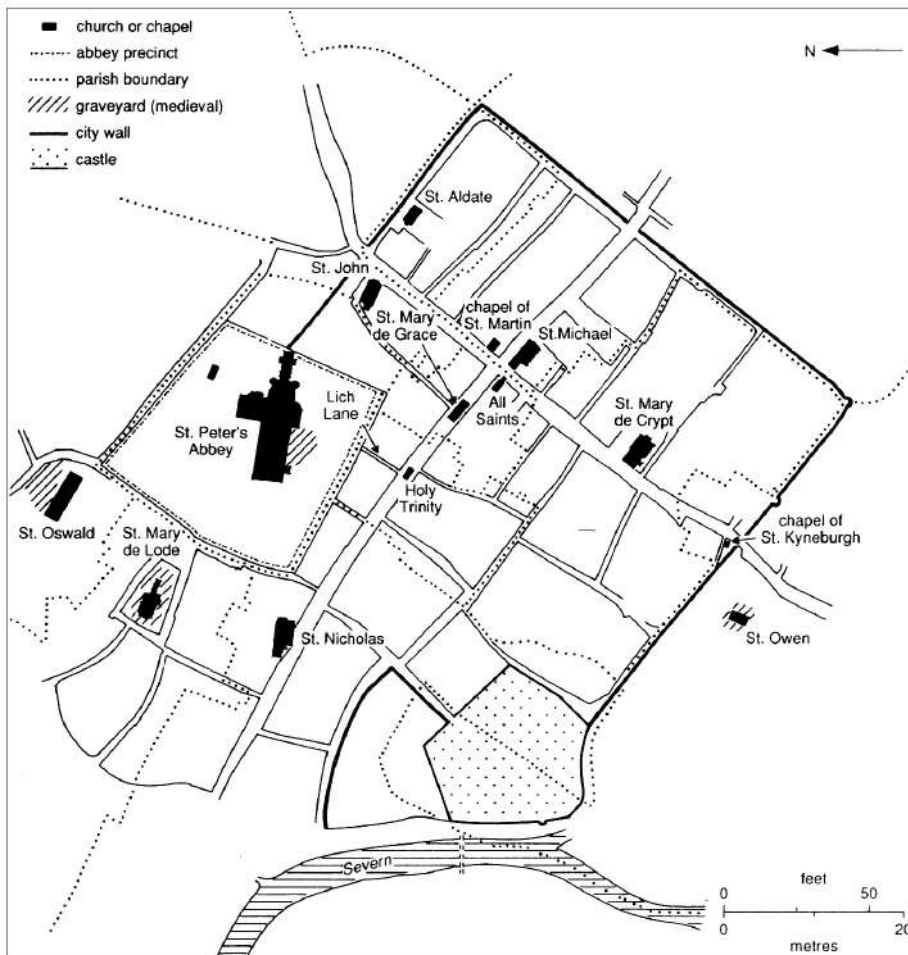


Fig. 10.21 : Gloucester : les églises et les cimetières paroissiaux (Barrow 1992 : fig. 7.3).

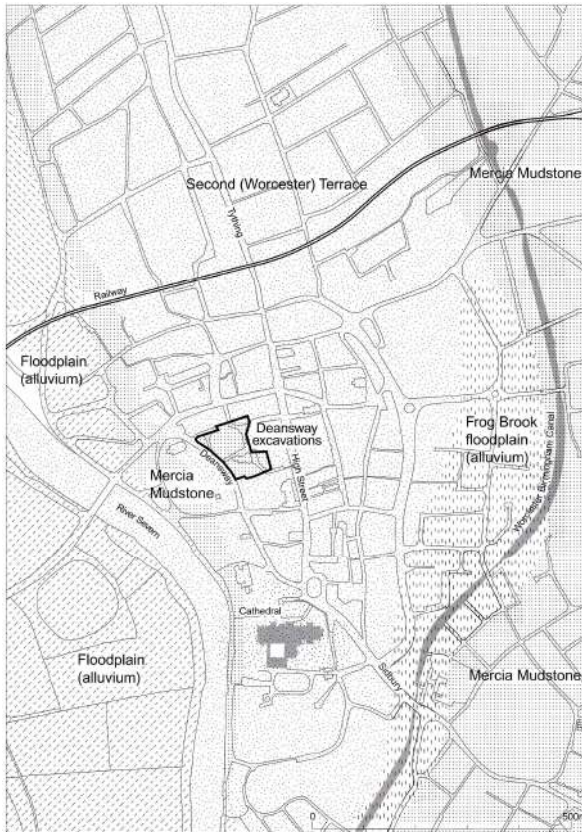


Fig. 11.1 : Worcester : topographie et géologie du site (Dalwood et Edwards 2004 : fig. 8).

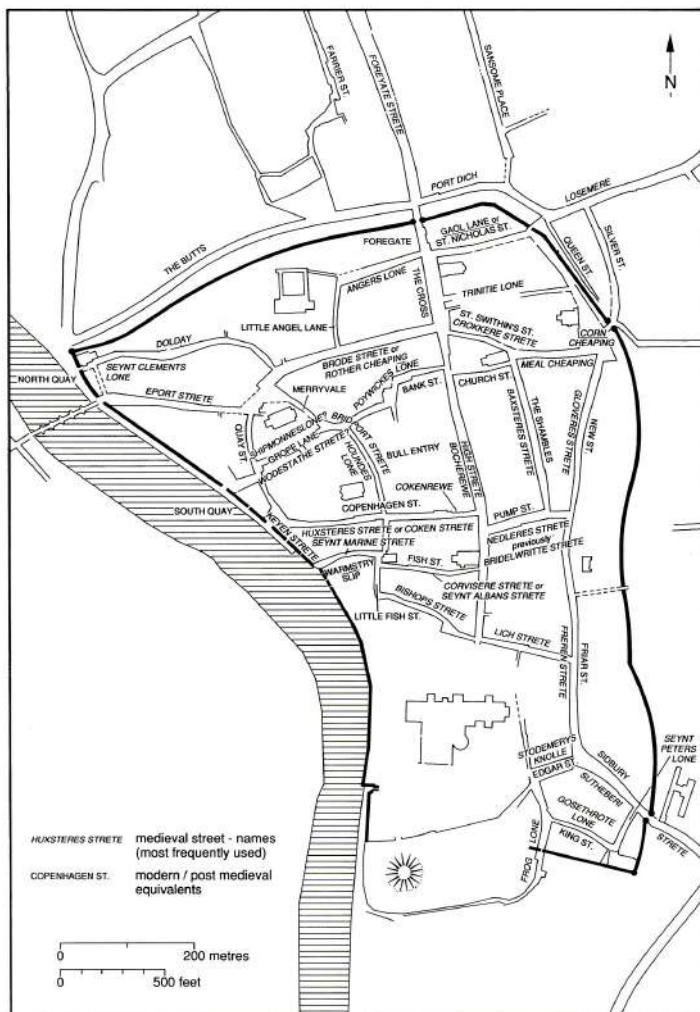


Fig. 11.2 : Worcester : topographie générale indiquant les noms de rues médiévaux (en italique) et modernes (Baker et Holt 2004 : fig. 6.6).

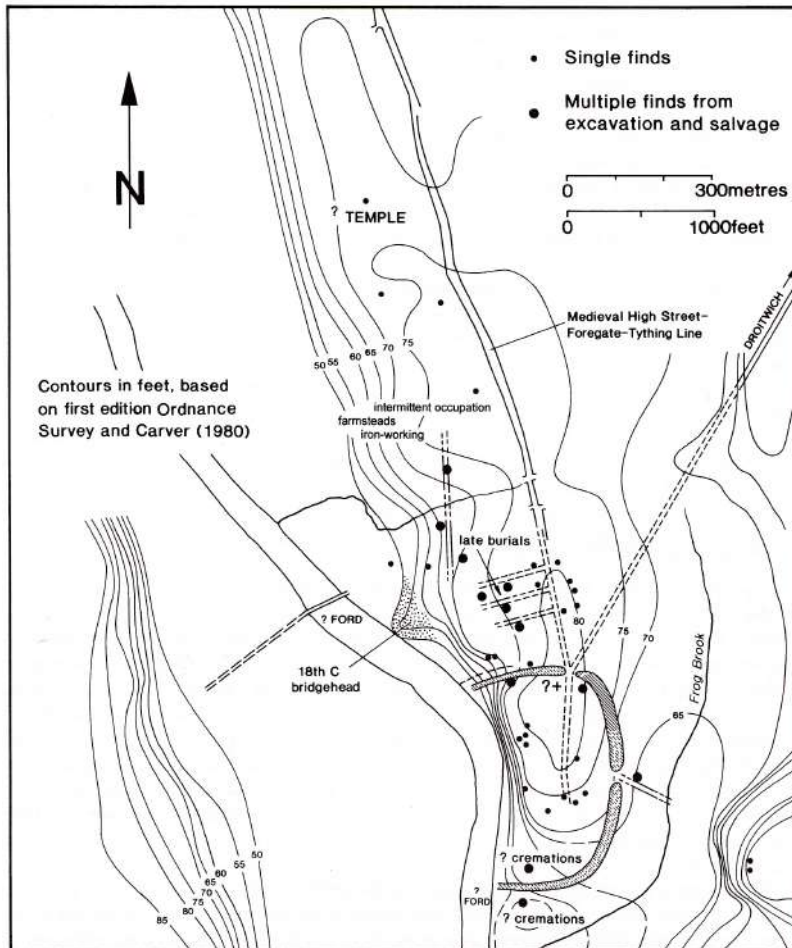


Fig. 11.3 : Worcester à l'époque romaine. La croix précédée d'un oint d'interrogation désigne l'emplacement de l'église Sainte-Hélène pour laquelle une origine bretonne est supposée (Baker et Holt 2004 : fig. 6.2).

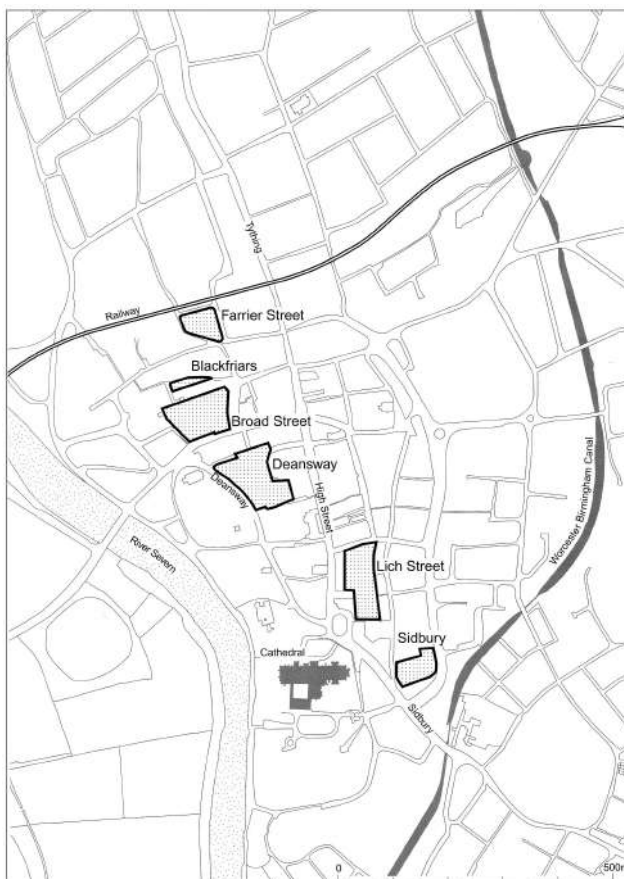


Fig. 11.4 : Worcester : plan des principaux sites fouillés avant 1990 (Dalwood et Edwards 2004 : fig. 6).

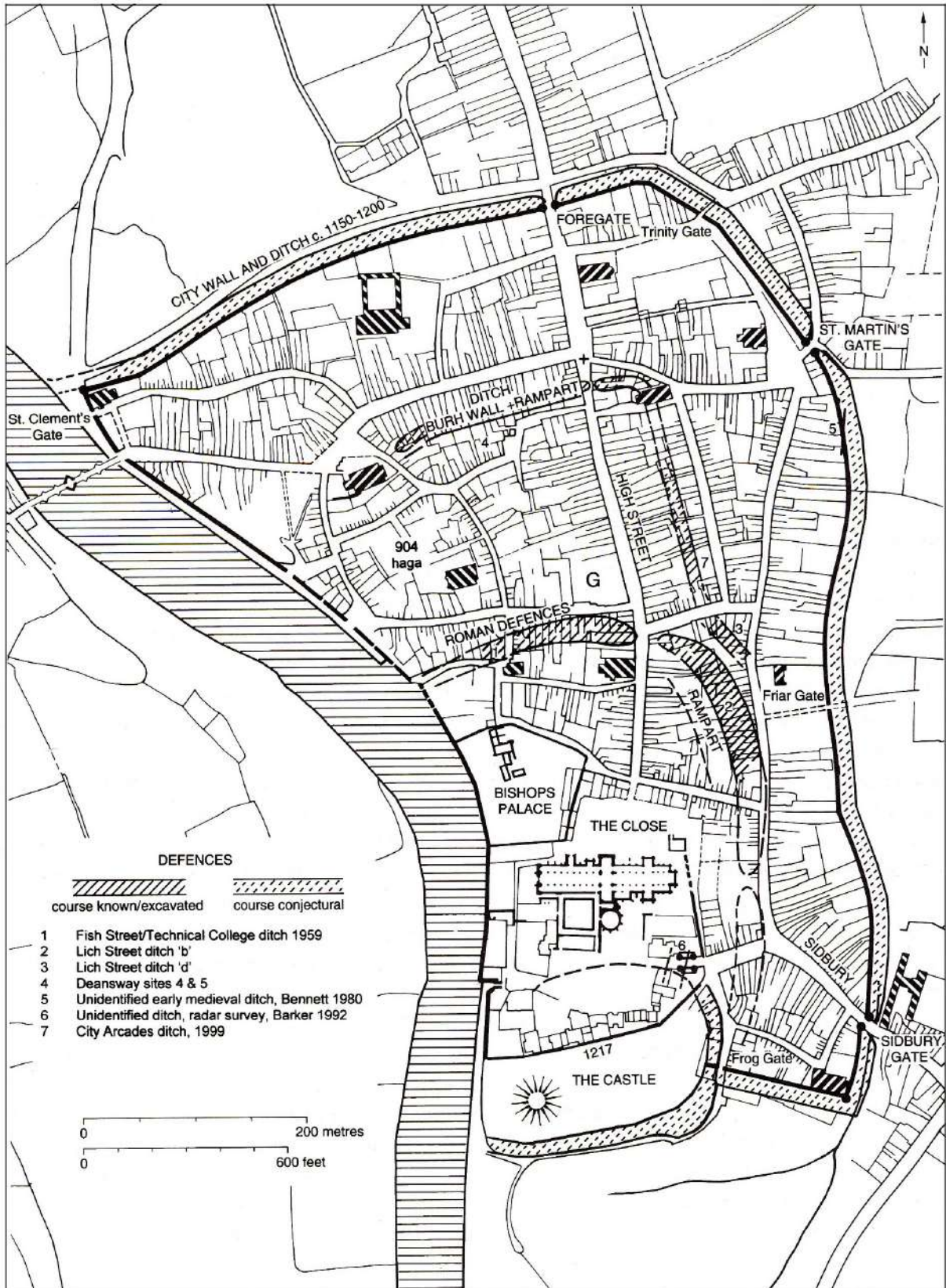


Fig. 11.5 : Worcester : évolution des défenses (Baker et Holt 2004 : fig. 6.17).



Fig. 11.6 : Worcester : évolution du terrain qualifié de *haga* en 904. A : les dimensions du bail de 904 ; B : la zone de Birdport, montrant l'emprise des fouilles de Deansway (1 à 4) ; C : reconstitution des limites du terrain ; D : hypothèse de morcellement initial du terrain (Baker et Holt 2004 : fig. 6.13).

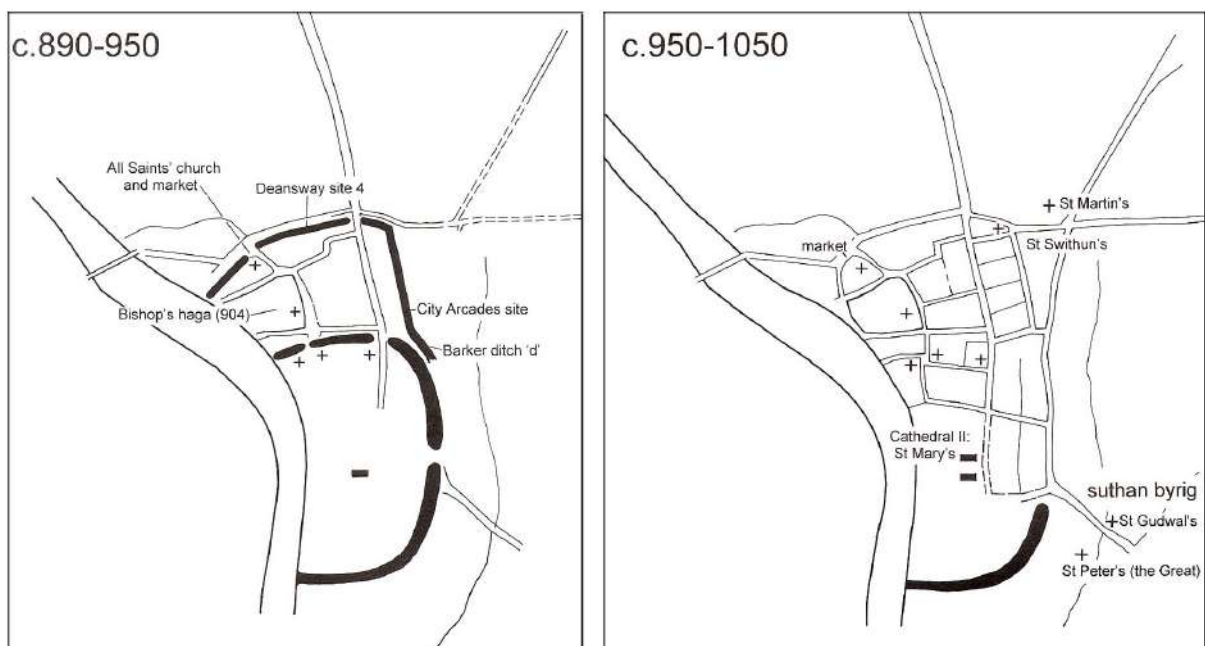


Fig. 11.7 : Worcester : évolution du *burh* de la fin du 9^e s. au milieu du 11^e s. (Baker et Holt 2004 : fig. 14.1).

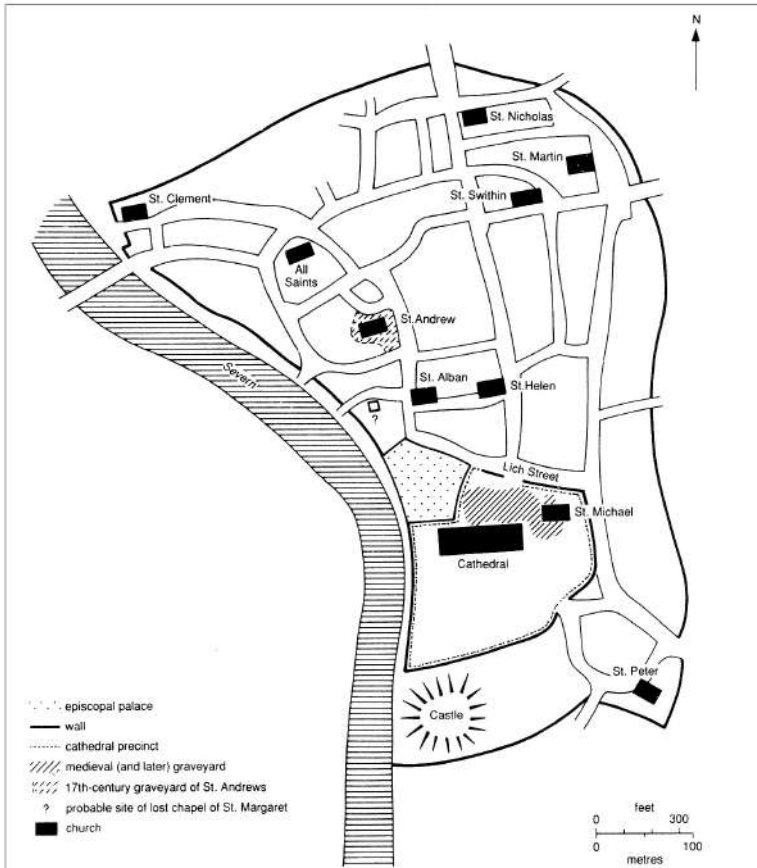


Fig. 11.8 : Worcester : topographie religieuse et funéraire au Moyen Âge (Barrow 1992 : fig. 7.4).

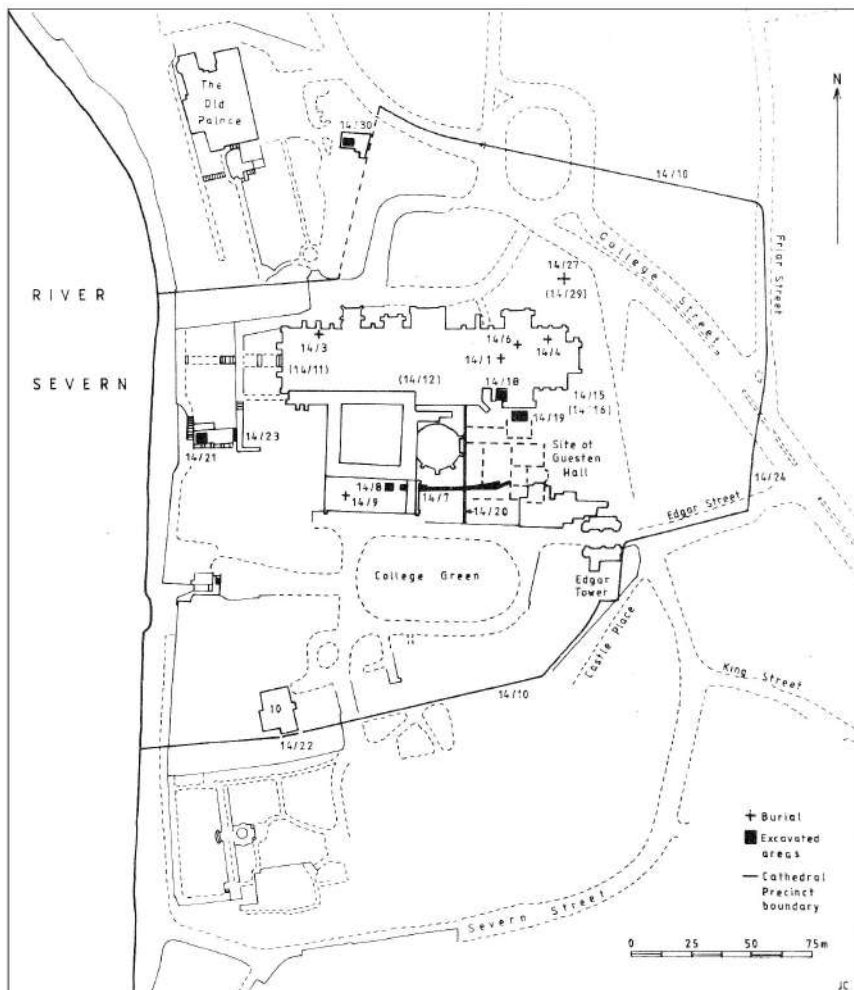


Fig. 11.9 : Worcester, enclos épiscopal : localisation des zones fouillées (Carver 1980 : fig. 30).

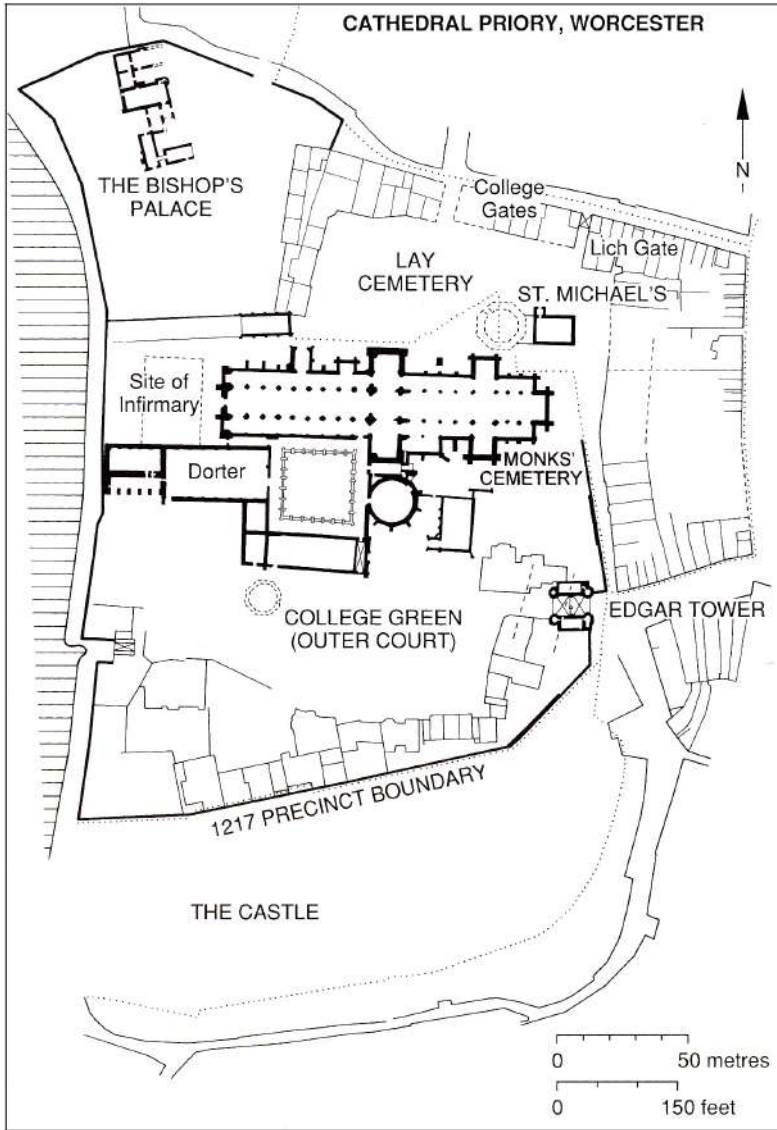


Fig. 11.10 : Worcester : enclos épiscopal (Holt 2004 : fig. 12.1).

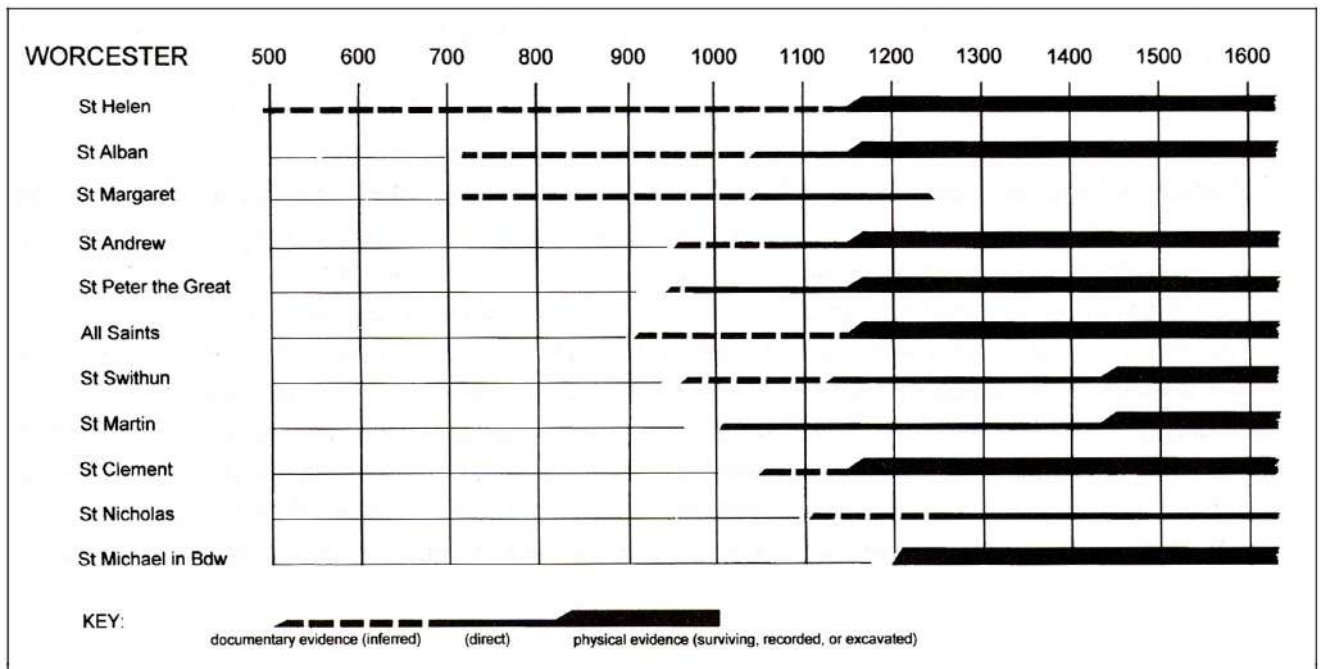


Fig. 11.11 : Worcester : chronologie des fondations des églises paroissiales (Baker et Holt 2004 : fig. 8.1).

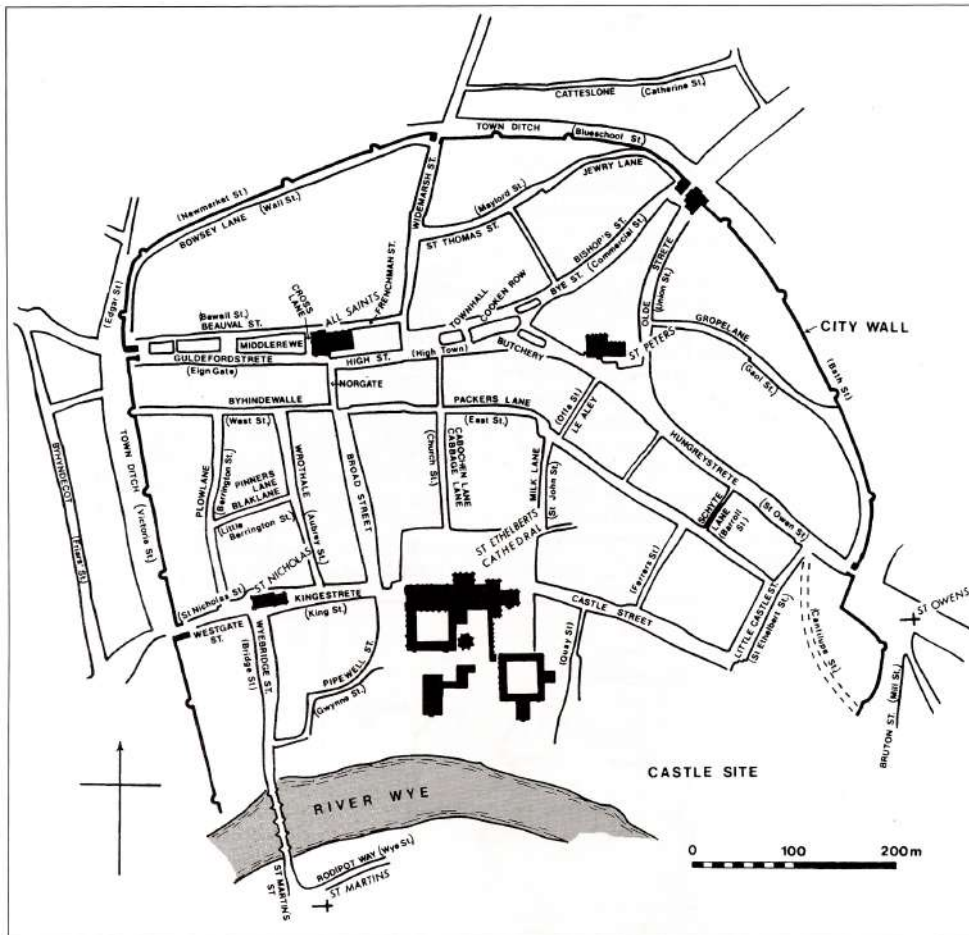


Fig. 12.1 : Hereford : plan indiquant les noms de rues anciens (noms actuels entre parenthèses) (Thomas et Boucher 2002 : fig. 1.2).

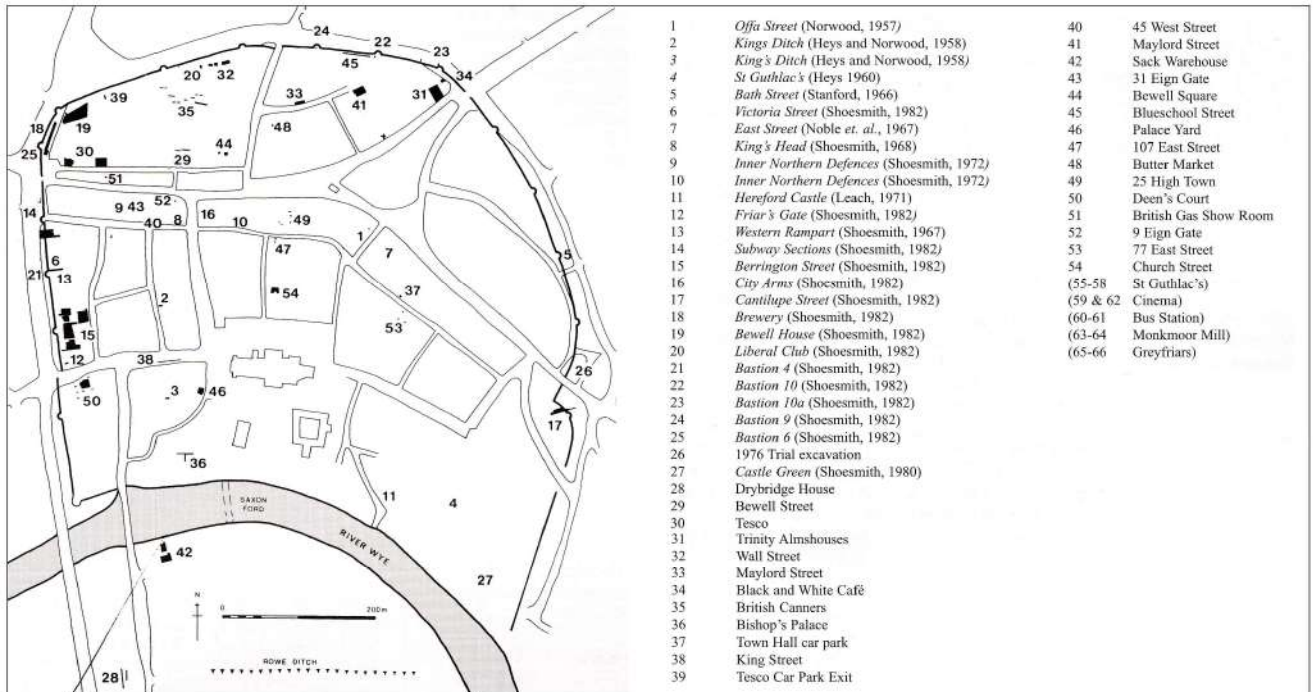


Fig. 12.2 : Hereford : localisation des sites fouillés au centre de la ville. Les sites entre parenthèses sont hors de la carte (Thomas et Boucher 2002 : fig. 1.5).

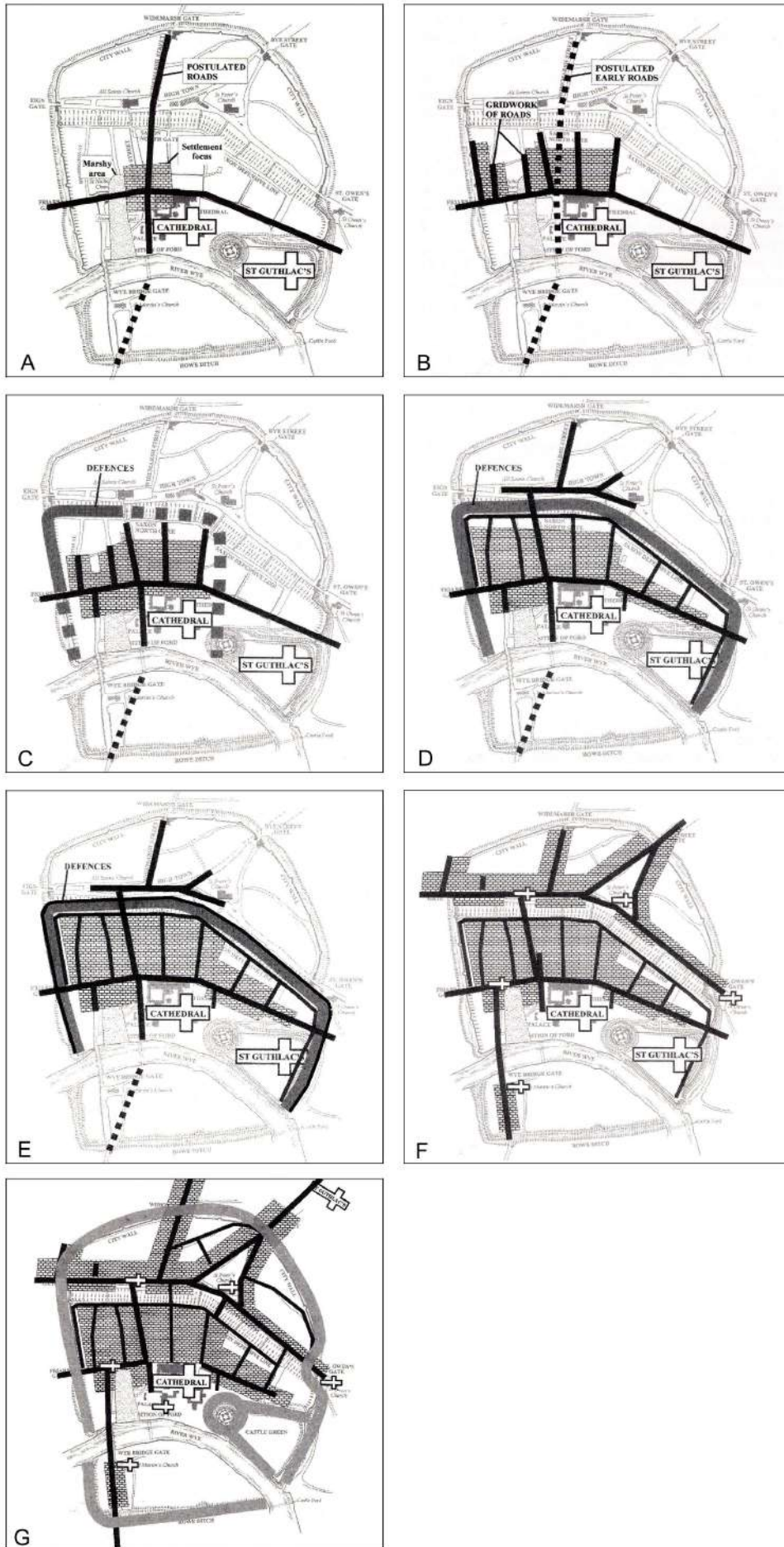


Fig. 12.3 : Hereford : restitution du développement urbain du haut Moyen Âge jusqu'à la fin du 12^e s. A : début du 8^e s. ; B : fin du 8^e s. ; C : milieu du 9^e s. ; D : fin du 9^e s. ; E : début du 10^e s. ; F : fin 10^e-fin 12^e s. ; G : fin 12^e s. (Thomas et Boucher 2002 : fig. 1.6, 1.7, 1.8, 1.9, 1.10, 1.11 et 1.12).

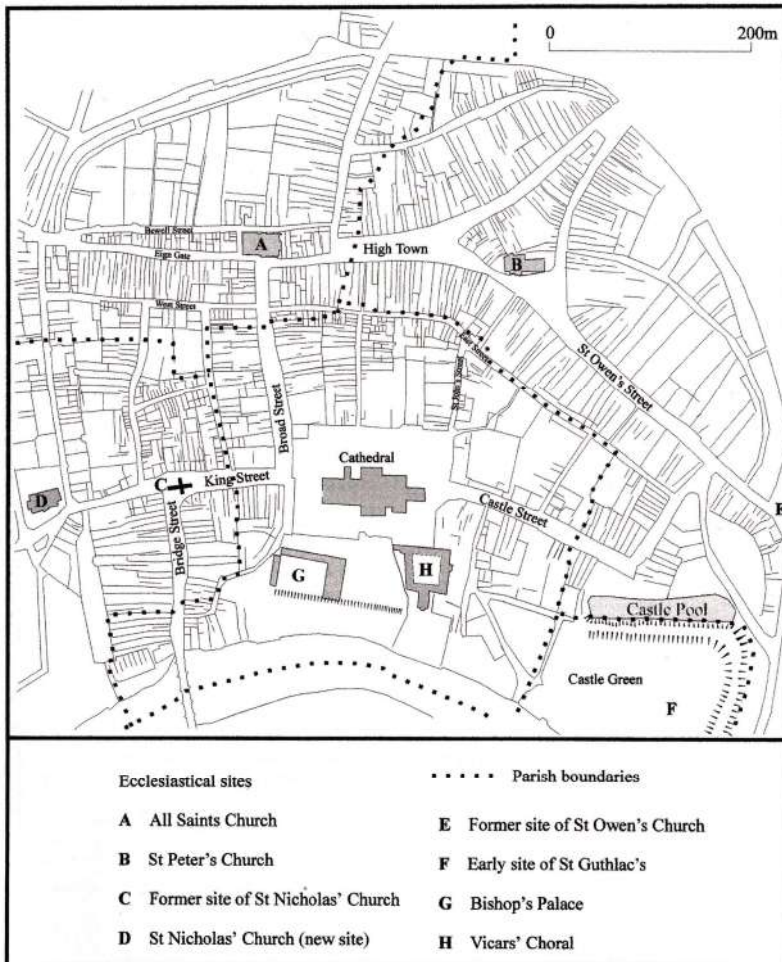


Fig. 12.4 : Hereford au Moyen Âge central : topographie religieuse et parcellaire (fondé sur le cadastre de 1886) (Thomas et Boucher 2002 : fig. 9.4).

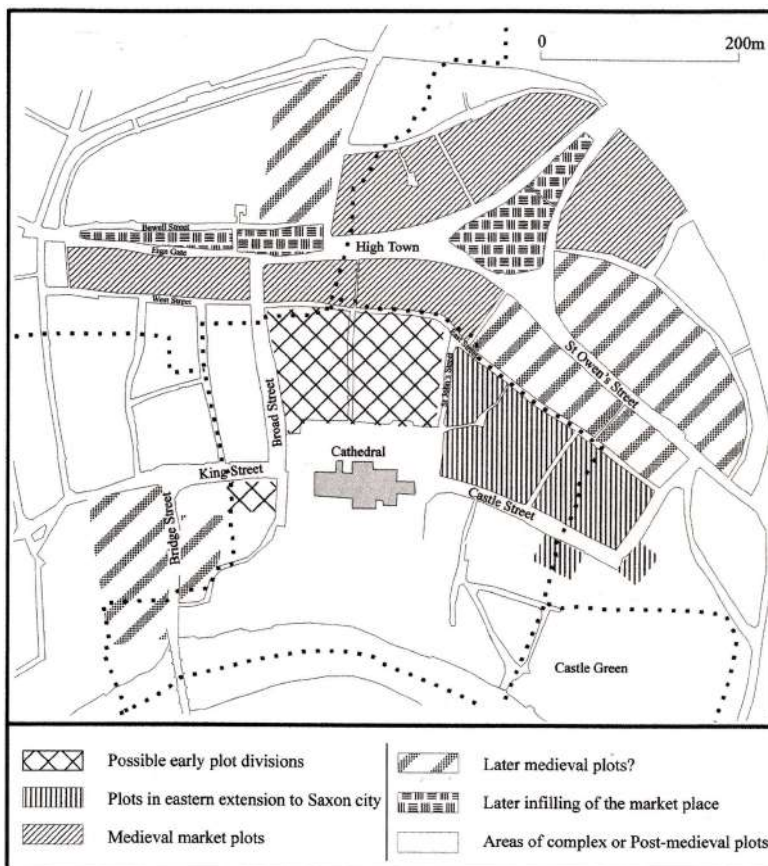


Fig. 12.5 : Hereford : hypothèse de développement urbain (Thomas et Boucher 2002 : fig. 9.5).

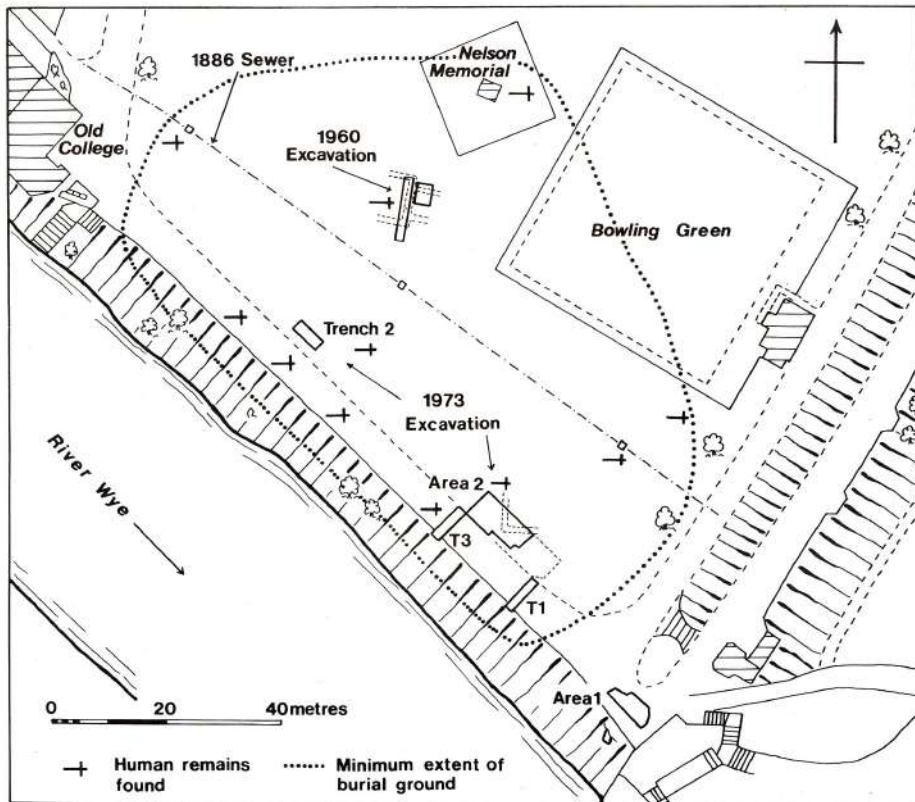


Fig. 12.6 : Hereford, Castel Green : emprise des zones fouillées en 1960 et en 1973 (Shoemith 1980 : fig. 4).

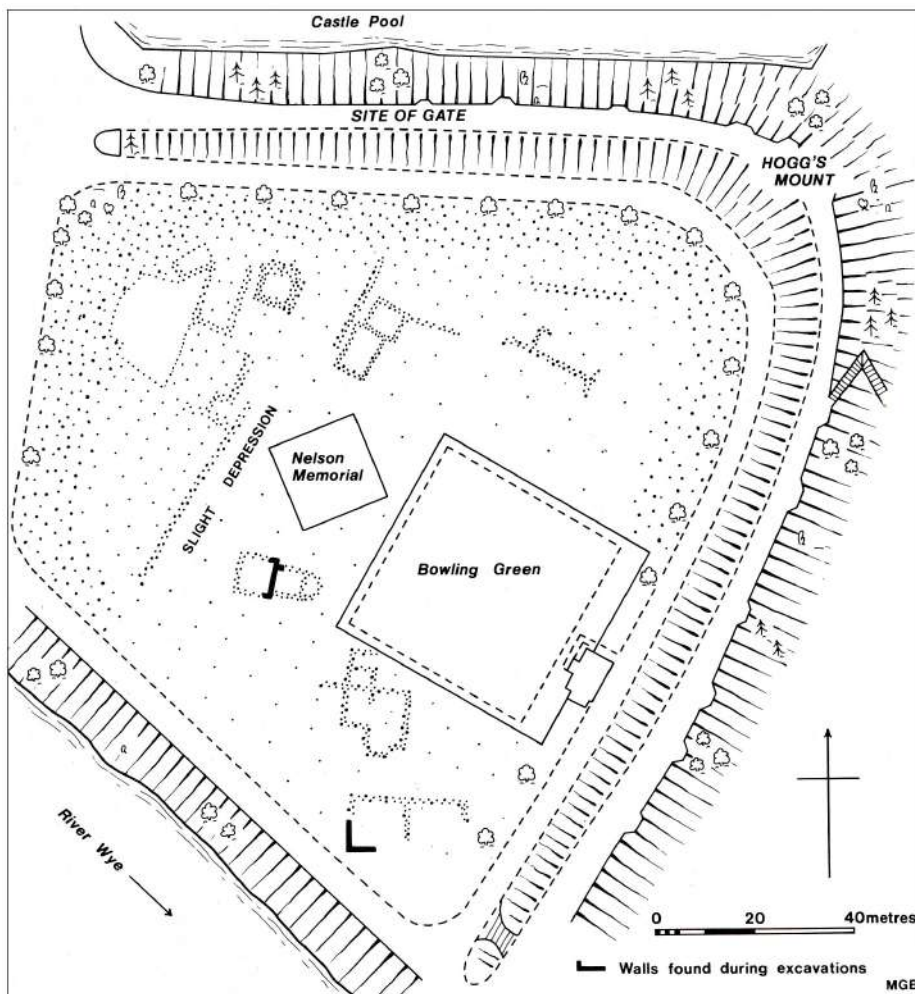


Fig. 12.7 : Hereford, Castel Green : plan des bâtiments révélés par les micro-reliefs (Shoemith 1980 : fig. 2).

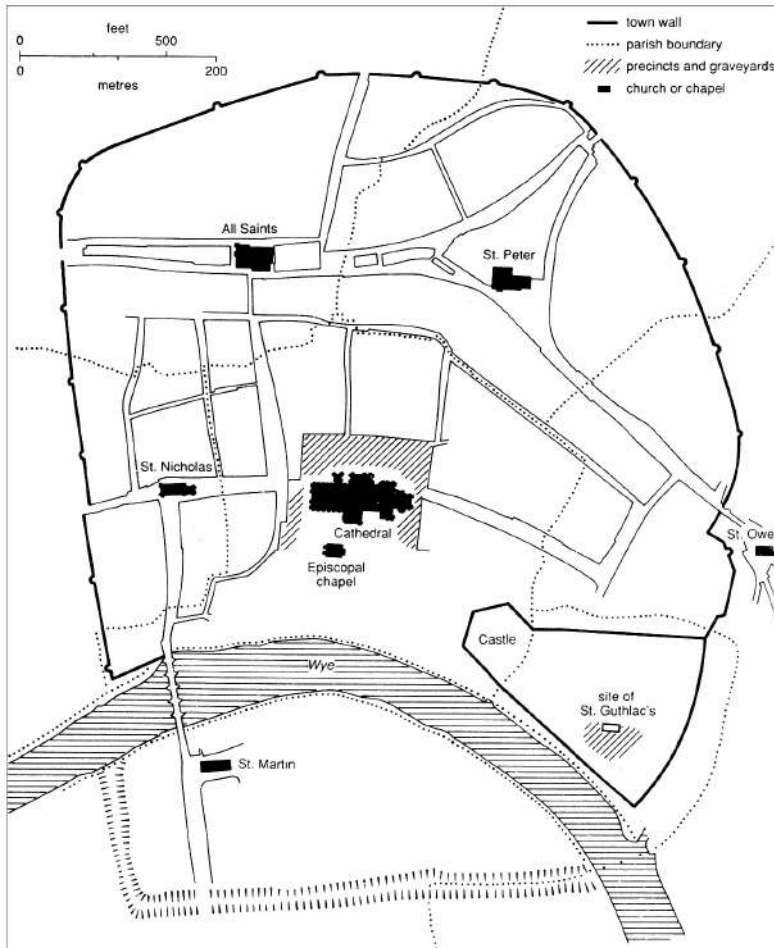


Fig. 12.8 : Hereford : les églises et les cimetières paroissiaux (Barrow 1992 : fig. 7.1).

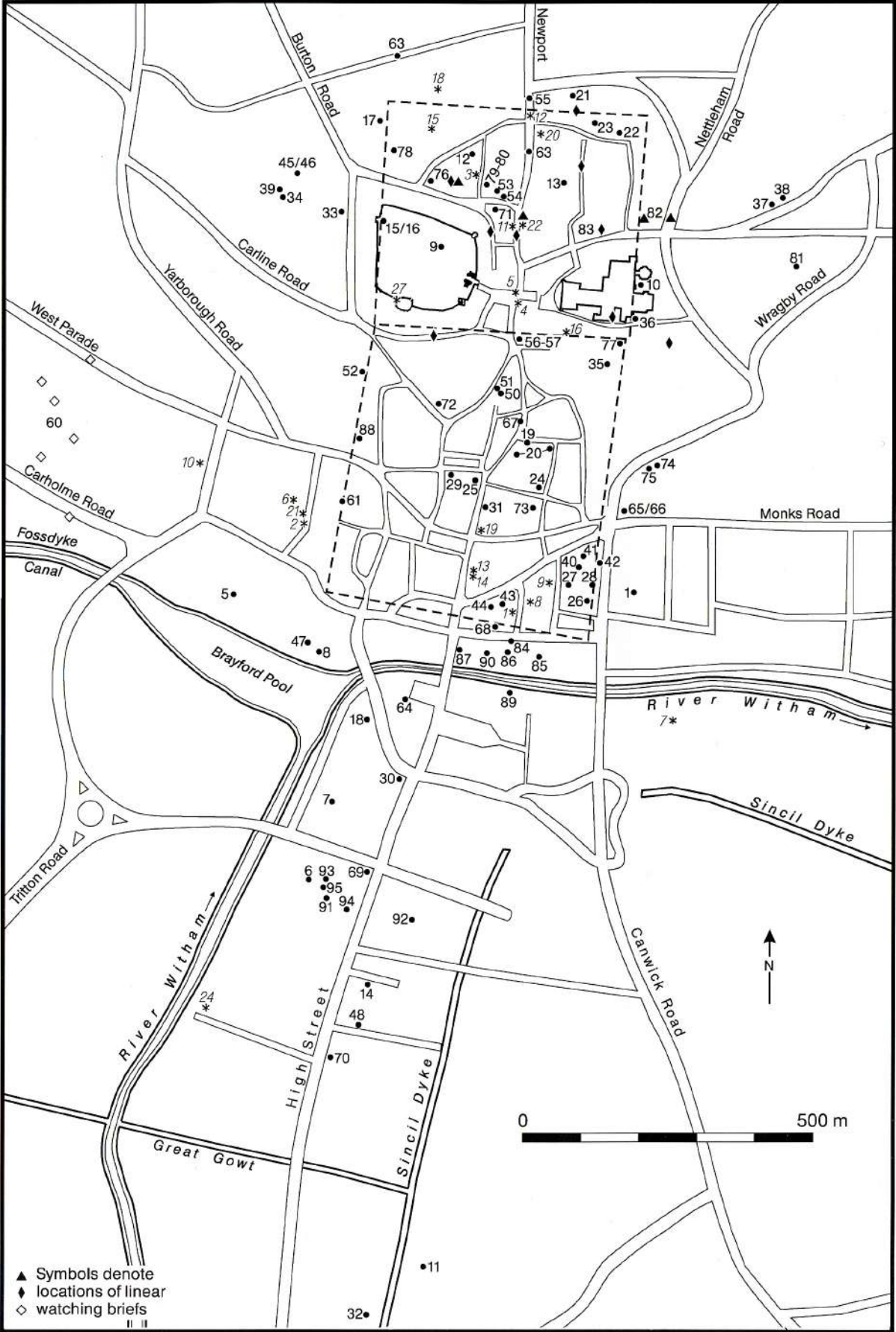


Fig. 13.1 : Lincoln : localisation des principales opérations archéologiques conduites depuis 1945 (Jones et al. 2003 : fig. 1.1).

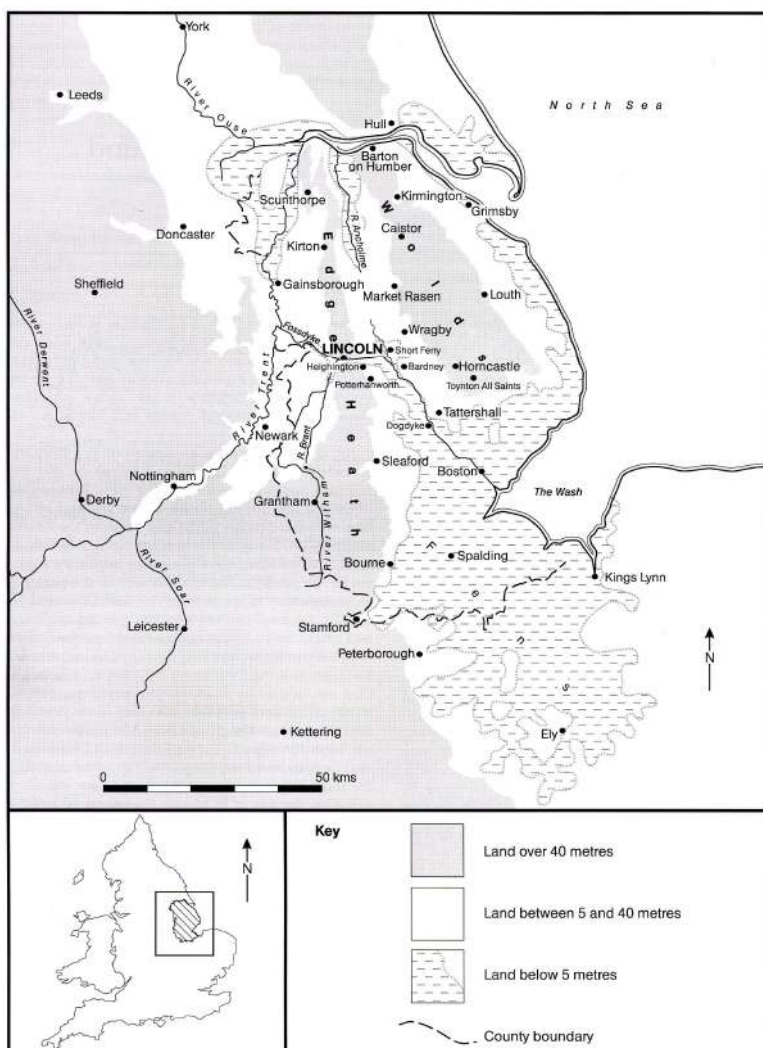


Fig. 13.2 : Lincoln : carte de localisation (Jones *et al.* 2003 : fig. 4.1).

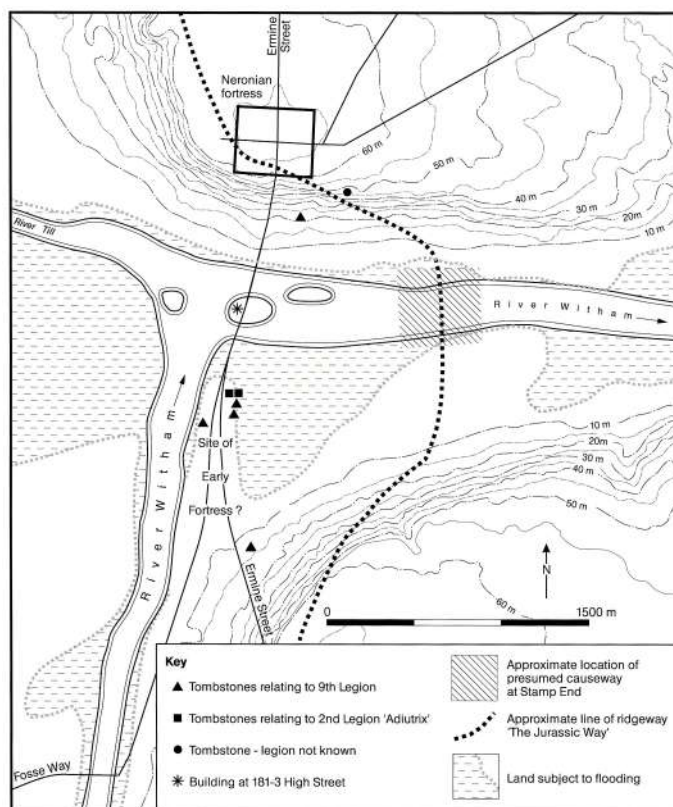


Fig. 13.3 : Lincoln : environnement du camp de légionnaires du 1^{er} s. (Jones *et al.* 2003 : fig. 6.2).

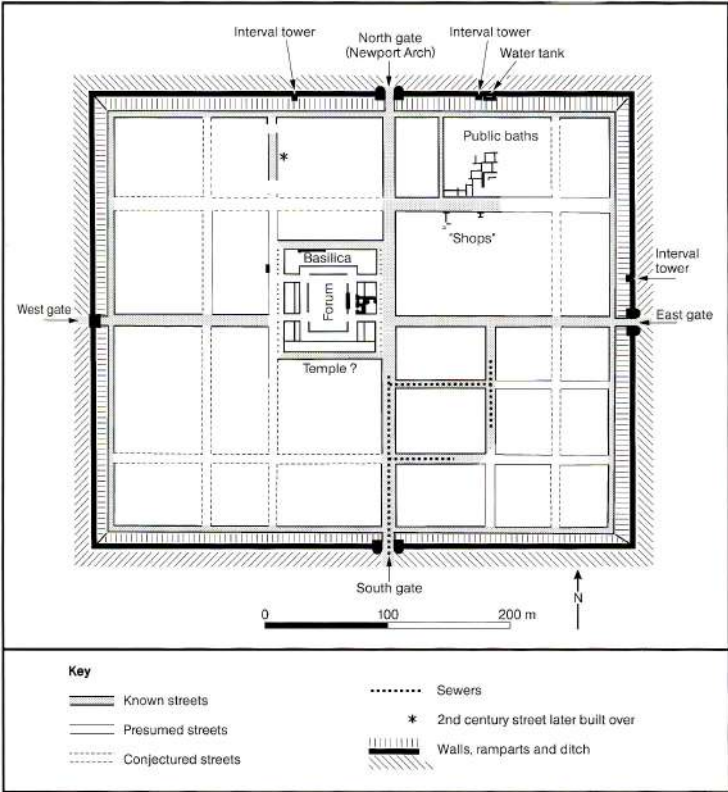


Fig. 13.4 : Lincoln : plan de la ville haute (Jones et al. 2003 : fig. 7.3).

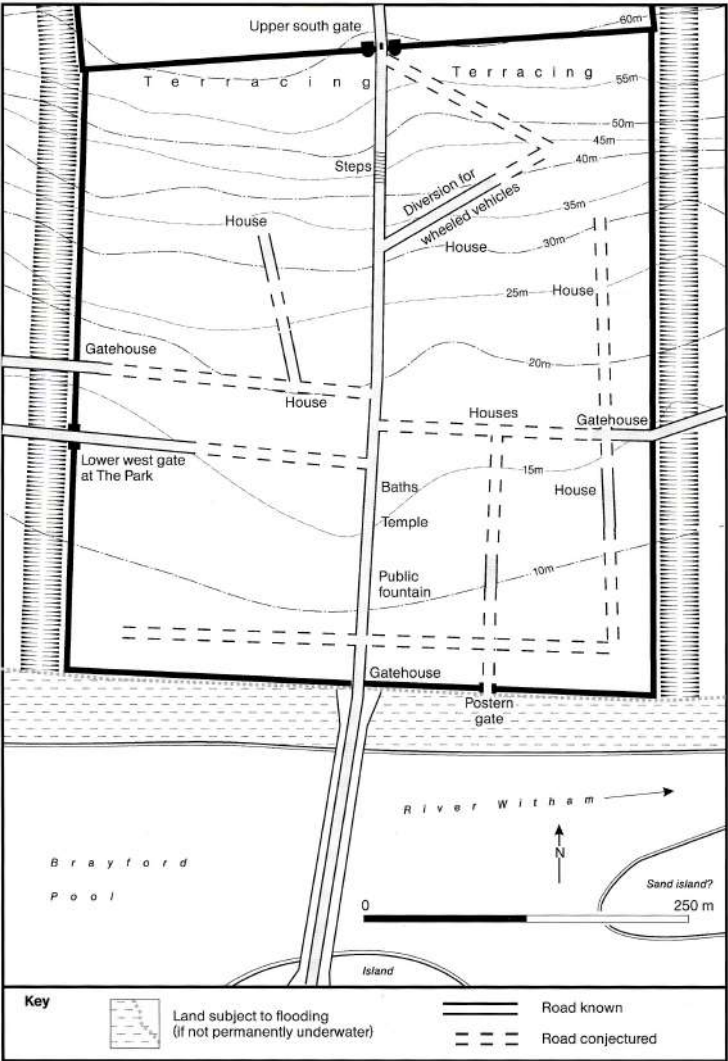


Fig. 13.5 : Lincoln : plan de la ville basse (Jones et al. 2003 : fig. 7.31).

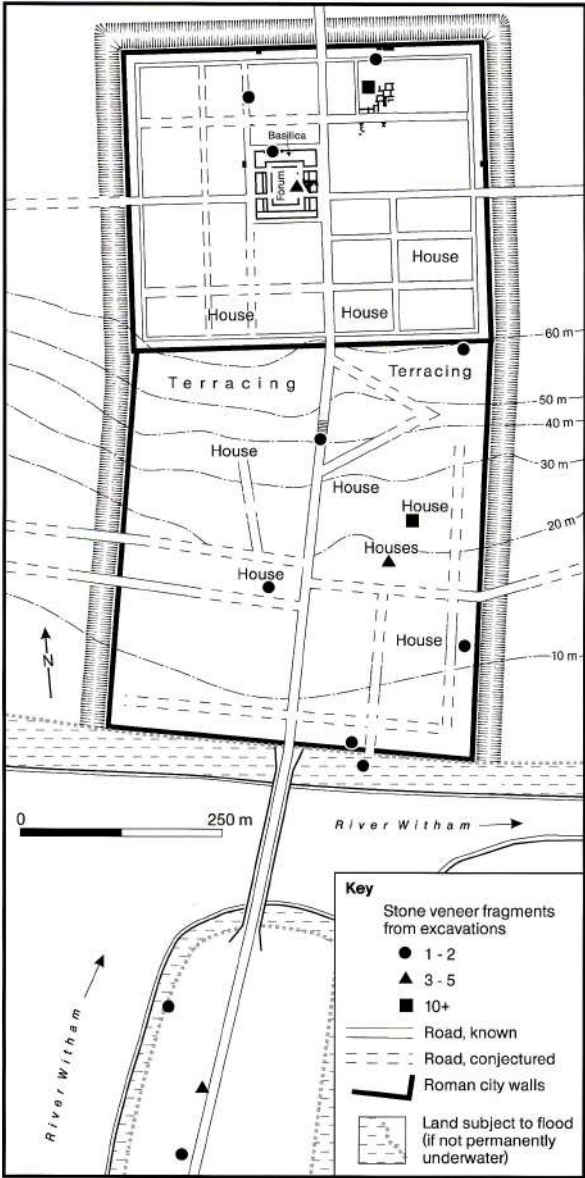


Fig. 13.6 : Lincoln aux 4^e-5^e s. (Jones et al. 2003 : fig. 7.71).

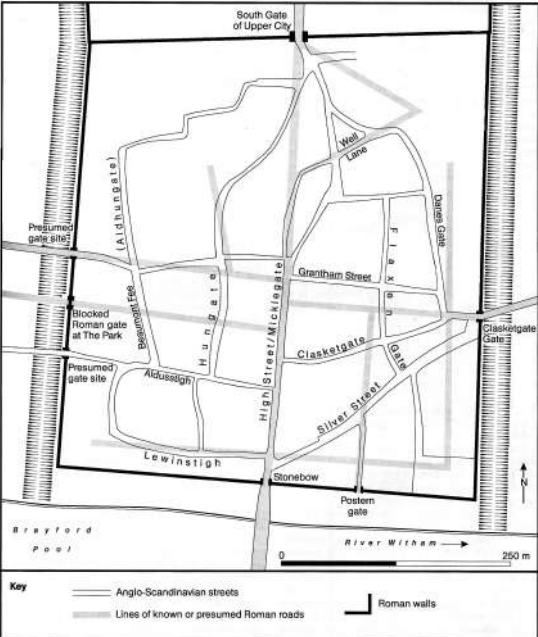


Fig. 13.7 : Lincoln, ville basse : restitution du réseau viare du haut Moyen Âge en relation avec la trame antique (Jones et al. 2003 : fig. 9.34).

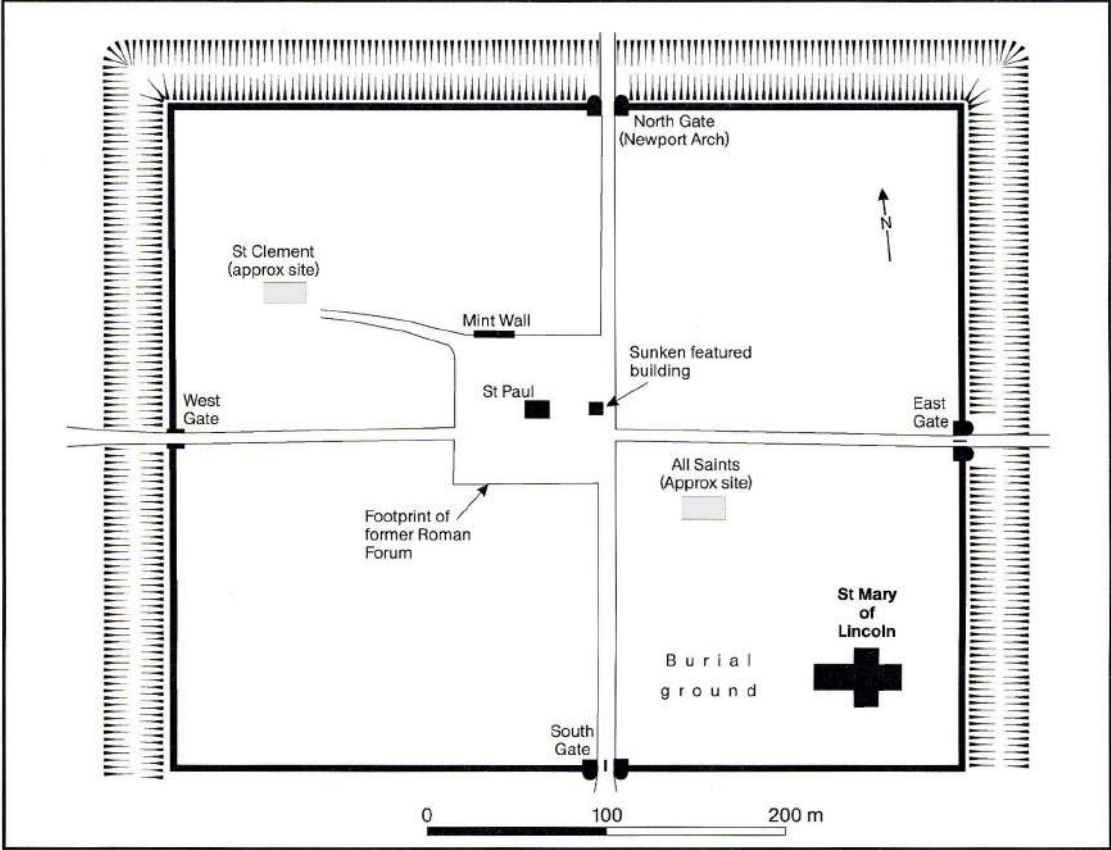


Fig. 13.8 : Lincoln, ville haute : restitution de la topographie à la fin du haut Moyen Âge (Jones *et al.* 2003 : fig. 9.41).

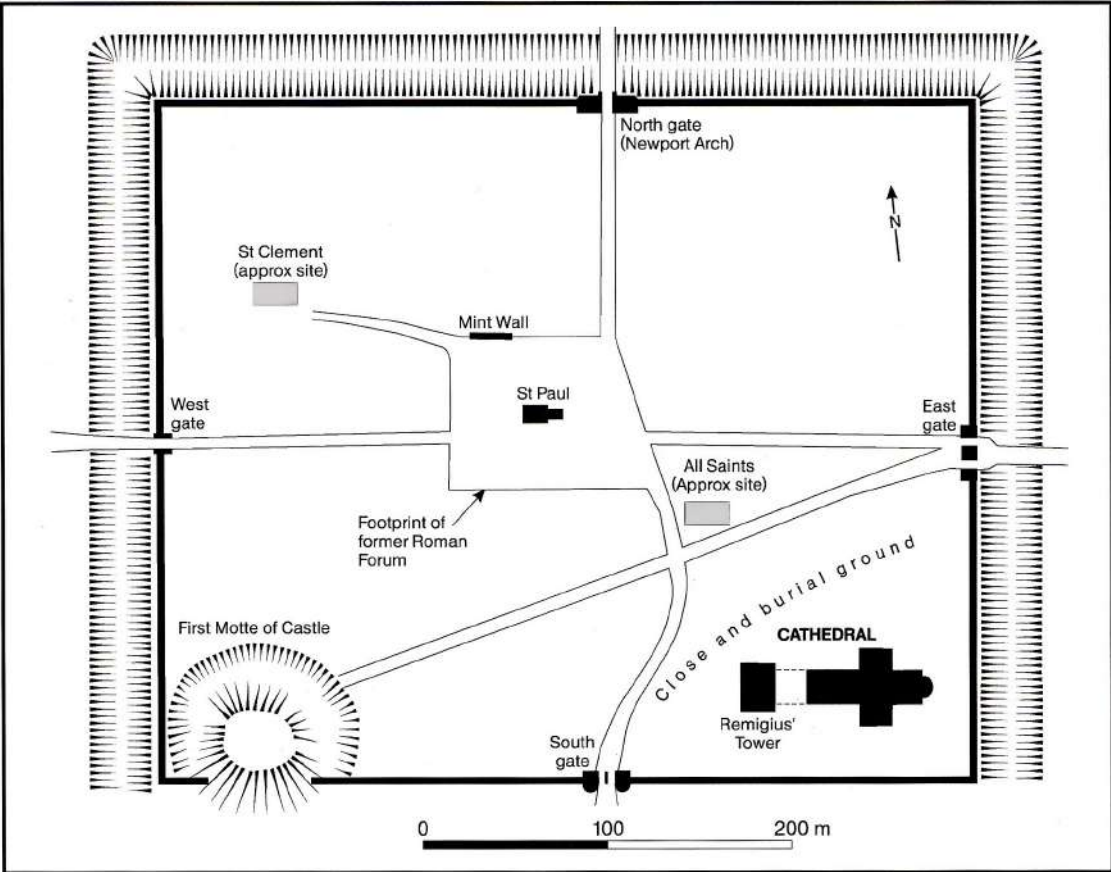


Fig. 13.9 : Lincoln, ville haute : restitution de la topographie vers 1090 (Jones *et al.* 2003 : fig. 9.8).

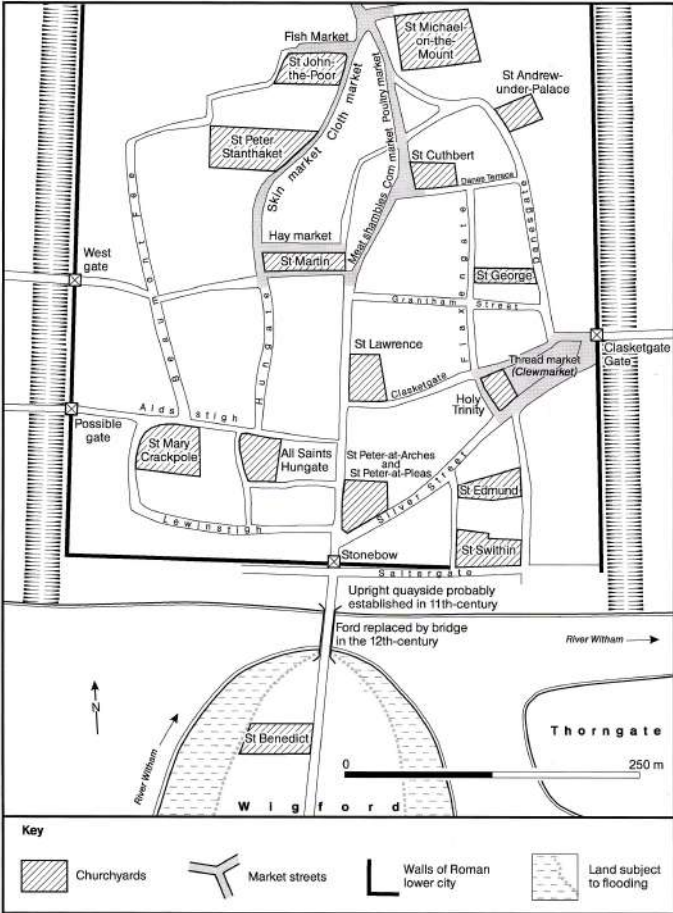


Fig. 13.10 : Lincoln, ville basse : restitution de la topographie de la première moitié du 11^e s. (Jones *et al.* 2003 : fig. 9.46).

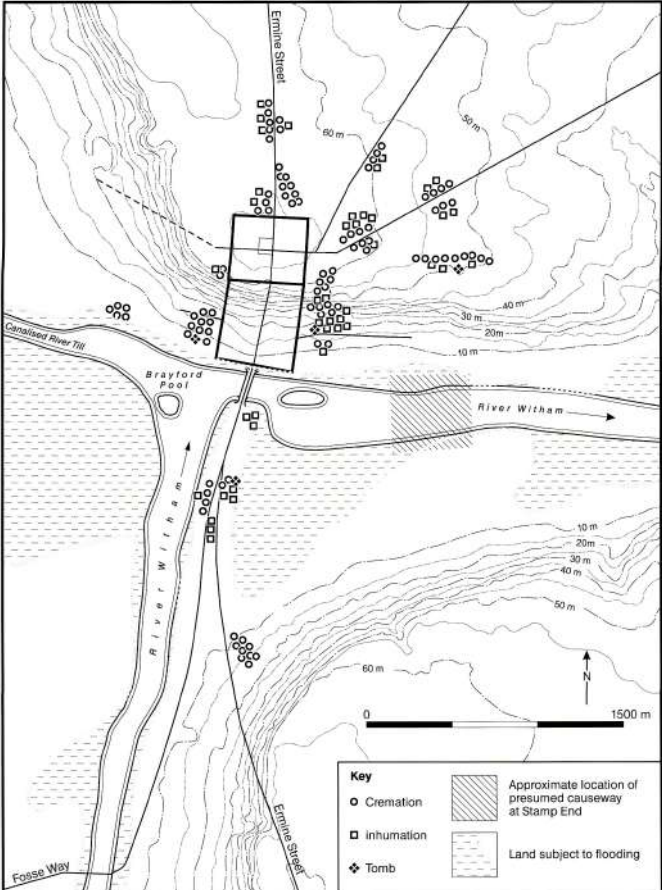


Fig. 13.11 : Lincoln : topographie funéraire antique (Jones *et al.* 2003 : fig. 7.59).

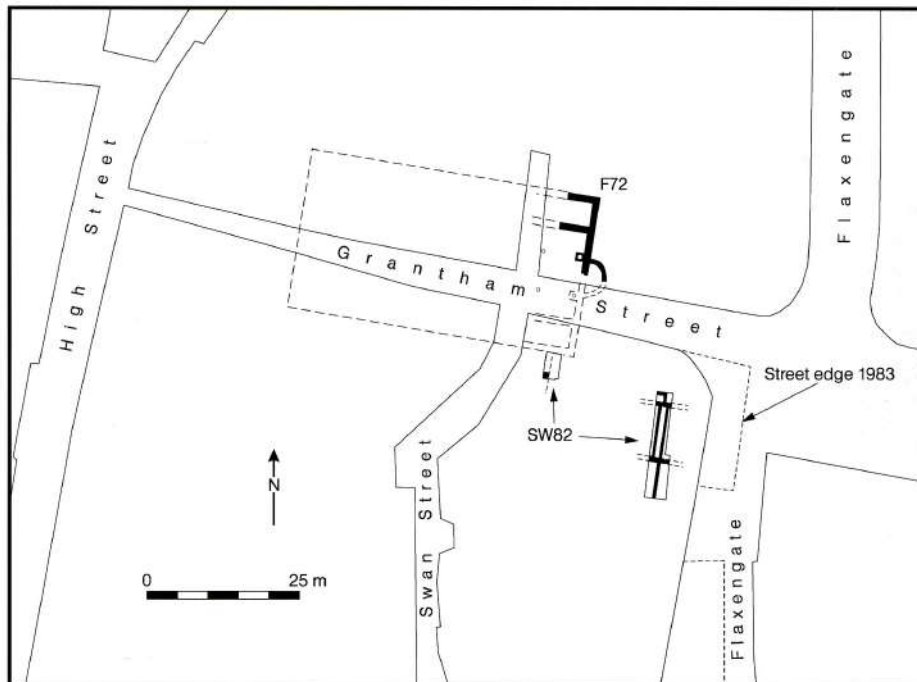


Fig. 13.12 : Lincoln, ville basse, Flaxengate : plan des vestiges antiques et restitution d'un grand édifice basilical (église ?) (Jones *et al.* 2003 : fig. 7.34).

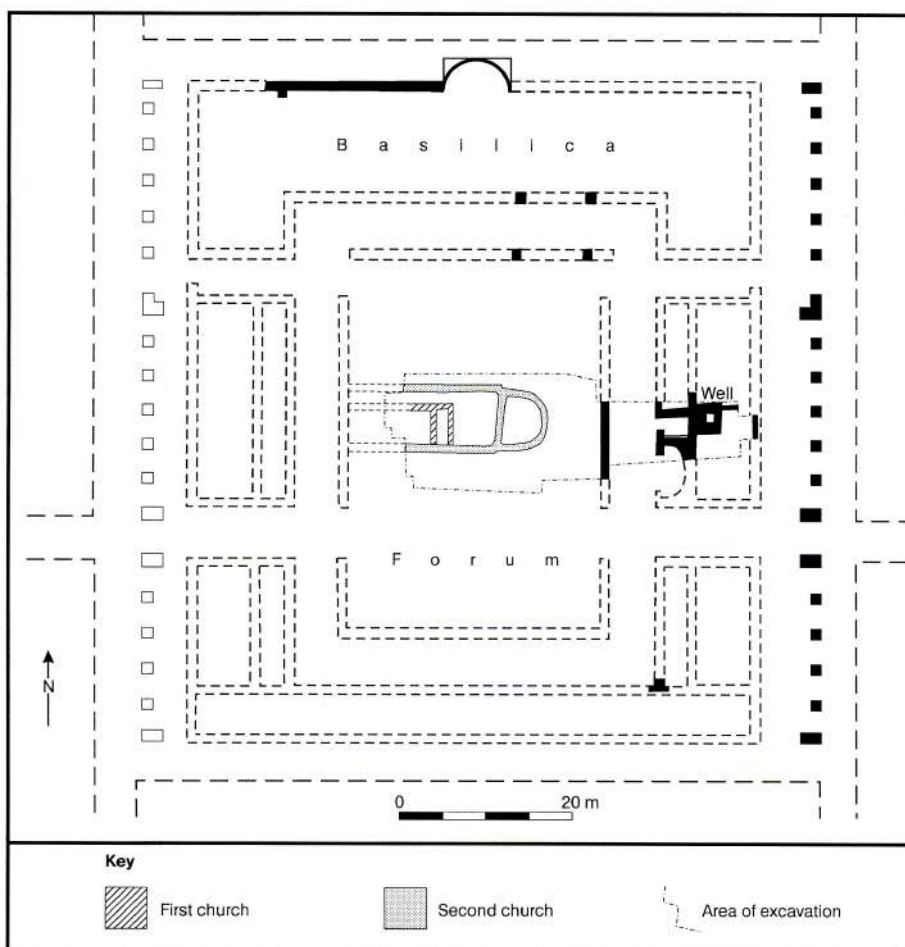


Fig. 13.13 : Lincoln, ville haute, St Paul-in-the-Bail : plan du *forum* et des églises implantées au centre (Ottaway 1992 : fig. 7.70).

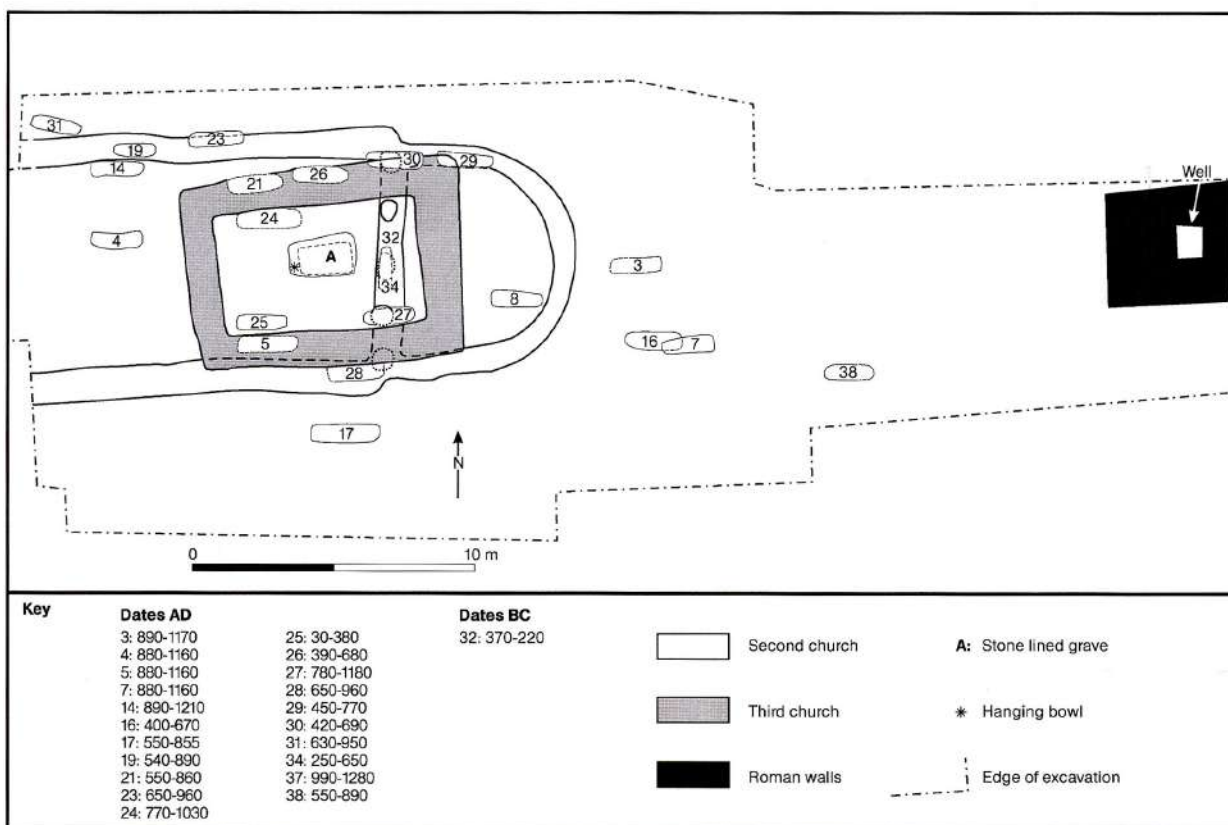


Fig. 13.14 : Lincoln, ville haute, St Paul-in-the-Bail : plan des églises 2 et 3 et localisation des sépultures soumises à une datation par radiocarbonate (Ottaway 1992 : fig. 8.8).

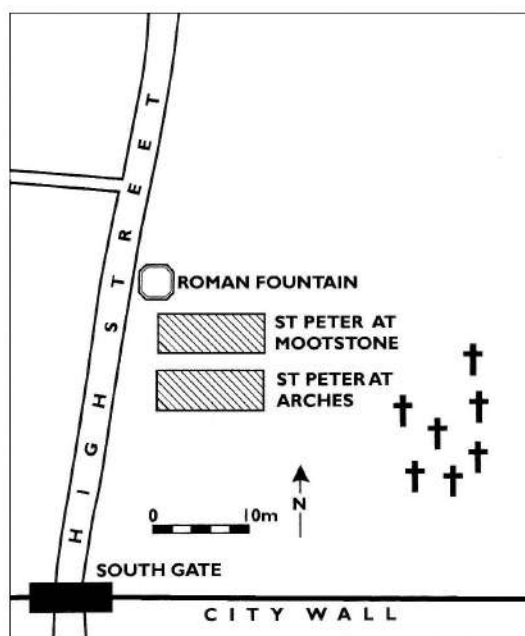


Fig. 13.15 : Lincoln, ville basse : restitution d'un groupe d'églises du haut Moyen Âge (Jones 2004 : fig. 8).

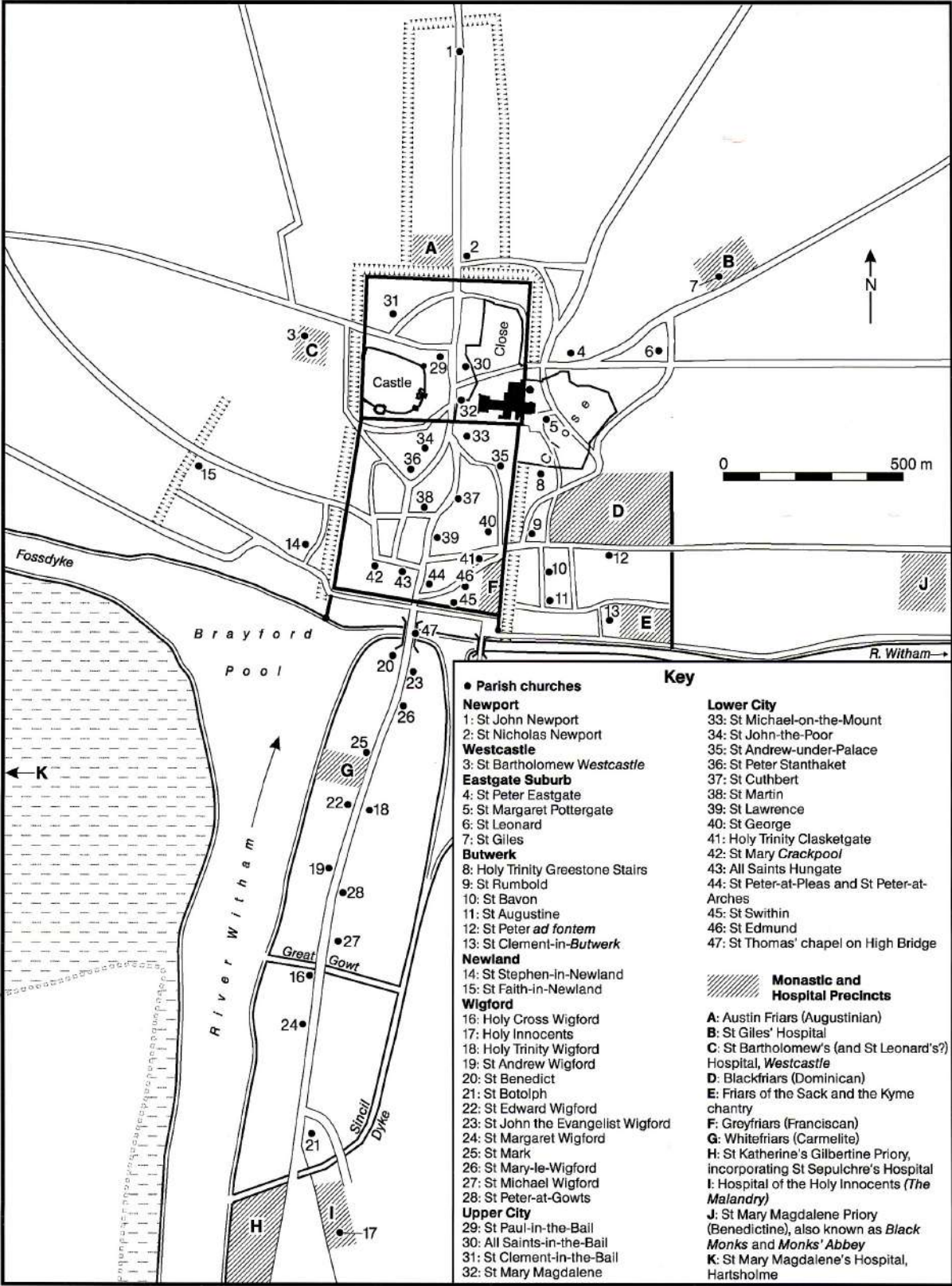


Fig. 13.16 : Lincoln : topographie religieuse au Moyen Âge central (Jones et al. 2003 : fig. 9.72).

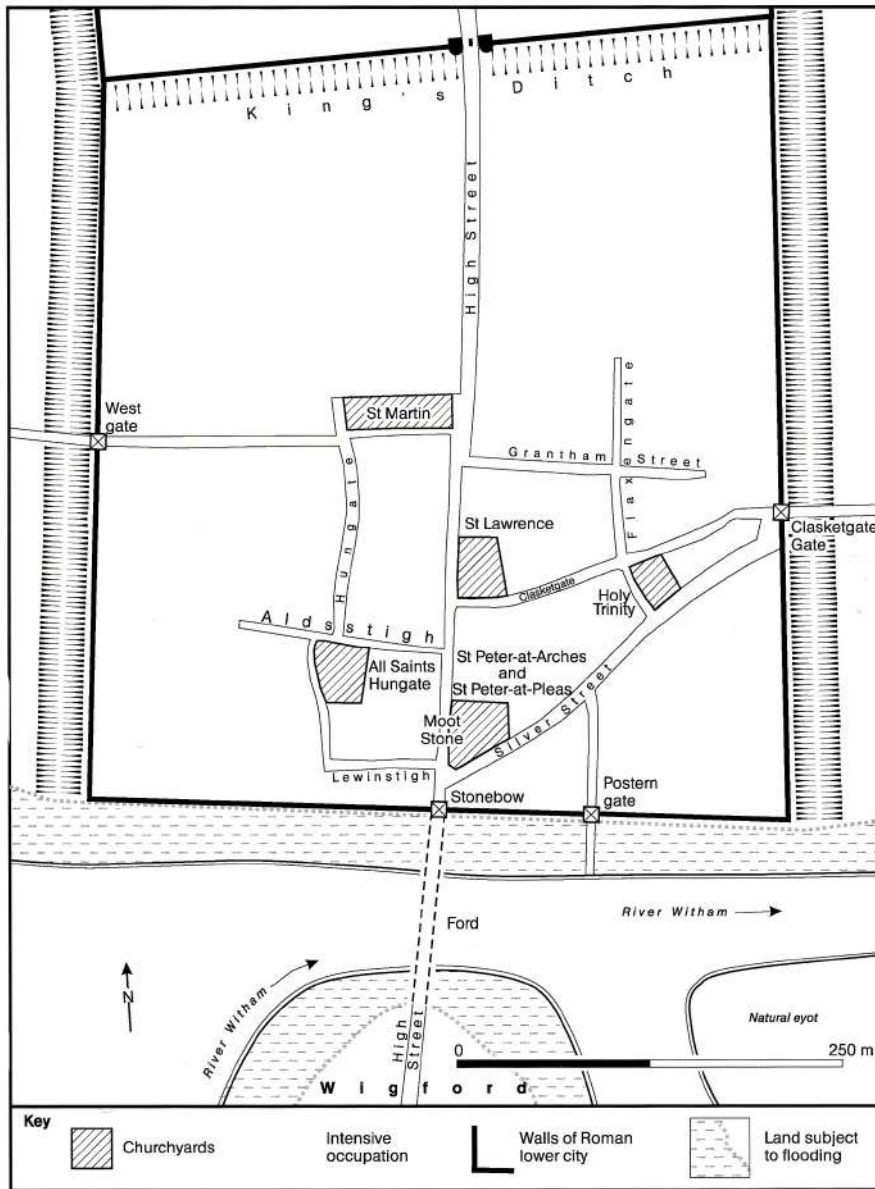


Fig. 13.17 : Lincoln, ville basse : topographie religieuse et funéraire au 10^e s. (Jones *et al.* 2003 : fig. 9.45).

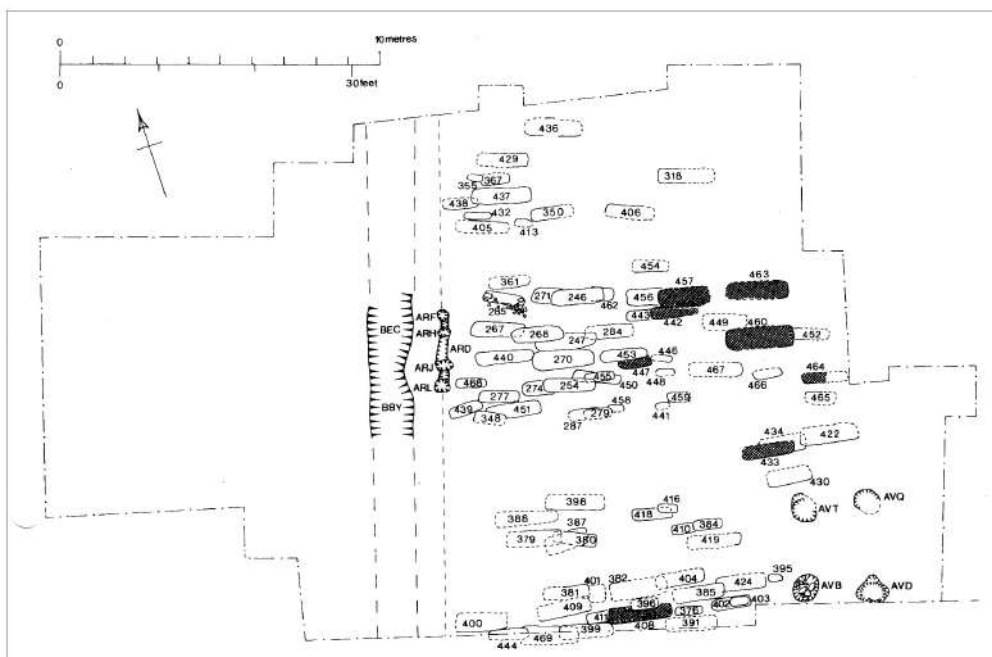
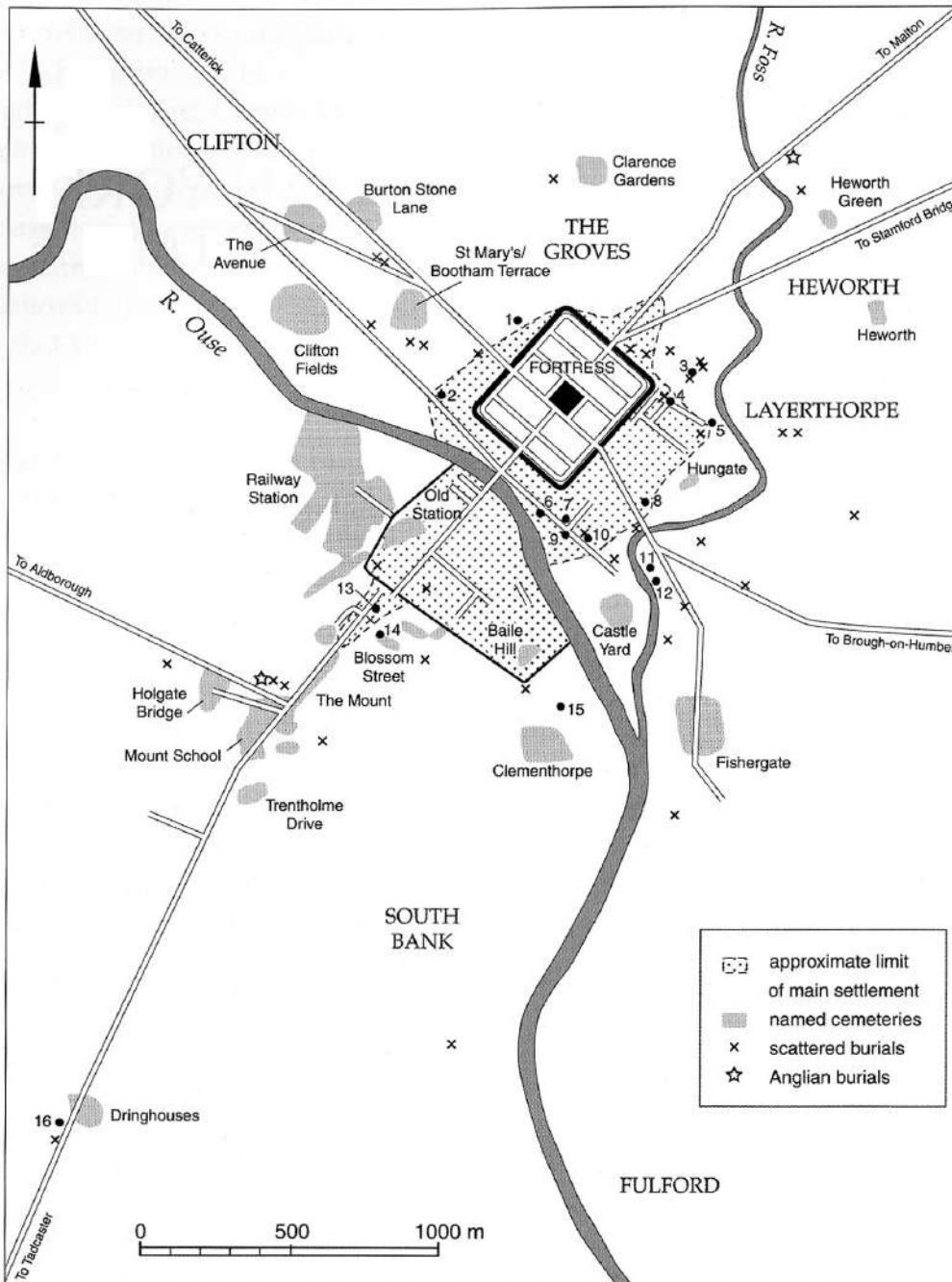


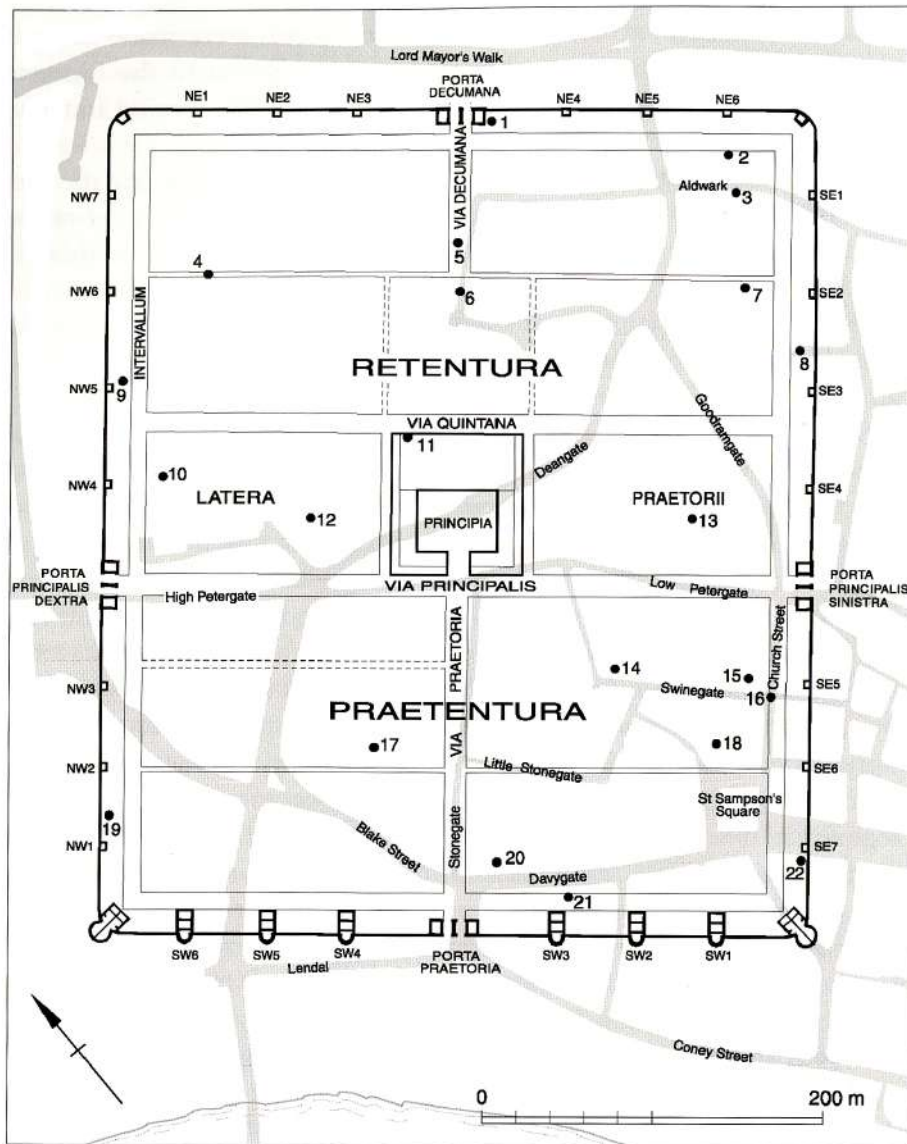
Fig. 13.18 : Lincoln, Saint-Marc : plan de l'église et du cimetière de la période VIII (Gilmour *et al.* 1986 : fig. 14).



Key to sites outside the fortress and the principal civilian settlement (*colonia*) south-west of the Ouse:

- | | | |
|---|---|--|
| 1 31-7 Gillygate: timber building | and street | 11 38 Piccadilly: Roman river bank |
| 2 St Mary's Abbey: street and buildings | 7 Spurriergate/High Ousegate: street and buildings including baths | 12 50 Piccadilly: Roman river bank |
| 3 County Hospital, Foss Bank: ditches and burials | 8 Garden Place: structure and river inlet? | 13 14-20 Blossom Street: road, street and buildings |
| 4 21-33 Aldwark: burial, streets and building with mosaic | 9 Former Barclay's Bank, Nessgate: buildings and dedications to Hercules and the imperial numen | 14 35-41 Blossom Street: ditches and cemetery |
| 5 Borthwick Institute and Peasholme Green: kiln waste dumps | 10 16- 22 Coppergate: buildings and burials/St Mary Castlegate: mosaic | 15 Clementhorpe: house |
| 6 39-41 Coney Street: grain warehouse | | 16 The 'Starting Gate', Dringhouses: road and building |

Fig. 14.1 : York et ses environs à l'époque romaine (Ottaway 2004 : fig. 1).



13 Plan of the Roman fortress at York showing its principal zones and the location of archaeological sites, other than those on the defences, referred to in the text. (The designation of the interval towers follows that of the Royal Commission on Historical Monuments for England)

- | | | |
|--|---|--|
| 1 Gray's Court: intervallum building | 10 Purey Cust Nursing Home: first cohort barracks | 17 9 Blake Street: accommodation block, street and barracks |
| 2 1-5 Aldwark: barracks | 11 Minster Excavations: headquarters building | 18 Roman Bath public house, St Sampson's Square: legionary baths caldarium |
| 3 Bedern (Trench 1): barracks | 12 Minster Excavations: first cohort barracks | 19 The 'Anglian Tower' |
| 4 Minster Library: street and barracks | 13 Hornpot Lane/Low Petergate: buildings | 20 Border's bookshop, Davygate: barracks |
| 5 Treasurer's House: via decumana | 14 Swinegate: legionary baths | 21 Davygate: barracks and defences |
| 6 Chapter House Street: via decumana or entrance to praetorium | 15 Church Street: legionary baths and sewer | 22 16 Parliament Street and Parliament Street sewer trench |
| 7 Bedern (Trench 5): buildings | 16 Church Street: intervallum, street and wall | |
| 8 Bedern (Trench 3-4): buildings and defences | | |
| 9 Dean's Park: Interval Tower NW5 and intervallum building | | |

Fig. 14.2 : York, camp de légionnaires : restitution topographique et localisation des sites fouillés (à l'exception des tronçons de l'enceinte) (Ottaway 2004 : fig. 13).

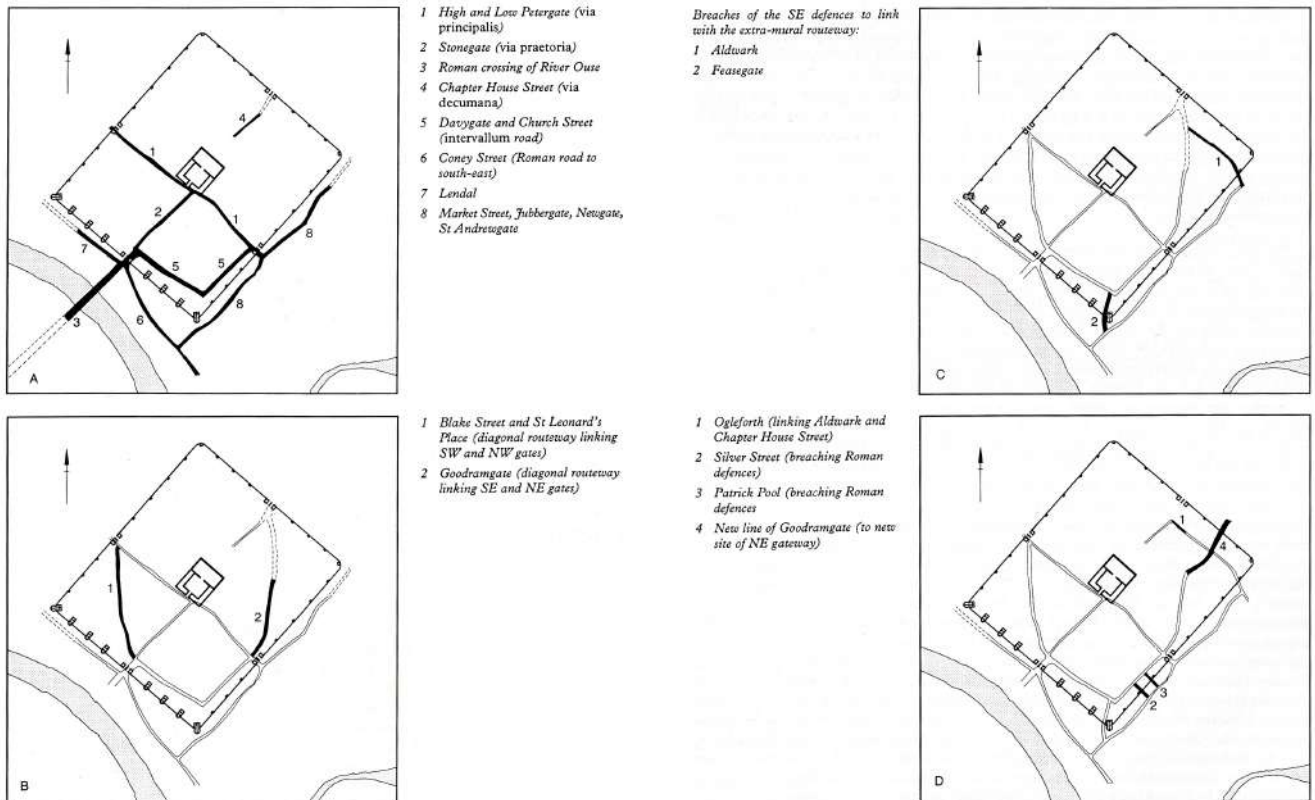


Fig. 14.3 : York, camp de légionnaires : évolution topographique à la période angle (Tweddle et al. 1999 : fig. 35).

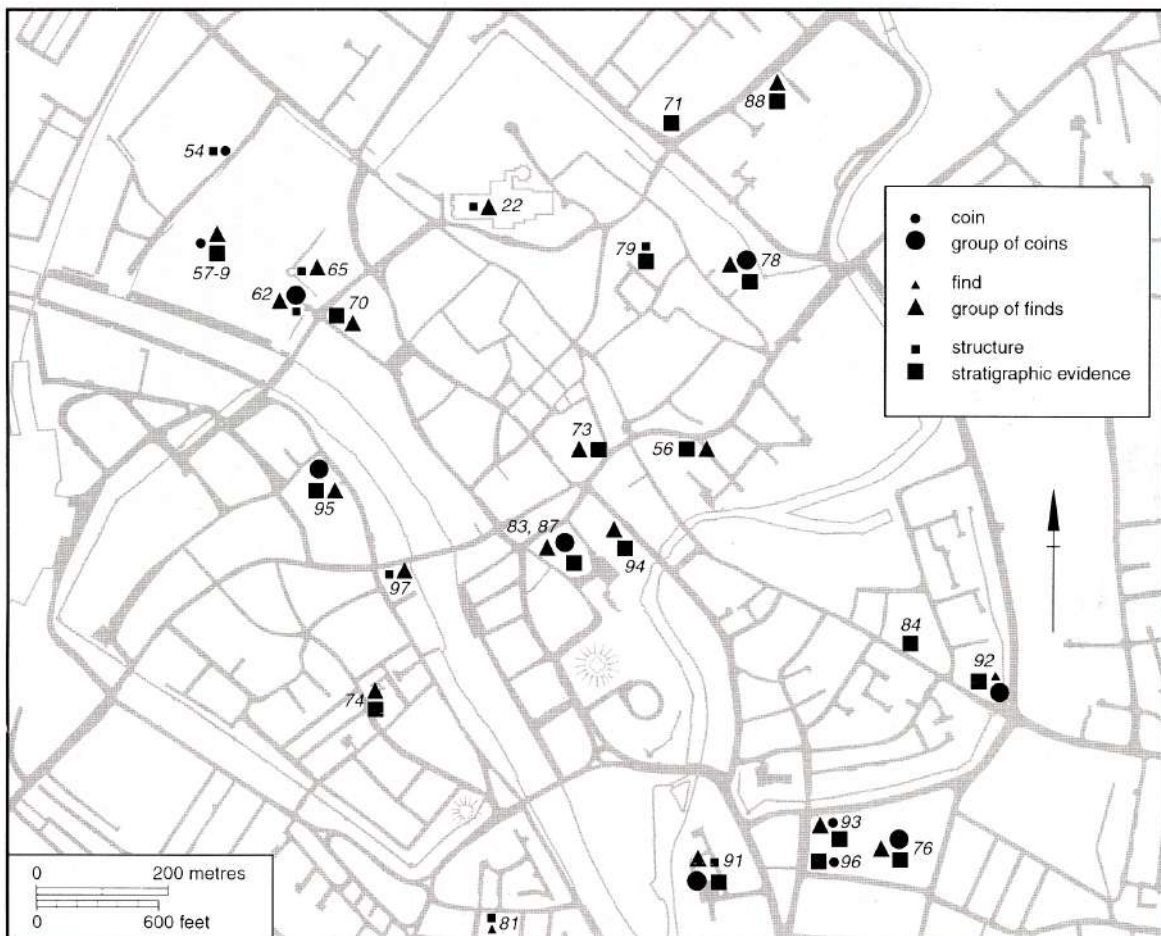


Fig. 14.4 : York : localisation des découvertes archéologiques de nature domestique d'époque angle (Tweddle et al. 1999 : fig. 47).

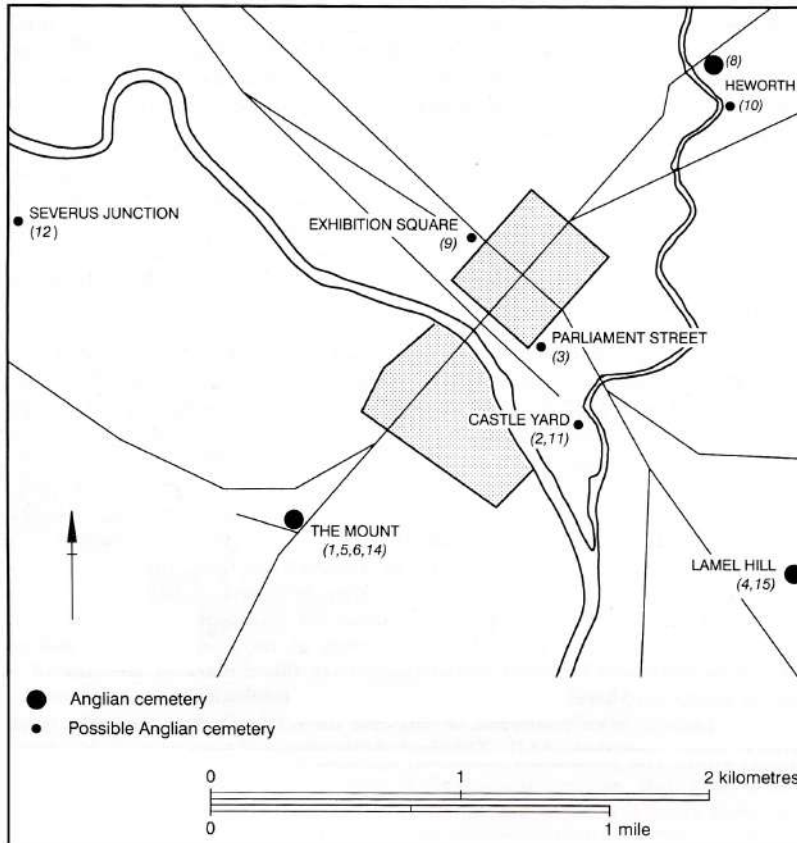


Fig. 14.5 : York : topographie funéraire à l'époque angle (Tweddle *et al.* 1999 : fig. 38).

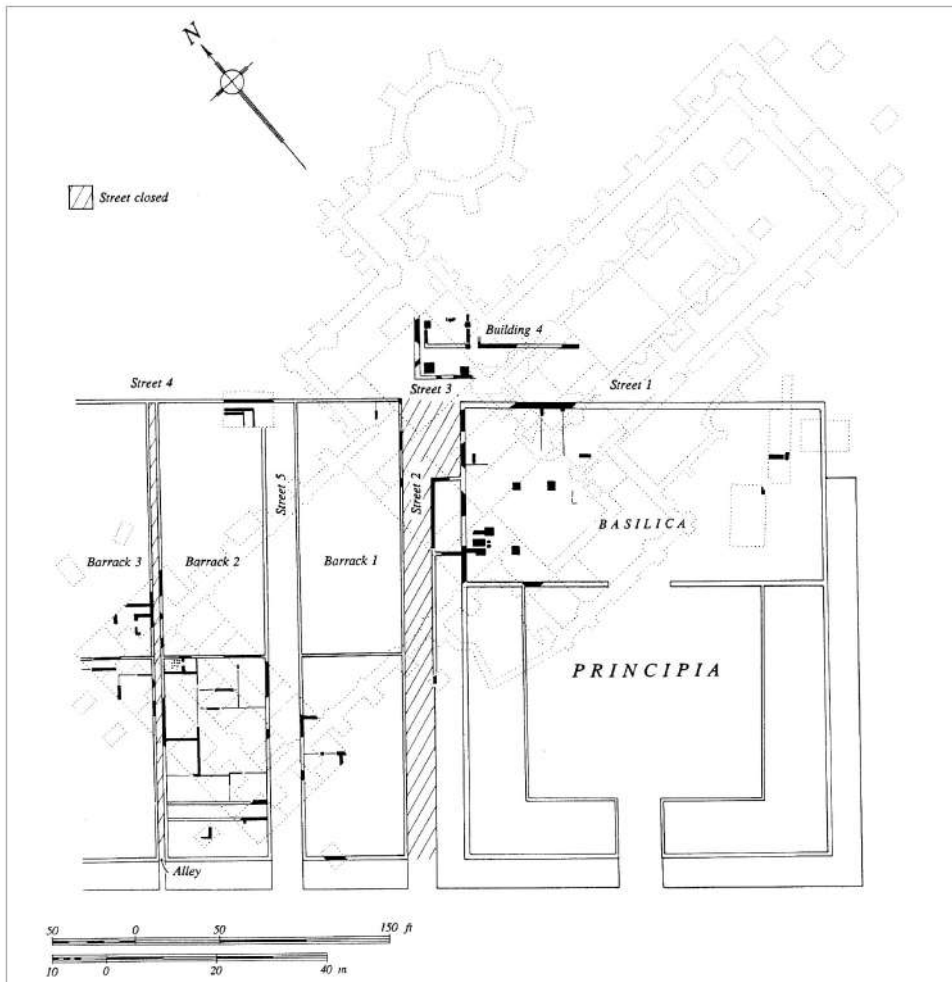


Fig. 14.6 : York, site de la cathédrale : structures de la fin du 4^e s. (Philipps et Heywoods 1995 : fig. 81).

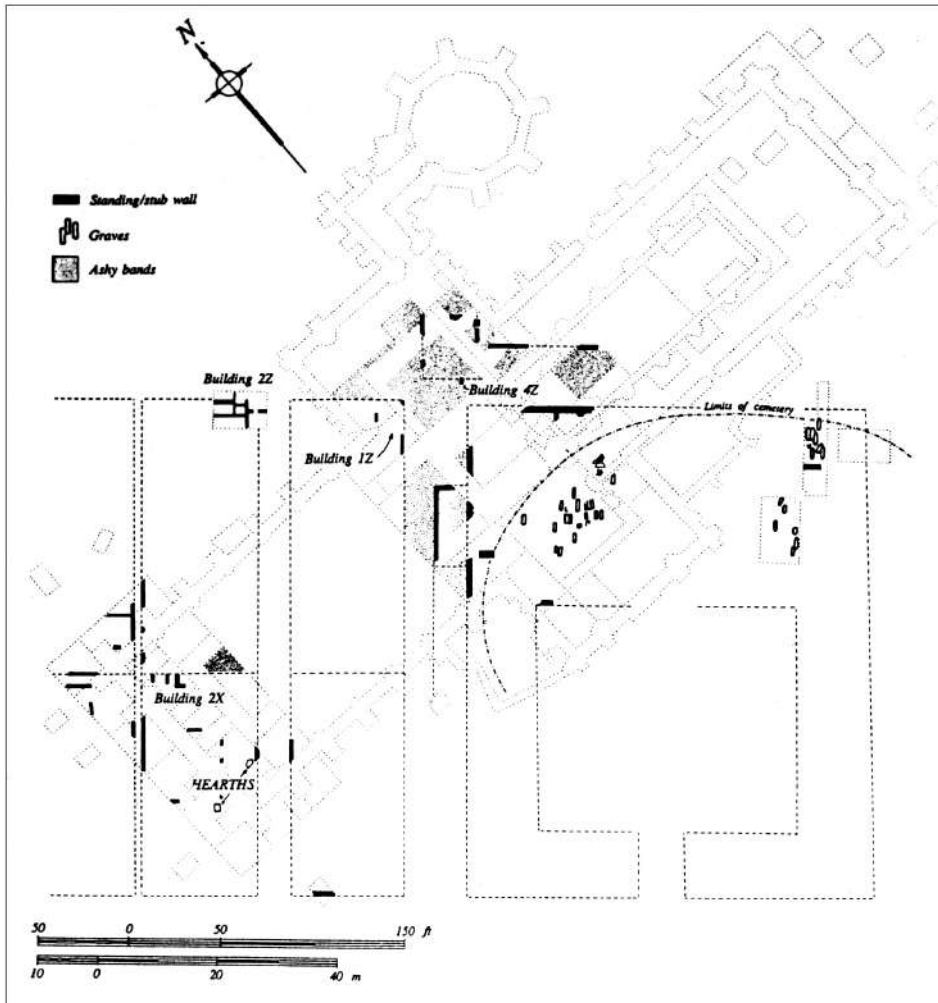


Fig. 14.7 : York, site de la cathédrale : structures et sépultures des 9^e-11^e s. (Carver 1995 : fig. 83).

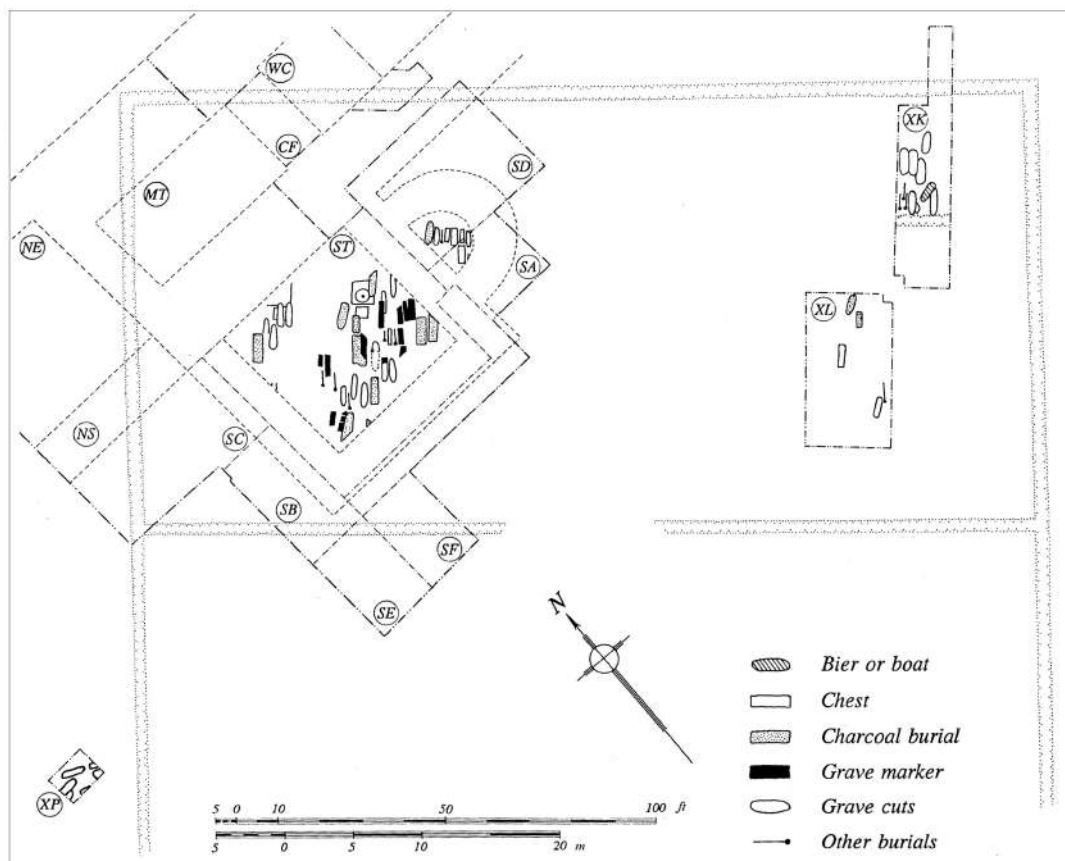


Fig. 14.8 : York, site de la cathédrale : plan du cimetière des 9^e-11^e s. (Philipps et Heywoods 1995 : fig. 14).

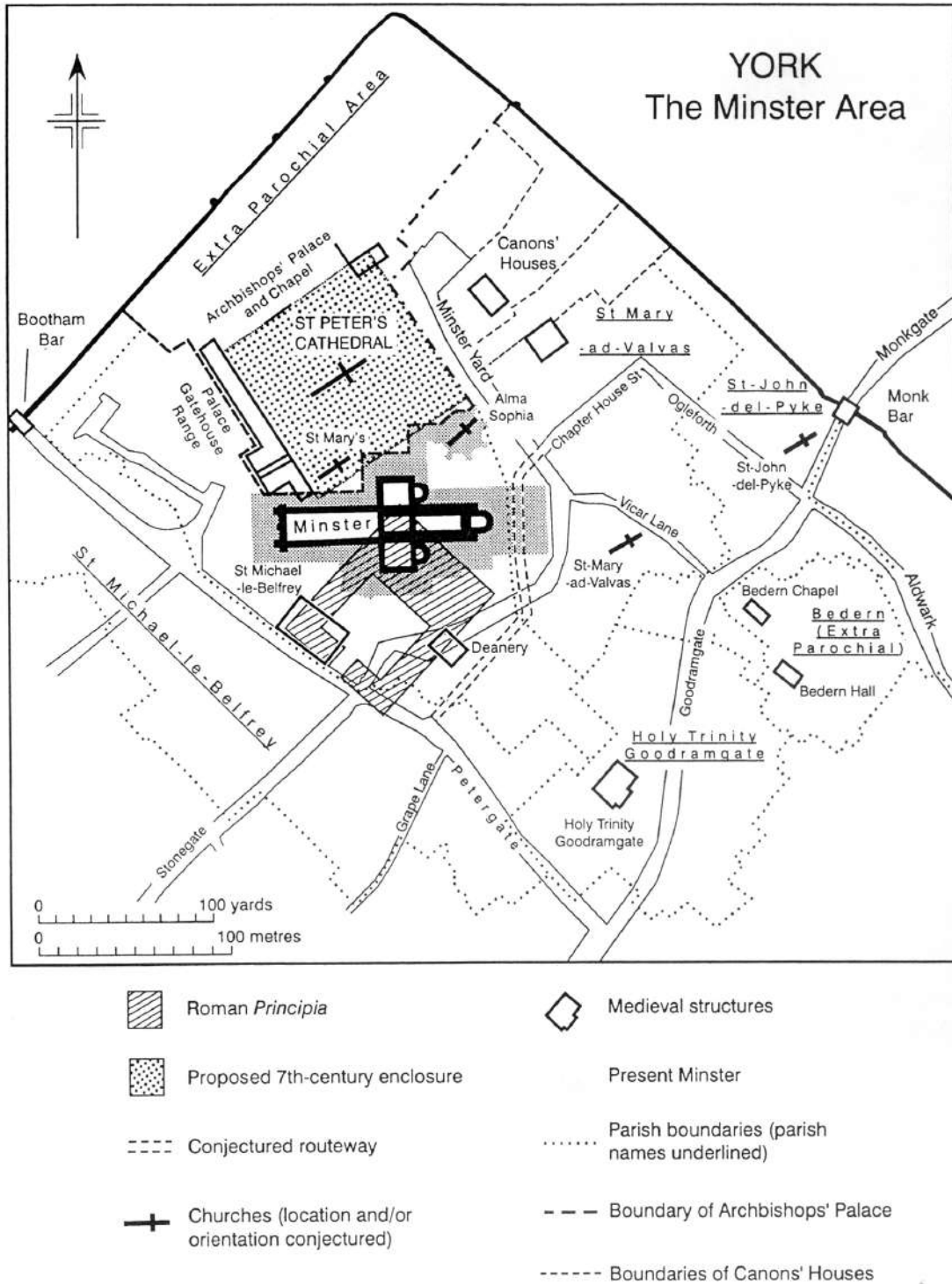


Fig. 14.9 : York, le quartier épiscopal et ses abords : restitution topographique (Norton 1998 : fig. 2).

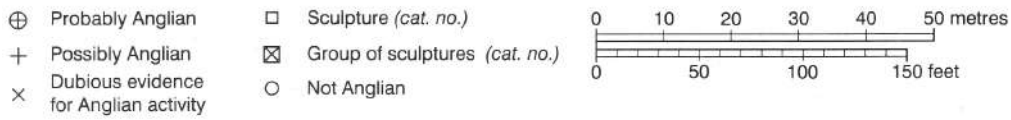
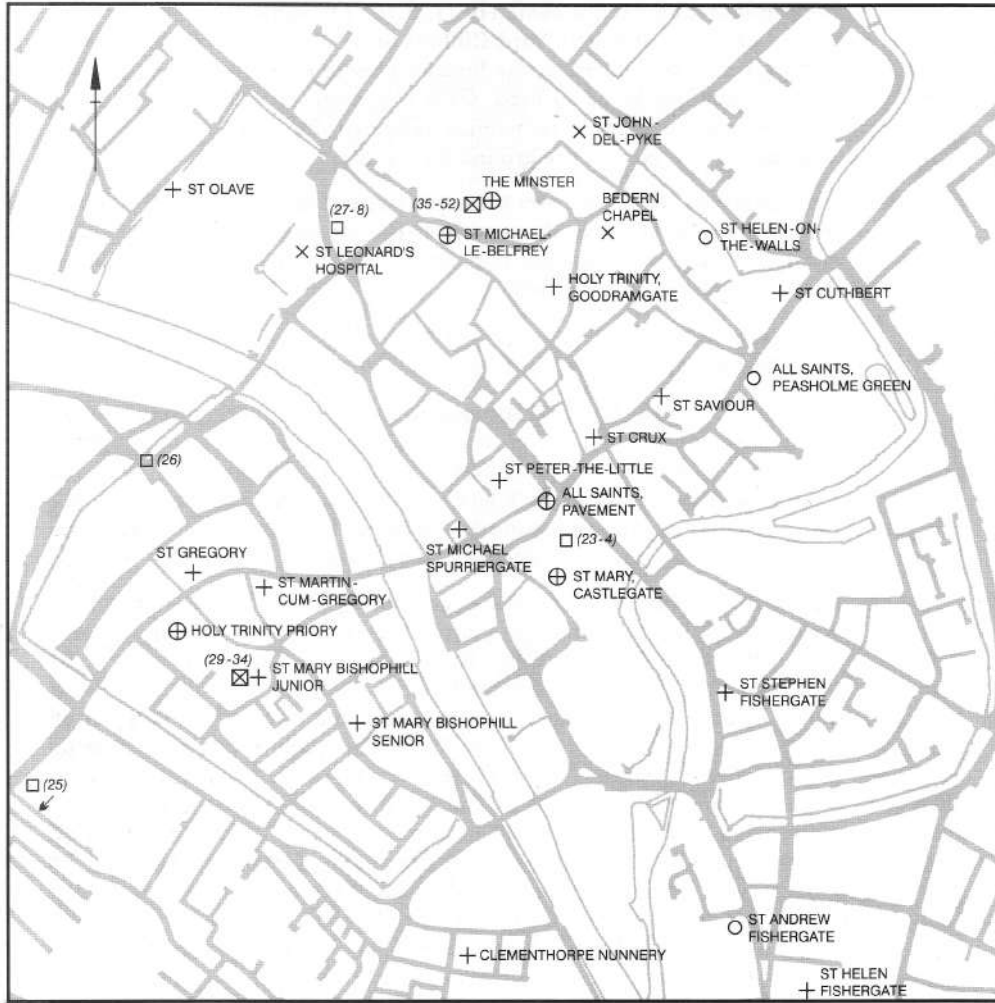


Fig. 14.10 : York : topographie religieuse antérieure à la fin du 11^e s. (Tweddle 1999 : fig. 44).